

**ark** progetti +

mandatario

**architetto cunial giamprimo**

mandante

**architetto fabbian giampaolo**

mandante

**architetto pandolfo andrea**

mandante

**ingegnere carlo franceschini**

mandante

**ingegnere sara pretto**

mandante

**geometra forner simone**

mandante

**perito i. michielin guido**

mandante

**perito i. gabrielli luca**

31030 borso del grappa treviso via ospedale 2/d  
31010 asolo treviso via foresto nuovo 32/b

tel. uff. +39 0423 561971  
fax. +39 0423 914630

e-mail info@arkprogetti.it

CODICE CUP : G49H1800000000001

AMPLIAMENTO SCUOLA  
PRIMARIA DI MONTE DI MALO  
DESTINATO A SCUOLA  
SECONDARIA

COMUNE	MONTE DI MALO
COMMITTENTE	AMMINISTRAZIONE COMUNALE
DATA	GIUGNO 2019
AGGIORNAMENTO	...
CODICE	1219

**PROGETTO ESECUTIVO**

ELABORATI

TABULATO DI CALCOLO STRUTTURE IN OPERA

VERIFICHE SUPERELEMENTI ASTE IN ACCIAIO

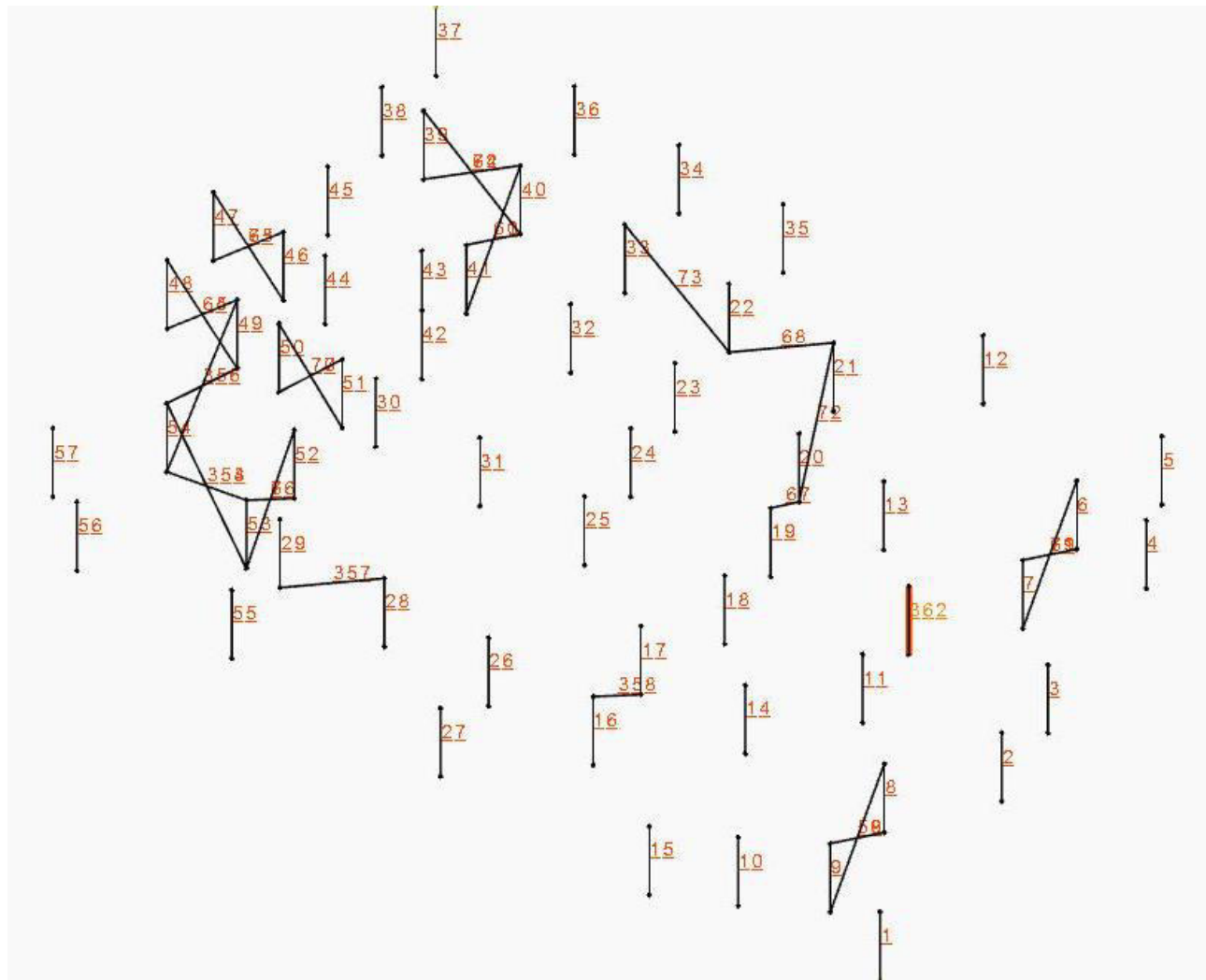
f.to architetto cunial giamprimo

ALLEGATO

**RS  
02B**

# Verifiche superelementi aste in acciaio

Con riferimento agli indici delle aste riportati nell'immagine seguente:



1.1

## Verifiche superelementi aste acciaio laminate:

Le unità di misura elencate nel capitolo sono in [cm, daN, deg] ove non espressamente specificato.

**Sezione:** sezione in acciaio.

**Rotazione:** rotazione della sezione. [deg]

**Area:** area inerziale nel sistema geometrico centrato nel baricentro. [cm<sup>2</sup>]

**Jx:** momento d'inerzia attorno all'asse orizzontale baricentrico di definizione della sezione. [cm<sup>4</sup>]

**Jy:** momento d'inerzia attorno all'asse verticale baricentrico di definizione della sezione. [cm<sup>4</sup>]

**ix:** raggio di inerzia relativo all'asse x. [cm]

**iy:** raggio di inerzia relativo all'asse y. [cm]

**Wx:** modulo di resistenza elastico minimo relativo all'asse x. [cm<sup>3</sup>]

**Wy:** modulo di resistenza elastico minimo relativo all'asse y. [cm<sup>3</sup>]

**Wplx:** modulo di resistenza plastico relativo all'asse x. [cm<sup>3</sup>]

**Wply:** modulo di resistenza plastico relativo all'asse y. [cm<sup>3</sup>]

**X:** distanza dal nodo iniziale. [cm]

**Comb.:** combinazione di verifica.

**Sfruttamento:** rapporto di sfruttamento per la verifica in esame, inverso del coefficiente di sicurezza. Verificato se minore o uguale di 1.

**Classe:** classe della sezione.

**NEd:** sollecitazione assiale. [daN]

**Nc,Rd:** resistenza assiale a compressione ridotta per taglio. [daN]

**Nt,Rd:** resistenza assiale a trazione ridotta per taglio. [daN]

**Riduzione da taglio:** rapporto tra la resistenza assiale ridotta per taglio e la resistenza assiale.

**px:** coefficiente di riduzione della resistenza di snervamento per taglio in direzione x.

**py:** coefficiente di riduzione della resistenza di snervamento per taglio in direzione y.

**Verifica:** stato di verifica.

**VEd:** sollecitazione di taglio. [daN]

**Vc,Rd:** resistenza a taglio. [daN]

**Av:** area resistenza a taglio. [cm<sup>2</sup>]

**Interazione taglio-torsione:** indica se è possibile ridurre il taglio resistente per presenza di torsione.

**Riduzione torsione:** coefficiente riduttivo della resistenza a taglio per presenza di torsione.

**Sfruttamento torsione:** rapporto tra TEd e TRd.

**TEd:** sollecitazione torcente. [daN\*cm]

**TRd:** resistenza a torsione. [daN\*cm]

**Riduzione taglio resistente:** indica se è possibile ridurre il taglio resistente per presenza di torsione.

**Sfruttamento taglio-torsione:**  $\tau_{Ed,totale} / (0.5 * \tau_{Rd})$ . Non verificato se maggiore di 1.

**$\tau_{Ed,totale}$ :** somma delle tensioni tangenziali totale derivanti da taglio e torsione. [daN/cm<sup>2</sup>]

**$\tau_{Rd}$ :** tensione tangenziale resistente. [daN/cm<sup>2</sup>]

**NRd:** resistenza assiale ridotta per taglio. [daN]

**Rid. NRd da VEd:** rapporto tra la resistenza assiale ridotta per taglio e la resistenza assiale.

**Mx,Ed:** sollecitazione flettente attorno x-x. [daN\*cm]

**Mx,Rd:** resistenza a flessione attorno x-x ridotta. [daN\*cm]

**Rid. Mx,Rd da VEd:** rapporto tra la resistenza flettente ridotta per taglio e la resistenza flettente attorno x-x.

**Rid. Mx,Rd da NEd:** rapporto tra la resistenza flettente ridotta per sforzo normale e taglio e la resistenza flettente ridotta per taglio attorno x-x.

**Numero rit.:** numero del ritegno.

**Presente:** indica se il ritegno è presente o meno.

**Ascissa:** ascissa del ritegno rispetto al nodo iniziale del superelemento o ascissa iniziale e finale della campata. [cm]

**Campata:** campata tra i ritegni.

**$\beta_{x/m}$ :** coefficiente di lunghezza efficace per rotazione attorno a x/m.

**Vincolo a entrambi estremi:** indica se il tratto è vincolato a entrambi gli estremi.

**$\lambda_{x/m}$ :** snellezza attorno a x/m del tratto tra i due ritegni.

**$\lambda_{Ver}$ :** snellezza accettabile.

**$\beta_{y/n}$ :** coefficiente di lunghezza efficace per rotazione attorno a y/n.

**k,LT:** coefficiente di lunghezza efficace per rotazione nel calcolo del momento critico ENV1993-1-1 F 1.2(3).

**k<sub>w</sub>,LT:** coefficiente di lunghezza efficace per ingobbamento nel calcolo del momento critico ENV1993-1-1 F 1.2(4).

**$\lambda_{y/n}$ :** snellezza attorno a y/n del tratto tra i due ritegni.

**Obblig.:** indica se la verifica è obbligatoria da norma.

**Mx,Ed,Ed:** momento interno efficace di verifica attorno x-x secondo ENV1993-1-1 §5.5.3. [daN\*cm]

**Mb,Rd,x:** momento resistente di progetto per l'instabilità per sollecitazione flettente attorno l'asse x-x. [daN\*cm]

**$\chi_{LT}$ :** coefficiente di riduzione per instabilità flesso-torsionale.

**$\lambda_{adim}$ , LT:** snellezza adimensionale per instabilità flesso-torsionale.

**L,LT:** distanza tra due ritegni torsionali. [cm]

**M,critico:** momento critico. [daN\*cm]

**NRk:** resistenza caratteristica assiale. [daN]

**Mx,Ed max:** momento sollecitante massimo attorno l'asse x-x tra due ritegni all'inflessione attorno x-x. [daN\*cm]

**Mx,Rk:** resistenza caratteristica a flessione attorno l'asse x-x. [daN\*cm]

**My,Ed max:** momento sollecitante massimo attorno l'asse y-y tra due ritegni all'inflessione attorno y-y. [daN\*cm]

**My,Rk:** resistenza caratteristica a flessione attorno l'asse y-y. [daN\*cm]

**$\chi_x$ :** coefficiente di riduzione per inflessione attorno l'asse x-x.

**$\chi_y$ :** coefficiente di riduzione per inflessione attorno l'asse y-y.

**kxx:** valore di kxx.

**kxy:** valore di kxy.

**kyy:** valore di kyy.

**$\eta$ :** valore di  $\eta$ .

**hw:** altezza dell'anima. [cm]

**tw:** spessore dell'anima. [cm]

**hw/tw max:** rapporto tra hw e tw massimo.

**Ascissa freccia:** ascissa della massima freccia. [cm]

**Combinazione:** combinazione di verifica in cui è ricavata la freccia.

**Freccia:** massima freccia. [cm]

**Luce:** luce di verifica. [cm]

**L/f:** rapporto luce su freccia.

**L/f,min:** minimo rapporto luce su freccia consentito.

**Tipo:** freccia calcolata considerando le sole condizioni variabili o tutte le condizioni (totale) all'interno della combinazione di verifica.

**My,Ed:** sollecitazione flettente attorno y-y. [daN\*cm]

**My,Rd:** resistenza a flessione attorno y-y ridotta. [daN\*cm]

**Rid. My,Rd da VEd:** rapporto tra la resistenza flettente ridotta per taglio e la resistenza flettente attorno y-y.

**Rid. My,Rd da NEd:** rapporto tra la resistenza flettente ridotta per sforzo normale e taglio e la resistenza flettente ridotta per taglio attorno y-y.

**$\alpha$ :** esponente  $\alpha$  per flessione deviata.

**$\beta$ :** esponente  $\beta$  per flessione deviata.

**Nb,Rd:** resistenza a instabilità della membratura compressa. [daN]

**$\chi_{min}$ :** coefficiente di riduzione minimo.

**$\lambda_{0 x/m}$ :** lunghezza libera di inflessione per inflessione attorno l'asse x-x / m-m. [cm]

**$\lambda_{0 y/n}$ :** lunghezza libera di inflessione per inflessione attorno l'asse y-y / n-n. [cm]

**$\lambda_{adim}$ , x/m:** snellezza adimensionale per inflessione attorno l'asse x-x / m-m.

**$\lambda_{adim}$ , y/n:** snellezza adimensionale per inflessione attorno l'asse y-y / n-n.

**N,crit x/m:** carico critico per inflessione attorno all'asse x-x / m-m. [daN]

**N,crit y/n:** carico critico per inflessione attorno all'asse y-y / n-n. [daN]

**kLT:** valore di kLT.

**ky:** valore di ky.

**Wx:** modulo resistente della sezione per inflessione attorno all'asse x-x. [cm<sup>3</sup>]

**Wy:** modulo resistente della sezione per inflessione attorno all'asse y-y. [cm<sup>3</sup>]

**Superelemento in acciaio composto da 2 aste: 42, 43**

**Caratteristiche del materiale**

Acciaio: S275, fyk = 2750

**Caratteristiche geometriche**

Lunghezza: 890

Nodo iniziale: 39 Nodo finale: 1459

Cerniera iniziale: Svincolo: M2, M3 Cerniera finale: Svincolo: M2, M3

Sovreresistenza: 0% Sisma Z: No

**Caratteristiche della sezione**

Sezione	Rotazione	Area	Jx	Jy	ix	iy	Wx	Wy	Wplx	Wply
EN10219 168,3x8	0	40.29	1297.27	1297.27	5.67	5.67	154.16	154.16	205.74	205.74

**Verifiche di resistenza**

**Verifiche a forza assiale §4.2.4.1.2.1 - §4.2.4.1.2.2 NTC18**

X	Comb.	Sfruttamento	Classe	NEd	Nc,Rd	Nt,Rd	Riduzione da taglio	px	py	Verifica
0	SLU 18	0.163	1	-17240.6	105515.6		1	0	0	Si

**Verifiche a forza assiale SLD §4.2.4.1.2.1 - §4.2.4.1.2.2 NTC18**

X	Comb.	Sfruttamento	Classe	NEd	Nc,Rd	Nt,Rd	Riduzione da taglio	px	py	Verifica
0	SLD 7	0.081	1	-8590.7	105515.6		1	0	0	Si

**Verifica a torsione §4.2.4.1.2.5 NTC18**

X	Comb.	Sfruttamento torsione	TEd	TRd	Riduzione taglio resistente	Sfruttamento taglio-torsione	rEd,totale	rRd	Verifica
475	SLV 15	0.003	1322.3	488269.6	Considerata				Si

**Verifica a torsione SLD §4.2.4.1.2.5 NTC18**

X	Comb.	Sfruttamento torsione	TEd	TRd	Riduzione taglio resistente	Sfruttamento torsione	rEd,totale	rRd	Verifica
475	SLD 16	0.001	542.4	488269.6	Considerata				Si

**Verifica a presso/tenso flessione retta X §§ 4.2.4.1.2.3 - 4.2.4.1.2.6 - 4.2.4.1.2.7 - 4.2.4.1.2.8 NTC18**

Verifiche eseguite utilizzando la formula conservativa (6.2) §6.2.1 EN 1993-1-1:2005.

X	Comb.	Sfruttamento	Classe	NEd	NRd	Rid. NRd da VEd	Mx,Ed	Mx,Rd	Rid. Mx,Rd da VEd	Rid. Mx,Rd da NEd	px	py	Verifica
269.2	SLU 18	0.163	1	-17129.9	105515.6	1	-164	538841	1		0	0	Si

**Verifica a presso/tenso flessione retta X SLD §§ 4.2.4.1.2.3 - 4.2.4.1.2.6 - 4.2.4.1.2.7 - 4.2.4.1.2.8 NTC18**

Verifiche eseguite utilizzando la formula conservativa (6.2) §6.2.1 EN 1993-1-1:2005.

X	Comb.	Sfruttamento	Classe	NEd	NRd	Rid. NRd da VEd	Mx,Ed	Mx,Rd	Rid. Mx,Rd da VEd	Rid. Mx,Rd da NEd	px	py	Verifica
47.5	SLD 11	0.082	1	-8555.5	105515.6	1	298	538841	1		0	0	Si

**Verifica a presso/tenso flessione retta Y §§ 4.2.4.1.2.3 - 4.2.4.1.2.6 - 4.2.4.1.2.7 - 4.2.4.1.2.8 NTC18**

Verifiche eseguite utilizzando la formula conservativa (6.2) §6.2.1 EN 1993-1-1:2005.

X	Comb.	Sfruttamento	Classe	NEd	NRd	Rid. NRd da VEd	My,Ed	My,Rd	Rid. My,Rd da VEd	Rid. My,Rd da NEd	px	py	Verifica
269.2	SLU 19	0.127	1	-13398.6	105515.6	1	155	538841	1		0	0	Si

**Verifica a presso/tenso flessione retta Y SLD §§ 4.2.4.1.2.3 - 4.2.4.1.2.6 - 4.2.4.1.2.7 - 4.2.4.1.2.8 NTC18**

Verifiche eseguite utilizzando la formula conservativa (6.2) §6.2.1 EN 1993-1-1:2005.

X	Comb.	Sfruttamento	Classe	NEd	NRd	Rid. NRd da VEd	My,Ed	My,Rd	Rid. My,Rd da VEd	Rid. My,Rd da NEd	px	py	Verifica
47.5	SLD 2	0.081	1	-8531.3	105515.6	1	277	538841	1		0	0	Si

**Verifica a presso/tenso flessione deviata §§ 4.2.4.1.2.3 - 4.2.4.1.2.6 - 4.2.4.1.2.7 - 4.2.4.1.2.8 NTC18**

Verifiche eseguite utilizzando la formula conservativa (6.2) §6.2.1 EN 1993-1-1:2005.

X	Comb.	Sfruttamento	Classe	NEd	NRd	Rid. NRd da VEd	Mx,Ed	Mx,Rd	My,Ed	My,Rd	Rid. Mx,Rd da VEd	Rid. Mx,Rd da NEd	Rid. My,Rd da VEd	Rid. My,Rd da NEd	α	β	px	py	Verifica
285	SLU 18	0.163	1	-17123.4	105515.6	1	-173	538841	158	538841	1		1				0	0	Si

**Verifica a presso/tenso flessione deviata SLD §§ 4.2.4.1.2.3 - 4.2.4.1.2.6 - 4.2.4.1.2.7 - 4.2.4.1.2.8 NTC18**

Verifiche eseguite utilizzando la formula conservativa (6.2) §6.2.1 EN 1993-1-1:2005.

X	Comb.	Sfruttamento	Classe	NEd	NRd	Rid. NRd da VEd	Mx,Ed	Mx,Rd	My,Ed	My,Rd	Rid. Mx,Rd da VEd	Rid. Mx,Rd da NEd	Rid. My,Rd da VEd	Rid. My,Rd da NEd	α	β	px	py	Verifica
475	SLD 7	0.095	1	-8440.5	105515.6	1	4464	538841	3444	538841	1		1				0	0	Si

**Verifiche ad instabilità**

**Caratteristiche iniziali**

Membratura principale per controllo snellezza; Calcolo di snellezze ed N critici condotti secondo gli assi principali;

Curva X: c; Curva Y: c;

Svergolamento: Nessuno; la verifica a instabilità flesso-torsionale (svergolamento) non verrà eseguita.

**Dati per instabilità attorno a x**

Numero rit.	Presente	Ascissa	Campata	βx/m	Vincolo a entrambi estremi	λx/m	λVer
1	Si	0					
			1-2	1	Si	156.8	Si, (<200)
2	Si	890					

**Dati per instabilità attorno a y**

Numero rit.	Presente	Ascissa	Campata	βy/n	k,LT	kw,LT	Vincolo a entrambi estremi
1	Si	0					
			1-2	1	Si	156.8	Si, (<200)
2	Si	890					

**Verifica di stabilità per pressoflessione §C.4.2.4.1.3.3.2 NTC18**

X	Comb.	Sfruttamento	Classe	NEd	NRk	Mx,Ed max	Mx,Rk	My,Ed max	My,Rk	$\chi_x$	$\chi_y$	k <sub>xx</sub>	k <sub>xy</sub>	k <sub>yx</sub>	k <sub>yy</sub>	$\chi_{LT}$	Verifica
0	SLU 18	0.704	1	-17240.6	110791.4	861.8	565783.3	268.7	565783.3	0.233	0.233	1.483	0.89	0.89	1.483		Si

**Verifica di stabilità per pressoflessione SLD §C.4.2.4.1.3.3.2 NTC18**

X	Comb.	Sfruttamento	Classe	NEd	NRk	Mx,Ed max	Mx,Rk	My,Ed max	My,Rk	$\chi_x$	$\chi_y$	k <sub>xx</sub>	k <sub>xy</sub>	k <sub>yx</sub>	k <sub>yy</sub>	$\chi_{LT}$	Verifica
0	SLD 8	0.364	1	-8590.7	110791.4	4464.4	565783.3	3444.2	565783.3	0.233	0.233	1.215	0.729	0.729	1.215		Si

**Verifiche a deformabilità**

Mensola X: No; Mensola Y: No.

Verifiche non eseguite in quanto il superelemento è verticale.

**Superelemento in acciaio composto dall'asta 1****Caratteristiche del materiale**

Acciaio: S275, fyk = 2750

**Caratteristiche geometriche**

Lunghezza: 475

Nodo iniziale: 2 Nodo finale: 64

Cerniera iniziale: Svincolo: M2, M3 Cerniera finale: Svincolo: M2, M3

Sovreresistenza: 0% Sisma Z: No

**Caratteristiche della sezione**

Sezione	Rotazione	Area	Jx	Jy	ix	iy	Wx	Wy	Wplx	Wply
EN10219 168,3x8	0	40.29	1297.27	1297.27	5.67	5.67	154.16	154.16	205.74	205.74

**Verifiche di resistenza****Verifiche a forza assiale §4.2.4.1.2.1 - §4.2.4.1.2.2 NTC18**

X	Comb.	Sfruttamento	Classe	NEd	Nc,Rd	Nt,Rd	Riduzione da taglio	$\rho_x$	$\rho_y$	Verifica
0	SLU 18	0.155	1	-16326.7	105515.6		1	0	0	Si

**Verifiche a forza assiale SLD §4.2.4.1.2.1 - §4.2.4.1.2.2 NTC18**

X	Comb.	Sfruttamento	Classe	NEd	Nc,Rd	Nt,Rd	Riduzione da taglio	$\rho_x$	$\rho_y$	Verifica
0	SLD 4	0.112	1	-11853.8	105515.6		1	0	0	Si

**Verifica a torsione §4.2.4.1.2.5 NTC18**

X	Comb.	Sfruttamento torsione	TEd	TRd	Riduzione taglio resistente	Sfruttamento taglio-torsione	$\tau_{Ed,totale}$	$\tau_{Rd}$	Verifica
475	SLV 16	0.003	1384.2	488269.6	Considerata				Si

**Verifica a torsione SLD §4.2.4.1.2.5 NTC18**

X	Comb.	Sfruttamento torsione	TEd	TRd	Riduzione taglio resistente	Sfruttamento taglio-torsione	$\tau_{Ed,totale}$	$\tau_{Rd}$	Verifica
475	SLD 16	0.001	574.4	488269.6	Considerata				Si

**Verifiche ad instabilità****Caratteristiche iniziali**

Membratura principale per controllo snellezza; Calcolo di snellezze ed N critici condotti secondo gli assi principali;

Curva X: c; Curva Y: c;

Svergolamento: Nessuno; la verifica a instabilità flesso-torsionale (svergolamento) non verrà eseguita.

**Dati per instabilità attorno a x**

Numero rit.	Presente	Ascissa	Campata	$\beta_x/m$	Vincolo a entrambi estremi	$\lambda_x/m$	$\lambda_{Ver}$
1	Si	0					
			1-2	1	Si	83.7	Si, (<200)
2	Si	475					

**Dati per instabilità attorno a y**

Numero rit.	Presente	Ascissa	Campata	$\beta_y/n$	k <sub>LT</sub>	kw,LT	Vincolo a entrambi estremi
1	Si	0					
			1-2	1	Si	83.7	Si, (<200)
2	Si	475					

**Verifica di stabilità membrature compresse §4.2.4.1.3.1 NTC18**

X	Comb.	Sfruttamento	Classe	Obblig.	NEd	Nb,Rd	$\chi_{min}$	I0 x/m	I0 y/n	$\lambda_{adim. x/m}$	$\lambda_{adim. y/n}$	N <sub>crit x/m</sub>	N <sub>crit y/n</sub>	Verifica
0	SLU 18	0.276	1	Si	-16326.7	59190.9	0.561	475	475	0.964	0.964	119168.8	119168.8	Si

**Verifica di stabilità membrature compresse SLD §4.2.4.1.3.1 NTC18**

X	Comb.	Sfruttamento	Classe	Obblig.	NEd	Nb,Rd	$\chi_{min}$	I0 x/m	I0 y/n	$\lambda_{adim. x/m}$	$\lambda_{adim. y/n}$	N <sub>crit x/m</sub>	N <sub>crit y/n</sub>	Verifica
0	SLD 4	0.2	1	Si	-11853.8	59190.9	0.561	475	475	0.964	0.964	119168.8	119168.8	Si

**Verifiche a deformabilità**

Mensola X: No; Mensola Y: No.

Verifiche non eseguite in quanto il superelemento è verticale.

**Superelemento in acciaio composto dall'asta 2****Caratteristiche del materiale**

Acciaio: S275, fyk = 2750

Caratteristiche geometriche

Lunghezza: 475  
Nodo iniziale: 3  
Nodo finale: 79  
Cerniera iniziale: Svincolo: M2, M3  
Cerniera finale: Svincolo: M2, M3  
Sovreresistenza: 0%  
Sisma Z: No

Caratteristiche della sezione

Sezione	Rotazione	Area	Jx	Jy	ix	iy	Wx	Wy	Wplx	Wply
EN10219 168, 3x8	0	40.29	1297.27	1297.27	5.67	5.67	154.16	154.16	205.74	205.74

Verifiche di resistenza

Verifiche a forza assiale §4.2.4.1.2.1 - §4.2.4.1.2.2 NTC18

X	Comb.	Sfruttamento	Classe	NEd	Nc,Rd	Nt,Rd	Riduzione da taglio	px	py	Verifica
0	SLU 18	0.162	1	-17072.7	105515.6		1	0	0	Si

Verifiche a forza assiale SLD §4.2.4.1.2.1 - §4.2.4.1.2.2 NTC18

X	Comb.	Sfruttamento	Classe	NEd	Nc,Rd	Nt,Rd	Riduzione da taglio	px	py	Verifica
0	SLD 9	0.118	1	-12413.3	105515.6		1	0	0	Si

Verifica a torsione §4.2.4.1.2.5 NTC18

X	Comb.	Sfruttamento torsione	TEd	TRd	Riduzione taglio resistente	Sfruttamento taglio-torsione	τEd,totale	τRd	Verifica
475	SLV 16	0.003	1300.8	488269.6	Considerata				Si

Verifica a torsione SLD §4.2.4.1.2.5 NTC18

X	Comb.	Sfruttamento torsione	TEd	TRd	Riduzione taglio resistente	Sfruttamento taglio-torsione	τEd,totale	τRd	Verifica
475	SLD 16	0.001	542.5	488269.6	Considerata				Si

Verifiche ad instabilità

Caratteristiche iniziali

Membratura principale per controllo snellezza; Calcolo di snellezze ed N critici condotti secondo gli assi principali;  
Curva X: c; Curva Y: c;  
Svergolamento: Nessuno; la verifica a instabilità flesso-torsionale (svergolamento) non verrà eseguita.

Dati per instabilità attorno a x

Numero rit.	Presente	Ascissa	Campata	βx/m	Vincolo a entrambi estremi	λx/m	λVer
1	Si	0					
			1-2	1	Si	83.7	Si, (<200)
2	Si	475					

Dati per instabilità attorno a y

Numero rit.	Presente	Ascissa	Campata	βy/n	k,LT	kw,LT	Vincolo a entrambi estremi
1	Si	0					
			1-2	1	Si	83.7	Si, (<200)
2	Si	475					

Verifica di stabilità membrature compresse §4.2.4.1.3.1 NTC18

X	Comb.	Sfruttamento	Classe	Obblig.	NEd	Nb,Rd	χ,min	I0 x/m	I0 y/n	λ adim. x/m	λ adim. y/n	N,crit x/m	N,crit y/n	Verifica
0	SLU 18	0.288	1	Si	-17072.7	59190.9	0.561	475	475	0.964	0.964	119168.8	119168.8	Si

Verifica di stabilità membrature compresse SLD §4.2.4.1.3.1 NTC18

X	Comb.	Sfruttamento	Classe	Obblig.	NEd	Nb,Rd	χ,min	I0 x/m	I0 y/n	λ adim. x/m	λ adim. y/n	N,crit x/m	N,crit y/n	Verifica
0	SLD 9	0.21	1	Si	-12413.3	59190.9	0.561	475	475	0.964	0.964	119168.8	119168.8	Si

Verifiche a deformabilità

Mensola X: No; Mensola Y: No.  
Verifiche non eseguite in quanto il superelemento è verticale.

Superelemento in acciaio composto dall'asta 3

Caratteristiche del materiale

Acciaio: S275, fyk = 2750

Caratteristiche geometriche

Lunghezza: 475  
Nodo iniziale: 4  
Nodo finale: 84  
Cerniera iniziale: Svincolo: M2, M3  
Cerniera finale: Svincolo: M2, M3  
Sovreresistenza: 0%  
Sisma Z: No

Caratteristiche della sezione

Sezione	Rotazione	Area	Jx	Jy	ix	iy	Wx	Wy	Wplx	Wply
EN10219 168, 3x8	0	40.29	1297.27	1297.27	5.67	5.67	154.16	154.16	205.74	205.74

Verifiche di resistenza

Verifiche a forza assiale §4.2.4.1.2.1 - §4.2.4.1.2.2 NTC18

X	Comb.	Sfruttamento	Classe	NEd	Nc,Rd	Nt,Rd	Riduzione da taglio	px	py	Verifica
0	SLU 20	0.148	1	-15619.9	105515.6		1	0	0	Si

Verifiche a forza assiale SLD §4.2.4.1.2.1 - §4.2.4.1.2.2 NTC18

X	Comb.	Sfruttamento	Classe	NEd	Nc,Rd	Nt,Rd	Riduzione da taglio	px	py	Verifica
0	SLD 5	0.104	1	-10966.6	105515.6		1	0	0	Si

5

**Verifica a torsione §4.2.4.1.2.5 NTC18**

X	Comb.	Sfruttamento torsione	TEd	TRd	Riduzione taglio resistente	Sfruttamento taglio-torsione	$\tau_{Ed,totale}$	$\tau_{Rd}$	Verifica
0	SLV 14	0.003	1301.6	488269.6	Considerata				Si

**Verifica a torsione SLD §4.2.4.1.2.5 NTC18**

X	Comb.	Sfruttamento torsione	TEd	TRd	Riduzione taglio resistente	Sfruttamento taglio-torsione	$\tau_{Ed,totale}$	$\tau_{Rd}$	Verifica
443.3	SLD 14	0.001	543.2	488269.6	Considerata				Si

**Verifiche ad instabilità****Caratteristiche iniziali**

Membratura principale per controllo snellezza; Calcolo di snellezze ed N critici condotti secondo gli assi principali;

Curva X: c; Curva Y: c;

Svergolamento: Nessuno; la verifica a instabilità flessio-torsionale (svergolamento) non verrà eseguita.

**Dati per instabilità attorno a x**

Numero rit.	Presente	Ascissa	Campata	$\beta x/m$	Vincolo a entrambi estremi	$\lambda x/m$	$\lambda_{Ver}$
1	Si	0					
			1-2	1	Si	83.7	Si, (<200)
2	Si	475					

**Dati per instabilità attorno a y**

Numero rit.	Presente	Ascissa	Campata	$\beta y/n$	k,LT	kw,LT	Vincolo a entrambi estremi
1	Si	0					
			1-2	1	Si	83.7	Si, (<200)
2	Si	475					

**Verifica di stabilità membrane compresse §4.2.4.1.3.1 NTC18**

X	Comb.	Sfruttamento	Classe	Obblig.	NEd	Nb,Rd	$\chi_{min}$	I0 x/m	I0 y/n	$\lambda_{adim. x/m}$	$\lambda_{adim. y/n}$	N,crit x/m	N,crit y/n	Verifica
0	SLU 20	0.264	1	Si	-15619.9	59190.9	0.561	475	475	0.964	0.964	119168.8	119168.8	Si

**Verifica di stabilità membrane compresse SLD §4.2.4.1.3.1 NTC18**

X	Comb.	Sfruttamento	Classe	Obblig.	NEd	Nb,Rd	$\chi_{min}$	I0 x/m	I0 y/n	$\lambda_{adim. x/m}$	$\lambda_{adim. y/n}$	N,crit x/m	N,crit y/n	Verifica
0	SLD 5	0.185	1	Si	-10966.6	59190.9	0.561	475	475	0.964	0.964	119168.8	119168.8	Si

**Verifiche a deformabilità**

Mensola X: No; Mensola Y: No.

Verifiche non eseguite in quanto il superelemento è verticale.

**Superelemento in acciaio composto dall'asta 4****Caratteristiche del materiale**

Acciaio: S275, fyk = 2750

**Caratteristiche geometriche**

Lunghezza: 475

Nodo iniziale: 5 Nodo finale: 101

Cerniera iniziale: Svincolo: M2, M3 Cerniera finale: Svincolo: M2, M3

Sovreresistenza: 0% Sisma Z: No

**Caratteristiche della sezione**

Sezione	Rotazione	Area	Jx	Jy	ix	iy	Wx	Wy	Wplx	Wply
EN10219 168,3x8	0	40.29	1297.27	1297.27	5.67	5.67	154.16	154.16	205.74	205.74

**Verifiche di resistenza****Verifiche a forza assiale §4.2.4.1.2.1 - §4.2.4.1.2.2 NTC18**

X	Comb.	Sfruttamento	Classe	NEd	Nc,Rd	Nt,Rd	Riduzione da taglio	px	py	Verifica
0	SLU 18	0.147	1	-15492.4	105515.6		1	0	0	Si

**Verifiche a forza assiale SLD §4.2.4.1.2.1 - §4.2.4.1.2.2 NTC18**

X	Comb.	Sfruttamento	Classe	NEd	Nc,Rd	Nt,Rd	Riduzione da taglio	px	py	Verifica
0	SLD 14	0.1	1	-10543.9	105515.6		1	0	0	Si

**Verifica a torsione §4.2.4.1.2.5 NTC18**

X	Comb.	Sfruttamento torsione	TEd	TRd	Riduzione taglio resistente	Sfruttamento taglio-torsione	$\tau_{Ed,totale}$	$\tau_{Rd}$	Verifica
0	SLV 14	0.003	1392.2	488269.6	Considerata				Si

**Verifica a torsione SLD §4.2.4.1.2.5 NTC18**

X	Comb.	Sfruttamento torsione	TEd	TRd	Riduzione taglio resistente	Sfruttamento taglio-torsione	$\tau_{Ed,totale}$	$\tau_{Rd}$	Verifica
443.3	SLD 14	0.001	581.1	488269.6	Considerata				Si

**Verifiche ad instabilità****Caratteristiche iniziali**

Membratura principale per controllo snellezza; Calcolo di snellezze ed N critici condotti secondo gli assi principali;

Curva X: c; Curva Y: c;

Svergolamento: Nessuno; la verifica a instabilità flessio-torsionale (svergolamento) non verrà eseguita.

**Dati per instabilità attorno a x**

Numero rit.	Presente	Ascissa	Campata	$\beta x/m$	Vincolo a entrambi estremi	$\lambda x/m$	$\lambda_{Ver}$
1	Si	0					
			1-2	1	Si	83.7	Si, (<200)
2	Si	475					

Dati per instabilità attorno a y

Numero rit.	Presente	Ascissa	Campata	$\beta y/n$	k,LT	kw,LT	Vincolo a entrambi estremi
1	Si	0					
			1-2	1	Si	83.7	Si, (<200)
2	Si	475					

Verifica di stabilità membrature compresse §4.2.4.1.3.1 NTC18

X	Comb.	Sfruttamento	Classe	Obblig.	NEd	Nb,Rd	$\chi_{min}$	I0 x/m	I0 y/n	$\lambda$ adim. x/m	$\lambda$ adim. y/n	N,crit x/m	N,crit y/n	Verifica
0	SLU 18	0.262	1	Si	-15492.4	59190.9	0.561	475	475	0.964	0.964	119168.8	119168.8	Si

Verifica di stabilità membrature compresse SLD §4.2.4.1.3.1 NTC18

X	Comb.	Sfruttamento	Classe	Obblig.	NEd	Nb,Rd	$\chi_{min}$	I0 x/m	I0 y/n	$\lambda$ adim. x/m	$\lambda$ adim. y/n	N,crit x/m	N,crit y/n	Verifica
0	SLD 14	0.178	1	Si	-10543.9	59190.9	0.561	475	475	0.964	0.964	119168.8	119168.8	Si

Verifiche a deformabilità

Mensola X: No; Mensola Y: No.  
Verifiche non eseguite in quanto il superelemento è verticale.

Superelemento in acciaio composto dall'asta 5

Caratteristiche del materiale

Acciaio: S275, fyk = 2750

Caratteristiche geometriche

Lunghezza: 475  
Nodo iniziale: 6 Nodo finale: 113  
Cerniera iniziale: Svincolo: M2, M3 Cerniera finale: Svincolo: M2, M3  
Sovreresistenza: 0% Sisma Z: No

Caratteristiche della sezione

Sezione	Rotazione	Area	Jx	Jy	ix	iy	Wx	Wy	Wplx	Wply
EN10219 168,3x8	0	40.29	1297.27	1297.27	5.67	5.67	154.16	154.16	205.74	205.74

Verifiche di resistenza

Verifiche a forza assiale §4.2.4.1.2.1 - §4.2.4.1.2.2 NTC18

X	Comb.	Sfruttamento	Classe	NEd	Nc,Rd	Nt,Rd	Riduzione da taglio	px	py	Verifica
0	SLU 20	0.07	1	-7371.1	105515.6		1	0	0	Si

Verifiche a forza assiale SLD §4.2.4.1.2.1 - §4.2.4.1.2.2 NTC18

X	Comb.	Sfruttamento	Classe	NEd	Nc,Rd	Nt,Rd	Riduzione da taglio	px	py	Verifica
0	SLD 14	0.048	1	-5063.6	105515.6		1	0	0	Si

Verifica a torsione §4.2.4.1.2.5 NTC18

X	Comb.	Sfruttamento torsione	TEd	TRd	Riduzione taglio resistente	Sfruttamento taglio-torsione	$\tau Ed,totale$	$\tau Rd$	Verifica
0	SLV 14	0.003	1368.4	488269.6	Considerata				Si

Verifica a torsione SLD §4.2.4.1.2.5 NTC18

X	Comb.	Sfruttamento torsione	TEd	TRd	Riduzione taglio resistente	Sfruttamento taglio-torsione	$\tau Ed,totale$	$\tau Rd$	Verifica
443.3	SLD 14	0.001	571.2	488269.6	Considerata				Si

Verifiche ad instabilità

Caratteristiche iniziali

Membratura principale per controllo snellezza; Calcolo di snellezze ed N critici condotti secondo gli assi principali;  
Curva X: c; Curva Y: c;  
Svergolamento: Nessuno; la verifica a instabilità flesso-torsionale (svergolamento) non verrà eseguita.

Dati per instabilità attorno a x

Numero rit.	Presente	Ascissa	Campata	$\beta x/m$	Vincolo a entrambi estremi	$\lambda x/m$	$\lambda Ver$
1	Si	0					
			1-2	1	Si	83.7	Si, (<200)
2	Si	475					

Dati per instabilità attorno a y

Numero rit.	Presente	Ascissa	Campata	$\beta y/n$	k,LT	kw,LT	Vincolo a entrambi estremi
1	Si	0					
			1-2	1	Si	83.7	Si, (<200)
2	Si	475					

Verifica di stabilità membrature compresse §4.2.4.1.3.1 NTC18

X	Comb.	Sfruttamento	Classe	Obblig.	NEd	Nb,Rd	$\chi_{min}$	I0 x/m	I0 y/n	$\lambda$ adim. x/m	$\lambda$ adim. y/n	N,crit x/m	N,crit y/n	Verifica
0	SLU 20	0.125	1	Si	-7371.1	59190.9	0.561	475	475	0.964	0.964	119168.8	119168.8	Si

Verifica di stabilità membrature compresse SLD §4.2.4.1.3.1 NTC18

X	Comb.	Sfruttamento	Classe	Obblig.	NEd	Nb,Rd	$\chi_{min}$	I0 x/m	I0 y/n	$\lambda$ adim. x/m	$\lambda$ adim. y/n	N,crit x/m	N,crit y/n	Verifica
0	SLD 14	0.086	1	Si	-5063.6	59190.9	0.561	475	475	0.964	0.964	119168.8	119168.8	Si

Verifiche a deformabilità

Mensola X: No; Mensola Y: No.  
Verifiche non eseguite in quanto il superelemento è verticale.



**Superelemento in acciaio composto dall'asta 6****Caratteristiche del materiale**

Acciaio: S275, fyk = 2750

**Caratteristiche geometriche**

Lunghezza: 475

Nodo iniziale: 10 Nodo finale: 126

Cerniera iniziale: Svincolo: M2, M3 Cerniera finale: Svincolo: M2, M3

Sovreresistenza: 0% Sisma Z: No

**Caratteristiche della sezione**

Sezione	Rotazione	Area	Jx	Jy	ix	iy	Wx	Wy	Wplx	Wply
ENI0219 160x160x8	0	46.44	1741.23	1741.23	6.12	6.12	217.65	217.65	260.14	260.14

**Verifiche di resistenza****Verifiche a forza assiale §4.2.4.1.2.1 - §4.2.4.1.2.2 NTC18**

X	Comb.	Sfruttamento	Classe	NEd	Nc,Rd	Nt,Rd	Riduzione da taglio	px	py	Verifica
0	SLV 13	0.375	1	-45571.3	121635.1		1	0	0	Si

**Verifiche a forza assiale SLD §4.2.4.1.2.1 - §4.2.4.1.2.2 NTC18**

X	Comb.	Sfruttamento	Classe	NEd	Nc,Rd	Nt,Rd	Riduzione da taglio	px	py	Verifica
0	SLD 13	0.174	1	-21116.4	121635.1		1	0	0	Si

**Verifica a torsione §4.2.4.1.2.5 NTC18**

X	Comb.	Sfruttamento torsione	TEd	TRd	Riduzione taglio resistente	Sfruttamento taglio-torsione	τEd,totale	τRd	Verifica
0	SLV 14	0.003	1391.1	553655.2	Considerata				Si

**Verifica a torsione SLD §4.2.4.1.2.5 NTC18**

X	Comb.	Sfruttamento torsione	TEd	TRd	Riduzione taglio resistente	Sfruttamento taglio-torsione	τEd,totale	τRd	Verifica
237.5	SLD 14	0.001	581.6	553655.2	Considerata				Si

**Verifiche ad instabilità****Caratteristiche iniziali**

Membratura principale per controllo snellezza; Calcolo di snellezze ed N critici condotti secondo gli assi principali;

Curva X: c; Curva Y: c; Svergolamento: Carico all'estradosso; Curva svergolamento: d;

**Dati per instabilità attorno a x**

Numero rit.	Presente	Ascissa	Campata	βx/m	Vincolo a entrambi estremi	λx/m	λVer
1	Si	0					
			1-2	1	Si	77.6	Si, (<200)
2	Si	475					

**Dati per instabilità attorno a y**

Numero rit.	Presente	Ascissa	Campata	βy/n	k,LT	kw,LT	Vincolo a entrambi estremi	λy/n	λVer
1	Si	0							
			1-2	1	1	1	Si	77.6	Si, (<200)
2	Si	475							

**Verifica di stabilità membrane compresse §4.2.4.1.3.1 NTC18**

X	Comb.	Sfruttamento	Classe	Obblig.	NEd	Nb,Rd	χ,min	I0 x/m	I0 y/n	λ adim. x/m	λ adim. y/n	N,crit x/m	N,crit y/n	Verifica
0	SLV 13	0.621	1	Si	-45571.3	73441.6	0.604	475	475	0.894	0.894	159951.8	159951.8	Si

**Verifica di stabilità membrane compresse SLD §4.2.4.1.3.1 NTC18**

X	Comb.	Sfruttamento	Classe	Obblig.	NEd	Nb,Rd	χ,min	I0 x/m	I0 y/n	λ adim. x/m	λ adim. y/n	N,crit x/m	N,crit y/n	Verifica
0	SLD 14	0.288	1	Si	-21116.4	73441.6	0.604	475	475	0.894	0.894	159951.8	159951.8	Si

**Verifiche a deformabilità**

Mensola X: No; Mensola Y: No.

Verifiche non eseguite in quanto il superelemento è verticale.

**Superelemento in acciaio composto dall'asta 7****Caratteristiche del materiale**

Acciaio: S275, fyk = 2750

**Caratteristiche geometriche**

Lunghezza: 475

Nodo iniziale: 9 Nodo finale: 125

Cerniera iniziale: Svincolo: M2, M3 Cerniera finale: Svincolo: M2, M3

Sovreresistenza: 0% Sisma Z: No

**Caratteristiche della sezione**

Sezione	Rotazione	Area	Jx	Jy	ix	iy	Wx	Wy	Wplx	Wply
ENI0219 160x160x8	0	46.44	1741.23	1741.23	6.12	6.12	217.65	217.65	260.14	260.14

**Verifiche di resistenza****Verifiche a forza assiale §4.2.4.1.2.1 - §4.2.4.1.2.2 NTC18**

X	Comb.	Sfruttamento	Classe	NEd	Nc,Rd	Nt,Rd	Riduzione da taglio	px	py	Verifica
0	SLV 4	0.375	1	-45569.2	121635.1		1	0	0	Si

Verifiche a forza assiale SLD §4.2.4.1.2.1 - §4.2.4.1.2.2 NTC18

X	Comb.	Sfruttamento	Classe	NEd	Nc,Rd	Nt,Rd	Riduzione da taglio	px	py	Verifica
0	SLD 4	0.173	1	-21083.3	121635.1		1	0	0	Si

Verifica a torsione §4.2.4.1.2.5 NTC18

X	Comb.	Sfruttamento torsione	TEd	TRd	Riduzione taglio resistente	Sfruttamento taglio-torsione	τEd,totale	τRd	Verifica
0	SLV 14	0.003	1411.8	553655.2	Considerata				Si

Verifica a torsione SLD §4.2.4.1.2.5 NTC18

X	Comb.	Sfruttamento torsione	TEd	TRd	Riduzione taglio resistente	Sfruttamento taglio-torsione	τEd,totale	τRd	Verifica
237.5	SLD 14	0.001	591.5	553655.2	Considerata				Si

Verifiche ad instabilità

Caratteristiche iniziali

Membratura principale per controllo snellezza; Calcolo di snellezze ed N critici condotti secondo gli assi principali;  
Curva X: c; Curva Y: c; Svergolamento: Carico all'estradosso; Curva svergolamento: d;

Dati per instabilità attorno a x

Numero rit.	Presente	Ascissa	Campata	βx/m	Vincolo a entrambi estremi	λx/m	λVer
1	Si	0					
			1-2	1	Si	77.6	Si, (<200)
2	Si	475					

Dati per instabilità attorno a y

Numero rit.	Presente	Ascissa	Campata	βy/n	k,LT	kw,LT	Vincolo a entrambi estremi	λy/n	λVer
1	Si	0							
			1-2	1	1	1	Si	77.6	Si, (<200)
2	Si	475							

Verifica di stabilità membrature compresse §4.2.4.1.3.1 NTC18

X	Comb.	Sfruttamento	Classe	Obblig.	NEd	Nb,Rd	x,min	I0 x/m	I0 y/n	λ adim. x/m	λ adim. y/n	N,crit x/m	N,crit y/n	Verifica
0	SLV 3	0.62	1	Si	-45569.2	73441.6	0.604	475	475	0.894	0.894	159951.8	159951.8	Si

Verifica di stabilità membrature compresse SLD §4.2.4.1.3.1 NTC18

X	Comb.	Sfruttamento	Classe	Obblig.	NEd	Nb,Rd	x,min	I0 x/m	I0 y/n	λ adim. x/m	λ adim. y/n	N,crit x/m	N,crit y/n	Verifica
0	SLD 4	0.287	1	Si	-21083.3	73441.6	0.604	475	475	0.894	0.894	159951.8	159951.8	Si

Verifiche a deformabilità

Mensola X: No; Mensola Y: No.  
Verifiche non eseguite in quanto il superelemento è verticale.

Superelemento in acciaio composto dall'asta 8

Caratteristiche del materiale

Acciaio: S275, fyk = 2750

Caratteristiche geometriche

Lunghezza: 475  
Nodo iniziale: 8 Nodo finale: 120  
Cerniera iniziale: Svincolo: M2, M3 Cerniera finale: Svincolo: M2, M3  
Sovraresistenza: 0% Sisma Z: No

Caratteristiche della sezione

Sezione	Rotazione	Area	Jx	Jy	ix	iy	Wx	Wy	Wplx	Wply
EN10219 160x160x8	0	46.44	1741.23	1741.23	6.12	6.12	217.65	217.65	260.14	260.14

Verifiche di resistenza

Verifiche a forza assiale §4.2.4.1.2.1 - §4.2.4.1.2.2 NTC18

X	Comb.	Sfruttamento	Classe	NEd	Nc,Rd	Nt,Rd	Riduzione da taglio	px	py	Verifica
0	SLV 13	0.375	1	-45658.1	121635.1		1	0	0	Si

Verifiche a forza assiale SLD §4.2.4.1.2.1 - §4.2.4.1.2.2 NTC18

X	Comb.	Sfruttamento	Classe	NEd	Nc,Rd	Nt,Rd	Riduzione da taglio	px	py	Verifica
0	SLD 13	0.174	1	-21127.3	121635.1		1	0	0	Si

Verifica a torsione §4.2.4.1.2.5 NTC18

X	Comb.	Sfruttamento torsione	TEd	TRd	Riduzione taglio resistente	Sfruttamento taglio-torsione	τEd,totale	τRd	Verifica
475	SLV 16	0.003	1384.7	553655.2	Considerata				Si

Verifica a torsione SLD §4.2.4.1.2.5 NTC18

X	Comb.	Sfruttamento torsione	TEd	TRd	Riduzione taglio resistente	Sfruttamento taglio-torsione	τEd,totale	τRd	Verifica
475	SLD 16	0.001	576.2	553655.2	Considerata				Si

Verifiche ad instabilità

Caratteristiche iniziali

Membratura principale per controllo snellezza; Calcolo di snellezze ed N critici condotti secondo gli assi principali;  
Curva X: c; Curva Y: c; Svergolamento: Carico all'estradosso; Curva svergolamento: d;

Dati per instabilità attorno a x

Numero rit.	Presente	Ascissa	Campata	βx/m	Vincolo a entrambi estremi	λx/m	λVer
1	Si	0					
			1-2	1	Si	77.6	Si, (<200)

Numero rit.	Presente	Ascissa	Campata	$\beta x/m$	Vincolo a entrambi estremi	$\lambda x/m$	$\lambda Ver$
2	Si	475					

Dati per instabilità attorno a y

Numero rit.	Presente	Ascissa	Campata	$\beta y/n$	$k,LT$	$kw,LT$	Vincolo a entrambi estremi	$\lambda y/n$	$\lambda Ver$
1	Si	0							
			1-2	1	1	1	Si	77.6	Si, (<200)
2	Si	475							

Verifica di stabilità membrature compresse §4.2.4.1.3.1 NTC18

X	Comb.	Sfruttamento	Classe	Obblig.	NEd	Nb,Rd	$\chi_{min}$	I0 x/m	I0 y/n	$\lambda_{adim. x/m}$	$\lambda_{adim. y/n}$	N,crit x/m	N,crit y/n	Verifica
0	SLV 13	0.622	1	Si	-45658.1	73441.6	0.604	475	475	0.894	0.894	159951.8	159951.8	Si

Verifica di stabilità membrature compresse SLD §4.2.4.1.3.1 NTC18

X	Comb.	Sfruttamento	Classe	Obblig.	NEd	Nb,Rd	$\chi_{min}$	I0 x/m	I0 y/n	$\lambda_{adim. x/m}$	$\lambda_{adim. y/n}$	N,crit x/m	N,crit y/n	Verifica
0	SLD 14	0.288	1	Si	-21127.3	73441.6	0.604	475	475	0.894	0.894	159951.8	159951.8	Si

Verifiche a deformabilità

Mensola X: No; Mensola Y: No.  
Verifiche non eseguite in quanto il superelemento è verticale.

Superelemento in acciaio composto dall'asta 9

Caratteristiche del materiale

Acciaio: S275, fyk = 2750

Caratteristiche geometriche

Lunghezza: 475  
Nodo iniziale: 7 Nodo finale: 119  
Cerniera iniziale: Svincolo: M2, M3 Cerniera finale: Svincolo: M2, M3  
Sovraresistenza: 0% Sisma Z: No

Caratteristiche della sezione

Sezione	Rotazione	Area	Jx	Jy	ix	iy	Wx	Wy	Wplx	Wply
EN10219 160x160x8	0	46.44	1741.23	1741.23	6.12	6.12	217.65	217.65	260.14	260.14

Verifiche di resistenza

Verifiche a forza assiale §4.2.4.1.2.1 - §4.2.4.1.2.2 NTC18

X	Comb.	Sfruttamento	Classe	NEd	Nc,Rd	Nt,Rd	Riduzione da taglio	px	py	Verifica
0	SLV 4	0.367	1	-44671.6	121635.1		1	0	0	Si

Verifiche a forza assiale SLD §4.2.4.1.2.1 - §4.2.4.1.2.2 NTC18

X	Comb.	Sfruttamento	Classe	NEd	Nc,Rd	Nt,Rd	Riduzione da taglio	px	py	Verifica
0	SLD 4	0.167	1	-20311.1	121635.1		1	0	0	Si

Verifica a torsione §4.2.4.1.2.5 NTC18

X	Comb.	Sfruttamento torsione	TEd	TRd	Riduzione taglio resistente	Sfruttamento taglio-torsione	$\tau Ed,totale$	$\tau Rd$	Verifica
475	SLV 16	0.003	1397.8	553655.2	Considerata				Si

Verifica a torsione SLD §4.2.4.1.2.5 NTC18

X	Comb.	Sfruttamento torsione	TEd	TRd	Riduzione taglio resistente	Sfruttamento taglio-torsione	$\tau Ed,totale$	$\tau Rd$	Verifica
475	SLD 16	0.001	578.4	553655.2	Considerata				Si

Verifiche ad instabilità

Caratteristiche iniziali

Membratura principale per controllo snellezza; Calcolo di snellezze ed N critici condotti secondo gli assi principali;  
Curva X: c; Curva Y: c; Svergolamento: Carico all'estradosso; Curva svergolamento: d;

Dati per instabilità attorno a x

Numero rit.	Presente	Ascissa	Campata	$\beta x/m$	Vincolo a entrambi estremi	$\lambda x/m$	$\lambda Ver$
1	Si	0					
			1-2	1	Si	77.6	Si, (<200)
2	Si	475					

Dati per instabilità attorno a y

Numero rit.	Presente	Ascissa	Campata	$\beta y/n$	$k,LT$	$kw,LT$	Vincolo a entrambi estremi	$\lambda y/n$	$\lambda Ver$
1	Si	0							
			1-2	1	1	1	Si	77.6	Si, (<200)
2	Si	475							

Verifica di stabilità membrature compresse §4.2.4.1.3.1 NTC18

X	Comb.	Sfruttamento	Classe	Obblig.	NEd	Nb,Rd	$\chi_{min}$	I0 x/m	I0 y/n	$\lambda_{adim. x/m}$	$\lambda_{adim. y/n}$	N,crit x/m	N,crit y/n	Verifica
0	SLV 3	0.608	1	Si	-44671.6	73441.6	0.604	475	475	0.894	0.894	159951.8	159951.8	Si

Verifica di stabilità membrature compresse SLD §4.2.4.1.3.1 NTC18

X	Comb.	Sfruttamento	Classe	Obblig.	NEd	Nb,Rd	$\chi_{min}$	I0 x/m	I0 y/n	$\lambda_{adim. x/m}$	$\lambda_{adim. y/n}$	N,crit x/m	N,crit y/n	Verifica
0	SLD 4	0.277	1	Si	-20311.1	73441.6	0.604	475	475	0.894	0.894	159951.8	159951.8	Si

Verifiche a deformabilità

Mensola X: No; Mensola Y: No.  
Verifiche non eseguite in quanto il superelemento è verticale.

Superelemento in acciaio composto dall'asta 10

Caratteristiche del materiale

Acciaio: S275, fyk = 2750

Caratteristiche geometriche

Lunghezza: 475  
Nodo iniziale: 11 Nodo finale: 137  
Cerniera iniziale: Svincolo: M2, M3 Cerniera finale: Svincolo: M2, M3  
Sovreresistenza: 0% Sisma Z: No

Caratteristiche della sezione

Sezione	Rotazione	Area	Jx	Jy	ix	iy	Wx	Wy	Wplx	Wply
EN10219 168, 3x8	0	40.29	1297.27	1297.27	5.67	5.67	154.16	154.16	205.74	205.74

Verifiche di resistenza

Verifiche a forza assiale §4.2.4.1.2.1 - §4.2.4.1.2.2 NTC18

X	Comb.	Sfruttamento	Classe	NEd	Nc,Rd	Nt,Rd	Riduzione da taglio	px	py	Verifica
0	SLU 20	0.085	1	-8989.6	105515.6		1	0	0	Si

Verifiche a forza assiale SLD §4.2.4.1.2.1 - §4.2.4.1.2.2 NTC18

X	Comb.	Sfruttamento	Classe	NEd	Nc,Rd	Nt,Rd	Riduzione da taglio	px	py	Verifica
0	SLD 4	0.054	1	-5697.2	105515.6		1	0	0	Si

Verifica a torsione §4.2.4.1.2.5 NTC18

X	Comb.	Sfruttamento torsione	TEd	TRd	Riduzione taglio resistente	Sfruttamento taglio-torsione	τEd,totale	τRd	Verifica
475	SLV 16	0.002	1165.3	488269.6	Considerata				Si

Verifica a torsione SLD §4.2.4.1.2.5 NTC18

X	Comb.	Sfruttamento torsione	TEd	TRd	Riduzione taglio resistente	Sfruttamento taglio-torsione	τEd,totale	τRd	Verifica
475	SLD 16	0.001	491.6	488269.6	Considerata				Si

Verifiche ad instabilità

Caratteristiche iniziali

Membratura principale per controllo snellezza; Calcolo di snellezze ed N critici condotti secondo gli assi principali;  
Curva X: c; Curva Y: c;  
Svergolamento: Nessuno; la verifica a instabilità flessione-torsionale (svergolamento) non verrà eseguita.

Dati per instabilità attorno a x

Numero rit.	Presente	Ascissa	Campata	βx/m	Vincolo a entrambi estremi	λx/m	λVer
1	Si	0					
2	Si	475	1-2	1	Si	83.7	Si, (<200)

Dati per instabilità attorno a y

Numero rit.	Presente	Ascissa	Campata	βy/n	k,LT	kw,LT	Vincolo a entrambi estremi
1	Si	0					
2	Si	475	1-2	1	Si	83.7	Si, (<200)

Verifica di stabilità membrature compresse §4.2.4.1.3.1 NTC18

X	Comb.	Sfruttamento	Classe	Obblig.	NEd	Nb,Rd	χ,min	I0 x/m	I0 y/n	λ adim. x/m	λ adim. y/n	N,crit x/m	N,crit y/n	Verifica
0	SLU 20	0.152	1	Si	-8989.6	59190.9	0.561	475	475	0.964	0.964	119168.8	119168.8	Si

Verifica di stabilità membrature compresse SLD §4.2.4.1.3.1 NTC18

X	Comb.	Sfruttamento	Classe	Obblig.	NEd	Nb,Rd	χ,min	I0 x/m	I0 y/n	λ adim. x/m	λ adim. y/n	N,crit x/m	N,crit y/n	Verifica
0	SLD 4	0.096	1	Si	-5697.2	59190.9	0.561	475	475	0.964	0.964	119168.8	119168.8	Si

Verifiche a deformabilità

Mensola X: No; Mensola Y: No.  
Verifiche non eseguite in quanto il superelemento è verticale.

Superelemento in acciaio composto dall'asta 11

Caratteristiche del materiale

Acciaio: S275, fyk = 2750

Caratteristiche geometriche

Lunghezza: 475  
Nodo iniziale: 12 Nodo finale: 139  
Cerniera iniziale: Svincolo: M2, M3 Cerniera finale: Svincolo: M2, M3  
Sovreresistenza: 0% Sisma Z: No

Caratteristiche della sezione

Sezione	Rotazione	Area	Jx	Jy	ix	iy	Wx	Wy	Wplx	Wply
EN10219 168, 3x8	0	40.29	1297.27	1297.27	5.67	5.67	154.16	154.16	205.74	205.74

**Verifiche di resistenza****Verifiche a forza assiale §4.2.4.1.2.1 - §4.2.4.1.2.2 NTC18**

X	Comb.	Sfruttamento	Classe	NEd	Nc,Rd	Nt,Rd	Riduzione da taglio	px	py	Verifica
0	SLU 20	0.175	1	-18479.6	105515.6		1	0	0	Si

**Verifiche a forza assiale SLD §4.2.4.1.2.1 - §4.2.4.1.2.2 NTC18**

X	Comb.	Sfruttamento	Classe	NEd	Nc,Rd	Nt,Rd	Riduzione da taglio	px	py	Verifica
0	SLD 12	0.122	1	-12873.3	105515.6		1	0	0	Si

**Verifica a torsione §4.2.4.1.2.5 NTC18**

X	Comb.	Sfruttamento torsione	TEd	TRd	Riduzione taglio resistente	Sfruttamento taglio-torsione	rEd,totale	rRd	Verifica
475	SLV 16	0.002	1220.1	488269.6	Considerata				Si

**Verifica a torsione SLD §4.2.4.1.2.5 NTC18**

X	Comb.	Sfruttamento torsione	TEd	TRd	Riduzione taglio resistente	Sfruttamento taglio-torsione	rEd,totale	rRd	Verifica
475	SLD 16	0.001	511.5	488269.6	Considerata				Si

**Verifiche ad instabilità****Caratteristiche iniziali**

Membratura principale per controllo snellezza; Calcolo di snellezze ed N critici condotti secondo gli assi principali;

Curva X: c; Curva Y: c;

Svergolamento: Nessuno; la verifica a instabilità flessio-torsionale (svergolamento) non verrà eseguita.

**Dati per instabilità attorno a x**

Numero rit.	Presente	Ascissa	Campata	βx/m	Vincolo a entrambi estremi	λx/m	λVer
1	Si	0					
			1-2	1	Si	83.7	Si, (<200)
2	Si	475					

**Dati per instabilità attorno a y**

Numero rit.	Presente	Ascissa	Campata	βy/n	k,LT	kw,LT	Vincolo a entrambi estremi
1	Si	0					
			1-2	1	Si	83.7	Si, (<200)
2	Si	475					

**Verifica di stabilità membrane compresse §4.2.4.1.3.1 NTC18**

X	Comb.	Sfruttamento	Classe	Obblig.	NEd	Nb,Rd	χ,min	I0 x/m	I0 y/n	λ adim. x/m	λ adim. y/n	Ncrit x/m	Ncrit y/n	Verifica
0	SLU 20	0.312	1	Si	-18479.6	59190.9	0.561	475	475	0.964	0.964	119168.8	119168.8	Si

**Verifica di stabilità membrane compresse SLD §4.2.4.1.3.1 NTC18**

X	Comb.	Sfruttamento	Classe	Obblig.	NEd	Nb,Rd	χ,min	I0 x/m	I0 y/n	λ adim. x/m	λ adim. y/n	Ncrit x/m	Ncrit y/n	Verifica
0	SLD 12	0.217	1	Si	-12873.3	59190.9	0.561	475	475	0.964	0.964	119168.8	119168.8	Si

**Verifiche a deformabilità**

Mensola X: No; Mensola Y: No.

Verifiche non eseguite in quanto il superelemento è verticale.

**Superelemento in acciaio composto dall'asta 12****Caratteristiche del materiale**

Acciaio: S275, fyk = 2750

**Caratteristiche geometriche**

Lunghezza: 475

Nodo iniziale: 17 Nodo finale: 188

Cerniera iniziale: Svincolo: M2, M3 Cerniera finale: Svincolo: M2, M3

Sovraresistenza: 0% Sisma Z: No

**Caratteristiche della sezione**

Sezione	Rotazione	Area	Jx	Jy	ix	iy	Wx	Wy	Wplx	Wply
EN10219 168,3x8	0	40.29	1297.27	1297.27	5.67	5.67	154.16	154.16	205.74	205.74

**Verifiche di resistenza****Verifiche a forza assiale §4.2.4.1.2.1 - §4.2.4.1.2.2 NTC18**

X	Comb.	Sfruttamento	Classe	NEd	Nc,Rd	Nt,Rd	Riduzione da taglio	px	py	Verifica
0	SLU 18	0.273	1	-28807.5	105515.6		1	0	0	Si

**Verifiche a forza assiale SLD §4.2.4.1.2.1 - §4.2.4.1.2.2 NTC18**

X	Comb.	Sfruttamento	Classe	NEd	Nc,Rd	Nt,Rd	Riduzione da taglio	px	py	Verifica
0	SLD 14	0.168	1	-17765.3	105515.6		1	0	0	Si

**Verifica a torsione §4.2.4.1.2.5 NTC18**

X	Comb.	Sfruttamento torsione	TEd	TRd	Riduzione taglio resistente	Sfruttamento taglio-torsione	rEd,totale	rRd	Verifica
0	SLV 14	0.003	1234.5	488269.6	Considerata				Si

**Verifica a torsione SLD §4.2.4.1.2.5 NTC18**

X	Comb.	Sfruttamento torsione	TEd	TRd	Riduzione taglio resistente	Sfruttamento taglio-torsione	rEd,totale	rRd	Verifica
237.5	SLD 14	0.001	515	488269.6	Considerata				Si

Verifiche ad instabilità

Caratteristiche iniziali

Membratura principale per controllo snellezza; Calcolo di snellezze ed N critici condotti secondo gli assi principali;  
Curva X: c; Curva Y: c;  
Svergolamento: Nessuno; la verifica a instabilità flessione-torsionale (svergolamento) non verrà eseguita.

Dati per instabilità attorno a x

Numero rit.	Presente	Ascissa	Campata	$\beta x/m$	Vincolo a entrambi estremi	$\lambda x/m$	$\lambda Ver$
1	Si	0					
			1-2	1	Si	83.7	Si, (<200)
2	Si	475					

Dati per instabilità attorno a y

Numero rit.	Presente	Ascissa	Campata	$\beta y/n$	k,LT	kw,LT	Vincolo a entrambi estremi
1	Si	0					
			1-2	1	Si	83.7	Si, (<200)
2	Si	475					

Verifica di stabilità membrane compresse §4.2.4.1.3.1 NTC18

X	Comb.	Sfruttamento	Classe	Obblig.	NEd	Nb,Rd	$\chi_{min}$	I0 x/m	I0 y/n	$\lambda_{adim. x/m}$	$\lambda_{adim. y/n}$	N,crit x/m	N,crit y/n	Verifica
0	SLU 18	0.487	1	Si	-28807.5	59190.9	0.561	475	475	0.964	0.964	119168.8	119168.8	Si

Verifica di stabilità membrane compresse SLD §4.2.4.1.3.1 NTC18

X	Comb.	Sfruttamento	Classe	Obblig.	NEd	Nb,Rd	$\chi_{min}$	I0 x/m	I0 y/n	$\lambda_{adim. x/m}$	$\lambda_{adim. y/n}$	N,crit x/m	N,crit y/n	Verifica
0	SLD 14	0.3	1	Si	-17765.3	59190.9	0.561	475	475	0.964	0.964	119168.8	119168.8	Si

Verifiche a deformabilità

Mensola X: No; Mensola Y: No.  
Verifiche non eseguite in quanto il superelemento è verticale.

Superelemento in acciaio composto dall'asta 13

Caratteristiche del materiale

Acciaio: S275, fyk = 2750

Caratteristiche geometriche

Lunghezza: 475  
Nodo iniziale: 16 Nodo finale: 173  
Cerniera iniziale: Svincolo: M2, M3 Cerniera finale: Svincolo: M2, M3  
Sovreresistenza: 0% Sisma Z: No

Caratteristiche della sezione

Sezione	Rotazione	Area	Jx	Jy	ix	iy	Wx	Wy	Wplx	Wply
EN10219 168, 3x8	0	40.29	1297.27	1297.27	5.67	5.67	154.16	154.16	205.74	205.74

Verifiche di resistenza

Verifiche a forza assiale §4.2.4.1.2.1 - §4.2.4.1.2.2 NTC18

X	Comb.	Sfruttamento	Classe	NEd	Nc,Rd	Nt,Rd	Riduzione da taglio	$\rho x$	$\rho y$	Verifica
0	SLU 18	0.317	1	-33397.9	105515.6		1	0	0	Si

Verifiche a forza assiale SLD §4.2.4.1.2.1 - §4.2.4.1.2.2 NTC18

X	Comb.	Sfruttamento	Classe	NEd	Nc,Rd	Nt,Rd	Riduzione da taglio	$\rho x$	$\rho y$	Verifica
0	SLD 4	0.188	1	-19886.5	105515.6		1	0	0	Si

Verifica a torsione §4.2.4.1.2.5 NTC18

X	Comb.	Sfruttamento torsione	TEd	TRd	Riduzione taglio resistente	Sfruttamento taglio-torsione	$\tau Ed,totale$	$\tau Rd$	Verifica
0	SLV 14	0.003	1234.9	488269.6	Considerata				Si

Verifica a torsione SLD §4.2.4.1.2.5 NTC18

X	Comb.	Sfruttamento torsione	TEd	TRd	Riduzione taglio resistente	Sfruttamento taglio-torsione	$\tau Ed,totale$	$\tau Rd$	Verifica
237.5	SLD 14	0.001	512.7	488269.6	Considerata				Si

Verifiche ad instabilità

Caratteristiche iniziali

Membratura principale per controllo snellezza; Calcolo di snellezze ed N critici condotti secondo gli assi principali;  
Curva X: c; Curva Y: c;  
Svergolamento: Nessuno; la verifica a instabilità flessione-torsionale (svergolamento) non verrà eseguita.

Dati per instabilità attorno a x

Numero rit.	Presente	Ascissa	Campata	$\beta x/m$	Vincolo a entrambi estremi	$\lambda x/m$	$\lambda Ver$
1	Si	0					
			1-2	1	Si	83.7	Si, (<200)
2	Si	475					

Dati per instabilità attorno a y

Numero rit.	Presente	Ascissa	Campata	$\beta y/n$	k,LT	kw,LT	Vincolo a entrambi estremi
1	Si	0					
			1-2	1	Si	83.7	Si, (<200)
2	Si	475					

Verifica di stabilità membrane compresse §4.2.4.1.3.1 NTC18

X	Comb.	Sfruttamento	Classe	Obblig.	NEd	Nb,Rd	$\chi_{min}$	I0 x/m	I0 y/n	$\lambda_{adim. x/m}$	$\lambda_{adim. y/n}$	N,crit x/m	N,crit y/n	Verifica
0	SLU 18	0.564	1	Si	-33397.9	59190.9	0.561	475	475	0.964	0.964	119168.8	119168.8	Si

**Verifica di stabilità membrature compresse SLD §4.2.4.1.3.1 NTC18**

X	Comb.	Sfruttamento	Classe	Obblig.	NEd	Nb,Rd	x,min	I0 x/m	I0 y/n	λ adim. x/m	λ adim. y/n	N,crit x/m	N,crit y/n	Verifica
0	SLD 4	0.336	1	Si	-19886.5	59190.9	0.561	475	475	0.964	0.964	119168.8	119168.8	Si

**Verifiche a deformabilità**

Mensola X: No; Mensola Y: No.

Verifiche non eseguite in quanto il superelemento è verticale.

**Superelemento in acciaio composto dall'asta 14****Caratteristiche del materiale**

Acciaio: S275, fyk = 2750

**Caratteristiche geometriche**

Lunghezza: 475

Nodo iniziale: 15 Nodo finale: 161

Cerniera iniziale: Svincolo: M2, M3 Cerniera finale: Svincolo: M2, M3

Sovreresistenza: 0% Sisma Z: No

**Caratteristiche della sezione**

Sezione	Rotazione	Area	Jx	Jy	ix	iy	Wx	Wy	Wplx	Wply
EN10219 168,3x8	0	40.29	1297.27	1297.27	5.67	5.67	154.16	154.16	205.74	205.74

**Verifiche di resistenza****Verifiche a forza assiale §4.2.4.1.2.1 - §4.2.4.1.2.2 NTC18**

X	Comb.	Sfruttamento	Classe	NEd	Nc,Rd	Nt,Rd	Riduzione da taglio	px	py	Verifica
0	SLU 18	0.312	1	-32951.8	105515.6		1	0	0	Si

**Verifiche a forza assiale SLD §4.2.4.1.2.1 - §4.2.4.1.2.2 NTC18**

X	Comb.	Sfruttamento	Classe	NEd	Nc,Rd	Nt,Rd	Riduzione da taglio	px	py	Verifica
0	SLD 14	0.183	1	-19288	105515.6		1	0	0	Si

**Verifica a torsione §4.2.4.1.2.5 NTC18**

X	Comb.	Sfruttamento torsione	TEd	TRd	Riduzione taglio resistente	Sfruttamento taglio-torsione	τEd,totale	τRd	Verifica
475	SLV 16	0.003	1223.4	488269.6	Considerata				Si

**Verifica a torsione SLD §4.2.4.1.2.5 NTC18**

X	Comb.	Sfruttamento torsione	TEd	TRd	Riduzione taglio resistente	Sfruttamento taglio-torsione	τEd,totale	τRd	Verifica
475	SLD 16	0.001	512.1	488269.6	Considerata				Si

**Verifiche ad instabilità****Caratteristiche iniziali**

Membratura principale per controllo snellezza; Calcolo di snellezze ed N critici condotti secondo gli assi principali;

Curva X: c; Curva Y: c;

Svergolamento: Nessuno; la verifica a instabilità flessione-torsionale (svergolamento) non verrà eseguita.

**Dati per instabilità attorno a x**

Numero rit.	Presente	Ascissa	Campata	βx/m	Vincolo a entrambi estremi	λx/m	λVer
1	Si	0					
			1-2	1	Si	83.7	Si, (<200)
2	Si	475					

**Dati per instabilità attorno a y**

Numero rit.	Presente	Ascissa	Campata	βy/n	k,LT	kw,LT	Vincolo a entrambi estremi
1	Si	0					
			1-2	1	Si	83.7	Si, (<200)
2	Si	475					

**Verifica di stabilità membrature compresse §4.2.4.1.3.1 NTC18**

X	Comb.	Sfruttamento	Classe	Obblig.	NEd	Nb,Rd	x,min	I0 x/m	I0 y/n	λ adim. x/m	λ adim. y/n	N,crit x/m	N,crit y/n	Verifica
0	SLU 18	0.557	1	Si	-32951.8	59190.9	0.561	475	475	0.964	0.964	119168.8	119168.8	Si

**Verifica di stabilità membrature compresse SLD §4.2.4.1.3.1 NTC18**

X	Comb.	Sfruttamento	Classe	Obblig.	NEd	Nb,Rd	x,min	I0 x/m	I0 y/n	λ adim. x/m	λ adim. y/n	N,crit x/m	N,crit y/n	Verifica
0	SLD 14	0.326	1	Si	-19288	59190.9	0.561	475	475	0.964	0.964	119168.8	119168.8	Si

**Verifiche a deformabilità**

Mensola X: No; Mensola Y: No.

Verifiche non eseguite in quanto il superelemento è verticale.

**Superelemento in acciaio composto dall'asta 15****Caratteristiche del materiale**

Acciaio: S275, fyk = 2750

**Caratteristiche geometriche**

Lunghezza: 475

Nodo iniziale: 14 Nodo finale: 148

Cerniera iniziale: Svincolo: M2, M3 Cerniera finale: Svincolo: M2, M3

Sovreresistenza: 0% Sisma Z: No

Caratteristiche della sezione

Sezione	Rotazione	Area	Jx	Jy	ix	iy	Wx	Wy	Wplx	Wply
EN10219 168,3x8	0	40.29	1297.27	1297.27	5.67	5.67	154.16	154.16	205.74	205.74

Verifiche di resistenza

Verifiche a forza assiale §4.2.4.1.2.1 - §4.2.4.1.2.2 NTC18

X	Comb.	Sfruttamento	Classe	NEd	Nc,Rd	Nt,Rd	Riduzione da taglio	px	py	Verifica
0	SLU 18	0.243	1	-25643.3	105515.6		1	0	0	Si

Verifiche a forza assiale SLD §4.2.4.1.2.1 - §4.2.4.1.2.2 NTC18

X	Comb.	Sfruttamento	Classe	NEd	Nc,Rd	Nt,Rd	Riduzione da taglio	px	py	Verifica
0	SLD 4	0.15	1	-15775.9	105515.6		1	0	0	Si

Verifica a torsione §4.2.4.1.2.5 NTC18

X	Comb.	Sfruttamento torsione	TEd	TRd	Riduzione taglio resistente	Sfruttamento taglio-torsione	τEd,totale	τRd	Verifica
475	SLV 16	0.003	1228.9	488269.6	Considerata				Si

Verifica a torsione SLD §4.2.4.1.2.5 NTC18

X	Comb.	Sfruttamento torsione	TEd	TRd	Riduzione taglio resistente	Sfruttamento taglio-torsione	τEd,totale	τRd	Verifica
475	SLD 16	0.001	513.8	488269.6	Considerata				Si

Verifiche ad instabilità

Caratteristiche iniziali

Membratura principale per controllo snellezza; Calcolo di snellezze ed N critici condotti secondo gli assi principali;  
Curva X: c; Curva Y: c;  
Svergolamento: Nessuno; la verifica a instabilità flessio-torsionale (svergolamento) non verrà eseguita.

Dati per instabilità attorno a x

Numero rit.	Presente	Ascissa	Campata	βx/m	Vincolo a entrambi estremi	λx/m	λVer
1	Si	0					
			1-2	1	Si	83.7	Si, (<200)
2	Si	475					

Dati per instabilità attorno a y

Numero rit.	Presente	Ascissa	Campata	βy/n	k,LT	kw,LT	Vincolo a entrambi estremi
1	Si	0					
			1-2	1	Si	83.7	Si, (<200)
2	Si	475					

Verifica di stabilità membrane compresse §4.2.4.1.3.1 NTC18

X	Comb.	Sfruttamento	Classe	Obblig.	NEd	Nb,Rd	x,min	I0 x/m	I0 y/n	λ adim. x/m	λ adim. y/n	N,crit x/m	N,crit y/n	Verifica
0	SLU 18	0.433	1	Si	-25643.3	59190.9	0.561	475	475	0.964	0.964	119168.8	119168.8	Si

Verifica di stabilità membrane compresse SLD §4.2.4.1.3.1 NTC18

X	Comb.	Sfruttamento	Classe	Obblig.	NEd	Nb,Rd	x,min	I0 x/m	I0 y/n	λ adim. x/m	λ adim. y/n	N,crit x/m	N,crit y/n	Verifica
0	SLD 4	0.267	1	Si	-15775.9	59190.9	0.561	475	475	0.964	0.964	119168.8	119168.8	Si

Verifiche a deformabilità

Mensola X: No; Mensola Y: No.  
Verifiche non eseguite in quanto il superelemento è verticale.

Superelemento in acciaio composto dall'asta 16

Caratteristiche del materiale

Acciaio: S275, fyk = 2750

Caratteristiche geometriche

Lunghezza: 475  
Nodo iniziale: 21  
Nodo finale: 203  
Cerniera iniziale: Svincolo: M2, M3  
Cerniera finale: Svincolo: M2, M3  
Sovraresistenza: 0%  
Sisma Z: No

Caratteristiche della sezione

Sezione	Rotazione	Area	Jx	Jy	ix	iy	Wx	Wy	Wplx	Wply
EN10219 168,3x8	0	40.29	1297.27	1297.27	5.67	5.67	154.16	154.16	205.74	205.74

Verifiche di resistenza

Verifiche a forza assiale §4.2.4.1.2.1 - §4.2.4.1.2.2 NTC18

X	Comb.	Sfruttamento	Classe	NEd	Nc,Rd	Nt,Rd	Riduzione da taglio	px	py	Verifica
0	SLV 3	0.309	1	-32637.9	105515.6		1	0	0	Si

Verifiche a forza assiale SLD §4.2.4.1.2.1 - §4.2.4.1.2.2 NTC18

X	Comb.	Sfruttamento	Classe	NEd	Nc,Rd	Nt,Rd	Riduzione da taglio	px	py	Verifica
0	SLD 4	0.149	1	-15695.4	105515.6		1	0	0	Si

Verifica a torsione §4.2.4.1.2.5 NTC18

X	Comb.	Sfruttamento torsione	TEd	TRd	Riduzione taglio resistente	Sfruttamento taglio-torsione	τEd,totale	τRd	Verifica
475	SLV 16	0.003	1241.9	488269.6	Considerata				Si



**Verifica a torsione SLD §4.2.4.1.2.5 NTC18**

X	Comb.	Sfruttamento torsione	TEd	TRd	Riduzione taglio resistente	Sfruttamento taglio-torsione	$\tau_{Ed,totale}$	$\tau_{Rd}$	Verifica
475	SLD 16	0.001	515.3	488269.6	Considerata				Si

**Verifiche ad instabilità****Caratteristiche iniziali**

Membratura principale per controllo snellezza; Calcolo di snellezze ed N critici condotti secondo gli assi principali;

Curva X: c; Curva Y: c;

Svergolamento: Nessuno; la verifica a instabilità flessione-torsionale (svergolamento) non verrà eseguita.

**Dati per instabilità attorno a x**

Numero rit.	Presente	Ascissa	Campata	$\beta x/m$	Vincolo a entrambi estremi	$\lambda x/m$	$\lambda_{Ver}$
1	Si	0					
			1-2	1	Si	83.7	Si, (<200)
2	Si	475					

**Dati per instabilità attorno a y**

Numero rit.	Presente	Ascissa	Campata	$\beta y/n$	k,LT	kw,LT	Vincolo a entrambi estremi
1	Si	0					
			1-2	1	Si	83.7	Si, (<200)
2	Si	475					

**Verifica di stabilità membrature compresse §4.2.4.1.3.1 NTC18**

X	Comb.	Sfruttamento	Classe	Obblig.	NEd	Nb,Rd	$\chi_{min}$	I0 x/m	I0 y/n	$\lambda_{adim. x/m}$	$\lambda_{adim. y/n}$	N,crit x/m	N,crit y/n	Verifica
0	SLV 3	0.551	1	Si	-32637.9	59190.9	0.561	475	475	0.964	0.964	119168.8	119168.8	Si

**Verifica di stabilità membrature compresse SLD §4.2.4.1.3.1 NTC18**

X	Comb.	Sfruttamento	Classe	Obblig.	NEd	Nb,Rd	$\chi_{min}$	I0 x/m	I0 y/n	$\lambda_{adim. x/m}$	$\lambda_{adim. y/n}$	N,crit x/m	N,crit y/n	Verifica
0	SLD 4	0.265	1	Si	-15695.4	59190.9	0.561	475	475	0.964	0.964	119168.8	119168.8	Si

**Verifiche a deformabilità**

Mensola X: No; Mensola Y: No.

Verifiche non eseguite in quanto il superelemento è verticale.

**Superelemento in acciaio composto dall'asta 17****Caratteristiche del materiale**

Acciaio: S275, fyk = 2750

**Caratteristiche geometriche**

Lunghezza: 475

Nodo iniziale: 22 Nodo finale: 204

Cerniera iniziale: Svincolo: M2, M3 Cerniera finale: Svincolo: M2, M3

Sovreresistenza: 0% Sisma Z: No

**Caratteristiche della sezione**

Sezione	Rotazione	Area	Jx	Jy	ix	iy	Wx	Wy	Wplx	Wply
EN10219 168, 3x8	0	40.29	1297.27	1297.27	5.67	5.67	154.16	154.16	205.74	205.74

**Verifiche di resistenza****Verifiche a forza assiale §4.2.4.1.2.1 - §4.2.4.1.2.2 NTC18**

X	Comb.	Sfruttamento	Classe	NEd	Nc,Rd	Nt,Rd	Riduzione da taglio	$\rho_x$	$\rho_y$	Verifica
0	SLV 20	0.118	1	-12420.8	105515.6		1	0	0	Si

**Verifiche a forza assiale SLD §4.2.4.1.2.1 - §4.2.4.1.2.2 NTC18**

X	Comb.	Sfruttamento	Classe	NEd	Nc,Rd	Nt,Rd	Riduzione da taglio	$\rho_x$	$\rho_y$	Verifica
0	SLD 1	0.069	1	-7253.7	105515.6		1	0	0	Si

**Verifica a torsione §4.2.4.1.2.5 NTC18**

X	Comb.	Sfruttamento torsione	TEd	TRd	Riduzione taglio resistente	Sfruttamento taglio-torsione	$\tau_{Ed,totale}$	$\tau_{Rd}$	Verifica
475	SLV 16	0.003	1243.1	488269.6	Considerata				Si

**Verifica a torsione SLD §4.2.4.1.2.5 NTC18**

X	Comb.	Sfruttamento torsione	TEd	TRd	Riduzione taglio resistente	Sfruttamento taglio-torsione	$\tau_{Ed,totale}$	$\tau_{Rd}$	Verifica
475	SLD 16	0.001	514.4	488269.6	Considerata				Si

**Verifiche ad instabilità****Caratteristiche iniziali**

Membratura principale per controllo snellezza; Calcolo di snellezze ed N critici condotti secondo gli assi principali;

Curva X: c; Curva Y: c;

Svergolamento: Nessuno; la verifica a instabilità flessione-torsionale (svergolamento) non verrà eseguita.

**Dati per instabilità attorno a x**

Numero rit.	Presente	Ascissa	Campata	$\beta x/m$	Vincolo a entrambi estremi	$\lambda x/m$	$\lambda_{Ver}$
1	Si	0					
			1-2	1	Si	83.7	Si, (<200)
2	Si	475					

**Dati per instabilità attorno a y**

Numero rit.	Presente	Ascissa	Campata	$\beta y/n$	k,LT	kw,LT	Vincolo a entrambi estremi
1	Si	0					
			1-2	1	Si	83.7	Si, (<200)

Numero rit.	Presente	Ascissa	Campata	$\beta y/n$	k,LT	kw,LT	Vincolo a entrambi estremi
2	Si	475					

Verifica di stabilità membrane compresse §4.2.4.1.3.1 NTC18

X	Comb.	Sfruttamento	Classe	Obblig.	NEd	Nb,Rd	$\chi_{min}$	I0 x/m	I0 y/n	$\lambda_{adim. x/m}$	$\lambda_{adim. y/n}$	N,crit x/m	N,crit y/n	Verifica
0	SLU 20	0.21	1	Si	-12420.8	59190.9	0.561	475	475	0.964	0.964	119168.8	119168.8	Si

Verifica di stabilità membrane compresse SLD §4.2.4.1.3.1 NTC18

X	Comb.	Sfruttamento	Classe	Obblig.	NEd	Nb,Rd	$\chi_{min}$	I0 x/m	I0 y/n	$\lambda_{adim. x/m}$	$\lambda_{adim. y/n}$	N,crit x/m	N,crit y/n	Verifica
0	SLD 1	0.123	1	Si	-7253.7	59190.9	0.561	475	475	0.964	0.964	119168.8	119168.8	Si

Verifiche a deformabilità

Mensola X: No; Mensola Y: No.  
Verifiche non eseguite in quanto il superelemento è verticale.

## Superelemento in acciaio composto dall'asta 18

Caratteristiche del materiale

Acciaio: S275, fyk = 2750

Caratteristiche geometriche

Lunghezza: 475  
Nodo iniziale: 18  
Nodo finale: 194  
Cerniera iniziale: Svincolo: M2, M3  
Cerniera finale: Svincolo: M2, M3  
Sovraresistenza: 0%  
Sisma Z: No

Caratteristiche della sezione

Sezione	Rotazione	Area	Jx	Jy	ix	iy	Wx	Wy	Wplx	Wply
EN10219 168, 3x8	0	40.29	1297.27	1297.27	5.67	5.67	154.16	154.16	205.74	205.74

Verifiche di resistenza

Verifiche a forza assiale §4.2.4.1.2.1 - §4.2.4.1.2.2 NTC18

X	Comb.	Sfruttamento	Classe	NEd	Nc,Rd	Nt,Rd	Riduzione da taglio	px	py	Verifica
0	SLV 9	0.188	1	-19803.3	105515.6		1	0	0	Si

Verifiche a forza assiale SLD §4.2.4.1.2.1 - §4.2.4.1.2.2 NTC18

X	Comb.	Sfruttamento	Classe	NEd	Nc,Rd	Nt,Rd	Riduzione da taglio	px	py	Verifica
0	SLD 9	0.13	1	-13719.8	105515.6		1	0	0	Si

Verifica a torsione §4.2.4.1.2.5 NTC18

X	Comb.	Sfruttamento torsione	TEd	TRd	Riduzione taglio resistente	Sfruttamento taglio-torsione	$\tau Ed_{totale}$	$\tau Rd$	Verifica
475	SLV 16	0.003	1239.3	488269.6	Considerata				Si

Verifica a torsione SLD §4.2.4.1.2.5 NTC18

X	Comb.	Sfruttamento torsione	TEd	TRd	Riduzione taglio resistente	Sfruttamento taglio-torsione	$\tau Ed_{totale}$	$\tau Rd$	Verifica
475	SLD 16	0.001	511.4	488269.6	Considerata				Si

Verifiche ad instabilità

Caratteristiche iniziali

Membratura principale per controllo snellezza; Calcolo di snellezze ed N critici condotti secondo gli assi principali;  
Curva X: c; Curva Y: c;  
Svergolamento: Nessuno; la verifica a instabilità flesso-torsionale (svergolamento) non verrà eseguita.

Dati per instabilità attorno a x

Numero rit.	Presente	Ascissa	Campata	$\beta x/m$	Vincolo a entrambi estremi	$\lambda x/m$	$\lambda Ver$
1	Si	0					
			1-2		1	83.7	Si, (<200)
2	Si	475					

Dati per instabilità attorno a y

Numero rit.	Presente	Ascissa	Campata	$\beta y/n$	k,LT	kw,LT	Vincolo a entrambi estremi
1	Si	0					
			1-2		1	83.7	Si, (<200)
2	Si	475					

Verifica di stabilità membrane compresse §4.2.4.1.3.1 NTC18

X	Comb.	Sfruttamento	Classe	Obblig.	NEd	Nb,Rd	$\chi_{min}$	I0 x/m	I0 y/n	$\lambda_{adim. x/m}$	$\lambda_{adim. y/n}$	N,crit x/m	N,crit y/n	Verifica
0	SLV 10	0.335	1	Si	-19803.3	59190.9	0.561	475	475	0.964	0.964	119168.8	119168.8	Si

Verifica di stabilità membrane compresse SLD §4.2.4.1.3.1 NTC18

X	Comb.	Sfruttamento	Classe	Obblig.	NEd	Nb,Rd	$\chi_{min}$	I0 x/m	I0 y/n	$\lambda_{adim. x/m}$	$\lambda_{adim. y/n}$	N,crit x/m	N,crit y/n	Verifica
0	SLD 9	0.232	1	Si	-13719.8	59190.9	0.561	475	475	0.964	0.964	119168.8	119168.8	Si

Verifiche a deformabilità

Mensola X: No; Mensola Y: No.  
Verifiche non eseguite in quanto il superelemento è verticale.

## Superelemento in acciaio composto dall'asta 19

Caratteristiche del materiale

Acciaio: S275, fyk = 2750

**Caratteristiche geometriche**

Lunghezza: 475

Nodo iniziale: 19 Nodo finale: 195

Cerniera iniziale: Svincolo: M2, M3 Cerniera finale: Svincolo: M2, M3

Sovreresistenza: 0% Sisma Z: No

**Caratteristiche della sezione**

Sezione	Rotazione	Area	Jx	Jy	ix	iy	Wx	Wy	Wplx	Wply
EN10219 168, 3x8	0	40.29	1297.27	1297.27	5.67	5.67	154.16	154.16	205.74	205.74

**Verifiche di resistenza****Verifiche a forza assiale §4.2.4.1.2.1 - §4.2.4.1.2.2 NTC18**

X	Comb.	Sfruttamento	Classe	NEd	Nc,Rd	Nt,Rd	Riduzione da taglio	px	py	Verifica
0	SLV 1	0.263	1	-27744.7	105515.6		1	0	0	Si

**Verifiche a forza assiale SLD §4.2.4.1.2.1 - §4.2.4.1.2.2 NTC18**

X	Comb.	Sfruttamento	Classe	NEd	Nc,Rd	Nt,Rd	Riduzione da taglio	px	py	Verifica
0	SLD 1	0.139	1	-14656.6	105515.6		1	0	0	Si

**Verifica a torsione §4.2.4.1.2.5 NTC18**

X	Comb.	Sfruttamento torsione	TEd	TRd	Riduzione taglio resistente	Sfruttamento taglio-torsione	τEd,totale	τRd	Verifica
0	SLV 14	0.003	1256	488269.6	Considerata				Si

**Verifica a torsione SLD §4.2.4.1.2.5 NTC18**

X	Comb.	Sfruttamento torsione	TEd	TRd	Riduzione taglio resistente	Sfruttamento taglio-torsione	τEd,totale	τRd	Verifica
237.5	SLD 14	0.001	522.4	488269.6	Considerata				Si

**Verifiche ad instabilità****Caratteristiche iniziali**

Membratura principale per controllo snellezza; Calcolo di snellezze ed N critici condotti secondo gli assi principali;

Curva X: c; Curva Y: c;

Svergolamento: Nessuno; la verifica a instabilità flesso-torsionale (svergolamento) non verrà eseguita.

**Dati per instabilità attorno a x**

Numero rit.	Presente	Ascissa	Campata	βx/m	Vincolo a entrambi estremi	λx/m	λVer
1	Si	0					
2	Si	475	1-2	1	Si	83.7	Si, (<200)

**Dati per instabilità attorno a y**

Numero rit.	Presente	Ascissa	Campata	βy/n	k,LT	kw,LT	Vincolo a entrambi estremi
1	Si	0					
2	Si	475	1-2	1	Si	83.7	Si, (<200)

**Verifica di stabilità membrature compresse §4.2.4.1.3.1 NTC18**

X	Comb.	Sfruttamento	Classe	Obblig.	NEd	Nb,Rd	χ,min	I0 x/m	I0 y/n	λ adim. x/m	λ adim. y/n	N,crit x/m	N,crit y/n	Verifica
0	SLV 1	0.469	1	Si	-27744.7	59190.9	0.561	475	475	0.964	0.964	119168.8	119168.8	Si

**Verifica di stabilità membrature compresse SLD §4.2.4.1.3.1 NTC18**

X	Comb.	Sfruttamento	Classe	Obblig.	NEd	Nb,Rd	χ,min	I0 x/m	I0 y/n	λ adim. x/m	λ adim. y/n	N,crit x/m	N,crit y/n	Verifica
0	SLD 1	0.248	1	Si	-14656.6	59190.9	0.561	475	475	0.964	0.964	119168.8	119168.8	Si

**Verifiche a deformabilità**

Mensola X: No; Mensola Y: No.

Verifiche non eseguite in quanto il superelemento è verticale.

**Superelemento in acciaio composto dall'asta 20****Caratteristiche del materiale**

Acciaio: S275, fyk = 2750

**Caratteristiche geometriche**

Lunghezza: 475

Nodo iniziale: 20 Nodo finale: 197

Cerniera iniziale: Svincolo: M2, M3 Cerniera finale: Svincolo: M2, M3

Sovreresistenza: 0% Sisma Z: No

**Caratteristiche della sezione**

Sezione	Rotazione	Area	Jx	Jy	ix	iy	Wx	Wy	Wplx	Wply
EN10219 168, 3x8	0	40.29	1297.27	1297.27	5.67	5.67	154.16	154.16	205.74	205.74

**Verifiche di resistenza****Verifiche a forza assiale §4.2.4.1.2.1 - §4.2.4.1.2.2 NTC18**

X	Comb.	Sfruttamento	Classe	NEd	Nc,Rd	Nt,Rd	Riduzione da taglio	px	py	Verifica
0	SLU 20	0.11	1	-11586	105515.6		1	0	0	Si

**Verifiche a forza assiale SLD §4.2.4.1.2.1 - §4.2.4.1.2.2 NTC18**

X	Comb.	Sfruttamento	Classe	NEd	Nc,Rd	Nt,Rd	Riduzione da taglio	px	py	Verifica
0	SLD 5	0.064	1	-6787.2	105515.6		1	0	0	Si

Verifica a torsione §4.2.4.1.2.5 NTC18

X	Comb.	Sfruttamento torsione	TEd	TRd	Riduzione taglio resistente	Sfruttamento taglio-torsione	τEd,totale	τRd	Verifica
0	SLV 14	0.003	1254.8	488269.6	Considerata				Si

Verifica a torsione SLD §4.2.4.1.2.5 NTC18

X	Comb.	Sfruttamento torsione	TEd	TRd	Riduzione taglio resistente	Sfruttamento taglio-torsione	τEd,totale	τRd	Verifica
443.3	SLD 14	0.001	518.1	488269.6	Considerata				Si

Verifiche ad instabilità

Caratteristiche iniziali

Membratura principale per controllo snellezza; Calcolo di snellezze ed N critici condotti secondo gli assi principali;  
Curva X: c; Curva Y: c;  
Svergolamento: Nessuno; la verifica a instabilità flessio-torsionale (svergolamento) non verrà eseguita.

Dati per instabilità attorno a x

Numero rit.	Presente	Ascissa	Campata	βx/m	Vincolo a entrambi estremi	λx/m	λVer
1	Si	0					
			1-2	1	Si	83.7	Si, (<200)
2	Si	475					

Dati per instabilità attorno a y

Numero rit.	Presente	Ascissa	Campata	βy/n	k,LT	kw,LT	Vincolo a entrambi estremi
1	Si	0					
			1-2	1	Si	83.7	Si, (<200)
2	Si	475					

Verifica di stabilità membrane compresse §4.2.4.1.3.1 NTC18

X	Comb.	Sfruttamento	Classe	Obblig.	NEd	Nb,Rd	x,min	I0 x/m	I0 y/n	λ adim. x/m	λ adim. y/n	N,crit x/m	N,crit y/n	Verifica
0	SLU 20	0.196	1	Si	-11586	59190.9	0.561	475	475	0.964	0.964	119168.8	119168.8	Si

Verifica di stabilità membrane compresse SLD §4.2.4.1.3.1 NTC18

X	Comb.	Sfruttamento	Classe	Obblig.	NEd	Nb,Rd	x,min	I0 x/m	I0 y/n	λ adim. x/m	λ adim. y/n	N,crit x/m	N,crit y/n	Verifica
0	SLD 5	0.115	1	Si	-6787.2	59190.9	0.561	475	475	0.964	0.964	119168.8	119168.8	Si

Verifiche a deformabilità

Mensola X: No; Mensola Y: No.  
Verifiche non eseguite in quanto il superelemento è verticale.

Superelemento in acciaio composto dall'asta 21

Caratteristiche del materiale

Acciaio: S275, fyk = 2750

Caratteristiche geometriche

Lunghezza: 475  
Nodo iniziale: 23 Nodo finale: 207  
Cerniera iniziale: Svincolo: M2, M3 Cerniera finale: Svincolo: M2, M3  
Sovreresistenza: 0% Sisma Z: No

Caratteristiche della sezione

Sezione	Rotazione	Area	Jx	Jy	ix	iy	Wx	Wy	Wplx	Wply
EN10219 168,3x8	0	40.29	1297.27	1297.27	5.67	5.67	154.16	154.16	205.74	205.74

Verifiche di resistenza

Verifiche a forza assiale §4.2.4.1.2.1 - §4.2.4.1.2.2 NTC18

X	Comb.	Sfruttamento	Classe	NEd	Nc,Rd	Nt,Rd	Riduzione da taglio	px	py	Verifica
0	SLV 9	0.304	1	-32032.8	105515.6		1	0	0	Si

Verifiche a forza assiale SLD §4.2.4.1.2.1 - §4.2.4.1.2.2 NTC18

X	Comb.	Sfruttamento	Classe	NEd	Nc,Rd	Nt,Rd	Riduzione da taglio	px	py	Verifica
0	SLD 10	0.14	1	-14802.1	105515.6		1	0	0	Si

Verifica a torsione §4.2.4.1.2.5 NTC18

X	Comb.	Sfruttamento torsione	TEd	TRd	Riduzione taglio resistente	Sfruttamento taglio-torsione	τEd,totale	τRd	Verifica
0	SLV 14	0.003	1267.2	488269.6	Considerata				Si

Verifica a torsione SLD §4.2.4.1.2.5 NTC18

X	Comb.	Sfruttamento torsione	TEd	TRd	Riduzione taglio resistente	Sfruttamento taglio-torsione	τEd,totale	τRd	Verifica
443.3	SLD 14	0.001	523.5	488269.6	Considerata				Si

Verifiche ad instabilità

Caratteristiche iniziali

Membratura principale per controllo snellezza; Calcolo di snellezze ed N critici condotti secondo gli assi principali;  
Curva X: c; Curva Y: c;  
Svergolamento: Nessuno; la verifica a instabilità flessio-torsionale (svergolamento) non verrà eseguita.

Dati per instabilità attorno a x

Numero rit.	Presente	Ascissa	Campata	βx/m	Vincolo a entrambi estremi	λx/m	λVer
1	Si	0					
			1-2	1	Si	83.7	Si, (<200)
2	Si	475					

**Dati per instabilità attorno a y**

Numero rit.	Presente	Ascissa	Campata	$\beta y/n$	k,LT	kw,LT	Vincolo a entrambi estremi
1	Si	0					
			1-2	1	Si	83.7	Si, (<200)
2	Si	475					

**Verifica di stabilità membrature compresse §4.2.4.1.3.1 NTC18**

X	Comb.	Sfruttamento	Classe	Obblig.	NEd	Nb,Rd	$\chi_{min}$	I0 x/m	I0 y/n	$\lambda_{adim. x/m}$	$\lambda_{adim. y/n}$	N,crit x/m	N,crit y/n	Verifica
0	SLV 9	0.541	1	Si	-32032.8	59190.9	0.561	475	475	0.964	0.964	119168.8	119168.8	Si

**Verifica di stabilità membrature compresse SLD §4.2.4.1.3.1 NTC18**

X	Comb.	Sfruttamento	Classe	Obblig.	NEd	Nb,Rd	$\chi_{min}$	I0 x/m	I0 y/n	$\lambda_{adim. x/m}$	$\lambda_{adim. y/n}$	N,crit x/m	N,crit y/n	Verifica
0	SLD 10	0.25	1	Si	-14802.1	59190.9	0.561	475	475	0.964	0.964	119168.8	119168.8	Si

**Verifiche a deformabilità**

Mensola X: No; Mensola Y: No.

Verifiche non eseguite in quanto il superelemento è verticale.

**Superelemento in acciaio composto dall'asta 22****Caratteristiche del materiale**

Acciaio: S275, fyk = 2750

**Caratteristiche geometriche**

Lunghezza: 475

Nodo iniziale: 29 Nodo finale: 228

Cerniera iniziale: Svincolo: M2, M3 Cerniera finale: Svincolo: M2, M3

Sovreresistenza: 0% Sisma Z: No

**Caratteristiche della sezione**

Sezione	Rotazione	Area	Jx	Jy	ix	iy	Wx	Wy	Wplx	Wply
EN10219 168,3x8	0	40.29	1297.27	1297.27	5.67	5.67	154.16	154.16	205.74	205.74

**Verifiche di resistenza****Verifiche a forza assiale §4.2.4.1.2.1 - §4.2.4.1.2.2 NTC18**

X	Comb.	Sfruttamento	Classe	NEd	Nc,Rd	Nt,Rd	Riduzione da taglio	px	py	Verifica
0	SLU 18	0.165	1	-17413.9	105515.6		1	0	0	Si

**Verifiche a forza assiale SLD §4.2.4.1.2.1 - §4.2.4.1.2.2 NTC18**

X	Comb.	Sfruttamento	Classe	NEd	Nc,Rd	Nt,Rd	Riduzione da taglio	px	py	Verifica
0	SLD 16	0.094	1	-9907.6	105515.6		1	0	0	Si

**Verifica a torsione §4.2.4.1.2.5 NTC18**

X	Comb.	Sfruttamento torsione	TEd	TRd	Riduzione taglio resistente	Sfruttamento taglio-torsione	$\tau_{Ed,totale}$	$\tau_{Rd}$	Verifica
0	SLV 14	0.003	1253.6	488269.6	Considerata				Si

**Verifica a torsione SLD §4.2.4.1.2.5 NTC18**

X	Comb.	Sfruttamento torsione	TEd	TRd	Riduzione taglio resistente	Sfruttamento taglio-torsione	$\tau_{Ed,totale}$	$\tau_{Rd}$	Verifica
443.3	SLD 14	0.001	517.1	488269.6	Considerata				Si

**Verifiche ad instabilità****Caratteristiche iniziali**

Membratura principale per controllo snellezza; Calcolo di snellezze ed N critici condotti secondo gli assi principali;

Curva X: c; Curva Y: c;

Svergolamento: Nessuno; la verifica a instabilità flesso-torsionale (svergolamento) non verrà eseguita.

**Dati per instabilità attorno a x**

Numero rit.	Presente	Ascissa	Campata	$\beta x/m$	Vincolo a entrambi estremi	$\lambda x/m$	$\lambda_{Ver}$
1	Si	0					
			1-2	1	Si	83.7	Si, (<200)
2	Si	475					

**Dati per instabilità attorno a y**

Numero rit.	Presente	Ascissa	Campata	$\beta y/n$	k,LT	kw,LT	Vincolo a entrambi estremi
1	Si	0					
			1-2	1	Si	83.7	Si, (<200)
2	Si	475					

**Verifica di stabilità membrature compresse §4.2.4.1.3.1 NTC18**

X	Comb.	Sfruttamento	Classe	Obblig.	NEd	Nb,Rd	$\chi_{min}$	I0 x/m	I0 y/n	$\lambda_{adim. x/m}$	$\lambda_{adim. y/n}$	N,crit x/m	N,crit y/n	Verifica
0	SLU 18	0.294	1	Si	-17413.9	59190.9	0.561	475	475	0.964	0.964	119168.8	119168.8	Si

**Verifica di stabilità membrature compresse SLD §4.2.4.1.3.1 NTC18**

X	Comb.	Sfruttamento	Classe	Obblig.	NEd	Nb,Rd	$\chi_{min}$	I0 x/m	I0 y/n	$\lambda_{adim. x/m}$	$\lambda_{adim. y/n}$	N,crit x/m	N,crit y/n	Verifica
0	SLD 16	0.167	1	Si	-9907.6	59190.9	0.561	475	475	0.964	0.964	119168.8	119168.8	Si

**Verifiche a deformabilità**

Mensola X: No; Mensola Y: No.

Verifiche non eseguite in quanto il superelemento è verticale.

Superelemento in acciaio composto dall'asta 23

Caratteristiche del materiale

Acciaio: S275, fyk = 2750

Caratteristiche geometriche

Lunghezza: 475  
Nodo iniziale: 28  
Nodo finale: 264  
Cerniera iniziale: Svincolo: M2, M3  
Cerniera finale: Svincolo: M2, M3  
Sovreresistenza: 0%  
Sisma Z: No

Caratteristiche della sezione

Sezione	Rotazione	Area	Jx	Jy	ix	iy	Wx	Wy	Wplx	Wply
EN10219 168, 3x8	0	40.29	1297.27	1297.27	5.67	5.67	154.16	154.16	205.74	205.74

Verifiche di resistenza

Verifiche a forza assiale §4.2.4.1.2.1 - §4.2.4.1.2.2 NTC18

X	Comb.	Sfruttamento	Classe	NEd	Nc,Rd	Nt,Rd	Riduzione da taglio	px	py	Verifica
0	SLU 18	0.165	1	-17386.6	105515.6		1	0	0	Si

Verifiche a forza assiale SLD §4.2.4.1.2.1 - §4.2.4.1.2.2 NTC18

X	Comb.	Sfruttamento	Classe	NEd	Nc,Rd	Nt,Rd	Riduzione da taglio	px	py	Verifica
0	SLD 4	0.11	1	-11592.9	105515.6		1	0	0	Si

Verifica a torsione §4.2.4.1.2.5 NTC18

X	Comb.	Sfruttamento torsione	TEd	TRd	Riduzione taglio resistente	Sfruttamento taglio-torsione	τEd,totale	τRd	Verifica
0	SLV 14	0.003	1239	488269.6	Considerata				Si

Verifica a torsione SLD §4.2.4.1.2.5 NTC18

X	Comb.	Sfruttamento torsione	TEd	TRd	Riduzione taglio resistente	Sfruttamento taglio-torsione	τEd,totale	τRd	Verifica
443.3	SLD 14	0.001	509.7	488269.6	Considerata				Si

Verifiche ad instabilità

Caratteristiche iniziali

Membratura principale per controllo snellezza; Calcolo di snellezze ed N critici condotti secondo gli assi principali;  
Curva X: c; Curva Y: c;  
Svergolamento: Nessuno; la verifica a instabilità flessione-torsionale (svergolamento) non verrà eseguita.

Dati per instabilità attorno a x

Numero rit.	Presente	Ascissa	Campata	βx/m	Vincolo a entrambi estremi	λx/m	λVer
1	Si	0					
			1-2	1	Si	83.7	Si, (<200)
2	Si	475					

Dati per instabilità attorno a y

Numero rit.	Presente	Ascissa	Campata	βy/n	k,LT	kw,LT	Vincolo a entrambi estremi
1	Si	0					
			1-2	1	Si	83.7	Si, (<200)
2	Si	475					

Verifica di stabilità membrature compresse §4.2.4.1.3.1 NTC18

X	Comb.	Sfruttamento	Classe	Obblig.	NEd	Nb,Rd	χ,min	I0 x/m	I0 y/n	λ adim. x/m	λ adim. y/n	N,crit x/m	N,crit y/n	Verifica
0	SLU 18	0.294	1	Si	-17386.6	59190.9	0.561	475	475	0.964	0.964	119168.8	119168.8	Si

Verifica di stabilità membrature compresse SLD §4.2.4.1.3.1 NTC18

X	Comb.	Sfruttamento	Classe	Obblig.	NEd	Nb,Rd	χ,min	I0 x/m	I0 y/n	λ adim. x/m	λ adim. y/n	N,crit x/m	N,crit y/n	Verifica
0	SLD 4	0.196	1	Si	-11592.9	59190.9	0.561	475	475	0.964	0.964	119168.8	119168.8	Si

Verifiche a deformabilità

Mensola X: No; Mensola Y: No.  
Verifiche non eseguite in quanto il superelemento è verticale.

Superelemento in acciaio composto dall'asta 24

Caratteristiche del materiale

Acciaio: S275, fyk = 2750

Caratteristiche geometriche

Lunghezza: 475  
Nodo iniziale: 30  
Nodo finale: 269  
Cerniera iniziale: Svincolo: M2, M3  
Cerniera finale: Svincolo: M2, M3  
Sovreresistenza: 0%  
Sisma Z: No

Caratteristiche della sezione

Sezione	Rotazione	Area	Jx	Jy	ix	iy	Wx	Wy	Wplx	Wply
EN10219 168, 3x8	0	40.29	1297.27	1297.27	5.67	5.67	154.16	154.16	205.74	205.74

**Verifiche di resistenza****Verifiche a forza assiale §4.2.4.1.2.1 - §4.2.4.1.2.2 NTC18**

X	Comb.	Sfruttamento	Classe	NEd	Nc,Rd	Nt,Rd	Riduzione da taglio	px	py	Verifica
0	SLV 3	0.18	1	-19015.3	105515.6		1	0	0	Si

**Verifiche a forza assiale SLD §4.2.4.1.2.1 - §4.2.4.1.2.2 NTC18**

X	Comb.	Sfruttamento	Classe	NEd	Nc,Rd	Nt,Rd	Riduzione da taglio	px	py	Verifica
0	SLD 4	0.129	1	-13578.3	105515.6		1	0	0	Si

**Verifica a torsione §4.2.4.1.2.5 NTC18**

X	Comb.	Sfruttamento torsione	TEd	TRd	Riduzione taglio resistente	Sfruttamento taglio-torsione	τEd,totale	τRd	Verifica
0	SLV 14	0.003	1238.1	488269.6	Considerata				Si

**Verifica a torsione SLD §4.2.4.1.2.5 NTC18**

X	Comb.	Sfruttamento torsione	TEd	TRd	Riduzione taglio resistente	Sfruttamento taglio-torsione	τEd,totale	τRd	Verifica
443.3	SLD 14	0.001	511.3	488269.6	Considerata				Si

**Verifiche ad instabilità****Caratteristiche iniziali**

Membratura principale per controllo snellezza; Calcolo di snellezze ed N critici condotti secondo gli assi principali;

Curva X: c; Curva Y: c;

Svergolamento: Nessuno; la verifica a instabilità flessione-torsionale (svergolamento) non verrà eseguita.

**Dati per instabilità attorno a x**

Numero rit.	Presente	Ascissa	Campata	βx/m	Vincolo a entrambi estremi	λx/m	λVer
1	Si	0					
			1-2	1	Si	83.7	Si, (<200)
2	Si	475					

**Dati per instabilità attorno a y**

Numero rit.	Presente	Ascissa	Campata	βy/n	k,LT	kw,LT	Vincolo a entrambi estremi
1	Si	0					
			1-2	1	Si	83.7	Si, (<200)
2	Si	475					

**Verifica di stabilità membrane compresse §4.2.4.1.3.1 NTC18**

X	Comb.	Sfruttamento	Classe	Obblig.	NEd	Nb,Rd	χ,min	I0 x/m	I0 y/n	λ adim. x/m	λ adim. y/n	Ncrit x/m	Ncrit y/n	Verifica
0	SLV 3	0.321	1	Si	-19015.3	59190.9	0.561	475	475	0.964	0.964	119168.8	119168.8	Si

**Verifica di stabilità membrane compresse SLD §4.2.4.1.3.1 NTC18**

X	Comb.	Sfruttamento	Classe	Obblig.	NEd	Nb,Rd	χ,min	I0 x/m	I0 y/n	λ adim. x/m	λ adim. y/n	Ncrit x/m	Ncrit y/n	Verifica
0	SLD 4	0.229	1	Si	-13578.3	59190.9	0.561	475	475	0.964	0.964	119168.8	119168.8	Si

**Verifiche a deformabilità**

Mensola X: No; Mensola Y: No.

Verifiche non eseguite in quanto il superelemento è verticale.

**Superelemento in acciaio composto dall'asta 25****Caratteristiche del materiale**

Acciaio: S275, fyk = 2750

**Caratteristiche geometriche**

Lunghezza: 475

Nodo iniziale: 27 Nodo finale: 256

Cerniera iniziale: Svincolo: M2, M3 Cerniera finale: Svincolo: M2, M3

Sovraresistenza: 0% Sisma Z: No

**Caratteristiche della sezione**

Sezione	Rotazione	Area	Jx	Jy	ix	iy	Wx	Wy	Wplx	Wply
EN10219 168,3x8	0	40.29	1297.27	1297.27	5.67	5.67	154.16	154.16	205.74	205.74

**Verifiche di resistenza****Verifiche a forza assiale §4.2.4.1.2.1 - §4.2.4.1.2.2 NTC18**

X	Comb.	Sfruttamento	Classe	NEd	Nc,Rd	Nt,Rd	Riduzione da taglio	px	py	Verifica
0	SLU 18	0.214	1	-22563.2	105515.6		1	0	0	Si

**Verifiche a forza assiale SLD §4.2.4.1.2.1 - §4.2.4.1.2.2 NTC18**

X	Comb.	Sfruttamento	Classe	NEd	Nc,Rd	Nt,Rd	Riduzione da taglio	px	py	Verifica
0	SLD 14	0.132	1	-13944	105515.6		1	0	0	Si

**Verifica a torsione §4.2.4.1.2.5 NTC18**

X	Comb.	Sfruttamento torsione	TEd	TRd	Riduzione taglio resistente	Sfruttamento taglio-torsione	τEd,totale	τRd	Verifica
475	SLV 16	0.003	1243.1	488269.6	Considerata				Si

**Verifica a torsione SLD §4.2.4.1.2.5 NTC18**

X	Comb.	Sfruttamento torsione	TEd	TRd	Riduzione taglio resistente	Sfruttamento taglio-torsione	τEd,totale	τRd	Verifica
475	SLD 16	0.001	516	488269.6	Considerata				Si

Verifiche ad instabilità

Caratteristiche iniziali

Membratura principale per controllo snellezza; Calcolo di snellezze ed N critici condotti secondo gli assi principali;  
Curva X: c; Curva Y: c;  
Svergolamento: Nessuno; la verifica a instabilità flessione-torsionale (svergolamento) non verrà eseguita.

Dati per instabilità attorno a x

Numero rit.	Presente	Ascissa	Campata	$\beta x/m$	Vincolo a entrambi estremi	$\lambda x/m$	$\lambda Ver$
1	Si	0					
			1-2	1	Si	83.7	Si, (<200)
2	Si	475					

Dati per instabilità attorno a y

Numero rit.	Presente	Ascissa	Campata	$\beta y/n$	k,LT	kw,LT	Vincolo a entrambi estremi
1	Si	0					
			1-2	1	Si	83.7	Si, (<200)
2	Si	475					

Verifica di stabilità membrane compresse §4.2.4.1.3.1 NTC18

X	Comb.	Sfruttamento	Classe	Obblig.	NEd	Nb,Rd	$\chi_{min}$	I0 x/m	I0 y/n	$\lambda_{adim. x/m}$	$\lambda_{adim. y/n}$	N,crit x/m	N,crit y/n	Verifica
0	SLU 18	0.381	1	Si	-22563.2	59190.9	0.561	475	475	0.964	0.964	119168.8	119168.8	Si

Verifica di stabilità membrane compresse SLD §4.2.4.1.3.1 NTC18

X	Comb.	Sfruttamento	Classe	Obblig.	NEd	Nb,Rd	$\chi_{min}$	I0 x/m	I0 y/n	$\lambda_{adim. x/m}$	$\lambda_{adim. y/n}$	N,crit x/m	N,crit y/n	Verifica
0	SLD 14	0.236	1	Si	-13944	59190.9	0.561	475	475	0.964	0.964	119168.8	119168.8	Si

Verifiche a deformabilità

Mensola X: No; Mensola Y: No.  
Verifiche non eseguite in quanto il superelemento è verticale.

Superelemento in acciaio composto dall'asta 26

Caratteristiche del materiale

Acciaio: S275, fyk = 2750

Caratteristiche geometriche

Lunghezza: 475  
Nodo iniziale: 26 Nodo finale: 242  
Cerniera iniziale: Svincolo: M2, M3 Cerniera finale: Svincolo: M2, M3  
Sovreresistenza: 0% Sisma Z: No

Caratteristiche della sezione

Sezione	Rotazione	Area	Jx	Jy	ix	iy	Wx	Wy	Wplx	Wply
EN10219 168, 3x8	0	40.29	1297.27	1297.27	5.67	5.67	154.16	154.16	205.74	205.74

Verifiche di resistenza

Verifiche a forza assiale §4.2.4.1.2.1 - §4.2.4.1.2.2 NTC18

X	Comb.	Sfruttamento	Classe	NEd	Nc,Rd	Nt,Rd	Riduzione da taglio	$\rho x$	$\rho y$	Verifica
0	SLU 18	0.213	1	-22428.7	105515.6		1	0	0	Si

Verifiche a forza assiale SLD §4.2.4.1.2.1 - §4.2.4.1.2.2 NTC18

X	Comb.	Sfruttamento	Classe	NEd	Nc,Rd	Nt,Rd	Riduzione da taglio	$\rho x$	$\rho y$	Verifica
0	SLD 3	0.124	1	-13058.1	105515.6		1	0	0	Si

Verifica a torsione §4.2.4.1.2.5 NTC18

X	Comb.	Sfruttamento torsione	TEd	TRd	Riduzione taglio resistente	Sfruttamento taglio-torsione	$\tau Ed,totale$	$\tau Rd$	Verifica
475	SLV 16	0.003	1249.9	488269.6	Considerata				Si

Verifica a torsione SLD §4.2.4.1.2.5 NTC18

X	Comb.	Sfruttamento torsione	TEd	TRd	Riduzione taglio resistente	Sfruttamento taglio-torsione	$\tau Ed,totale$	$\tau Rd$	Verifica
475	SLD 16	0.001	517.9	488269.6	Considerata				Si

Verifiche ad instabilità

Caratteristiche iniziali

Membratura principale per controllo snellezza; Calcolo di snellezze ed N critici condotti secondo gli assi principali;  
Curva X: c; Curva Y: c;  
Svergolamento: Nessuno; la verifica a instabilità flessione-torsionale (svergolamento) non verrà eseguita.

Dati per instabilità attorno a x

Numero rit.	Presente	Ascissa	Campata	$\beta x/m$	Vincolo a entrambi estremi	$\lambda x/m$	$\lambda Ver$
1	Si	0					
			1-2	1	Si	83.7	Si, (<200)
2	Si	475					

Dati per instabilità attorno a y

Numero rit.	Presente	Ascissa	Campata	$\beta y/n$	k,LT	kw,LT	Vincolo a entrambi estremi
1	Si	0					
			1-2	1	Si	83.7	Si, (<200)
2	Si	475					

Verifica di stabilità membrane compresse §4.2.4.1.3.1 NTC18

X	Comb.	Sfruttamento	Classe	Obblig.	NEd	Nb,Rd	$\chi_{min}$	I0 x/m	I0 y/n	$\lambda_{adim. x/m}$	$\lambda_{adim. y/n}$	N,crit x/m	N,crit y/n	Verifica
0	SLU 18	0.379	1	Si	-22428.7	59190.9	0.561	475	475	0.964	0.964	119168.8	119168.8	Si



**Verifica di stabilità membrature compresse SLD §4.2.4.1.3.1 NTC18**

X	Comb.	Sfruttamento	Classe	Obblig.	NEd	Nb,Rd	x,min	I0 x/m	I0 y/n	λ adim. x/m	λ adim. y/n	N,crit x/m	N,crit y/n	Verifica
0	SLD 3	0.221	1	Si	-13058.1	59190.9	0.561	475	475	0.964	0.964	119168.8	119168.8	Si

**Verifiche a deformabilità**

Mensola X: No; Mensola Y: No.

Verifiche non eseguite in quanto il superelemento è verticale.

**Superelemento in acciaio composto dall'asta 27****Caratteristiche del materiale**

Acciaio: S275, fyk = 2750

**Caratteristiche geometriche**

Lunghezza: 475

Nodo iniziale: 25 Nodo finale: 236

Cerniera iniziale: Svincolo: M2, M3 Cerniera finale: Svincolo: M2, M3

Sovreresistenza: 0% Sisma Z: No

**Caratteristiche della sezione**

Sezione	Rotazione	Area	Jx	Jy	ix	iy	Wx	Wy	Wplx	Wply
EN10219 168,3x8	0	40.29	1297.27	1297.27	5.67	5.67	154.16	154.16	205.74	205.74

**Verifiche di resistenza****Verifiche a forza assiale §4.2.4.1.2.1 - §4.2.4.1.2.2 NTC18**

X	Comb.	Sfruttamento	Classe	NEd	Nc,Rd	Nt,Rd	Riduzione da taglio	px	py	Verifica
0	SLU 18	0.178	1	-18753.3	105515.6		1	0	0	Si

**Verifiche a forza assiale SLD §4.2.4.1.2.1 - §4.2.4.1.2.2 NTC18**

X	Comb.	Sfruttamento	Classe	NEd	Nc,Rd	Nt,Rd	Riduzione da taglio	px	py	Verifica
0	SLD 4	0.114	1	-12016.1	105515.6		1	0	0	Si

**Verifica a torsione §4.2.4.1.2.5 NTC18**

X	Comb.	Sfruttamento torsione	TEd	TRd	Riduzione taglio resistente	Sfruttamento taglio-torsione	τEd,totale	τRd	Verifica
475	SLV 16	0.003	1257.1	488269.6	Considerata				Si

**Verifica a torsione SLD §4.2.4.1.2.5 NTC18**

X	Comb.	Sfruttamento torsione	TEd	TRd	Riduzione taglio resistente	Sfruttamento taglio-torsione	τEd,totale	τRd	Verifica
475	SLD 16	0.001	518.4	488269.6	Considerata				Si

**Verifiche ad instabilità****Caratteristiche iniziali**

Membratura principale per controllo snellezza; Calcolo di snellezze ed N critici condotti secondo gli assi principali;

Curva X: c; Curva Y: c;

Svergolamento: Nessuno; la verifica a instabilità flesso-torsionale (svergolamento) non verrà eseguita.

**Dati per instabilità attorno a x**

Numero rit.	Presente	Ascissa	Campata	βx/m	Vincolo a entrambi estremi	λx/m	λVer
1	Si	0					
			1-2	1	Si	83.7	Si, (<200)
2	Si	475					

**Dati per instabilità attorno a y**

Numero rit.	Presente	Ascissa	Campata	βy/n	k,LT	kw,LT	Vincolo a entrambi estremi
1	Si	0					
			1-2	1	Si	83.7	Si, (<200)
2	Si	475					

**Verifica di stabilità membrature compresse §4.2.4.1.3.1 NTC18**

X	Comb.	Sfruttamento	Classe	Obblig.	NEd	Nb,Rd	x,min	I0 x/m	I0 y/n	λ adim. x/m	λ adim. y/n	N,crit x/m	N,crit y/n	Verifica
0	SLU 18	0.317	1	Si	-18753.3	59190.9	0.561	475	475	0.964	0.964	119168.8	119168.8	Si

**Verifica di stabilità membrature compresse SLD §4.2.4.1.3.1 NTC18**

X	Comb.	Sfruttamento	Classe	Obblig.	NEd	Nb,Rd	x,min	I0 x/m	I0 y/n	λ adim. x/m	λ adim. y/n	N,crit x/m	N,crit y/n	Verifica
0	SLD 4	0.203	1	Si	-12016.1	59190.9	0.561	475	475	0.964	0.964	119168.8	119168.8	Si

**Verifiche a deformabilità**

Mensola X: No; Mensola Y: No.

Verifiche non eseguite in quanto il superelemento è verticale.

**Superelemento in acciaio composto dall'asta 28****Caratteristiche del materiale**

Acciaio: S275, fyk = 2750

**Caratteristiche geometriche**

Lunghezza: 475

Nodo iniziale: 31 Nodo finale: 295

Cerniera iniziale: Svincolo: M2, M3 Cerniera finale: Svincolo: M2, M3

Sovreresistenza: 0% Sisma Z: No

Caratteristiche della sezione

Sezione	Rotazione	Area	Jx	Jy	ix	iy	Wx	Wy	Wplx	Wply
EN10219 168,3x8	0	40.29	1297.27	1297.27	5.67	5.67	154.16	154.16	205.74	205.74

Verifiche di resistenza

Verifiche a forza assiale §4.2.4.1.2.1 - §4.2.4.1.2.2 NTC18

X	Comb.	Sfruttamento	Classe	NEd	Nc,Rd	Nt,Rd	Riduzione da taglio	px	py	Verifica
0	SLV 10	0.365	1	-38515.9	105515.6		1	0	0	Si

Verifiche a forza assiale SLD §4.2.4.1.2.1 - §4.2.4.1.2.2 NTC18

X	Comb.	Sfruttamento	Classe	NEd	Nc,Rd	Nt,Rd	Riduzione da taglio	px	py	Verifica
0	SLD 9	0.186	1	-19597.7	105515.6		1	0	0	Si

Verifica a torsione §4.2.4.1.2.5 NTC18

X	Comb.	Sfruttamento torsione	TEd	TRd	Riduzione taglio resistente	Sfruttamento taglio-torsione	τEd,totale	τRd	Verifica
475	SLV 16	0.003	1306.7	488269.6	Considerata				Si

Verifica a torsione SLD §4.2.4.1.2.5 NTC18

X	Comb.	Sfruttamento torsione	TEd	TRd	Riduzione taglio resistente	Sfruttamento taglio-torsione	τEd,totale	τRd	Verifica
475	SLD 16	0.001	542.1	488269.6	Considerata				Si

Verifiche ad instabilità

Caratteristiche iniziali

Membratura principale per controllo snellezza; Calcolo di snellezze ed N critici condotti secondo gli assi principali;  
Curva X: c; Curva Y: c;  
Svergolamento: Nessuno; la verifica a instabilità flessio-torsionale (svergolamento) non verrà eseguita.

Dati per instabilità attorno a x

Numero rit.	Presente	Ascissa	Campata	βx/m	Vincolo a entrambi estremi	λx/m	λVer
1	Si	0					
			1-2	1	Si	83.7	Si, (<200)
2	Si	475					

Dati per instabilità attorno a y

Numero rit.	Presente	Ascissa	Campata	βy/n	k,LT	kw,LT	Vincolo a entrambi estremi
1	Si	0					
			1-2	1	Si	83.7	Si, (<200)
2	Si	475					

Verifica di stabilità membrane compresse §4.2.4.1.3.1 NTC18

X	Comb.	Sfruttamento	Classe	Obblig.	NEd	Nb,Rd	x,min	I0 x/m	I0 y/n	λ adim. x/m	λ adim. y/n	N,crit x/m	N,crit y/n	Verifica
0	SLV 9	0.651	1	Si	-38515.9	59190.9	0.561	475	475	0.964	0.964	119168.8	119168.8	Si

Verifica di stabilità membrane compresse SLD §4.2.4.1.3.1 NTC18

X	Comb.	Sfruttamento	Classe	Obblig.	NEd	Nb,Rd	x,min	I0 x/m	I0 y/n	λ adim. x/m	λ adim. y/n	N,crit x/m	N,crit y/n	Verifica
0	SLD 9	0.331	1	Si	-19597.7	59190.9	0.561	475	475	0.964	0.964	119168.8	119168.8	Si

Verifiche a deformabilità

Mensola X: No; Mensola Y: No.  
Verifiche non eseguite in quanto il superelemento è verticale.

Superelemento in acciaio composto dall'asta 29

Caratteristiche del materiale

Acciaio: S275, fyk = 2750

Caratteristiche geometriche

Lunghezza: 475  
Nodo iniziale: 37  
Nodo finale: 329  
Cerniera iniziale: Svincolo: M2, M3  
Cerniera finale: Svincolo: M2, M3  
Sovraresistenza: 0%  
Sisma Z: No

Caratteristiche della sezione

Sezione	Rotazione	Area	Jx	Jy	ix	iy	Wx	Wy	Wplx	Wply
EN10219 168,3x8	0	40.29	1297.27	1297.27	5.67	5.67	154.16	154.16	205.74	205.74

Verifiche di resistenza

Verifiche a forza assiale §4.2.4.1.2.1 - §4.2.4.1.2.2 NTC18

X	Comb.	Sfruttamento	Classe	NEd	Nc,Rd	Nt,Rd	Riduzione da taglio	px	py	Verifica
0	SLU 18	0.243	1	-25670.6	105515.6		1	0	0	Si

Verifiche a forza assiale SLD §4.2.4.1.2.1 - §4.2.4.1.2.2 NTC18

X	Comb.	Sfruttamento	Classe	NEd	Nc,Rd	Nt,Rd	Riduzione da taglio	px	py	Verifica
0	SLD 16	0.129	1	-13649.2	105515.6		1	0	0	Si

Verifica a torsione §4.2.4.1.2.5 NTC18

X	Comb.	Sfruttamento torsione	TEd	TRd	Riduzione taglio resistente	Sfruttamento taglio-torsione	τEd,totale	τRd	Verifica
475	SLV 16	0.003	1323.8	488269.6	Considerata				Si

**Verifica a torsione SLD §4.2.4.1.2.5 NTC18**

X	Comb.	Sfruttamento torsione	TEd	TRd	Riduzione taglio resistente	Sfruttamento taglio-torsione	$\tau_{Ed,totale}$	$\tau_{Rd}$	Verifica
475	SLD 16	0.001	543.5	488269.6	Considerata				Si

**Verifiche ad instabilità****Caratteristiche iniziali**

Membratura principale per controllo snellezza; Calcolo di snellezze ed N critici condotti secondo gli assi principali;

Curva X: c; Curva Y: c;

Svergolamento: Nessuno; la verifica a instabilità flessio-torsionale (svergolamento) non verrà eseguita.

**Dati per instabilità attorno a x**

Numero rit.	Presente	Ascissa	Campata	$\beta x/m$	Vincolo a entrambi estremi	$\lambda x/m$	$\lambda_{Ver}$
1	Si	0					
			1-2	1	Si	83.7	Si, (<200)
2	Si	475					

**Dati per instabilità attorno a y**

Numero rit.	Presente	Ascissa	Campata	$\beta y/n$	k,LT	kw,LT	Vincolo a entrambi estremi
1	Si	0					
			1-2	1	Si	83.7	Si, (<200)
2	Si	475					

**Verifica di stabilità membrature compresse §4.2.4.1.3.1 NTC18**

X	Comb.	Sfruttamento	Classe	Obblig.	NEd	Nb,Rd	$\chi_{min}$	I0 x/m	I0 y/n	$\lambda_{adim. x/m}$	$\lambda_{adim. y/n}$	N,crit x/m	N,crit y/n	Verifica
0	SLU 18	0.434	1	Si	-25670.6	59190.9	0.561	475	475	0.964	0.964	119168.8	119168.8	Si

**Verifica di stabilità membrature compresse SLD §4.2.4.1.3.1 NTC18**

X	Comb.	Sfruttamento	Classe	Obblig.	NEd	Nb,Rd	$\chi_{min}$	I0 x/m	I0 y/n	$\lambda_{adim. x/m}$	$\lambda_{adim. y/n}$	N,crit x/m	N,crit y/n	Verifica
0	SLD 16	0.231	1	Si	-13649.2	59190.9	0.561	475	475	0.964	0.964	119168.8	119168.8	Si

**Verifiche a deformabilità**

Mensola X: No; Mensola Y: No.

Verifiche non eseguite in quanto il superelemento è verticale.

**Superelemento in acciaio composto dall'asta 30****Caratteristiche del materiale**

Acciaio: S275, fyk = 2750

**Caratteristiche geometriche**

Lunghezza: 475

Nodo iniziale: 38 Nodo finale: 342

Cerniera iniziale: Svincolo: M2, M3 Cerniera finale: Svincolo: M2, M3

Sovrarestistenza: 0% Sisma Z: No

**Caratteristiche della sezione**

Sezione	Rotazione	Area	Jx	Jy	ix	iy	Wx	Wy	Wplx	Wply
ENI0219 168, 3x8	0	40.29	1297.27	1297.27	5.67	5.67	154.16	154.16	205.74	205.74

**Verifiche di resistenza****Verifiche a forza assiale §4.2.4.1.2.1 - §4.2.4.1.2.2 NTC18**

X	Comb.	Sfruttamento	Classe	NEd	Nc,Rd	Nt,Rd	Riduzione da taglio	$\rho x$	$\rho y$	Verifica
0	SLU 18	0.1	1	-10571.8	105515.6		1	0	0	Si

**Verifiche a forza assiale SLD §4.2.4.1.2.1 - §4.2.4.1.2.2 NTC18**

X	Comb.	Sfruttamento	Classe	NEd	Nc,Rd	Nt,Rd	Riduzione da taglio	$\rho x$	$\rho y$	Verifica
0	SLD 14	0.071	1	-7443.3	105515.6		1	0	0	Si

**Verifica a torsione §4.2.4.1.2.5 NTC18**

X	Comb.	Sfruttamento torsione	TEd	TRd	Riduzione taglio resistente	Sfruttamento taglio-torsione	$\tau_{Ed,totale}$	$\tau_{Rd}$	Verifica
0	SLV 1	0.003	-1306.7	488269.6	Considerata				Si

**Verifica a torsione SLD §4.2.4.1.2.5 NTC18**

X	Comb.	Sfruttamento torsione	TEd	TRd	Riduzione taglio resistente	Sfruttamento taglio-torsione	$\tau_{Ed,totale}$	$\tau_{Rd}$	Verifica
0	SLD 1	0.001	-536.1	488269.6	Considerata				Si

**Verifiche ad instabilità****Caratteristiche iniziali**

Membratura principale per controllo snellezza; Calcolo di snellezze ed N critici condotti secondo gli assi principali;

Curva X: c; Curva Y: c;

Svergolamento: Nessuno; la verifica a instabilità flessio-torsionale (svergolamento) non verrà eseguita.

**Dati per instabilità attorno a x**

Numero rit.	Presente	Ascissa	Campata	$\beta x/m$	Vincolo a entrambi estremi	$\lambda x/m$	$\lambda_{Ver}$
1	Si	0					
			1-2	1	Si	83.7	Si, (<200)
2	Si	475					

**Dati per instabilità attorno a y**

Numero rit.	Presente	Ascissa	Campata	$\beta y/n$	k,LT	kw,LT	Vincolo a entrambi estremi
1	Si	0					
			1-2	1	Si	83.7	Si, (<200)

Numero rit.	Presente	Ascissa	Campata	$\beta y/n$	k,LT	kw,LT	Vincolo a entrambi estremi
2	Si	475					

Verifica di stabilità membrane compresse §4.2.4.1.3.1 NTC18

X	Comb.	Sfruttamento	Classe	Obblig.	NEd	Nb,Rd	$\chi_{min}$	I0 x/m	I0 y/n	$\lambda_{adim. x/m}$	$\lambda_{adim. y/n}$	N,crit x/m	N,crit y/n	Verifica
0	SLU 18	0.179	1	Si	-10571.8	59190.9	0.561	475	475	0.964	0.964	119168.8	119168.8	Si

Verifica di stabilità membrane compresse SLD §4.2.4.1.3.1 NTC18

X	Comb.	Sfruttamento	Classe	Obblig.	NEd	Nb,Rd	$\chi_{min}$	I0 x/m	I0 y/n	$\lambda_{adim. x/m}$	$\lambda_{adim. y/n}$	N,crit x/m	N,crit y/n	Verifica
0	SLD 14	0.126	1	Si	-7443.3	59190.9	0.561	475	475	0.964	0.964	119168.8	119168.8	Si

Verifiche a deformabilità

Mensola X: No; Mensola Y: No.  
Verifiche non eseguite in quanto il superelemento è verticale.

## Superelemento in acciaio composto dall'asta 31

Caratteristiche del materiale

Acciaio: S275, fyk = 2750

Caratteristiche geometriche

Lunghezza: 475  
Nodo iniziale: 32  
Nodo finale: 296  
Cerniera iniziale: Svincolo: M2, M3  
Cerniera finale: Svincolo: M2, M3  
Sovraresistenza: 0%  
Sisma Z: No

Caratteristiche della sezione

Sezione	Rotazione	Area	Jx	Jy	ix	iy	Wx	Wy	Wplx	Wply
EN10219 168, 3x8	0	40.29	1297.27	1297.27	5.67	5.67	154.16	154.16	205.74	205.74

Verifiche di resistenza

Verifiche a forza assiale §4.2.4.1.2.1 - §4.2.4.1.2.2 NTC18

X	Comb.	Sfruttamento	Classe	NEd	Nc,Rd	Nt,Rd	Riduzione da taglio	px	py	Verifica
0	SLU 20	0.222	1	-23429.2	105515.6		1	0	0	Si

Verifiche a forza assiale SLD §4.2.4.1.2.1 - §4.2.4.1.2.2 NTC18

X	Comb.	Sfruttamento	Classe	NEd	Nc,Rd	Nt,Rd	Riduzione da taglio	px	py	Verifica
0	SLD 12	0.163	1	-17240.8	105515.6		1	0	0	Si

Verifica a torsione §4.2.4.1.2.5 NTC18

X	Comb.	Sfruttamento torsione	TEd	TRd	Riduzione taglio resistente	Sfruttamento taglio-torsione	$\tau Ed_{totale}$	$\tau Rd$	Verifica
475	SLV 16	0.003	1280.4	488269.6	Considerata				Si

Verifica a torsione SLD §4.2.4.1.2.5 NTC18

X	Comb.	Sfruttamento torsione	TEd	TRd	Riduzione taglio resistente	Sfruttamento taglio-torsione	$\tau Ed_{totale}$	$\tau Rd$	Verifica
475	SLD 16	0.001	533.7	488269.6	Considerata				Si

Verifiche ad instabilità

Caratteristiche iniziali

Membratura principale per controllo snellezza; Calcolo di snellezze ed N critici condotti secondo gli assi principali;  
Curva X: c; Curva Y: c;  
Svergolamento: Nessuno; la verifica a instabilità flesso-torsionale (svergolamento) non verrà eseguita.

Dati per instabilità attorno a x

Numero rit.	Presente	Ascissa	Campata	$\beta x/m$	Vincolo a entrambi estremi	$\lambda x/m$	$\lambda Ver$
1	Si	0					
			1-2		1	83.7	Si, (<200)
2	Si	475					

Dati per instabilità attorno a y

Numero rit.	Presente	Ascissa	Campata	$\beta y/n$	k,LT	kw,LT	Vincolo a entrambi estremi
1	Si	0					
			1-2		1	83.7	Si, (<200)
2	Si	475					

Verifica di stabilità membrane compresse §4.2.4.1.3.1 NTC18

X	Comb.	Sfruttamento	Classe	Obblig.	NEd	Nb,Rd	$\chi_{min}$	I0 x/m	I0 y/n	$\lambda_{adim. x/m}$	$\lambda_{adim. y/n}$	N,crit x/m	N,crit y/n	Verifica
0	SLU 20	0.396	1	Si	-23429.2	59190.9	0.561	475	475	0.964	0.964	119168.8	119168.8	Si

Verifica di stabilità membrane compresse SLD §4.2.4.1.3.1 NTC18

X	Comb.	Sfruttamento	Classe	Obblig.	NEd	Nb,Rd	$\chi_{min}$	I0 x/m	I0 y/n	$\lambda_{adim. x/m}$	$\lambda_{adim. y/n}$	N,crit x/m	N,crit y/n	Verifica
0	SLD 12	0.291	1	Si	-17240.8	59190.9	0.561	475	475	0.964	0.964	119168.8	119168.8	Si

Verifiche a deformabilità

Mensola X: No; Mensola Y: No.  
Verifiche non eseguite in quanto il superelemento è verticale.

## Superelemento in acciaio composto dall'asta 32

Caratteristiche del materiale

Acciaio: S275, fyk = 2750

**Caratteristiche geometriche**

Lunghezza: 475

Nodo iniziale: 33 Nodo finale: 299

Cerniera iniziale: Svincolo: M2, M3 Cerniera finale: Svincolo: M2, M3

Sovreresistenza: 0% Sisma Z: No

**Caratteristiche della sezione**

Sezione	Rotazione	Area	Jx	Jy	ix	iy	Wx	Wy	Wplx	Wply
EN10219 168, 3x8	0	40.29	1297.27	1297.27	5.67	5.67	154.16	154.16	205.74	205.74

**Verifiche di resistenza****Verifiche a forza assiale §4.2.4.1.2.1 - §4.2.4.1.2.2 NTC18**

X	Comb.	Sfruttamento	Classe	NEd	Nc,Rd	Nt,Rd	Riduzione da taglio	px	py	Verifica
0	SLV 6	0.163	1	-17184.8	105515.6		1	0	0	Si

**Verifiche a forza assiale SLD §4.2.4.1.2.1 - §4.2.4.1.2.2 NTC18**

X	Comb.	Sfruttamento	Classe	NEd	Nc,Rd	Nt,Rd	Riduzione da taglio	px	py	Verifica
0	SLD 6	0.097	1	-10182.9	105515.6		1	0	0	Si

**Verifica a torsione §4.2.4.1.2.5 NTC18**

X	Comb.	Sfruttamento torsione	TEd	TRd	Riduzione taglio resistente	Sfruttamento taglio-torsione	τEd,totale	τRd	Verifica
0	SLV 14	0.003	1351.7	488269.6	Considerata				Si

**Verifica a torsione SLD §4.2.4.1.2.5 NTC18**

X	Comb.	Sfruttamento torsione	TEd	TRd	Riduzione taglio resistente	Sfruttamento taglio-torsione	τEd,totale	τRd	Verifica
443.3	SLD 14	0.001	556.6	488269.6	Considerata				Si

**Verifiche ad instabilità****Caratteristiche iniziali**

Membratura principale per controllo snellezza; Calcolo di snellezze ed N critici condotti secondo gli assi principali;

Curva X: c; Curva Y: c;

Svergolamento: Nessuno; la verifica a instabilità flesso-torsionale (svergolamento) non verrà eseguita.

**Dati per instabilità attorno a x**

Numero rit.	Presente	Ascissa	Campata	βx/m	Vincolo a entrambi estremi	λx/m	λVer
1	Si	0					
2	Si	475	1-2	1	Si	83.7	Si, (<200)

**Dati per instabilità attorno a y**

Numero rit.	Presente	Ascissa	Campata	βy/n	k,LT	kw,LT	Vincolo a entrambi estremi
1	Si	0					
2	Si	475	1-2	1	Si	83.7	Si, (<200)

**Verifica di stabilità membrature compresse §4.2.4.1.3.1 NTC18**

X	Comb.	Sfruttamento	Classe	Obblig.	NEd	Nb,Rd	χ,min	I0 x/m	I0 y/n	λ adim. x/m	λ adim. y/n	N,crit x/m	N,crit y/n	Verifica
0	SLV 6	0.29	1	Si	-17184.8	59190.9	0.561	475	475	0.964	0.964	119168.8	119168.8	Si

**Verifica di stabilità membrature compresse SLD §4.2.4.1.3.1 NTC18**

X	Comb.	Sfruttamento	Classe	Obblig.	NEd	Nb,Rd	χ,min	I0 x/m	I0 y/n	λ adim. x/m	λ adim. y/n	N,crit x/m	N,crit y/n	Verifica
0	SLD 6	0.172	1	Si	-10182.9	59190.9	0.561	475	475	0.964	0.964	119168.8	119168.8	Si

**Verifiche a deformabilità**

Mensola X: No; Mensola Y: No.

Verifiche non eseguite in quanto il superelemento è verticale.

**Superelemento in acciaio composto dall'asta 33****Caratteristiche del materiale**

Acciaio: S275, fyk = 2750

**Caratteristiche geometriche**

Lunghezza: 475

Nodo iniziale: 34 Nodo finale: 300

Cerniera iniziale: Svincolo: M2, M3 Cerniera finale: Svincolo: M2, M3

Sovreresistenza: 0% Sisma Z: No

**Caratteristiche della sezione**

Sezione	Rotazione	Area	Jx	Jy	ix	iy	Wx	Wy	Wplx	Wply
EN10219 168, 3x8	0	40.29	1297.27	1297.27	5.67	5.67	154.16	154.16	205.74	205.74

**Verifiche di resistenza****Verifiche a forza assiale §4.2.4.1.2.1 - §4.2.4.1.2.2 NTC18**

X	Comb.	Sfruttamento	Classe	NEd	Nc,Rd	Nt,Rd	Riduzione da taglio	px	py	Verifica
0	SLV 7	0.351	1	-37037	105515.6		1	0	0	Si

**Verifiche a forza assiale SLD §4.2.4.1.2.1 - §4.2.4.1.2.2 NTC18**

X	Comb.	Sfruttamento	Classe	NEd	Nc,Rd	Nt,Rd	Riduzione da taglio	px	py	Verifica
0	SLD 7	0.175	1	-18477.2	105515.6		1	0	0	Si

Verifica a torsione §4.2.4.1.2.5 NTC18

X	Comb.	Sfruttamento torsione	TEd	TRd	Riduzione taglio resistente	Sfruttamento taglio-torsione	τEd,totale	τRd	Verifica
0	SLV 14	0.003	1372.7	488269.6	Considerata				Si

Verifica a torsione SLD §4.2.4.1.2.5 NTC18

X	Comb.	Sfruttamento torsione	TEd	TRd	Riduzione taglio resistente	Sfruttamento taglio-torsione	τEd,totale	τRd	Verifica
443.3	SLD 14	0.001	563.7	488269.6	Considerata				Si

Verifiche ad instabilità

Caratteristiche iniziali

Membratura principale per controllo snellezza; Calcolo di snellezze ed N critici condotti secondo gli assi principali;  
Curva X: c; Curva Y: c;  
Svergolamento: Nessuno; la verifica a instabilità flessio-torsionale (svergolamento) non verrà eseguita.

Dati per instabilità attorno a x

Numero rit.	Presente	Ascissa	Campata	βx/m	Vincolo a entrambi estremi	λx/m	λVer
1	Si	0					
			1-2	1	Si	83.7	Si, (<200)
2	Si	475					

Dati per instabilità attorno a y

Numero rit.	Presente	Ascissa	Campata	βy/n	k,LT	kw,LT	Vincolo a entrambi estremi
1	Si	0					
			1-2	1	Si	83.7	Si, (<200)
2	Si	475					

Verifica di stabilità membrane compresse §4.2.4.1.3.1 NTC18

X	Comb.	Sfruttamento	Classe	Obblig.	NEd	Nb,Rd	x,min	I0 x/m	I0 y/n	λ adim. x/m	λ adim. y/n	N,crit x/m	N,crit y/n	Verifica
0	SLV 7	0.626	1	Si	-37037	59190.9	0.561	475	475	0.964	0.964	119168.8	119168.8	Si

Verifica di stabilità membrane compresse SLD §4.2.4.1.3.1 NTC18

X	Comb.	Sfruttamento	Classe	Obblig.	NEd	Nb,Rd	x,min	I0 x/m	I0 y/n	λ adim. x/m	λ adim. y/n	N,crit x/m	N,crit y/n	Verifica
0	SLD 8	0.312	1	Si	-18477.2	59190.9	0.561	475	475	0.964	0.964	119168.8	119168.8	Si

Verifiche a deformabilità

Mensola X: No; Mensola Y: No.  
Verifiche non eseguite in quanto il superelemento è verticale.

Superelemento in acciaio composto dall'asta 34

Caratteristiche del materiale

Acciaio: S275, fyk = 2750

Caratteristiche geometriche

Lunghezza: 475  
Nodo iniziale: 35 Nodo finale: 302  
Cerniera iniziale: Svincolo: M2, M3 Cerniera finale: Svincolo: M2, M3  
Sovreresistenza: 0% Sisma Z: No

Caratteristiche della sezione

Sezione	Rotazione	Area	Jx	Jy	ix	iy	Wx	Wy	Wplx	Wply
EN10219 168,3x8	0	40.29	1297.27	1297.27	5.67	5.67	154.16	154.16	205.74	205.74

Verifiche di resistenza

Verifiche a forza assiale §4.2.4.1.2.1 - §4.2.4.1.2.2 NTC18

X	Comb.	Sfruttamento	Classe	NEd	Nc,Rd	Nt,Rd	Riduzione da taglio	px	py	Verifica
0	SLU 20	0.073	1	-7691.8	105515.6		1	0	0	Si

Verifiche a forza assiale SLD §4.2.4.1.2.1 - §4.2.4.1.2.2 NTC18

X	Comb.	Sfruttamento	Classe	NEd	Nc,Rd	Nt,Rd	Riduzione da taglio	px	py	Verifica
0	SLD 14	0.053	1	-5592.2	105515.6		1	0	0	Si

Verifica a torsione §4.2.4.1.2.5 NTC18

X	Comb.	Sfruttamento torsione	TEd	TRd	Riduzione taglio resistente	Sfruttamento taglio-torsione	τEd,totale	τRd	Verifica
475	SLV 16	0.003	1339	488269.6	Considerata				Si

Verifica a torsione SLD §4.2.4.1.2.5 NTC18

X	Comb.	Sfruttamento torsione	TEd	TRd	Riduzione taglio resistente	Sfruttamento taglio-torsione	τEd,totale	τRd	Verifica
475	SLD 16	0.001	550.9	488269.6	Considerata				Si

Verifiche ad instabilità

Caratteristiche iniziali

Membratura principale per controllo snellezza; Calcolo di snellezze ed N critici condotti secondo gli assi principali;  
Curva X: c; Curva Y: c;  
Svergolamento: Nessuno; la verifica a instabilità flessio-torsionale (svergolamento) non verrà eseguita.

Dati per instabilità attorno a x

Numero rit.	Presente	Ascissa	Campata	βx/m	Vincolo a entrambi estremi	λx/m	λVer
1	Si	0					
			1-2	1	Si	83.7	Si, (<200)
2	Si	475					

**Dati per instabilità attorno a y**

Numero rit.	Presente	Ascissa	Campata	$\beta y/n$	k,LT	kw,LT	Vincolo a entrambi estremi
1	Si	0					
			1-2	1	Si	83.7	Si, (<200)
2	Si	475					

**Verifica di stabilità membrature compresse §4.2.4.1.3.1 NTC18**

X	Comb.	Sfruttamento	Classe	Obblig.	NEd	Nb,Rd	$\chi_{min}$	I0 x/m	I0 y/n	$\lambda_{adim. x/m}$	$\lambda_{adim. y/n}$	N,crit x/m	N,crit y/n	Verifica
0	SLU 20	0.13	1	Si	-7691.8	59190.9	0.561	475	475	0.964	0.964	119168.8	119168.8	Si

**Verifica di stabilità membrature compresse SLD §4.2.4.1.3.1 NTC18**

X	Comb.	Sfruttamento	Classe	Obblig.	NEd	Nb,Rd	$\chi_{min}$	I0 x/m	I0 y/n	$\lambda_{adim. x/m}$	$\lambda_{adim. y/n}$	N,crit x/m	N,crit y/n	Verifica
0	SLD 14	0.094	1	Si	-5592.2	59190.9	0.561	475	475	0.964	0.964	119168.8	119168.8	Si

**Verifiche a deformabilità**

Mensola X: No; Mensola Y: No.

Verifiche non eseguite in quanto il superelemento è verticale.

**Superelemento in acciaio composto dall'asta 35****Caratteristiche del materiale**

Acciaio: S275, fyk = 2750

**Caratteristiche geometriche**

Lunghezza: 475

Nodo iniziale: 24 Nodo finale: 223

Cerniera iniziale: Svincolo: M2, M3 Cerniera finale: Svincolo: M2, M3

Sovreresistenza: 0% Sisma Z: No

**Caratteristiche della sezione**

Sezione	Rotazione	Area	Jx	Jy	ix	iy	Wx	Wy	Wplx	Wply
EN10219 168,3x8	0	40.29	1297.27	1297.27	5.67	5.67	154.16	154.16	205.74	205.74

**Verifiche di resistenza****Verifiche a forza assiale §4.2.4.1.2.1 - §4.2.4.1.2.2 NTC18**

X	Comb.	Sfruttamento	Classe	NEd	Nc,Rd	Nt,Rd	Riduzione da taglio	px	py	Verifica
0	SLU 18	0.138	1	-14566.9	105515.6		1	0	0	Si

**Verifiche a forza assiale SLD §4.2.4.1.2.1 - §4.2.4.1.2.2 NTC18**

X	Comb.	Sfruttamento	Classe	NEd	Nc,Rd	Nt,Rd	Riduzione da taglio	px	py	Verifica
0	SLD 14	0.092	1	-9713.3	105515.6		1	0	0	Si

**Verifica a torsione §4.2.4.1.2.5 NTC18**

X	Comb.	Sfruttamento torsione	TEd	TRd	Riduzione taglio resistente	Sfruttamento taglio-torsione	$\tau_{Ed,totale}$	$\tau_{Rd}$	Verifica
0	SLV 14	0.003	1405	488269.6	Considerata				Si

**Verifica a torsione SLD §4.2.4.1.2.5 NTC18**

X	Comb.	Sfruttamento torsione	TEd	TRd	Riduzione taglio resistente	Sfruttamento taglio-torsione	$\tau_{Ed,totale}$	$\tau_{Rd}$	Verifica
443.3	SLD 14	0.001	578.4	488269.6	Considerata				Si

**Verifiche ad instabilità****Caratteristiche iniziali**

Membratura principale per controllo snellezza; Calcolo di snellezze ed N critici condotti secondo gli assi principali;

Curva X: c; Curva Y: c;

Svergolamento: Nessuno; la verifica a instabilità flesso-torsionale (svergolamento) non verrà eseguita.

**Dati per instabilità attorno a x**

Numero rit.	Presente	Ascissa	Campata	$\beta x/m$	Vincolo a entrambi estremi	$\lambda x/m$	$\lambda_{Ver}$
1	Si	0					
			1-2	1	Si	83.7	Si, (<200)
2	Si	475					

**Dati per instabilità attorno a y**

Numero rit.	Presente	Ascissa	Campata	$\beta y/n$	k,LT	kw,LT	Vincolo a entrambi estremi
1	Si	0					
			1-2	1	Si	83.7	Si, (<200)
2	Si	475					

**Verifica di stabilità membrature compresse §4.2.4.1.3.1 NTC18**

X	Comb.	Sfruttamento	Classe	Obblig.	NEd	Nb,Rd	$\chi_{min}$	I0 x/m	I0 y/n	$\lambda_{adim. x/m}$	$\lambda_{adim. y/n}$	N,crit x/m	N,crit y/n	Verifica
0	SLU 18	0.246	1	Si	-14566.9	59190.9	0.561	475	475	0.964	0.964	119168.8	119168.8	Si

**Verifica di stabilità membrature compresse SLD §4.2.4.1.3.1 NTC18**

X	Comb.	Sfruttamento	Classe	Obblig.	NEd	Nb,Rd	$\chi_{min}$	I0 x/m	I0 y/n	$\lambda_{adim. x/m}$	$\lambda_{adim. y/n}$	N,crit x/m	N,crit y/n	Verifica
0	SLD 14	0.164	1	Si	-9713.3	59190.9	0.561	475	475	0.964	0.964	119168.8	119168.8	Si

**Verifiche a deformabilità**

Mensola X: No; Mensola Y: No.

Verifiche non eseguite in quanto il superelemento è verticale.

Superelemento in acciaio composto dall'asta 36

Caratteristiche del materiale

Acciaio: S275, fyk = 2750

Caratteristiche geometriche

Lunghezza: 475  
Nodo iniziale: 42  
Nodo finale: 365  
Cerniera iniziale: Svincolo: M2, M3  
Cerniera finale: Svincolo: M2, M3  
Sovreresistenza: 0%  
Sisma Z: No

Caratteristiche della sezione

Sezione	Rotazione	Area	Jx	Jy	ix	iy	Wx	Wy	Wplx	Wply
EN10219 168, 3x8	0	40.29	1297.27	1297.27	5.67	5.67	154.16	154.16	205.74	205.74

Verifiche di resistenza

Verifiche a forza assiale §4.2.4.1.2.1 - §4.2.4.1.2.2 NTC18

X	Comb.	Sfruttamento	Classe	NEd	Nc,Rd	Nt,Rd	Riduzione da taglio	px	py	Verifica
0	SLV 9	0.169	1	-17784.6	105515.6		1	0	0	Si

Verifiche a forza assiale SLD §4.2.4.1.2.1 - §4.2.4.1.2.2 NTC18

X	Comb.	Sfruttamento	Classe	NEd	Nc,Rd	Nt,Rd	Riduzione da taglio	px	py	Verifica
0	SLD 10	0.105	1	-11086.6	105515.6		1	0	0	Si

Verifica a torsione §4.2.4.1.2.5 NTC18

X	Comb.	Sfruttamento torsione	TEd	TRd	Riduzione taglio resistente	Sfruttamento taglio-torsione	τEd,totale	τRd	Verifica
0	SLV 1	0.003	-1314.4	488269.6	Considerata				Si

Verifica a torsione SLD §4.2.4.1.2.5 NTC18

X	Comb.	Sfruttamento torsione	TEd	TRd	Riduzione taglio resistente	Sfruttamento taglio-torsione	τEd,totale	τRd	Verifica
0	SLD 1	0.001	-539.1	488269.6	Considerata				Si

Verifiche ad instabilità

Caratteristiche iniziali

Membratura principale per controllo snellezza; Calcolo di snellezze ed N critici condotti secondo gli assi principali;  
Curva X: c; Curva Y: c;  
Svergolamento: Nessuno; la verifica a instabilità flessione-torsionale (svergolamento) non verrà eseguita.

Dati per instabilità attorno a x

Numero rit.	Presente	Ascissa	Campata	βx/m	Vincolo a entrambi estremi	λx/m	λVer
1	Si	0					
2	Si	475	1-2	1	Si	83.7	Si, (<200)

Dati per instabilità attorno a y

Numero rit.	Presente	Ascissa	Campata	βy/n	k,LT	kw,LT	Vincolo a entrambi estremi
1	Si	0					
2	Si	475	1-2	1	Si	83.7	Si, (<200)

Verifica di stabilità membrature compresse §4.2.4.1.3.1 NTC18

X	Comb.	Sfruttamento	Classe	Obblig.	NEd	Nb,Rd	χ,min	I0 x/m	I0 y/n	λ adim. x/m	λ adim. y/n	N,crit x/m	N,crit y/n	Verifica
0	SLV 10	0.3	1	Si	-17784.6	59190.9	0.561	475	475	0.964	0.964	119168.8	119168.8	Si

Verifica di stabilità membrature compresse SLD §4.2.4.1.3.1 NTC18

X	Comb.	Sfruttamento	Classe	Obblig.	NEd	Nb,Rd	χ,min	I0 x/m	I0 y/n	λ adim. x/m	λ adim. y/n	N,crit x/m	N,crit y/n	Verifica
0	SLD 10	0.187	1	Si	-11086.6	59190.9	0.561	475	475	0.964	0.964	119168.8	119168.8	Si

Verifiche a deformabilità

Mensola X: No; Mensola Y: No.  
Verifiche non eseguite in quanto il superelemento è verticale.

Superelemento in acciaio composto dall'asta 37

Caratteristiche del materiale

Acciaio: S275, fyk = 2750

Caratteristiche geometriche

Lunghezza: 475  
Nodo iniziale: 54  
Nodo finale: 405  
Cerniera iniziale: Svincolo: M2, M3  
Cerniera finale: Svincolo: M2, M3  
Sovreresistenza: 0%  
Sisma Z: No

Caratteristiche della sezione

Sezione	Rotazione	Area	Jx	Jy	ix	iy	Wx	Wy	Wplx	Wply
EN10219 168, 3x8	0	40.29	1297.27	1297.27	5.67	5.67	154.16	154.16	205.74	205.74



**Verifiche di resistenza****Verifiche a forza assiale §4.2.4.1.2.1 - §4.2.4.1.2.2 NTC18**

X	Comb.	Sfruttamento	Classe	NEd	Nc,Rd	Nt,Rd	Riduzione da taglio	px	py	Verifica
0	SLU 18	0.181	1	-19118.6	105515.6		1	0	0	Si

**Verifiche a forza assiale SLD §4.2.4.1.2.1 - §4.2.4.1.2.2 NTC18**

X	Comb.	Sfruttamento	Classe	NEd	Nc,Rd	Nt,Rd	Riduzione da taglio	px	py	Verifica
0	SLD 12	0.124	1	-13058.4	105515.6		1	0	0	Si

**Verifica a torsione §4.2.4.1.2.5 NTC18**

X	Comb.	Sfruttamento torsione	TEd	TRd	Riduzione taglio resistente	Sfruttamento taglio-torsione	rEd,totale	rRd	Verifica
0	SLV 1	0.003	-1296.6	488269.6	Considerata				Si

**Verifica a torsione SLD §4.2.4.1.2.5 NTC18**

X	Comb.	Sfruttamento torsione	TEd	TRd	Riduzione taglio resistente	Sfruttamento taglio-torsione	rEd,totale	rRd	Verifica
0	SLD 1	0.001	-544.1	488269.6	Considerata				Si

**Verifiche ad instabilità****Caratteristiche iniziali**

Membratura principale per controllo snellezza; Calcolo di snellezze ed N critici condotti secondo gli assi principali;

Curva X: c; Curva Y: c;

Svergolamento: Nessuno; la verifica a instabilità flessione-torsionale (svergolamento) non verrà eseguita.

**Dati per instabilità attorno a x**

Numero rit.	Presente	Ascissa	Campata	$\beta_x/m$	Vincolo a entrambi estremi	$\lambda_x/m$	$\lambda_{Ver}$
1	Si	0					
			1-2	1	Si	83.7	Si, (<200)
2	Si	475					

**Dati per instabilità attorno a y**

Numero rit.	Presente	Ascissa	Campata	$\beta_y/n$	k,LT	kw,LT	Vincolo a entrambi estremi
1	Si	0					
			1-2	1	Si	83.7	Si, (<200)
2	Si	475					

**Verifica di stabilità membrane compresse §4.2.4.1.3.1 NTC18**

X	Comb.	Sfruttamento	Classe	Obblig.	NEd	Nb,Rd	$\chi_{min}$	I0 x/m	I0 y/n	$\lambda_{adim. x/m}$	$\lambda_{adim. y/n}$	Ncrit x/m	Ncrit y/n	Verifica
0	SLU 18	0.323	1	Si	-19118.6	59190.9	0.561	475	475	0.964	0.964	119168.8	119168.8	Si

**Verifica di stabilità membrane compresse SLD §4.2.4.1.3.1 NTC18**

X	Comb.	Sfruttamento	Classe	Obblig.	NEd	Nb,Rd	$\chi_{min}$	I0 x/m	I0 y/n	$\lambda_{adim. x/m}$	$\lambda_{adim. y/n}$	Ncrit x/m	Ncrit y/n	Verifica
0	SLD 12	0.221	1	Si	-13058.4	59190.9	0.561	475	475	0.964	0.964	119168.8	119168.8	Si

**Verifiche a deformabilità**

Mensola X: No; Mensola Y: No.

Verifiche non eseguite in quanto il superelemento è verticale.

**Superelemento in acciaio composto dall'asta 38****Caratteristiche del materiale**

Acciaio: S275, fyk = 2750

**Caratteristiche geometriche**

Lunghezza: 475

Nodo iniziale: 53 Nodo finale: 403

Cerniera iniziale: Svincolo: M2, M3 Cerniera finale: Svincolo: M2, M3

Sovraresistenza: 0% Sisma Z: No

**Caratteristiche della sezione**

Sezione	Rotazione	Area	Jx	Jy	ix	iy	Wx	Wy	Wplx	Wply
EN10219 168,3x8	0	40.29	1297.27	1297.27	5.67	5.67	154.16	154.16	205.74	205.74

**Verifiche di resistenza****Verifiche a forza assiale §4.2.4.1.2.1 - §4.2.4.1.2.2 NTC18**

X	Comb.	Sfruttamento	Classe	NEd	Nc,Rd	Nt,Rd	Riduzione da taglio	px	py	Verifica
0	SLV 7	0.068	1	-7131.1	105515.6		1	0	0	Si

**Verifiche a forza assiale SLD §4.2.4.1.2.1 - §4.2.4.1.2.2 NTC18**

X	Comb.	Sfruttamento	Classe	NEd	Nc,Rd	Nt,Rd	Riduzione da taglio	px	py	Verifica
0	SLD 7	0.051	1	-5350.3	105515.6		1	0	0	Si

**Verifica a torsione §4.2.4.1.2.5 NTC18**

X	Comb.	Sfruttamento torsione	TEd	TRd	Riduzione taglio resistente	Sfruttamento taglio-torsione	rEd,totale	rRd	Verifica
0	SLV 1	0.003	-1250.7	488269.6	Considerata				Si

**Verifica a torsione SLD §4.2.4.1.2.5 NTC18**

X	Comb.	Sfruttamento torsione	TEd	TRd	Riduzione taglio resistente	Sfruttamento taglio-torsione	rEd,totale	rRd	Verifica
0	SLD 1	0.001	-519.6	488269.6	Considerata				Si

Verifiche ad instabilità

Caratteristiche iniziali

Membratura principale per controllo snellezza; Calcolo di snellezze ed N critici condotti secondo gli assi principali;  
Curva X: c; Curva Y: c;  
Svergolamento: Nessuno; la verifica a instabilità flessione-torsionale (svergolamento) non verrà eseguita.

Dati per instabilità attorno a x

Numero rit.	Presente	Ascissa	Campata	βx/m	Vincolo a entrambi estremi	λx/m	λVer
1	Si	0					
			1-2	1	Si	83.7	Si, (<200)
2	Si	475					

Dati per instabilità attorno a y

Numero rit.	Presente	Ascissa	Campata	βy/n	k,LT	kw,LT	Vincolo a entrambi estremi
1	Si	0					
			1-2	1	Si	83.7	Si, (<200)
2	Si	475					

Verifica di stabilità membrane compresse §4.2.4.1.3.1 NTC18

X	Comb.	Sfruttamento	Classe	Obblig.	NEd	Nb,Rd	χ,min	I0 x/m	I0 y/n	λ adim. x/m	λ adim. y/n	N,crit x/m	N,crit y/n	Verifica
0	SLV 7	0.12	1	Si	-7131.1	59190.9	0.561	475	475	0.964	0.964	119168.8	119168.8	Si

Verifica di stabilità membrane compresse SLD §4.2.4.1.3.1 NTC18

X	Comb.	Sfruttamento	Classe	Obblig.	NEd	Nb,Rd	χ,min	I0 x/m	I0 y/n	λ adim. x/m	λ adim. y/n	N,crit x/m	N,crit y/n	Verifica
0	SLD 7	0.09	1	Si	-5350.3	59190.9	0.561	475	475	0.964	0.964	119168.8	119168.8	Si

Verifiche a deformabilità

Mensola X: No; Mensola Y: No.  
Verifiche non eseguite in quanto il superelemento è verticale.

Superelemento in acciaio composto dall'asta 39

Caratteristiche del materiale

Acciaio: S275, fyk = 2750

Caratteristiche geometriche

Lunghezza: 475  
Nodo iniziale: 48  
Nodo finale: 392  
Cerniera iniziale: Svincolo: M2, M3  
Cerniera finale: Svincolo: M2, M3  
Sovreresistenza: 0%  
Sisma Z: No

Caratteristiche della sezione

Sezione	Rotazione	Area	Jx	Jy	ix	iy	Wx	Wy	Wplx	Wply
EN10219 160x160x8	0	46.44	1741.23	1741.23	6.12	6.12	217.65	217.65	260.14	260.14

Verifiche di resistenza

Verifiche a forza assiale §4.2.4.1.2.1 - §4.2.4.1.2.2 NTC18

X	Comb.	Sfruttamento	Classe	NEd	Nc,Rd	Nt,Rd	Riduzione da taglio	px	py	Verifica
0	SLV 8	0.303	1	-36813.9	121635.1		1	0	0	Si

Verifiche a forza assiale SLD §4.2.4.1.2.1 - §4.2.4.1.2.2 NTC18

X	Comb.	Sfruttamento	Classe	NEd	Nc,Rd	Nt,Rd	Riduzione da taglio	px	py	Verifica
0	SLD 7	0.14	1	-17068.3	121635.1		1	0	0	Si

Verifica a torsione §4.2.4.1.2.5 NTC18

X	Comb.	Sfruttamento torsione	TEd	TRd	Riduzione taglio resistente	Sfruttamento taglio-torsione	τEd,totale	τRd	Verifica
0	SLV 1	0.002	-1376.4	553655.2	Considerata				Si

Verifica a torsione SLD §4.2.4.1.2.5 NTC18

X	Comb.	Sfruttamento torsione	TEd	TRd	Riduzione taglio resistente	Sfruttamento taglio-torsione	τEd,totale	τRd	Verifica
0	SLD 1	0.001	-567.2	553655.2	Considerata				Si

Verifiche ad instabilità

Caratteristiche iniziali

Membratura principale per controllo snellezza; Calcolo di snellezze ed N critici condotti secondo gli assi principali;  
Curva X: c; Curva Y: c; Svergolamento: Carico all'estradosso; Curva svergolamento: d;

Dati per instabilità attorno a x

Numero rit.	Presente	Ascissa	Campata	βx/m	Vincolo a entrambi estremi	λx/m	λVer
1	Si	0					
			1-2	1	Si	77.6	Si, (<200)
2	Si	475					

Dati per instabilità attorno a y

Numero rit.	Presente	Ascissa	Campata	βy/n	k,LT	kw,LT	Vincolo a entrambi estremi	λy/n	λVer
1	Si	0							
			1-2	1	1	1	Si	77.6	Si, (<200)
2	Si	475							

Verifica di stabilità membrane compresse §4.2.4.1.3.1 NTC18

X	Comb.	Sfruttamento	Classe	Obblig.	NEd	Nb,Rd	χ,min	I0 x/m	I0 y/n	λ adim. x/m	λ adim. y/n	N,crit x/m	N,crit y/n	Verifica
0	SLV 7	0.501	1	Si	-36813.9	73441.6	0.604	475	475	0.894	0.894	159951.8	159951.8	Si

**Verifica di stabilità membrature compresse SLD §4.2.4.1.3.1 NTC18**

X	Comb.	Sfruttamento	Classe	Obblig.	NEd	Nb,Rd	x,min	I0 x/m	I0 y/n	λ adim. x/m	λ adim. y/n	N,crit x/m	N,crit y/n	Verifica
0	SLD 8	0.232	1	Si	-17068.3	73441.6	0.604	475	475	0.894	0.894	159951.8	159951.8	Si

**Verifiche a deformabilità**

Mensola X: No; Mensola Y: No.

Verifiche non eseguite in quanto il superelemento è verticale.

**Superelemento in acciaio composto dall'asta 40****Caratteristiche del materiale**

Acciaio: S275, fyk = 2750

**Caratteristiche geometriche**

Lunghezza: 475

Nodo iniziale: 41 Nodo finale: 354

Cerniera iniziale: Svincolo: M2, M3 Cerniera finale: Svincolo: M2, M3

Sovreresistenza: 0% Sisma Z: No

**Caratteristiche della sezione**

Sezione	Rotazione	Area	Jx	Jy	ix	iy	Wx	Wy	Wplx	Wply
EN10219 160x160x8	0	46.44	1741.23	1741.23	6.12	6.12	217.65	217.65	260.14	260.14

**Verifiche di resistenza****Verifiche a forza assiale §4.2.4.1.2.1 - §4.2.4.1.2.2 NTC18**

X	Comb.	Sfruttamento	Classe	NEd	Nc,Rd	Nt,Rd	Riduzione da taglio	px	py	Verifica
0	SLV 10	0.215	1	-26123.5	121635.1		1	0	0	Si

**Verifiche a forza assiale SLD §4.2.4.1.2.1 - §4.2.4.1.2.2 NTC18**

X	Comb.	Sfruttamento	Classe	NEd	Nc,Rd	Nt,Rd	Riduzione da taglio	px	py	Verifica
0	SLD 9	0.115	1	-13983.6	121635.1		1	0	0	Si

**Verifica a torsione §4.2.4.1.2.5 NTC18**

X	Comb.	Sfruttamento torsione	TEd	TRd	Riduzione taglio resistente	Sfruttamento taglio-torsione	τEd,totale	τRd	Verifica
475	SLV 16	0.003	1455.8	553655.2	Considerata				Si

**Verifica a torsione SLD §4.2.4.1.2.5 NTC18**

X	Comb.	Sfruttamento torsione	TEd	TRd	Riduzione taglio resistente	Sfruttamento taglio-torsione	τEd,totale	τRd	Verifica
475	SLD 16	0.001	597.2	553655.2	Considerata				Si

**Verifiche ad instabilità****Caratteristiche iniziali**

Membratura principale per controllo snellezza; Calcolo di snellezze ed N critici condotti secondo gli assi principali;

Curva X: c; Curva Y: c; Svergolamento: Carico all'estradosso; Curva svergolamento: d;

**Dati per instabilità attorno a x**

Numero rit.	Presente	Ascissa	Campata	βx/m	Vincolo a entrambi estremi	λx/m	λVer
1	Si	0					
			1-2	1	Si	77.6	Si, (<200)
2	Si	475					

**Dati per instabilità attorno a y**

Numero rit.	Presente	Ascissa	Campata	βy/n	k,LT	kw,LT	Vincolo a entrambi estremi	λy/n	λVer
1	Si	0							
			1-2	1	1	1	Si	77.6	Si, (<200)
2	Si	475							

**Verifica di stabilità membrature compresse §4.2.4.1.3.1 NTC18**

X	Comb.	Sfruttamento	Classe	Obblig.	NEd	Nb,Rd	x,min	I0 x/m	I0 y/n	λ adim. x/m	λ adim. y/n	N,crit x/m	N,crit y/n	Verifica
0	SLV 10	0.356	1	Si	-26123.5	73441.6	0.604	475	475	0.894	0.894	159951.8	159951.8	Si

**Verifica di stabilità membrature compresse SLD §4.2.4.1.3.1 NTC18**

X	Comb.	Sfruttamento	Classe	Obblig.	NEd	Nb,Rd	x,min	I0 x/m	I0 y/n	λ adim. x/m	λ adim. y/n	N,crit x/m	N,crit y/n	Verifica
0	SLD 10	0.19	1	Si	-13983.6	73441.6	0.604	475	475	0.894	0.894	159951.8	159951.8	Si

**Verifiche a deformabilità**

Mensola X: No; Mensola Y: No.

Verifiche non eseguite in quanto il superelemento è verticale.

**Superelemento in acciaio composto dall'asta 41****Caratteristiche del materiale**

Acciaio: S275, fyk = 2750

**Caratteristiche geometriche**

Lunghezza: 475

Nodo iniziale: 40 Nodo finale: 345

Cerniera iniziale: Svincolo: M2, M3 Cerniera finale: Svincolo: M2, M3

Sovreresistenza: 0% Sisma Z: No

Caratteristiche della sezione

Sezione	Rotazione	Area	Jx	Jy	ix	iy	Wx	Wy	Wplx	Wply
EN10219 160x160x8	0	46.44	1741.23	1741.23	6.12	6.12	217.65	217.65	260.14	260.14

Verifiche di resistenza

Verifiche a forza assiale §4.2.4.1.2.1 - §4.2.4.1.2.2 NTC18

X	Comb.	Sfruttamento	Classe	NEd	Nc,Rd	Nt,Rd	Riduzione da taglio	px	py	Verifica
0	SLV 4	0.191	1	-23237.6	121635.1		1	0	0	Si

Verifiche a forza assiale SLD §4.2.4.1.2.1 - §4.2.4.1.2.2 NTC18

X	Comb.	Sfruttamento	Classe	NEd	Nc,Rd	Nt,Rd	Riduzione da taglio	px	py	Verifica
0	SLD 4	0.112	1	-13579.1	121635.1		1	0	0	Si

Verifica a torsione §4.2.4.1.2.5 NTC18

X	Comb.	Sfruttamento torsione	TEd	TRd	Riduzione taglio resistente	Sfruttamento taglio-torsione	τEd,totale	τRd	Verifica
0	SLV 14	0.003	1424.2	553655.2	Considerata				Si

Verifica a torsione SLD §4.2.4.1.2.5 NTC18

X	Comb.	Sfruttamento torsione	TEd	TRd	Riduzione taglio resistente	Sfruttamento taglio-torsione	τEd,totale	τRd	Verifica
443.3	SLD 14	0.001	584.5	553655.2	Considerata				Si

Verifiche ad instabilità

Caratteristiche iniziali

Membratura principale per controllo snellezza; Calcolo di snellezze ed N critici condotti secondo gli assi principali;  
Curva X: c; Curva Y: c; Svergolamento: Carico all'estradosso; Curva svergolamento: d;

Dati per instabilità attorno a x

Numero rit.	Presente	Ascissa	Campata	βx/m	Vincolo a entrambi estremi	λx/m	λVer
1	Si	0					
			1-2	1	Si	77.6	Si, (<200)
2	Si	475					

Dati per instabilità attorno a y

Numero rit.	Presente	Ascissa	Campata	βy/n	k,LT	kw,LT	Vincolo a entrambi estremi	λy/n	λVer
1	Si	0							
			1-2	1	1	1	Si	77.6	Si, (<200)
2	Si	475							

Verifica di stabilità membrane compresse §4.2.4.1.3.1 NTC18

X	Comb.	Sfruttamento	Classe	Obblig.	NEd	Nb,Rd	x,min	I0 x/m	I0 y/n	λ adim. x/m	λ adim. y/n	Ncrit x/m	Ncrit y/n	Verifica
0	SLV 4	0.316	1	Si	-23237.6	73441.6	0.604	475	475	0.894	0.894	159951.8	159951.8	Si

Verifica di stabilità membrane compresse SLD §4.2.4.1.3.1 NTC18

X	Comb.	Sfruttamento	Classe	Obblig.	NEd	Nb,Rd	x,min	I0 x/m	I0 y/n	λ adim. x/m	λ adim. y/n	Ncrit x/m	Ncrit y/n	Verifica
0	SLD 4	0.185	1	Si	-13579.1	73441.6	0.604	475	475	0.894	0.894	159951.8	159951.8	Si

Verifiche a deformabilità

Mensola X: No; Mensola Y: No.

Verifiche non eseguite in quanto il superelemento è verticale.

Superelemento in acciaio composto dall'asta 44

Caratteristiche del materiale

Acciaio: S275, fyk = 2750

Caratteristiche geometriche

Lunghezza: 475  
Nodo iniziale: 47  
Nodo finale: 390  
Cerniera iniziale: Svincolo: M2, M3  
Cerniera finale: Svincolo: M2, M3  
Sovreresistenza: 0%  
Sisma Z: No

Caratteristiche della sezione

Sezione	Rotazione	Area	Jx	Jy	ix	iy	Wx	Wy	Wplx	Wply
EN10219 160x160x8	0	46.44	1741.23	1741.23	6.12	6.12	217.65	217.65	260.14	260.14

Verifiche di resistenza

Verifiche a forza assiale §4.2.4.1.2.1 - §4.2.4.1.2.2 NTC18

X	Comb.	Sfruttamento	Classe	NEd	Nc,Rd	Nt,Rd	Riduzione da taglio	px	py	Verifica
0	SLU 20	0.046	1	-5542.8	121635.1		1	0	0	Si

Verifiche a forza assiale SLD §4.2.4.1.2.1 - §4.2.4.1.2.2 NTC18

X	Comb.	Sfruttamento	Classe	NEd	Nc,Rd	Nt,Rd	Riduzione da taglio	px	py	Verifica
0	SLD 9	0.031	1	-3788.4	121635.1		1	0	0	Si

Verifica a torsione §4.2.4.1.2.5 NTC18

X	Comb.	Sfruttamento torsione	TEd	TRd	Riduzione taglio resistente	Sfruttamento taglio-torsione	τEd,totale	τRd	Verifica
0	SLV 1	0.003	-1387.8	553655.2	Considerata				Si

Verifica a torsione SLD §4.2.4.1.2.5 NTC18

X	Comb.	Sfruttamento torsione	TEd	TRd	Riduzione taglio resistente	Sfruttamento taglio-torsione	τEd,totale	τRd	Verifica
0	SLD 1	0.001	-578.3	553655.2	Considerata				Si

**Verifiche ad instabilità****Caratteristiche iniziali**

Membratura principale per controllo snellezza; Calcolo di snellezze ed N critici condotti secondo gli assi principali;

Curva X: c; Curva Y: c; Svergolamento: Carico all'estradosso; Curva svergolamento: d;

**Dati per instabilità attorno a x**

Numero rit.	Presente	Ascissa	Campata	$\beta x/m$	Vincolo a entrambi estremi	$\lambda x/m$	$\lambda Ver$
1	Si	0					
			1-2	1	Si	77.6	Si, (<200)
2	Si	475					

**Dati per instabilità attorno a y**

Numero rit.	Presente	Ascissa	Campata	$\beta y/n$	$k,LT$	$k_w,LT$	Vincolo a entrambi estremi	$\lambda y/n$	$\lambda Ver$
1	Si	0							
			1-2	1	1	1	Si	77.6	Si, (<200)
2	Si	475							

**Verifica di stabilità membrane compresse §4.2.4.1.3.1 NTC18**

X	Comb.	Sfruttamento	Classe	Obblig.	NEd	Nb,Rd	$x_{min}$	I0 x/m	I0 y/n	$\lambda_{adim. x/m}$	$\lambda_{adim. y/n}$	N,crit x/m	N,crit y/n	Verifica
0	SLU 20	0.075	1	No	-5542.8	73441.6	0.604	475	475	0.894	0.894	159951.8	159951.8	Si

**Verifica di stabilità membrane compresse SLD §4.2.4.1.3.1 NTC18**

X	Comb.	Sfruttamento	Classe	Obblig.	NEd	Nb,Rd	$x_{min}$	I0 x/m	I0 y/n	$\lambda_{adim. x/m}$	$\lambda_{adim. y/n}$	N,crit x/m	N,crit y/n	Verifica
0	SLD 9	0.052	1	No	-3788.4	73441.6	0.604	475	475	0.894	0.894	159951.8	159951.8	Si

**Verifiche a deformabilità**

Mensola X: No; Mensola Y: No.

Verifiche non eseguite in quanto il superelemento è verticale.

**Superelemento in acciaio composto dall'asta 45****Caratteristiche del materiale**

Acciaio: S275, fyk = 2750

**Caratteristiche geometriche**

Lunghezza: 475

Nodo iniziale: 52 Nodo finale: 402

Cerniera iniziale: Svincolo: M2, M3 Cerniera finale: Svincolo: M2, M3

Sovraresistenza: 0% Sisma Z: No

**Caratteristiche della sezione**

Sezione	Rotazione	Area	Jx	Jy	ix	iy	Wx	Wy	Wplx	Wply
EN10219 168,3x8	0	40.29	1297.27	1297.27	5.67	5.67	154.16	154.16	205.74	205.74

**Verifiche di resistenza****Verifiche a forza assiale §4.2.4.1.2.1 - §4.2.4.1.2.2 NTC18**

X	Comb.	Sfruttamento	Classe	NEd	Nc,Rd	Nt,Rd	Riduzione da taglio	px	py	Verifica
0	SLU 20	0.104	1	-10934.8	105515.6		1	0	0	Si

**Verifiche a forza assiale SLD §4.2.4.1.2.1 - §4.2.4.1.2.2 NTC18**

X	Comb.	Sfruttamento	Classe	NEd	Nc,Rd	Nt,Rd	Riduzione da taglio	px	py	Verifica
0	SLD 7	0.07	1	-7393.6	105515.6		1	0	0	Si

**Verifica a torsione §4.2.4.1.2.5 NTC18**

X	Comb.	Sfruttamento torsione	TEd	TRd	Riduzione taglio resistente	Sfruttamento taglio-torsione	$\tau Ed, totale$	$\tau Rd$	Verifica
0	SLV 1	0.002	-1202.6	488269.6	Considerata				Si

**Verifica a torsione SLD §4.2.4.1.2.5 NTC18**

X	Comb.	Sfruttamento torsione	TEd	TRd	Riduzione taglio resistente	Sfruttamento taglio-torsione	$\tau Ed, totale$	$\tau Rd$	Verifica
0	SLD 1	0.001	-497.1	488269.6	Considerata				Si

**Verifiche ad instabilità****Caratteristiche iniziali**

Membratura principale per controllo snellezza; Calcolo di snellezze ed N critici condotti secondo gli assi principali;

Curva X: c; Curva Y: c;

Svergolamento: Nessuno; la verifica a instabilità flessione-torsionale (svergolamento) non verrà eseguita.

**Dati per instabilità attorno a x**

Numero rit.	Presente	Ascissa	Campata	$\beta x/m$	Vincolo a entrambi estremi	$\lambda x/m$	$\lambda Ver$
1	Si	0					
			1-2	1	Si	83.7	Si, (<200)
2	Si	475					

**Dati per instabilità attorno a y**

Numero rit.	Presente	Ascissa	Campata	$\beta y/n$	$k,LT$	$k_w,LT$	Vincolo a entrambi estremi	$\lambda y/n$	$\lambda Ver$
1	Si	0							
			1-2	1	1	1	Si	83.7	Si, (<200)
2	Si	475							

**Verifica di stabilità membrane compresse §4.2.4.1.3.1 NTC18**

X	Comb.	Sfruttamento	Classe	Obblig.	NEd	Nb,Rd	$x_{min}$	I0 x/m	I0 y/n	$\lambda_{adim. x/m}$	$\lambda_{adim. y/n}$	N,crit x/m	N,crit y/n	Verifica
0	SLU 20	0.185	1	Si	-10934.8	59190.9	0.561	475	475	0.964	0.964	119168.8	119168.8	Si

Verifica di stabilità membrature compresse SLD §4.2.4.1.3.1 NTC18

X	Comb.	Sfruttamento	Classe	Obblig.	NEd	Nb,Rd	x,min	I0 x/m	I0 y/n	λ adim. x/m	λ adim. y/n	N,crit x/m	N,crit y/n	Verifica
0	SLD 7	0.125	1	Si	-7393.6	59190.9	0.561	475	475	0.964	0.964	119168.8	119168.8	Si

Verifiche a deformabilità

Mensola X: No; Mensola Y: No.  
Verifiche non eseguite in quanto il superelemento è verticale.

Superelemento in acciaio composto dall'asta 46

Caratteristiche del materiale

Acciaio: S275, fyk = 2750

Caratteristiche geometriche

Lunghezza: 475  
Nodo iniziale: 51 Nodo finale: 401  
Cerniera iniziale: Svincolo: M2, M3 Cerniera finale: Svincolo: M2, M3  
Sovreresistenza: 0% Sisma Z: No

Caratteristiche della sezione

Sezione	Rotazione	Area	Jx	Jy	ix	iy	Wx	Wy	Wplx	Wply
EN10219 180x180x8	0	52.84	2545.86	2545.86	6.94	6.94	282.87	282.87	335.7	335.7

Verifiche di resistenza

Verifiche a forza assiale §4.2.4.1.2.1 - §4.2.4.1.2.2 NTC18

X	Comb.	Sfruttamento	Classe	NEd	Nc,Rd	Nt,Rd	Riduzione da taglio	px	py	Verifica
0	SLV 10	0.225	1	-31072.4	138397		1	0	0	Si

Verifiche a forza assiale SLD §4.2.4.1.2.1 - §4.2.4.1.2.2 NTC18

X	Comb.	Sfruttamento	Classe	NEd	Nc,Rd	Nt,Rd	Riduzione da taglio	px	py	Verifica
0	SLD 9	0.101	1	-14028.3	138397		1	0	0	Si

Verifica a torsione §4.2.4.1.2.5 NTC18

X	Comb.	Sfruttamento torsione	TEd	TRd	Riduzione taglio resistente	Sfruttamento taglio-torsione	τEd,totale	τRd	Verifica
0	SLV 1	0.003	-1978.5	710430.6	Considerata				Si

Verifica a torsione SLD §4.2.4.1.2.5 NTC18

X	Comb.	Sfruttamento torsione	TEd	TRd	Riduzione taglio resistente	Sfruttamento taglio-torsione	τEd,totale	τRd	Verifica
0	SLD 1	0.001	-820.5	710430.6	Considerata				Si

Verifiche ad instabilità

Caratteristiche iniziali

Membratura principale per controllo snellezza; Calcolo di snellezze ed N critici condotti secondo gli assi principali;  
Curva X: c; Curva Y: c; Svergolamento: Carico all'estradosso; Curva svergolamento: d;

Dati per instabilità attorno a x

Numero rit.	Presente	Ascissa	Campata	βx/m	Vincolo a entrambi estremi	λx/m	λVer
1	Si	0					
			1-2	1	Si	68.4	Si, (<200)
2	Si	475					

Dati per instabilità attorno a y

Numero rit.	Presente	Ascissa	Campata	βy/n	k,LT	kw,LT	Vincolo a entrambi estremi	λy/n	λVer
1	Si	0							
			1-2	1	1	1	Si	68.4	Si, (<200)
2	Si	475							

Verifica di stabilità membrature compresse §4.2.4.1.3.1 NTC18

X	Comb.	Sfruttamento	Classe	Obblig.	NEd	Nb,Rd	x,min	I0 x/m	I0 y/n	λ adim. x/m	λ adim. y/n	N,crit x/m	N,crit y/n	Verifica
0	SLV 9	0.335	1	Si	-31072.4	92660	0.67	475	475	0.788	0.788	233865.8	233865.8	Si

Verifica di stabilità membrature compresse SLD §4.2.4.1.3.1 NTC18

X	Comb.	Sfruttamento	Classe	Obblig.	NEd	Nb,Rd	x,min	I0 x/m	I0 y/n	λ adim. x/m	λ adim. y/n	N,crit x/m	N,crit y/n	Verifica
0	SLD 10	0.151	1	Si	-14028.3	92660	0.67	475	475	0.788	0.788	233865.8	233865.8	Si

Verifiche a deformabilità

Mensola X: No; Mensola Y: No.  
Verifiche non eseguite in quanto il superelemento è verticale.

Superelemento in acciaio composto dall'asta 47

Caratteristiche del materiale

Acciaio: S275, fyk = 2750

Caratteristiche geometriche

Lunghezza: 475  
Nodo iniziale: 58 Nodo finale: 444  
Cerniera iniziale: Svincolo: M2, M3 Cerniera finale: Svincolo: M2, M3  
Sovreresistenza: 0% Sisma Z: No

**Caratteristiche della sezione**

Sezione	Rotazione	Area	Jx	Jy	ix	iy	Wx	Wy	Wplx	Wply
EN10219 160x160x8	0	46.44	1741.23	1741.23	6.12	6.12	217.65	217.65	260.14	260.14

**Verifiche di resistenza****Verifiche a forza assiale §4.2.4.1.2.1 - §4.2.4.1.2.2 NTC18**

X	Comb.	Sfruttamento	Classe	NEd	Nc,Rd	Nt,Rd	Riduzione da taglio	px	py	Verifica
0	SLV 7	0.258	1	-31381.5	121635.1		1	0	0	Si

**Verifiche a forza assiale SLD §4.2.4.1.2.1 - §4.2.4.1.2.2 NTC18**

X	Comb.	Sfruttamento	Classe	NEd	Nc,Rd	Nt,Rd	Riduzione da taglio	px	py	Verifica
0	SLD 7	0.127	1	-15402.9	121635.1		1	0	0	Si

**Verifica a torsione §4.2.4.1.2.5 NTC18**

X	Comb.	Sfruttamento torsione	TEd	TRd	Riduzione taglio resistente	Sfruttamento taglio-torsione	τEd,totale	τRd	Verifica
0	SLV 1	0.002	-1360.9	553655.2	Considerata				Si

**Verifica a torsione SLD §4.2.4.1.2.5 NTC18**

X	Comb.	Sfruttamento torsione	TEd	TRd	Riduzione taglio resistente	Sfruttamento taglio-torsione	τEd,totale	τRd	Verifica
0	SLD 1	0.001	-564.9	553655.2	Considerata				Si

**Verifiche ad instabilità****Caratteristiche iniziali**

Membratura principale per controllo snellezza; Calcolo di snellezze ed N critici condotti secondo gli assi principali;

Curva X: c; Curva Y: c; Svergolamento: Carico all'estradosso; Curva svergolamento: d;

**Dati per instabilità attorno a x**

Numero rit.	Presente	Ascissa	Campata	βx/m	Vincolo a entrambi estremi	λx/m	λVer
1	Si	0					
			1-2	1	Si	77.6	Si, (<200)
2	Si	475					

**Dati per instabilità attorno a y**

Numero rit.	Presente	Ascissa	Campata	βy/n	k,LT	kw,LT	Vincolo a entrambi estremi	λy/n	λVer
1	Si	0							
			1-2	1	1	1	Si	77.6	Si, (<200)
2	Si	475							

**Verifica di stabilità membrane compresse §4.2.4.1.3.1 NTC18**

X	Comb.	Sfruttamento	Classe	Obblig.	NEd	Nb,Rd	x,min	I0 x/m	I0 y/n	λ adim. x/m	λ adim. y/n	Ncrit x/m	Ncrit y/n	Verifica
0	SLV 8	0.427	1	Si	-31381.5	73441.6	0.604	475	475	0.894	0.894	159951.8	159951.8	Si

**Verifica di stabilità membrane compresse SLD §4.2.4.1.3.1 NTC18**

X	Comb.	Sfruttamento	Classe	Obblig.	NEd	Nb,Rd	x,min	I0 x/m	I0 y/n	λ adim. x/m	λ adim. y/n	Ncrit x/m	Ncrit y/n	Verifica
0	SLD 8	0.21	1	Si	-15402.9	73441.6	0.604	475	475	0.894	0.894	159951.8	159951.8	Si

**Verifiche a deformabilità**

Mensola X: No; Mensola Y: No.

Verifiche non eseguite in quanto il superelemento è verticale.

**Superelemento in acciaio composto dall'asta 48****Caratteristiche del materiale**

Acciaio: S275, fyk = 2750

**Caratteristiche geometriche**

Lunghezza: 475

Nodo iniziale: 57 Nodo finale: 437

Cerniera iniziale: Svincolo: M2, M3 Cerniera finale: Svincolo: M2, M3

Sovreresistenza: 0% Sisma Z: No

**Caratteristiche della sezione**

Sezione	Rotazione	Area	Jx	Jy	ix	iy	Wx	Wy	Wplx	Wply
EN10219 160x160x8	0	46.44	1741.23	1741.23	6.12	6.12	217.65	217.65	260.14	260.14

**Verifiche di resistenza****Verifiche a forza assiale §4.2.4.1.2.1 - §4.2.4.1.2.2 NTC18**

X	Comb.	Sfruttamento	Classe	NEd	Nc,Rd	Nt,Rd	Riduzione da taglio	px	py	Verifica
0	SLV 11	0.237	1	-28866.7	121635.1		1	0	0	Si

**Verifiche a forza assiale SLD §4.2.4.1.2.1 - §4.2.4.1.2.2 NTC18**

X	Comb.	Sfruttamento	Classe	NEd	Nc,Rd	Nt,Rd	Riduzione da taglio	px	py	Verifica
0	SLD 12	0.118	1	-14352.7	121635.1		1	0	0	Si

**Verifica a torsione §4.2.4.1.2.5 NTC18**

X	Comb.	Sfruttamento torsione	TEd	TRd	Riduzione taglio resistente	Sfruttamento taglio-torsione	τEd,totale	τRd	Verifica
0	SLV 1	0.003	-1395.3	553655.2	Considerata				Si

**Verifica a torsione SLD §4.2.4.1.2.5 NTC18**

X	Comb.	Sfruttamento torsione	TEd	TRd	Riduzione taglio resistente	Sfruttamento taglio-torsione	τEd,totale	τRd	Verifica
0	SLD 1	0.001	-579.3	553655.2	Considerata				Si

Verifiche ad instabilità

Caratteristiche iniziali

Membratura principale per controllo snellezza;    Calcolo di snellezze ed N critici condotti secondo gli assi principali;  
Curva X:     c; Curva Y: c; Svergolamento: Carico all'estradosso; Curva svergolamento: d;

Dati per instabilità attorno a x

Numero rit.	Presente	Ascissa	Campata	βx/m	Vincolo a entrambi estremi	λx/m	λVer
1	Si	0					
			1-2	1	Si	77.6	Si, (<200)
2	Si	475					

Dati per instabilità attorno a y

Numero rit.	Presente	Ascissa	Campata	βy/n	k,LT	kw,LT	Vincolo a entrambi estremi	λy/n	λVer
1	Si	0							
			1-2	1	1	1	Si	77.6	Si, (<200)
2	Si	475							

Verifica di stabilità membrane compresse §4.2.4.1.3.1 NTC18

X	Comb.	Sfruttamento	Classe	Obblig.	NEd	Nb,Rd	x,min	I0 x/m	I0 y/n	λ adim. x/m	λ adim. y/n	N,crit x/m	N,crit y/n	Verifica
0	SLV 12	0.393	1	Si	-28866.7	73441.6	0.604	475	475	0.894	0.894	159951.8	159951.8	Si

Verifica di stabilità membrane compresse SLD §4.2.4.1.3.1 NTC18

X	Comb.	Sfruttamento	Classe	Obblig.	NEd	Nb,Rd	x,min	I0 x/m	I0 y/n	λ adim. x/m	λ adim. y/n	N,crit x/m	N,crit y/n	Verifica
0	SLD 11	0.195	1	Si	-14352.7	73441.6	0.604	475	475	0.894	0.894	159951.8	159951.8	Si

Verifiche a deformabilità

Mensola X: No; Mensola Y: No.  
Verifiche non eseguite in quanto il superelemento è verticale.

Superelemento in acciaio composto dall'asta 49

Caratteristiche del materiale

Acciaio: S275, fyk = 2750

Caratteristiche geometriche

Lunghezza: 475  
Nodo iniziale: 50    Nodo finale: 399  
Cerniera iniziale: Svincolo: M2, M3    Cerniera finale: Svincolo: M2, M3  
Sovraresistenza: 0%    Sisma Z: No

Caratteristiche della sezione

Sezione	Rotazione	Area	Jx	Jy	ix	iy	Wx	Wy	Wplx	Wply
EN10219 160x160x8	0	46.44	1741.23	1741.23	6.12	6.12	217.65	217.65	260.14	260.14

Verifiche di resistenza

Verifiche a forza assiale §4.2.4.1.2.1 - §4.2.4.1.2.2 NTC18

X	Comb.	Sfruttamento	Classe	NEd	Nc,Rd	Nt,Rd	Riduzione da taglio	px	py	Verifica
0	SLV 13	0.149	1	-18166.8	121635.1		1	0	0	Si

Verifiche a forza assiale SLD §4.2.4.1.2.1 - §4.2.4.1.2.2 NTC18

X	Comb.	Sfruttamento	Classe	NEd	Nc,Rd	Nt,Rd	Riduzione da taglio	px	py	Verifica
0	SLD 13	0.075	1	-9117.3	121635.1		1	0	0	Si

Verifica a torsione §4.2.4.1.2.5 NTC18

X	Comb.	Sfruttamento torsione	TEd	TRd	Riduzione taglio resistente	Sfruttamento taglio-torsione	τEd,totale	τRd	Verifica
0	SLV 1	0.003	-1422.6	553655.2	Considerata				Si

Verifica a torsione SLD §4.2.4.1.2.5 NTC18

X	Comb.	Sfruttamento torsione	TEd	TRd	Riduzione taglio resistente	Sfruttamento taglio-torsione	τEd,totale	τRd	Verifica
0	SLD 1	0.001	-591.7	553655.2	Considerata				Si

Verifiche ad instabilità

Caratteristiche iniziali

Membratura principale per controllo snellezza;    Calcolo di snellezze ed N critici condotti secondo gli assi principali;  
Curva X:     c; Curva Y: c; Svergolamento: Carico all'estradosso; Curva svergolamento: d;

Dati per instabilità attorno a x

Numero rit.	Presente	Ascissa	Campata	βx/m	Vincolo a entrambi estremi	λx/m	λVer
1	Si	0					
			1-2	1	Si	77.6	Si, (<200)
2	Si	475					

Dati per instabilità attorno a y

Numero rit.	Presente	Ascissa	Campata	βy/n	k,LT	kw,LT	Vincolo a entrambi estremi	λy/n	λVer
1	Si	0							
			1-2	1	1	1	Si	77.6	Si, (<200)
2	Si	475							

Verifica di stabilità membrane compresse §4.2.4.1.3.1 NTC18

X	Comb.	Sfruttamento	Classe	Obblig.	NEd	Nb,Rd	x,min	I0 x/m	I0 y/n	λ adim. x/m	λ adim. y/n	N,crit x/m	N,crit y/n	Verifica
0	SLV 13	0.247	1	Si	-18166.8	73441.6	0.604	475	475	0.894	0.894	159951.8	159951.8	Si

39



**Verifica di stabilità membrane compresse SLD §4.2.4.1.3.1 NTC18**

X	Comb.	Sfruttamento	Classe	Obblig.	NEd	Nb,Rd	x,min	I0 x/m	I0 y/n	λ adim. x/m	λ adim. y/n	N <sub>crit</sub> x/m	N <sub>crit</sub> y/n	Verifica
0	SLD 14	0.124	1	Si	-9117.3	73441.6	0.604	475	475	0.894	0.894	159951.8	159951.8	Si

**Verifiche a deformabilità**

Mensola X: No; Mensola Y: No.

Verifiche non eseguite in quanto il superelemento è verticale.

**Superelemento in acciaio composto dall'asta 50****Caratteristiche del materiale**

Acciaio: S275, fyk = 2750

**Caratteristiche geometriche**

Lunghezza: 475

Nodo iniziale: 46 Nodo finale: 388

Cerniera iniziale: Svincolo: M2, M3 Cerniera finale: Svincolo: M2, M3

Sovreresistenza: 0% Sisma Z: No

**Caratteristiche della sezione**

Sezione	Rotazione	Area	Jx	Jy	ix	iy	Wx	Wy	Wplx	Wply
EN10219 160x160x8	0	46.44	1741.23	1741.23	6.12	6.12	217.65	217.65	260.14	260.14

**Verifiche di resistenza****Verifiche a forza assiale §4.2.4.1.2.1 - §4.2.4.1.2.2 NTC18**

X	Comb.	Sfruttamento	Classe	NEd	Nc,Rd	Nt,Rd	Riduzione da taglio	px	py	Verifica
0	SLV 16	0.059	1	-7124.2	121635.1		1	0	0	Si

**Verifiche a forza assiale SLD §4.2.4.1.2.1 - §4.2.4.1.2.2 NTC18**

X	Comb.	Sfruttamento	Classe	NEd	Nc,Rd	Nt,Rd	Riduzione da taglio	px	py	Verifica
0	SLD 16	0.033	1	-4048.6	121635.1		1	0	0	Si

**Verifica a torsione §4.2.4.1.2.5 NTC18**

X	Comb.	Sfruttamento torsione	TEd	TRd	Riduzione taglio resistente	Sfruttamento taglio-torsione	τEd,totale	τRd	Verifica
0	SLV 1	0.003	-1448.5	553655.2	Considerata				Si

**Verifica a torsione SLD §4.2.4.1.2.5 NTC18**

X	Comb.	Sfruttamento torsione	TEd	TRd	Riduzione taglio resistente	Sfruttamento taglio-torsione	τEd,totale	τRd	Verifica
0	SLD 1	0.001	-601.8	553655.2	Considerata				Si

**Verifiche ad instabilità****Caratteristiche iniziali**

Membratura principale per controllo snellezza; Calcolo di snellezze ed N critici condotti secondo gli assi principali;

Curva X: c; Curva Y: c; Svergolamento: Carico all'estradosso; Curva svergolamento: d;

**Dati per instabilità attorno a x**

Numero rit.	Presente	Ascissa	Campata	βx/m	Vincolo a entrambi estremi	λx/m	λVer
1	Si	0					
			1-2	1	Si	77.6	Si, (<200)
2	Si	475					

**Dati per instabilità attorno a y**

Numero rit.	Presente	Ascissa	Campata	βy/n	k <sub>LT</sub>	k <sub>w,LT</sub>	Vincolo a entrambi estremi	λy/n	λVer
1	Si	0							
			1-2	1	1	1	Si	77.6	Si, (<200)
2	Si	475							

**Verifica di stabilità membrane compresse §4.2.4.1.3.1 NTC18**

X	Comb.	Sfruttamento	Classe	Obblig.	NEd	Nb,Rd	x,min	I0 x/m	I0 y/n	λ adim. x/m	λ adim. y/n	N <sub>crit</sub> x/m	N <sub>crit</sub> y/n	Verifica
0	SLV 16	0.097	1	Si	-7124.2	73441.6	0.604	475	475	0.894	0.894	159951.8	159951.8	Si

**Verifica di stabilità membrane compresse SLD §4.2.4.1.3.1 NTC18**

X	Comb.	Sfruttamento	Classe	Obblig.	NEd	Nb,Rd	x,min	I0 x/m	I0 y/n	λ adim. x/m	λ adim. y/n	N <sub>crit</sub> x/m	N <sub>crit</sub> y/n	Verifica
0	SLD 16	0.055	1	No	-4048.6	73441.6	0.604	475	475	0.894	0.894	159951.8	159951.8	Si

**Verifiche a deformabilità**

Mensola X: No; Mensola Y: No.

Verifiche non eseguite in quanto il superelemento è verticale.

**Superelemento in acciaio composto dall'asta 51****Caratteristiche del materiale**

Acciaio: S275, fyk = 2750

**Caratteristiche geometriche**

Lunghezza: 475

Nodo iniziale: 45 Nodo finale: 373

Cerniera iniziale: Svincolo: M2, M3 Cerniera finale: Svincolo: M2, M3

Sovreresistenza: 0% Sisma Z: No

Caratteristiche della sezione

Sezione	Rotazione	Area	Jx	Jy	ix	iy	Wx	Wy	Wplx	Wply
EN10219 160x160x8	0	46.44	1741.23	1741.23	6.12	6.12	217.65	217.65	260.14	260.14

Verifiche di resistenza

Verifiche a forza assiale §4.2.4.1.2.1 - §4.2.4.1.2.2 NTC18

X	Comb.	Sfruttamento	Classe	NEd	Nc,Rd	Nt,Rd	Riduzione da taglio	px	py	Verifica
0	SLV 10	0.202	1	-24549.5	121635.1		1	0	0	Si

Verifiche a forza assiale SLD §4.2.4.1.2.1 - §4.2.4.1.2.2 NTC18

X	Comb.	Sfruttamento	Classe	NEd	Nc,Rd	Nt,Rd	Riduzione da taglio	px	py	Verifica
0	SLD 10	0.093	1	-11345.6	121635.1		1	0	0	Si

Verifica a torsione §4.2.4.1.2.5 NTC18

X	Comb.	Sfruttamento torsione	TEd	TRd	Riduzione taglio resistente	Sfruttamento taglio-torsione	τEd,totale	τRd	Verifica
475	SLV 4	0.003	-1492.4	553655.2	Considerata				Si

Verifica a torsione SLD §4.2.4.1.2.5 NTC18

X	Comb.	Sfruttamento torsione	TEd	TRd	Riduzione taglio resistente	Sfruttamento taglio-torsione	τEd,totale	τRd	Verifica
475	SLD 4	0.001	-616.7	553655.2	Considerata				Si

Verifiche ad instabilità

Caratteristiche iniziali

Membratura principale per controllo snellezza; Calcolo di snellezze ed N critici condotti secondo gli assi principali;  
Curva X: c; Curva Y: c; Svergolamento: Carico all'estradosso; Curva svergolamento: d;

Dati per instabilità attorno a x

Numero rit.	Presente	Ascissa	Campata	βx/m	Vincolo a entrambi estremi	λx/m	λVer
1	Si	0					
			1-2	1	Si	77.6	Si, (<200)
2	Si	475					

Dati per instabilità attorno a y

Numero rit.	Presente	Ascissa	Campata	βy/n	k,LT	kw,LT	Vincolo a entrambi estremi	λy/n	λVer
1	Si	0							
			1-2	1	1	1	Si	77.6	Si, (<200)
2	Si	475							

Verifica di stabilità membrane compresse §4.2.4.1.3.1 NTC18

X	Comb.	Sfruttamento	Classe	Obblig.	NEd	Nb,Rd	x,min	I0 x/m	I0 y/n	λ adim. x/m	λ adim. y/n	Ncrit x/m	Ncrit y/n	Verifica
0	SLV 9	0.334	1	Si	-24549.5	73441.6	0.604	475	475	0.894	0.894	159951.8	159951.8	Si

Verifica di stabilità membrane compresse SLD §4.2.4.1.3.1 NTC18

X	Comb.	Sfruttamento	Classe	Obblig.	NEd	Nb,Rd	x,min	I0 x/m	I0 y/n	λ adim. x/m	λ adim. y/n	Ncrit x/m	Ncrit y/n	Verifica
0	SLD 10	0.154	1	Si	-11345.6	73441.6	0.604	475	475	0.894	0.894	159951.8	159951.8	Si

Verifiche a deformabilità

Mensola X: No; Mensola Y: No.  
Verifiche non eseguite in quanto il superelemento è verticale.

Superelemento in acciaio composto dall'asta 52

Caratteristiche del materiale

Acciaio: S275, fyk = 2750

Caratteristiche geometriche

Lunghezza: 475  
Nodo iniziale: 44  
Nodo finale: 372  
Cerniera iniziale: Svincolo: M2, M3  
Cerniera finale: Svincolo: M2, M3  
Sovreresistenza: 0%  
Sisma Z: No

Caratteristiche della sezione

Sezione	Rotazione	Area	Jx	Jy	ix	iy	Wx	Wy	Wplx	Wply
EN10219 160x160x8	0	46.44	1741.23	1741.23	6.12	6.12	217.65	217.65	260.14	260.14

Verifiche di resistenza

Verifiche a forza assiale §4.2.4.1.2.1 - §4.2.4.1.2.2 NTC18

X	Comb.	Sfruttamento	Classe	NEd	Nc,Rd	Nt,Rd	Riduzione da taglio	px	py	Verifica
0	SLV 13	0.224	1	-27272	121635.1		1	0	0	Si

Verifiche a forza assiale SLD §4.2.4.1.2.1 - §4.2.4.1.2.2 NTC18

X	Comb.	Sfruttamento	Classe	NEd	Nc,Rd	Nt,Rd	Riduzione da taglio	px	py	Verifica
0	SLD 13	0.104	1	-12700	121635.1		1	0	0	Si

Verifica a torsione §4.2.4.1.2.5 NTC18

X	Comb.	Sfruttamento torsione	TEd	TRd	Riduzione taglio resistente	Sfruttamento taglio-torsione	τEd,totale	τRd	Verifica
0	SLV 1	0.003	-1442.8	553655.2	Considerata				Si

Verifica a torsione SLD §4.2.4.1.2.5 NTC18

X	Comb.	Sfruttamento torsione	TEd	TRd	Riduzione taglio resistente	Sfruttamento taglio-torsione	τEd,totale	τRd	Verifica
0	SLD 1	0.001	-596.8	553655.2	Considerata				Si

**Verifiche ad instabilità****Caratteristiche iniziali**

Membratura principale per controllo snellezza; Calcolo di snellezze ed N critici condotti secondo gli assi principali;

Curva X: c; Curva Y: c; Svergolamento: Carico all'estradosso; Curva svergolamento: d;

**Dati per instabilità attorno a x**

Numero rit.	Presente	Ascissa	Campata	$\beta x/m$	Vincolo a entrambi estremi	$\lambda x/m$	$\lambda Ver$
1	Si	0					
			1-2	1	Si	77.6	Si, (<200)
2	Si	475					

**Dati per instabilità attorno a y**

Numero rit.	Presente	Ascissa	Campata	$\beta y/n$	$k,LT$	$kw,LT$	Vincolo a entrambi estremi	$\lambda y/n$	$\lambda Ver$
1	Si	0							
			1-2	1	1	1	Si	77.6	Si, (<200)
2	Si	475							

**Verifica di stabilità membrane compresse §4.2.4.1.3.1 NTC18**

X	Comb.	Sfruttamento	Classe	Obblig.	NEd	Nb,Rd	$\chi_{min}$	I0 x/m	I0 y/n	$\lambda_{adim. x/m}$	$\lambda_{adim. y/n}$	N,crit x/m	N,crit y/n	Verifica
0	SLV 14	0.371	1	Si	-27272	73441.6	0.604	475	475	0.894	0.894	159951.8	159951.8	Si

**Verifica di stabilità membrane compresse SLD §4.2.4.1.3.1 NTC18**

X	Comb.	Sfruttamento	Classe	Obblig.	NEd	Nb,Rd	$\chi_{min}$	I0 x/m	I0 y/n	$\lambda_{adim. x/m}$	$\lambda_{adim. y/n}$	N,crit x/m	N,crit y/n	Verifica
0	SLD 14	0.173	1	Si	-12700	73441.6	0.604	475	475	0.894	0.894	159951.8	159951.8	Si

**Verifiche a deformabilità**

Mensola X: No; Mensola Y: No.

Verifiche non eseguite in quanto il superelemento è verticale.

**Superelemento in acciaio composto dall'asta 53****Caratteristiche del materiale**

Acciaio: S275, fyk = 2750

**Caratteristiche geometriche**

Lunghezza: 475

Nodo iniziale: 43 Nodo finale: 371

Cerniera iniziale: Svincolo: M2, M3 Cerniera finale: Svincolo: M2, M3

Sovraresistenza: 0% Sisma Z: No

**Caratteristiche della sezione**

Sezione	Rotazione	Area	Jx	Jy	ix	iy	Wx	Wy	Wplx	Wply
EN10219 160x160x8	0	46.44	1741.23	1741.23	6.12	6.12	217.65	217.65	260.14	260.14

**Verifiche di resistenza****Verifiche a forza assiale §4.2.4.1.2.1 - §4.2.4.1.2.2 NTC18**

X	Comb.	Sfruttamento	Classe	NEd	Nc,Rd	Nt,Rd	Riduzione da taglio	px	py	Verifica
0	SLV 2	0.236	1	-28666.9	121635.1		1	0	0	Si

**Verifiche a forza assiale SLD §4.2.4.1.2.1 - §4.2.4.1.2.2 NTC18**

X	Comb.	Sfruttamento	Classe	NEd	Nc,Rd	Nt,Rd	Riduzione da taglio	px	py	Verifica
0	SLD 1	0.108	1	-13100.1	121635.1		1	0	0	Si

**Verifica a torsione §4.2.4.1.2.5 NTC18**

X	Comb.	Sfruttamento torsione	TEd	TRd	Riduzione taglio resistente	Sfruttamento taglio-torsione	$\tau Ed, totale$	$\tau Rd$	Verifica
0	SLV 1	0.003	-1481.5	553655.2	Considerata				Si

**Verifica a torsione SLD §4.2.4.1.2.5 NTC18**

X	Comb.	Sfruttamento torsione	TEd	TRd	Riduzione taglio resistente	Sfruttamento taglio-torsione	$\tau Ed, totale$	$\tau Rd$	Verifica
0	SLD 1	0.001	-616.1	553655.2	Considerata				Si

**Verifiche ad instabilità****Caratteristiche iniziali**

Membratura principale per controllo snellezza; Calcolo di snellezze ed N critici condotti secondo gli assi principali;

Curva X: c; Curva Y: c; Svergolamento: Carico all'estradosso; Curva svergolamento: d;

**Dati per instabilità attorno a x**

Numero rit.	Presente	Ascissa	Campata	$\beta x/m$	Vincolo a entrambi estremi	$\lambda x/m$	$\lambda Ver$
1	Si	0					
			1-2	1	Si	77.6	Si, (<200)
2	Si	475					

**Dati per instabilità attorno a y**

Numero rit.	Presente	Ascissa	Campata	$\beta y/n$	$k,LT$	$kw,LT$	Vincolo a entrambi estremi	$\lambda y/n$	$\lambda Ver$
1	Si	0							
			1-2	1	1	1	Si	77.6	Si, (<200)
2	Si	475							

**Verifica di stabilità membrane compresse §4.2.4.1.3.1 NTC18**

X	Comb.	Sfruttamento	Classe	Obblig.	NEd	Nb,Rd	$\chi_{min}$	I0 x/m	I0 y/n	$\lambda_{adim. x/m}$	$\lambda_{adim. y/n}$	N,crit x/m	N,crit y/n	Verifica
0	SLV 2	0.39	1	Si	-28666.9	73441.6	0.604	475	475	0.894	0.894	159951.8	159951.8	Si

Verifica di stabilità membrature compresse SLD §4.2.4.1.3.1 NTC18

X	Comb.	Sfruttamento	Classe	Obblig.	NEd	Nb,Rd	x,min	I0 x/m	I0 y/n	λ adim. x/m	λ adim. y/n	N,crit x/m	N,crit y/n	Verifica
0	SLD 1	0.178	1	Si	-13100.1	73441.6	0.604	475	475	0.894	0.894	159951.8	159951.8	Si

Verifiche a deformabilità

Mensola X: No; Mensola Y: No.  
Verifiche non eseguite in quanto il superelemento è verticale.

Superelemento in acciaio composto dall'asta 54

Caratteristiche del materiale

Acciaio: S275, fyk = 2750

Caratteristiche geometriche

Lunghezza: 475  
Nodo iniziale: 49  
Nodo finale: 398  
Cerniera iniziale: Svincolo: M2, M3  
Cerniera finale: Svincolo: M2, M3  
Sovreresistenza: 0%  
Sisma Z: No

Caratteristiche della sezione

Sezione	Rotazione	Area	Jx	Jy	ix	iy	Wx	Wy	Wplx	Wply
EN10219 160x160x8	0	46.44	1741.23	1741.23	6.12	6.12	217.65	217.65	260.14	260.14

Verifiche di resistenza

Verifiche a forza assiale §4.2.4.1.2.1 - §4.2.4.1.2.2 NTC18

X	Comb.	Sfruttamento	Classe	NEd	Nc,Rd	Nt,Rd	Riduzione da taglio	px	py	Verifica
0	SLV 7	0.303	1	-36897.6	121635.1		1	0	0	Si

Verifiche a forza assiale SLD §4.2.4.1.2.1 - §4.2.4.1.2.2 NTC18

X	Comb.	Sfruttamento	Classe	NEd	Nc,Rd	Nt,Rd	Riduzione da taglio	px	py	Verifica
0	SLD 7	0.145	1	-17597.9	121635.1		1	0	0	Si

Verifica a torsione §4.2.4.1.2.5 NTC18

X	Comb.	Sfruttamento torsione	TEd	TRd	Riduzione taglio resistente	Sfruttamento taglio-torsione	τEd,totale	τRd	Verifica
475	SLV 4	0.003	-1448.6	553655.2	Considerata				Si

Verifica a torsione SLD §4.2.4.1.2.5 NTC18

X	Comb.	Sfruttamento torsione	TEd	TRd	Riduzione taglio resistente	Sfruttamento taglio-torsione	τEd,totale	τRd	Verifica
475	SLD 4	0.001	-598	553655.2	Considerata				Si

Verifiche ad instabilità

Caratteristiche iniziali

Membratura principale per controllo snellezza; Calcolo di snellezze ed N critici condotti secondo gli assi principali;  
Curva X: c; Curva Y: c; Svergolamento: Carico all'estradosso; Curva svergolamento: d;

Dati per instabilità attorno a x

Numero rit.	Presente	Ascissa	Campata	βx/m	Vincolo a entrambi estremi	λx/m	λVer
1	Si	0					
			1-2	1	Si	77.6	Si, (<200)
2	Si	475					

Dati per instabilità attorno a y

Numero rit.	Presente	Ascissa	Campata	βy/n	k,LT	kw,LT	Vincolo a entrambi estremi	λy/n	λVer
1	Si	0							
			1-2	1	1	1	Si	77.6	Si, (<200)
2	Si	475							

Verifica di stabilità membrature compresse §4.2.4.1.3.1 NTC18

X	Comb.	Sfruttamento	Classe	Obblig.	NEd	Nb,Rd	x,min	I0 x/m	I0 y/n	λ adim. x/m	λ adim. y/n	N,crit x/m	N,crit y/n	Verifica
0	SLV 7	0.502	1	Si	-36897.6	73441.6	0.604	475	475	0.894	0.894	159951.8	159951.8	Si

Verifica di stabilità membrature compresse SLD §4.2.4.1.3.1 NTC18

X	Comb.	Sfruttamento	Classe	Obblig.	NEd	Nb,Rd	x,min	I0 x/m	I0 y/n	λ adim. x/m	λ adim. y/n	N,crit x/m	N,crit y/n	Verifica
0	SLD 8	0.24	1	Si	-17597.9	73441.6	0.604	475	475	0.894	0.894	159951.8	159951.8	Si

Verifiche a deformabilità

Mensola X: No; Mensola Y: No.  
Verifiche non eseguite in quanto il superelemento è verticale.

Superelemento in acciaio composto dall'asta 55

Caratteristiche del materiale

Acciaio: S275, fyk = 2750

Caratteristiche geometriche

Lunghezza: 475  
Nodo iniziale: 36  
Nodo finale: 322  
Cerniera iniziale: Svincolo: M2, M3  
Cerniera finale: Svincolo: M2, M3  
Sovreresistenza: 0%  
Sisma Z: No

**Caratteristiche della sezione**

Sezione	Rotazione	Area	Jx	Jy	ix	iy	Wx	Wy	Wplx	Wply
EN10219 168, 3x8	0	40.29	1297.27	1297.27	5.67	5.67	154.16	154.16	205.74	205.74

**Verifiche di resistenza****Verifiche a forza assiale §4.2.4.1.2.1 - §4.2.4.1.2.2 NTC18**

X	Comb.	Sfruttamento	Classe	NEd	Nc,Rd	Nt,Rd	Riduzione da taglio	px	py	Verifica
0	SLU 18	0.211	1	-22272.4	105515.6		1	0	0	Si

**Verifiche a forza assiale SLD §4.2.4.1.2.1 - §4.2.4.1.2.2 NTC18**

X	Comb.	Sfruttamento	Classe	NEd	Nc,Rd	Nt,Rd	Riduzione da taglio	px	py	Verifica
0	SLD 1	0.13	1	-13718.1	105515.6		1	0	0	Si

**Verifica a torsione §4.2.4.1.2.5 NTC18**

X	Comb.	Sfruttamento torsione	TEd	TRd	Riduzione taglio resistente	Sfruttamento taglio-torsione	τEd,totale	τRd	Verifica
475	SLV 4	0.003	-1368.4	488269.6	Considerata				Si

**Verifica a torsione SLD §4.2.4.1.2.5 NTC18**

X	Comb.	Sfruttamento torsione	TEd	TRd	Riduzione taglio resistente	Sfruttamento taglio-torsione	τEd,totale	τRd	Verifica
475	SLD 4	0.001	-562.4	488269.6	Considerata				Si

**Verifiche ad instabilità****Caratteristiche iniziali**

Membratura principale per controllo snellezza; Calcolo di snellezze ed N critici condotti secondo gli assi principali;

Curva X: c; Curva Y: c;

Svergolamento: Nessuno; la verifica a instabilità flessione-torsionale (svergolamento) non verrà eseguita.

**Dati per instabilità attorno a x**

Numero rit.	Presente	Ascissa	Campata	βx/m	Vincolo a entrambi estremi	λx/m	λVer
1	Si	0					
			1-2	1	Si	83.7	Si, (<200)
2	Si	475					

**Dati per instabilità attorno a y**

Numero rit.	Presente	Ascissa	Campata	βy/n	k,LT	kw,LT	Vincolo a entrambi estremi
1	Si	0					
			1-2	1	Si	83.7	Si, (<200)
2	Si	475					

**Verifica di stabilità membrane compresse §4.2.4.1.3.1 NTC18**

X	Comb.	Sfruttamento	Classe	Obblig.	NEd	Nb,Rd	x,min	l0 x/m	l0 y/n	λ adim. x/m	λ adim. y/n	Ncrit x/m	Ncrit y/n	Verifica
0	SLU 18	0.376	1	Si	-22272.4	59190.9	0.561	475	475	0.964	0.964	119168.8	119168.8	Si

**Verifica di stabilità membrane compresse SLD §4.2.4.1.3.1 NTC18**

X	Comb.	Sfruttamento	Classe	Obblig.	NEd	Nb,Rd	x,min	l0 x/m	l0 y/n	λ adim. x/m	λ adim. y/n	Ncrit x/m	Ncrit y/n	Verifica
0	SLD 1	0.232	1	Si	-13718.1	59190.9	0.561	475	475	0.964	0.964	119168.8	119168.8	Si

**Verifiche a deformabilità**

Mensola X: No; Mensola Y: No.

Verifiche non eseguite in quanto il superelemento è verticale.

**Superelemento in acciaio composto dall'asta 56****Caratteristiche del materiale**

Acciaio: S275, fyk = 2750

**Caratteristiche geometriche**

Lunghezza: 475

Nodo iniziale: 55 Nodo finale: 406

Cerniera iniziale: Svincolo: M2, M3 Cerniera finale: Svincolo: M2, M3

Sovraresistenza: 0% Sisma Z: No

**Caratteristiche della sezione**

Sezione	Rotazione	Area	Jx	Jy	ix	iy	Wx	Wy	Wplx	Wply
EN10219 168, 3x8	0	40.29	1297.27	1297.27	5.67	5.67	154.16	154.16	205.74	205.74

**Verifiche di resistenza****Verifiche a forza assiale §4.2.4.1.2.1 - §4.2.4.1.2.2 NTC18**

X	Comb.	Sfruttamento	Classe	NEd	Nc,Rd	Nt,Rd	Riduzione da taglio	px	py	Verifica
0	SLU 20	0.071	1	-7505.3	105515.6		1	0	0	Si

**Verifiche a forza assiale SLD §4.2.4.1.2.1 - §4.2.4.1.2.2 NTC18**

X	Comb.	Sfruttamento	Classe	NEd	Nc,Rd	Nt,Rd	Riduzione da taglio	px	py	Verifica
0	SLD 1	0.044	1	-4663.7	105515.6		1	0	0	Si

**Verifica a torsione §4.2.4.1.2.5 NTC18**

X	Comb.	Sfruttamento torsione	TEd	TRd	Riduzione taglio resistente	Sfruttamento taglio-torsione	τEd,totale	τRd	Verifica
475	SLV 4	0.003	-1360.7	488269.6	Considerata				Si

Verifica a torsione SLD §4.2.4.1.2.5 NTC18

X	Comb.	Sfruttamento torsione	TEd	TRd	Riduzione taglio resistente	Sfruttamento taglio-torsione	τEd,totale	τRd	Verifica
475	SLD 4	0.001	-560.6	488269.6	Considerata				Si

Verifiche ad instabilità

Caratteristiche iniziali

Membratura principale per controllo snellezza; Calcolo di snellezze ed N critici condotti secondo gli assi principali;  
Curva X: c; Curva Y: c;  
Svergolamento: Nessuno; la verifica a instabilità flessio-torsionale (svergolamento) non verrà eseguita.

Dati per instabilità attorno a x

Numero rit.	Presente	Ascissa	Campata	βx/m	Vincolo a entrambi estremi	λx/m	λVer
1	Si	0					
			1-2	1	Si	83.7	Si, (<200)
2	Si	475					

Dati per instabilità attorno a y

Numero rit.	Presente	Ascissa	Campata	βy/n	k,LT	kw,LT	Vincolo a entrambi estremi
1	Si	0					
			1-2	1	Si	83.7	Si, (<200)
2	Si	475					

Verifica di stabilità membrature compresse §4.2.4.1.3.1 NTC18

X	Comb.	Sfruttamento	Classe	Obblig.	NEd	Nb,Rd	χ,min	I0 x/m	I0 y/n	λ adim. x/m	λ adim. y/n	N,crit x/m	N,crit y/n	Verifica
0	SLU 20	0.127	1	Si	-7505.3	59190.9	0.561	475	475	0.964	0.964	119168.8	119168.8	Si

Verifica di stabilità membrature compresse SLD §4.2.4.1.3.1 NTC18

X	Comb.	Sfruttamento	Classe	Obblig.	NEd	Nb,Rd	χ,min	I0 x/m	I0 y/n	λ adim. x/m	λ adim. y/n	N,crit x/m	N,crit y/n	Verifica
0	SLD 1	0.079	1	No	-4663.7	59190.9	0.561	475	475	0.964	0.964	119168.8	119168.8	Si

Verifiche a deformabilità

Mensola X: No; Mensola Y: No.  
Verifiche non eseguite in quanto il superelemento è verticale.

Superelemento in acciaio composto dall'asta 57

Caratteristiche del materiale

Acciaio: S275, fyk = 2750

Caratteristiche geometriche

Lunghezza: 475  
Nodo iniziale: 56 Nodo finale: 421  
Cerniera iniziale: Svincolo: M2, M3 Cerniera finale: Svincolo: M2, M3  
Sovraresistenza: 0% Sisma Z: No

Caratteristiche della sezione

Sezione	Rotazione	Area	Jx	Jy	ix	iy	Wx	Wy	Wplx	Wply
ENI0219 168, 3x8	0	40.29	1297.27	1297.27	5.67	5.67	154.16	154.16	205.74	205.74

Verifiche di resistenza

Verifiche a forza assiale §4.2.4.1.2.1 - §4.2.4.1.2.2 NTC18

X	Comb.	Sfruttamento	Classe	NEd	Nc,Rd	Nt,Rd	Riduzione da taglio	px	py	Verifica
0	SLV 3	0.16	1	-16871.8	105515.6		1	0	0	Si

Verifiche a forza assiale SLD §4.2.4.1.2.1 - §4.2.4.1.2.2 NTC18

X	Comb.	Sfruttamento	Classe	NEd	Nc,Rd	Nt,Rd	Riduzione da taglio	px	py	Verifica
0	SLD 4	0.106	1	-11175.7	105515.6		1	0	0	Si

Verifica a torsione §4.2.4.1.2.5 NTC18

X	Comb.	Sfruttamento torsione	TEd	TRd	Riduzione taglio resistente	Sfruttamento taglio-torsione	τEd,totale	τRd	Verifica
475	SLV 4	0.003	-1338.5	488269.6	Considerata				Si

Verifica a torsione SLD §4.2.4.1.2.5 NTC18

X	Comb.	Sfruttamento torsione	TEd	TRd	Riduzione taglio resistente	Sfruttamento taglio-torsione	τEd,totale	τRd	Verifica
475	SLD 4	0.001	-550.7	488269.6	Considerata				Si

Verifiche ad instabilità

Caratteristiche iniziali

Membratura principale per controllo snellezza; Calcolo di snellezze ed N critici condotti secondo gli assi principali;  
Curva X: c; Curva Y: c;  
Svergolamento: Nessuno; la verifica a instabilità flessio-torsionale (svergolamento) non verrà eseguita.

Dati per instabilità attorno a x

Numero rit.	Presente	Ascissa	Campata	βx/m	Vincolo a entrambi estremi	λx/m	λVer
1	Si	0					
			1-2	1	Si	83.7	Si, (<200)
2	Si	475					

Dati per instabilità attorno a y

Numero rit.	Presente	Ascissa	Campata	βy/n	k,LT	kw,LT	Vincolo a entrambi estremi
1	Si	0					
			1-2	1	Si	83.7	Si, (<200)

Numero rit.	Presente	Ascissa	Campata	$\beta y/n$	k,LT	kw,LT	Vincolo a entrambi estremi
2	Si	475					

**Verifica di stabilità membrature compresse §4.2.4.1.3.1 NTC18**

X	Comb.	Sfruttamento	Classe	Obblig.	NEd	Nb,Rd	$\chi_{min}$	I0 x/m	I0 y/n	$\lambda_{adim. x/m}$	$\lambda_{adim. y/n}$	N,crit x/m	N,crit y/n	Verifica
0	SLV 4	0.285	1	Si	-16871.8	59190.9	0.561	475	475	0.964	0.964	119168.8	119168.8	Si

**Verifica di stabilità membrature compresse SLD §4.2.4.1.3.1 NTC18**

X	Comb.	Sfruttamento	Classe	Obblig.	NEd	Nb,Rd	$\chi_{min}$	I0 x/m	I0 y/n	$\lambda_{adim. x/m}$	$\lambda_{adim. y/n}$	N,crit x/m	N,crit y/n	Verifica
0	SLD 4	0.189	1	Si	-11175.7	59190.9	0.561	475	475	0.964	0.964	119168.8	119168.8	Si

**Verifiche a deformabilità**

Mensola X: No; Mensola Y: No.

Verifiche non eseguite in quanto il superelemento è verticale.

**Superelemento in acciaio composto dall'asta 58****Caratteristiche del materiale**

Acciaio: S275, fyk = 2750

**Caratteristiche geometriche**

Lunghezza: 557.7

Nodo iniziale: 119 Nodo finale: 8

Cerniera iniziale: Svincolo: M2, M3 Cerniera finale: Svincolo: M2, M3

Sovraresistenza: 0% Sisma Z: No

**Caratteristiche della sezione**

Sezione	Rotazione	Area	Jx	Jy	ix	iy	Wx	Wy	Wplx	Wply
EN10219 160x160x8	0	46.44	1741.23	1741.23	6.12	6.12	217.65	217.65	260.14	260.14

**Verifiche di resistenza****Verifiche a forza assiale §4.2.4.1.2.1 - §4.2.4.1.2.2 NTC18**

X	Comb.	Sfruttamento	Classe	NEd	Nc,Rd	Nt,Rd	Riduzione da taglio	px	py	Verifica
557.7	SLV 13	0.432	1	-52556.2	121635.1		1	0	0	Si

**Verifiche a forza assiale SLD §4.2.4.1.2.1 - §4.2.4.1.2.2 NTC18**

X	Comb.	Sfruttamento	Classe	NEd	Nc,Rd	Nt,Rd	Riduzione da taglio	px	py	Verifica
557.7	SLD 14	0.188	1	-22869.9	121635.1		1	0	0	Si

**Verifica a taglio Y §4.2.4.1.2.4 NTC18**

X	Comb.	Sfruttamento	VEd	Vc,Rd	Av	Interazione taglio-torsione	Riduzione torsione	Verifica
557.7	SLV 20	0.002	-69.3	35113	23.22	Considerata	1	Si

**Verifica a taglio Y SLD §4.2.4.1.2.4 NTC18**

X	Comb.	Sfruttamento	VEd	Vc,Rd	Av	Interazione taglio-torsione	Riduzione torsione	Verifica
0	SLD 1	0.002	53.3	35077.2	23.22	Considerata	1	Si

**Verifica a torsione §4.2.4.1.2.5 NTC18**

X	Comb.	Sfruttamento torsione	TEd	TRd	Riduzione taglio resistente	Sfruttamento taglio-torsione	$\tau_{Ed,totale}$	$\tau_{Rd}$	Verifica
0	SLV 1	0.002	-1102.5	553655.2	Considerata				Si

**Verifica a torsione SLD §4.2.4.1.2.5 NTC18**

X	Comb.	Sfruttamento torsione	TEd	TRd	Riduzione taglio resistente	Sfruttamento taglio-torsione	$\tau_{Ed,totale}$	$\tau_{Rd}$	Verifica
0	SLD 1	0.001	-564.6	553655.2	Considerata				Si

**Verifica a presso/tenso flessione retta X §§ 4.2.4.1.2.3 - 4.2.4.1.2.6 - 4.2.4.1.2.7 - 4.2.4.1.2.8 NTC18**

Verifiche eseguite utilizzando la formula conservativa (6.2) §6.2.1 EN 1993-1-1:2005.

X	Comb.	Sfruttamento	Classe	NEd	NRd	Rid. NRd da VEd	Mx,Ed	Mx,Rd	Rid. Mx,Rd da VEd	Rid. Mx,Rd da NEd	px	py	Verifica
278.9	SLV 14	0.442	1	-52469.7	121635.1	1	-7428	681313	1		0	0	Si

**Verifica a presso/tenso flessione retta X SLD §§ 4.2.4.1.2.3 - 4.2.4.1.2.6 - 4.2.4.1.2.7 - 4.2.4.1.2.8 NTC18**

Verifiche eseguite utilizzando la formula conservativa (6.2) §6.2.1 EN 1993-1-1:2005.

X	Comb.	Sfruttamento	Classe	NEd	NRd	Rid. NRd da VEd	Mx,Ed	Mx,Rd	Rid. Mx,Rd da VEd	Rid. Mx,Rd da NEd	px	py	Verifica
278.9	SLD 13	0.198	1	-22783.3	121635.1	1	-7428	681313	1		0	0	Si

**Verifiche ad instabilità****Caratteristiche iniziali**

Membratura principale per controllo snellezza; Calcolo di snellezze ed N critici condotti secondo gli assi principali;

Curva X: c; Curva Y: c; Svergolamento: Carico all'estradosso; Curva svergolamento: d;

**Dati per instabilità attorno a x**

Numero rit.	Presente	Ascissa	Campata	$\beta x/m$	Vincolo a entrambi estremi	$\lambda x/m$	$\lambda_{Ver}$
1	Si	0					
			1-2	0.7	Si	63.8	Si, (<200)
2	Si	557.7					

**Dati per instabilità attorno a y**

Numero rit.	Presente	Ascissa	Campata	$\beta y/n$	k,LT	kw,LT	Vincolo a entrambi estremi	$\lambda y/n$	$\lambda_{Ver}$
1	Si	0							
			1-2	0.7	1	1	Si	63.8	Si, (<200)
2	Si	557.7							

Verifica di stabilità per pressoflessione §C.4.2.4.1.3.3.2 NTC18

X	Comb.	Sfruttamento	Classe	NEd	NRk	Mx,Ed max	Mx,Rk	My,Ed max	My,Rk	χ,x	χ,y	kxx	kxy	kyy	kyy	χ,LT	Verifica
557.7	SLV 14	0.628	1	-52556.2	127716.8	7427.7	715378.2	0	715378.2	0.703	0.703	1.262	0.478	0.936	0.797	1	Si

Verifica di stabilità per pressoflessione SLD §C.4.2.4.1.3.3.2 NTC18

X	Comb.	Sfruttamento	Classe	NEd	NRk	Mx,Ed max	Mx,Rk	My,Ed max	My,Rk	χ,x	χ,y	kxx	kxy	kyy	kyy	χ,LT	Verifica
557.7	SLD 13	0.279	1	-22869.9	127716.8	7427.7	715378.2	0	715378.2	0.703	0.703	1.086	0.411	0.972	0.686	1	Si

Verifica di stabilità a taglio anima Y §4.2.4.1.2.4 [4.2.27] NTC18

η	hw	tw	hw/tw max	Verifica
1.2	14.4	0.8	55.46	Si

Verifica di stabilità a taglio anima Y SLD §4.2.4.1.2.4 [4.2.27] NTC18

η	hw	tw	hw/tw max	Verifica
1.2	14.4	0.8	55.46	Si

Verifiche a deformabilità

Mensola X: No; Mensola Y: No.

Frecce lungo X

Ascissa freccia	Combinazione	Freccia	Luce	L/f	L/f,min	Tipo	Verifica
260.3	SLE RA 1	0	557.7	10000	250	Totale	Si
185.9	SLE RA 2	0	557.7	10000	250	Totale	Si
185.9	SLE RA 3	0	557.7	10000	250	Totale	Si
223.1	SLE RA 4	0	557.7	10000	250	Totale	Si
185.9	SLE RA 5	0	557.7	10000	250	Totale	Si
130.1	SLE RA 2	0	557.7	10000	350	Variabile	Si
167.3	SLE RA 3	0	557.7	10000	350	Variabile	Si
74.4	SLE RA 4	0	557.7	10000	350	Variabile	Si
167.3	SLE RA 5	0	557.7	10000	350	Variabile	Si

Frecce lungo Y

Ascissa freccia	Combinazione	Freccia	Luce	L/f	L/f,min	Tipo	Verifica
278.9	SLE RA 1	-0.066	557.7	8442.9	250	Totale	Si
278.9	SLE RA 2	-0.066	557.7	8442.9	250	Totale	Si
278.9	SLE RA 3	-0.066	557.7	8442.9	250	Totale	Si
278.9	SLE RA 4	-0.066	557.7	8442.9	250	Totale	Si
278.9	SLE RA 5	-0.066	557.7	8442.9	250	Totale	Si
93	SLE RA 2	0	557.7	10000	350	Variabile	Si
167.3	SLE RA 3	0	557.7	10000	350	Variabile	Si
37.2	SLE RA 4	0	557.7	10000	350	Variabile	Si
223.1	SLE RA 5	0	557.7	10000	350	Variabile	Si

Superelemento in acciaio composto dall'asta 59

Caratteristiche del materiale

Acciaio: S275, fyk = 2750

Caratteristiche geometriche

Lunghezza: 557.7

Nodo iniziale: 7 Nodo finale: 120

Cerniera iniziale: Svincolo: M2, M3 Cerniera finale: Svincolo: M2, M3

Sovraresistenza: 0% Sisma Z: No

Caratteristiche della sezione

Sezione	Rotazione	Area	Jx	Jy	ix	iy	Wx	Wy	Wplx	Wply
ENI0219 160x160x8	0	46.44	1741.23	1741.23	6.12	6.12	217.65	217.65	260.14	260.14

Verifiche di resistenza

Verifiche a forza assiale §4.2.4.1.2.1 - §4.2.4.1.2.2 NTC18

X	Comb.	Sfruttamento	Classe	NEd	Nc,Rd	Nt,Rd	Riduzione da taglio	px	py	Verifica
0	SLV 4	0.439	1	-53425.2	121635.1		1	0	0	Si

Verifiche a forza assiale SLD §4.2.4.1.2.1 - §4.2.4.1.2.2 NTC18

X	Comb.	Sfruttamento	Classe	NEd	Nc,Rd	Nt,Rd	Riduzione da taglio	px	py	Verifica
0	SLD 3	0.195	1	-23760.3	121635.1		1	0	0	Si

Verifica a taglio Y §4.2.4.1.2.4 NTC18

X	Comb.	Sfruttamento	VEd	Vc,Rd	Av	Interazione taglio-torsione	Riduzione torsione	Verifica
0	SLU 17	0.002	69.3	35113	23.22	Considerata	1	Si

Verifica a taglio Y SLD §4.2.4.1.2.4 NTC18

X	Comb.	Sfruttamento	VEd	Vc,Rd	Av	Interazione taglio-torsione	Riduzione torsione	Verifica
557.7	SLD 4	0.002	-53.3	35113	23.22	Considerata	1	Si

Verifica a torsione §4.2.4.1.2.5 NTC18

X	Comb.	Sfruttamento torsione	TEd	TRd	Riduzione taglio resistente	Sfruttamento taglio-torsione	τEd,totale	τRd	Verifica
520.5	SLV 14	0.001	817.6	553655.2	Considerata				Si

Verifica a presso/tenso flessione retta X §§ 4.2.4.1.2.3 - 4.2.4.1.2.6 - 4.2.4.1.2.7 - 4.2.4.1.2.8 NTC18

Verifiche eseguite utilizzando la formula conservativa (6.2) §6.2.1 EN 1993-1-1:2005.

X	Comb.	Sfruttamento	Classe	NEd	NRd	Rid. NRd da VEd	Mx,Rd	Rid. Mx,Rd da VEd	Rid. Mx,Rd da NEd	px	py	Verifica
278.9	SLV 3	0.449	1	-53338.6	121635.1	1	-7428	681313	1	0	0	Si

Verifica a presso/tenso flessione retta X SLD §§ 4.2.4.1.2.3 - 4.2.4.1.2.6 - 4.2.4.1.2.7 - 4.2.4.1.2.8 NTC18

Verifiche eseguite utilizzando la formula conservativa (6.2) §6.2.1 EN 1993-1-1:2005.



X	Comb.	Sfruttamento	Classe	NEd	NRd	Rid. NRd da VEd	Mx,Ed	Mx,Rd	Rid. Mx,Rd da VEd	Rid. Mx,Rd da NEd	px	py	Verifica
278.9	SLD 3	0.206	1	-23673.7	121635.1	1	-7428	681313	1		0	0	Si

Verifiche ad instabilità

Caratteristiche iniziali

Membratura principale per controllo snellezza; Calcolo di snellezze ed N critici condotti secondo gli assi principali;

Curva X: c; Curva Y: c; Svergolamento: Carico all'estradosso; Curva svergolamento: d;

Dati per instabilità attorno a x

Numero rit.	Presente	Ascissa	Campata	βx/m	Vincolo a entrambi estremi	λx/m	λVer
1	Si	0					
			1-2	0.7	Si	63.8	Si, (<200)
2	Si	557.7					

Dati per instabilità attorno a y

Numero rit.	Presente	Ascissa	Campata	βy/n	k,LT	kw,LT	Vincolo a entrambi estremi	λy/n	λVer
1	Si	0							
			1-2	0.7	1	1	Si	63.8	Si, (<200)
2	Si	557.7							

Verifica di stabilità per pressoflessione §C.4.2.4.1.3.3.2 NTC18

X	Comb.	Sfruttamento	Classe	NEd	NRk	Mx,Ed max	Mx,Rk	My,Ed max	My,Rk	χ,x	χ,y	kxx	kxy	kyy	χ,LT	Verifica	
0	SLV 3	0.638	1	-53425.2	127716.8	7427.7	715378.2	0	715378.2	0.703	0.703	1.267	0.48	0.934	0.8	1	Si

Verifica di stabilità per pressoflessione SLD §C.4.2.4.1.3.3.2 NTC18

X	Comb.	Sfruttamento	Classe	NEd	NRk	Mx,Ed max	Mx,Rk	My,Ed max	My,Rk	χ,x	χ,y	kxx	kxy	kyy	χ,LT	Verifica	
0	SLD 4	0.29	1	-23760.3	127716.8	7427.7	715378.2	0	715378.2	0.703	0.703	1.091	0.413	0.971	0.689	1	Si

Verifica di stabilità a taglio anima Y §4.2.4.1.2.4 [4.2.27] NTC18

η	hw	tw	hw/tw max	Verifica
1.2	14.4	0.8	55.46	Si

Verifica di stabilità a taglio anima Y SLD §4.2.4.1.2.4 [4.2.27] NTC18

η	hw	tw	hw/tw max	Verifica
1.2	14.4	0.8	55.46	Si

Verifiche a deformabilità

Mensola X: No; Mensola Y: No.

Frecce lungo X

Ascissa freccia	Combinazione	Freccia	Luce	L/f	L/f,min	Tipo	Verifica
539.1	SLE RA 1	0	557.7	10000	250	Totale	Si
539.1	SLE RA 2	0	557.7	10000	250	Totale	Si
520.5	SLE RA 3	0	557.7	10000	250	Totale	Si
427.6	SLE RA 4	0	557.7	10000	250	Totale	Si
427.6	SLE RA 5	0	557.7	10000	250	Totale	Si
539.1	SLE RA 2	0	557.7	10000	350	Variabile	Si
520.5	SLE RA 3	0	557.7	10000	350	Variabile	Si
427.6	SLE RA 4	0	557.7	10000	350	Variabile	Si
520.5	SLE RA 5	0	557.7	10000	350	Variabile	Si

Frecce lungo Y

Ascissa freccia	Combinazione	Freccia	Luce	L/f	L/f,min	Tipo	Verifica
278.9	SLE RA 1	-0.066	557.7	8442.9	250	Totale	Si
278.9	SLE RA 2	-0.066	557.7	8442.9	250	Totale	Si
278.9	SLE RA 3	-0.066	557.7	8442.9	250	Totale	Si
278.9	SLE RA 4	-0.066	557.7	8442.9	250	Totale	Si
278.9	SLE RA 5	-0.066	557.7	8442.9	250	Totale	Si
334.6	SLE RA 2	0	557.7	10000	350	Variabile	Si
427.6	SLE RA 3	0	557.7	10000	350	Variabile	Si
427.6	SLE RA 4	0	557.7	10000	350	Variabile	Si
427.6	SLE RA 5	0	557.7	10000	350	Variabile	Si

Superelemento in acciaio composto dall'asta 60

Caratteristiche del materiale

Acciaio: S275, fyk = 2750

Caratteristiche geometriche

Lunghezza: 557.7

Nodo iniziale: 345 Nodo finale: 41

Cerniera iniziale: Svincolo: M2, M3 Cerniera finale: Svincolo: M2, M3

Sovreresistenza: 0% Sisma Z: No

Caratteristiche della sezione

Sezione	Rotazione	Area	Jx	Jy	ix	iy	Wx	Wy	Wplx	Wply
ENI0219 160x160x8	0	46.44	1741.23	1741.23	6.12	6.12	217.65	217.65	260.14	260.14

Verifiche di resistenza

Verifiche a forza assiale §4.2.4.1.2.1 - §4.2.4.1.2.2 NTC18

X	Comb.	Sfruttamento	Classe	NEd	Nc,Rd	Nt,Rd	Riduzione da taglio	px	py	Verifica
557.7	SLV 13	0.346	1	-42057.7	121635.1		1	0	0	Si

Verifiche a forza assiale SLD §4.2.4.1.2.1 - §4.2.4.1.2.2 NTC18

X	Comb.	Sfruttamento	Classe	NEd	Nc,Rd	Nt,Rd	Riduzione da taglio	px	py	Verifica
557.7	SLD 14	0.163	1	-19866.4	121635.1		1	0	0	Si

Verifica a taglio Y §4.2.4.1.2.4 NTC18

X	Comb.	Sfruttamento	VEd	Vc,Rd	Av	Interazione taglio-torsione	Riduzione torsione	Verifica
0	SLU 20	0.002	69.3	35113	23.22	Considerata	1	Si

Verifica a taglio Y SLD §4.2.4.1.2.4 NTC18

X	Comb.	Sfruttamento	VEd	Vc,Rd	Av	Interazione taglio-torsione	Riduzione torsione	Verifica
0	SLD 1	0.002	53.3	35113	23.22	Considerata	1	Si

Verifica a torsione §4.2.4.1.2.5 NTC18

X	Comb.	Sfruttamento torsione	TEd	TRd	Riduzione taglio resistente	Sfruttamento taglio-torsione	τEd,totale	τRd	Verifica
557.7	SLV 16	0.001	738.1	553655.2	Considerata				Si

Verifica a presso/tenso flessione retta X §§ 4.2.4.1.2.3 - 4.2.4.1.2.6 - 4.2.4.1.2.7 - 4.2.4.1.2.8 NTC18

Verifiche eseguite utilizzando la formula conservativa (6.2) §6.2.1 EN 1993-1-1:2005.

X	Comb.	Sfruttamento	Classe	NEd	NRd	Rid. NRd da VEd	Mx,Ed	Mx,Rd	Rid. Mx,Rd da VEd	Rid. Mx,Rd da NEd	px	py	Verifica
278.8	SLV 14	0.356	1	-41971.1	121635.1	1	-7427	681313	1		0	0	Si

Verifica a presso/tenso flessione retta X SLD §§ 4.2.4.1.2.3 - 4.2.4.1.2.6 - 4.2.4.1.2.7 - 4.2.4.1.2.8 NTC18

Verifiche eseguite utilizzando la formula conservativa (6.2) §6.2.1 EN 1993-1-1:2005.

X	Comb.	Sfruttamento	Classe	NEd	NRd	Rid. NRd da VEd	Mx,Ed	Mx,Rd	Rid. Mx,Rd da VEd	Rid. Mx,Rd da NEd	px	py	Verifica
278.8	SLD 13	0.174	1	-19779.8	121635.1	1	-7427	681313	1		0	0	Si

Verifiche ad instabilità

Caratteristiche iniziali

Membratura principale per controllo snellezza; Calcolo di snellezze ed N critici condotti secondo gli assi principali;  
Curva X: c; Curva Y: c; Svergolamento: Carico all'estradosso; Curva svergolamento: d;

Dati per instabilità attorno a x

Numero rit.	Presente	Ascissa	Campata	βx/m	Vincolo a entrambi estremi	λx/m	λVer
1	Si	0					
			1-2	0.7	Si	63.8	Si, (<200)
2	Si	557.7					

Dati per instabilità attorno a y

Numero rit.	Presente	Ascissa	Campata	βy/n	k,LT	kw,LT	Vincolo a entrambi estremi	λy/n	λVer
1	Si	0							
			1-2	0.7	1	1	Si	63.8	Si, (<200)
2	Si	557.7							

Verifica a svergolamento con trazione SLD §4.2.4.1.3.2 NTC18 - §5.5.3 ENV 1993-1-1:1994

X	Comb.	Sfruttamento	Classe	Obblig.	NEd	Mx,Ed	Mx,Eff,Ed	Mb,Rd,x	χ,LT	λ adim. LT	L,LT	M,critico	Verifica
278.8	SLD 12	0.009	1	Si	428	-7427.3	-6023.3	681312.6	1	0.198	557.7	18174890.5	Si

Verifica di stabilità per pressoflessione §C.4.2.4.1.3.3.2 NTC18

X	Comb.	Sfruttamento	Classe	NEd	NRk	Mx,Ed max	Mx,Rk	My,Ed max	My,Rk	χ,x	χ,y	kxx	kxy	kyy	kyy	χ,LT	Verifica
557.7	SLV 14	0.505	1	-42057.7	127716.8	7427.3	715378.2	0	715378.2	0.703	0.703	1.2	0.72	0.948	1.2	1	Si

Verifica di stabilità per pressoflessione SLD §C.4.2.4.1.3.3.2 NTC18

X	Comb.	Sfruttamento	Classe	NEd	NRk	Mx,Ed max	Mx,Rk	My,Ed max	My,Rk	χ,x	χ,y	kxx	kxy	kyy	kyy	χ,LT	Verifica
557.7	SLD 13	0.244	1	-19866.4	127716.8	7427.3	715378.2	0	715378.2	0.703	0.703	1.068	0.641	0.976	1.068	1	Si

Verifica di stabilità a taglio anima Y §4.2.4.1.2.4 [4.2.27] NTC18

η	hw	tw	hw/tw max	Verifica
1.2	14.4	0.8	55.46	Si

Verifica di stabilità a taglio anima Y SLD §4.2.4.1.2.4 [4.2.27] NTC18

η	hw	tw	hw/tw max	Verifica
1.2	14.4	0.8	55.46	Si

Verifiche a deformabilità

Mensola X: No; Mensola Y: No.

Frecce lungo X

Ascissa freccia	Combinazione	Freccia	Luce	L/f	L/f,min	Tipo	Verifica
278.8	SLE RA 1	0	557.7	10000	250	Totale	Si
278.8	SLE RA 2	0	557.7	10000	250	Totale	Si
278.8	SLE RA 3	0	557.7	10000	250	Totale	Si
278.8	SLE RA 4	0	557.7	10000	250	Totale	Si
278.8	SLE RA 5	0	557.7	10000	250	Totale	Si
148.7	SLE RA 2	0	557.7	10000	350	Variabile	Si
148.7	SLE RA 3	0	557.7	10000	350	Variabile	Si
18.6	SLE RA 4	0	557.7	10000	350	Variabile	Si
148.7	SLE RA 5	0	557.7	10000	350	Variabile	Si

Frecce lungo Y

Ascissa freccia	Combinazione	Freccia	Luce	L/f	L/f,min	Tipo	Verifica
278.8	SLE RA 1	-0.066	557.7	8443.5	250	Totale	Si
278.8	SLE RA 2	-0.066	557.7	8443.5	250	Totale	Si
278.8	SLE RA 3	-0.066	557.7	8443.5	250	Totale	Si
278.8	SLE RA 4	-0.066	557.7	8443.5	250	Totale	Si
278.8	SLE RA 5	-0.066	557.7	8443.5	250	Totale	Si
390.4	SLE RA 2	0	557.7	10000	350	Variabile	Si
92.9	SLE RA 3	0	557.7	10000	350	Variabile	Si
92.9	SLE RA 4	0	557.7	10000	350	Variabile	Si
92.9	SLE RA 5	0	557.7	10000	350	Variabile	Si

**Superelemento in acciaio composto dall'asta 61****Caratteristiche del materiale**

Acciaio: S275, fyk = 2750

**Caratteristiche geometriche**

Lunghezza: 557.7

Nodo iniziale: 40 Nodo finale: 354

Cerniera iniziale: Svincolo: M2, M3 Cerniera finale: Svincolo: M2, M3

Sovreresistenza: 0% Sisma Z: No

**Caratteristiche della sezione**

Sezione	Rotazione	Area	Jx	Jy	ix	iy	Wx	Wy	Wplx	Wply
ENI0219 160x160x8	0	46.44	1741.23	1741.23	6.12	6.12	217.65	217.65	260.14	260.14

**Verifiche di resistenza****Verifiche a forza assiale §4.2.4.1.2.1 - §4.2.4.1.2.2 NTC18**

X	Comb.	Sfruttamento	Classe	NEd	Nc,Rd	Nt,Rd	Riduzione da taglio	px	py	Verifica
0	SLV 2	0.379	1	-46156.3	121635.1		1	0	0	Si

**Verifiche a forza assiale SLD §4.2.4.1.2.1 - §4.2.4.1.2.2 NTC18**

X	Comb.	Sfruttamento	Classe	NEd	Nc,Rd	Nt,Rd	Riduzione da taglio	px	py	Verifica
0	SLD 1	0.177	1	-21564.8	121635.1		1	0	0	Si

**Verifica a taglio Y §4.2.4.1.2.4 NTC18**

X	Comb.	Sfruttamento	VEd	Vc,Rd	Av	Interazione taglio-torsione	Riduzione torsione	Verifica
557.7	SLU 17	0.002	-69.3	35113	23.22	Considerata	1	Si

**Verifica a taglio Y SLD §4.2.4.1.2.4 NTC18**

X	Comb.	Sfruttamento	VEd	Vc,Rd	Av	Interazione taglio-torsione	Riduzione torsione	Verifica
0	SLD 1	0.002	53.3	35113	23.22	Considerata	1	Si

**Verifica a torsione §4.2.4.1.2.5 NTC18**

X	Comb.	Sfruttamento torsione	TEd	TRd	Riduzione taglio resistente	Sfruttamento taglio-torsione	rEd,totale	rRd	Verifica
557.7	SLV 16	0.001	737.9	553655.2	Considerata				Si

**Verifica a presso/tenso flessione retta X §§ 4.2.4.1.2.3 - 4.2.4.1.2.6 - 4.2.4.1.2.7 - 4.2.4.1.2.8 NTC18**

Verifiche eseguite utilizzando la formula conservativa (6.2) §6.2.1 EN 1993-1-1:2005.

X	Comb.	Sfruttamento	Classe	NEd	NRd	Rid. NRd da VEd	Mx,Ed	Mx,Rd	Rid. Mx,Rd da VEd	Rid. Mx,Rd da NEd	px	py	Verifica
278.9	SLV 2	0.39	1	-46069.8	121635.1	1	-7427	681313	1		0	0	Si

**Verifica a presso/tenso flessione retta X SLD §§ 4.2.4.1.2.3 - 4.2.4.1.2.6 - 4.2.4.1.2.7 - 4.2.4.1.2.8 NTC18**

Verifiche eseguite utilizzando la formula conservativa (6.2) §6.2.1 EN 1993-1-1:2005.

X	Comb.	Sfruttamento	Classe	NEd	NRd	Rid. NRd da VEd	Mx,Ed	Mx,Rd	Rid. Mx,Rd da VEd	Rid. Mx,Rd da NEd	px	py	Verifica
278.9	SLD 2	0.187	1	-21478.2	121635.1	1	-7427	681313	1		0	0	Si

**Verifiche ad instabilità****Caratteristiche iniziali**

Membratura principale per controllo snellezza; Calcolo di snellezza ed N critici condotti secondo gli assi principali;

Curva X: c; Curva Y: c; Svergolamento: Carico all'estradosso; Curva svergolamento: d;

**Dati per instabilità attorno a x**

Numero rit.	Presente	Ascissa	Campata	βx/m	Vincolo a entrambi estremi	λx/m	λVer
1	Si	0					
			1-2	0.7	Si	63.8	Si, (<200)
2	Si	557.7					

**Dati per instabilità attorno a y**

Numero rit.	Presente	Ascissa	Campata	βy/n	k <sub>y</sub> LT	k <sub>w</sub> LT	Vincolo a entrambi estremi	λy/n	λVer
1	Si	0							
			1-2	0.7	1	1	Si	63.8	Si, (<200)
2	Si	557.7							

**Verifica a svergolamento con trazione SLD §4.2.4.1.3.2 NTC18 - §5.5.3 ENV 1993-1-1:1994**

X	Comb.	Sfruttamento	Classe	Obblig.	NEd	Mx,Ed	Mx,Ed,Ed	Mb,Rd,x	χ <sub>y</sub> LT	λ adim. LT	L <sub>LT</sub>	M <sub>critico</sub>	Verifica
278.9	SLD 8	0.01	1	Si	240.6	-7427.3	-6638.1	681312.6	1	0.198	557.7	18174662.8	Si

**Verifica di stabilità per pressoflessione §C.4.2.4.1.3.3.2 NTC18**

X	Comb.	Sfruttamento	Classe	NEd	NRk	Mx,Ed max	Mx,Rk	My,Ed max	My,Rk	χ <sub>x</sub>	χ <sub>y</sub>	k <sub>xx</sub>	k <sub>xy</sub>	k <sub>yx</sub>	k <sub>yy</sub>	χ <sub>x</sub> LT	Verifica
0	SLV 2	0.553	1	-46156.3	127716.8	7427.3	715378.2	0	715378.2	0.703	0.703	1.224	0.464	0.943	0.773	1	Si

**Verifica di stabilità per pressoflessione SLD §C.4.2.4.1.3.3.2 NTC18**

X	Comb.	Sfruttamento	Classe	NEd	NRk	Mx,Ed max	Mx,Rk	My,Ed max	My,Rk	χ <sub>x</sub>	χ <sub>y</sub>	k <sub>xx</sub>	k <sub>xy</sub>	k <sub>yx</sub>	k <sub>yy</sub>	χ <sub>x</sub> LT	Verifica
0	SLD 1	0.264	1	-21564.8	127716.8	7427.3	715378.2	0	715378.2	0.703	0.703	1.078	0.408	0.974	0.681	1	Si

**Verifica di stabilità a taglio anima Y §4.2.4.1.2.4 [4.2.27] NTC18**

η	hw	tw	hw/tw max	Verifica
1.2	14.4	0.8	55.46	Si

**Verifica di stabilità a taglio anima Y SLD §4.2.4.1.2.4 [4.2.27] NTC18**

η	hw	tw	hw/tw max	Verifica
1.2	14.4	0.8	55.46	Si

Verifiche a deformabilità

Mensola X: No; Mensola Y: No.

Frecce lungo X

Ascissa freccia	Combinazione	Freccia	Luce	L/f	L/f,min	Tipo	Verifica
427.6	SLE RA 1	0	557.7	10000	250	Totale	Si
539.1	SLE RA 2	0	557.7	10000	250	Totale	Si
539.1	SLE RA 3	0	557.7	10000	250	Totale	Si
427.6	SLE RA 4	0	557.7	10000	250	Totale	Si
539.1	SLE RA 5	0	557.7	10000	250	Totale	Si
539.1	SLE RA 2	0	557.7	10000	350	Variabile	Si
539.1	SLE RA 3	0	557.7	10000	350	Variabile	Si
501.9	SLE RA 4	0	557.7	10000	350	Variabile	Si
539.1	SLE RA 5	0	557.7	10000	350	Variabile	Si

Frecce lungo Y

Ascissa freccia	Combinazione	Freccia	Luce	L/f	L/f,min	Tipo	Verifica
278.8	SLE RA 1	-0.066	557.7	8443.6	250	Totale	Si
278.8	SLE RA 2	-0.066	557.7	8443.6	250	Totale	Si
278.8	SLE RA 3	-0.066	557.7	8443.6	250	Totale	Si
278.8	SLE RA 4	-0.066	557.7	8443.6	250	Totale	Si
278.8	SLE RA 5	-0.066	557.7	8443.6	250	Totale	Si
539.1	SLE RA 2	0	557.7	10000	350	Variabile	Si
446.2	SLE RA 3	0	557.7	10000	350	Variabile	Si
446.2	SLE RA 4	0	557.7	10000	350	Variabile	Si
446.2	SLE RA 5	0	557.7	10000	350	Variabile	Si

Superelemento in acciaio composto dall'asta 62

Caratteristiche del materiale

Acciaio: S275, fyk = 2750

Caratteristiche geometriche

Lunghezza: 575.3

Nodo iniziale: 354 Nodo finale: 48

Cerniera iniziale: Svincolo: M2, M3 Cerniera finale: Svincolo: M2, M3

Sovreresistenza: 0% Sisma Z: No

Caratteristiche della sezione

Sezione	Rotazione	Area	Jx	Jy	ix	iy	Wx	Wy	Wplx	Wply
EN10219 160x160x8	0	46.44	1741.23	1741.23	6.12	6.12	217.65	217.65	260.14	260.14

Verifiche di resistenza

Verifiche a forza assiale §4.2.4.1.2.1 - §4.2.4.1.2.2 NTC18

X	Comb.	Sfruttamento	Classe	NEd	Nc,Rd	Nt,Rd	Riduzione da taglio	px	py	Verifica
575.3	SLV 11	0.478	1	-58192.3	121635.1		1	0	0	Si

Verifiche a forza assiale SLD §4.2.4.1.2.1 - §4.2.4.1.2.2 NTC18

X	Comb.	Sfruttamento	Classe	NEd	Nc,Rd	Nt,Rd	Riduzione da taglio	px	py	Verifica
575.3	SLD 12	0.214	1	-26059.3	121635.1		1	0	0	Si

Verifica a taglio Y §4.2.4.1.2.4 NTC18

X	Comb.	Sfruttamento	VEd	Vc,Rd	Av	Interazione taglio-torsione	Riduzione torsione	Verifica
0	SLU 20	0.002	76.9	35113	23.22	Considerata	1	Si

Verifica a taglio Y SLD §4.2.4.1.2.4 NTC18

X	Comb.	Sfruttamento	VEd	Vc,Rd	Av	Interazione taglio-torsione	Riduzione torsione	Verifica
575.3	SLD 16	0.002	-59.2	35088.4	23.22	Considerata	1	Si

Verifica a torsione §4.2.4.1.2.5 NTC18

X	Comb.	Sfruttamento torsione	TEd	TRd	Riduzione taglio resistente	Sfruttamento taglio-torsione	rEd,totale	rRd	Verifica
575.3	SLV 16	0.002	884.2	553655.2	Considerata				Si

Verifica a torsione SLD §4.2.4.1.2.5 NTC18

X	Comb.	Sfruttamento torsione	TEd	TRd	Riduzione taglio resistente	Sfruttamento taglio-torsione	rEd,totale	rRd	Verifica
0	SLD 15	0.001	387.7	553655.2	Considerata				Si

Verifica a presso/tenso flessione retta X §§ 4.2.4.1.2.3 - 4.2.4.1.2.6 - 4.2.4.1.2.7 - 4.2.4.1.2.8 NTC18

Verifiche eseguite utilizzando la formula conservativa (6.2) §6.2.1 EN 1993-1-1:2005.

X	Comb.	Sfruttamento	Classe	NEd	NRd	Rid. NRd da VEd	Mx,Ed	Mx,Rd	Rid. Mx,Rd da VEd	Rid. Mx,Rd da NEd	px	py	Verifica
287.6	SLV 11	0.49	1	-58105.7	121635.1	1	-8507	681313	1		0	0	Si

Verifica a presso/tenso flessione retta X SLD §§ 4.2.4.1.2.3 - 4.2.4.1.2.6 - 4.2.4.1.2.7 - 4.2.4.1.2.8 NTC18

Verifiche eseguite utilizzando la formula conservativa (6.2) §6.2.1 EN 1993-1-1:2005.

X	Comb.	Sfruttamento	Classe	NEd	NRd	Rid. NRd da VEd	Mx,Ed	Mx,Rd	Rid. Mx,Rd da VEd	Rid. Mx,Rd da NEd	px	py	Verifica
287.6	SLD 12	0.226	1	-25972.8	121635.1	1	-8507	681313	1		0	0	Si

Verifiche ad instabilità

Caratteristiche iniziali

Membratura principale per controllo snellezza; Calcolo di snellezze ed N critici condotti secondo gli assi principali;

Curva X: c; Curva Y: c; Svergolamento: Carico all'estradosso; Curva svergolamento: d;

Dati per instabilità attorno a x

Numero rit.	Presente	Ascissa	Campata	βx/m	Vincolo a entrambi estremi	λx/m	λVer
1	Si	0					

Numero rit.	Presente	Ascissa	Campata	βx/m	Vincolo a entrambi estremi	λx/m	λVer
2	Si	575.3	1-2	0.7	Si	65.8	Si, (<200)

Dati per instabilità attorno a y

Numero rit.	Presente	Ascissa	Campata	βy/n	k,LT	kw,LT	Vincolo a entrambi estremi	λy/n	λVer
1	Si	0							
			1-2	0.7	1	1	Si	65.8	Si, (<200)
2	Si	575.3							

Verifica a svergolamento con trazione SLD §4.2.4.1.3.2 NTC18 - §5.5.3 ENV 1993-1-1:1994

X	Comb.	Sfruttamento	Classe	Obblig.	NEd	Mx,Ed	Mx,Eff,Ed	Mb,Rd,x	χ,LT	λ adim. LT	L,LT	M,critico	Verifica
287.6	SLD 4	0.002	1	Si	2270.8	-8507	-1057.4	680549.4	0.999	0.201	575.3	17633919.3	Si

Verifica di stabilità per pressoflessione §C.4.2.4.1.3.3.2 NTC18

X	Comb.	Sfruttamento	Classe	NEd	NRk	Mx,Ed max	Mx,Rk	My,Ed max	My,Rk	χ,x	χ,y	kxx	kxy	kyy	kyy	χ,LT	Verifica
575.3	SLV 11	0.711	1	-	127716.8	8507	715378.2	0.4	715378.2	0.689	0.689	1.318	0.791	0.925	1.318	0.999	Si

Verifica di stabilità per pressoflessione SLD §C.4.2.4.1.3.3.2 NTC18

X	Comb.	Sfruttamento	Classe	NEd	NRk	Mx,Ed max	Mx,Rk	My,Ed max	My,Rk	χ,x	χ,y	kxx	kxy	kyy	kyy	χ,LT	Verifica
575.3	SLD 12	0.325	1	-	127716.8	8507	715378.2	0.4	715378.2	0.689	0.689	1.115	0.669	0.966	1.115	0.999	Si

Verifica di stabilità a taglio anima Y §4.2.4.1.2.4 [4.2.27] NTC18

η	hw	tw	hw/tw max	Verifica
1.2	14.4	0.8	55.46	Si

Verifica di stabilità a taglio anima Y SLD §4.2.4.1.2.4 [4.2.27] NTC18

η	hw	tw	hw/tw max	Verifica
1.2	14.4	0.8	55.46	Si

Verifiche a deformabilità

Mensola X: No; Mensola Y: No.

Frecce lungo X

Ascissa freccia	Combinazione	Freccia	Luce	L/f	L/f,min	Tipo	Verifica
287.6	SLE RA 1	0	575.3	10000	250	Totale	Si
287.6	SLE RA 2	0	575.3	10000	250	Totale	Si
287.6	SLE RA 3	0	575.3	10000	250	Totale	Si
287.6	SLE RA 4	0	575.3	10000	250	Totale	Si
287.6	SLE RA 5	0	575.3	10000	250	Totale	Si
19.2	SLE RA 2	0	575.3	10000	350	Variabile	Si
76.7	SLE RA 3	0	575.3	10000	350	Variabile	Si
38.4	SLE RA 4	0	575.3	10000	350	Variabile	Si
38.4	SLE RA 5	0	575.3	10000	350	Variabile	Si

Frecce lungo Y

Ascissa freccia	Combinazione	Freccia	Luce	L/f	L/f,min	Tipo	Verifica
287.6	SLE RA 1	-0.08	575.3	7149.2	250	Totale	Si
287.6	SLE RA 2	-0.08	575.3	7149.2	250	Totale	Si
287.6	SLE RA 3	-0.08	575.3	7149.2	250	Totale	Si
287.6	SLE RA 4	-0.08	575.3	7149.2	250	Totale	Si
287.6	SLE RA 5	-0.08	575.3	7149.2	250	Totale	Si
38.4	SLE RA 2	0	575.3	10000	350	Variabile	Si
38.4	SLE RA 3	0	575.3	10000	350	Variabile	Si
153.4	SLE RA 4	0	575.3	10000	350	Variabile	Si
38.4	SLE RA 5	0	575.3	10000	350	Variabile	Si

Superelemento in acciaio composto dall'asta 63

Caratteristiche del materiale

Acciaio: S275, fyk = 2750

Caratteristiche geometriche

Lunghezza: 530  
Nodo iniziale: 401  
Nodo finale: 58  
Cerniera iniziale: Svincolo: M2, M3  
Cerniera finale: Svincolo: M2, M3  
Sovreresistenza: 0%  
Sisma Z: No

Caratteristiche della sezione

Sezione	Rotazione	Area	Jx	Jy	ix	iy	Wx	Wy	Wplx	Wply
EN10219 160x160x8	0	46.44	1741.23	1741.23	6.12	6.12	217.65	217.65	260.14	260.14

Verifiche di resistenza

Verifiche a forza assiale §4.2.4.1.2.1 - §4.2.4.1.2.2 NTC18

X	Comb.	Sfruttamento	Classe	NEd	Nc,Rd	Nt,Rd	Riduzione da taglio	px	py	Verifica
530	SLV 7	0.293	1	-35619.4	121635.1		1	0	0	Si

Verifiche a forza assiale SLD §4.2.4.1.2.1 - §4.2.4.1.2.2 NTC18

X	Comb.	Sfruttamento	Classe	NEd	Nc,Rd	Nt,Rd	Riduzione da taglio	px	py	Verifica
530	SLD 8	0.128	1	-15510.4	121635.1		1	0	0	Si

Verifica a taglio Y §4.2.4.1.2.4 NTC18

X	Comb.	Sfruttamento	VEd	Vc,Rd	Av	Interazione taglio-torsione	Riduzione torsione	Verifica
0	SLU 14	0.002	55.7	35113	23.22	Considerata	1	Si

Verifica a taglio Y SLD §4.2.4.1.2.4 NTC18

X	Comb.	Sfruttamento	VEd	Vc,Rd	Av	Interazione taglio-torsione	Riduzione torsione	Verifica
530	SLD 14	0.001	-42.8	35084.4	23.22	Considerata	1	Si

Verifica a torsione §4.2.4.1.2.5 NTC18

X	Comb.	Sfruttamento torsione	TEd	TRd	Riduzione taglio resistente	Sfruttamento taglio-torsione	τEd,totale	τRd	Verifica
530	SLV 13	0.002	-884.5	553655.2	Considerata				Si

Verifica a torsione SLD §4.2.4.1.2.5 NTC18

X	Comb.	Sfruttamento torsione	TEd	TRd	Riduzione taglio resistente	Sfruttamento taglio-torsione	τEd,totale	τRd	Verifica
530	SLD 14	0.001	-451.2	553655.2	Considerata				Si

Verifica a presso/flessione retta X §§ 4.2.4.1.2.3 - 4.2.4.1.2.6 - 4.2.4.1.2.7 - 4.2.4.1.2.8 NTC18

Verifiche eseguite utilizzando la formula conservativa (6.2) §6.2.1 EN 1993-1-1:2005.

X	Comb.	Sfruttamento	Classe	NEd	NRd	Rid. NRd da VEd	Mx,Ed	Mx,Rd	Rid. Mx,Rd da VEd	Rid. Mx,Rd da NEd	px	py	Verifica
282.6	SLV 8	0.3	1	-35538.6	121635.1	1	-5650	681313	1		0	0	Si

Verifica a presso/tenso flessione retta X SLD §§ 4.2.4.1.2.3 - 4.2.4.1.2.6 - 4.2.4.1.2.7 - 4.2.4.1.2.8 NTC18

Verifiche eseguite utilizzando la formula conservativa (6.2) §6.2.1 EN 1993-1-1:2005.

X	Comb.	Sfruttamento	Classe	NEd	NRd	Rid. NRd da VEd	Mx,Ed	Mx,Rd	Rid. Mx,Rd da VEd	Rid. Mx,Rd da NEd	px	py	Verifica
282.6	SLD 7	0.135	1	-15429.6	121635.1	1	-5650	681313	1		0	0	Si

Verifiche ad instabilità

Caratteristiche iniziali

Membratura principale per controllo snellezza; Calcolo di snellezze ed N critici condotti secondo gli assi principali;

Curva X: c; Curva Y: c; Svergolamento: Carico all'estradosso; Curva svergolamento: d;

Dati per instabilità attorno a x

Numero rit.	Presente	Ascissa	Campata	βx/m	Vincolo a entrambi estremi	λx/m	λVer
1	Si	0					
			1-2	0.7	Si	60.6	Si, (<200)
2	Si	530					

Dati per instabilità attorno a y

Numero rit.	Presente	Ascissa	Campata	βy/n	k,LT	kw,LT	Vincolo a entrambi estremi	λy/n	λVer
1	Si	0							
			1-2	0.7	1	1	Si	60.6	Si, (<200)
2	Si	530							

Verifica di stabilità per pressoflessione §C.4.2.4.1.3.3.2 NTC18

X	Comb.	Sfruttamento	Classe	NEd	NRk	Mx,Ed max	Mx,Rk	My,Ed max	My,Rk	χ,x	χ,y	kxx	kxy	kyy	χ,LT	Verifica	
530	SLV 8	0.413	1	-35619.4	127716.8	5675.4	715378.2	0	715378.2	0.726	0.726	1.141	0.432	0.96	0.72	1	Si

Verifica di stabilità per pressoflessione SLD §C.4.2.4.1.3.3.2 NTC18

X	Comb.	Sfruttamento	Classe	NEd	NRk	Mx,Ed max	Mx,Rk	My,Ed max	My,Rk	χ,x	χ,y	kxx	kxy	kyy	χ,LT	Verifica	
530	SLD 7	0.184	1	- 15510.4	127716.8	5675.4	715378.2	0	715378.2	0.726	0.726	1.033	0.391	0.982	0.652	1	Si

Verifica di stabilità a taglio anima Y §4.2.4.1.2.4 [4.2.27] NTC18

η	hw	tw	hw/tw max	Verifica
1.2	14.4	0.8	55.46	Si

Verifica di stabilità a taglio anima Y SLD §4.2.4.1.2.4 [4.2.27] NTC18

η	hw	tw	hw/tw max	Verifica
1.2	14.4	0.8	55.46	Si

Verifiche a deformabilità

Mensola X: No; Mensola Y: No.

Frecce lungo X

Ascissa freccia	Combinazione	Freccia	Luce	L/f	L/f,min	Tipo	Verifica
17.7	SLE RA 1	0	530	10000	250	Totale	Si
17.7	SLE RA 2	0	530	10000	250	Totale	Si
17.7	SLE RA 3	0	530	10000	250	Totale	Si
17.7	SLE RA 4	0	530	10000	250	Totale	Si
17.7	SLE RA 5	0	530	10000	250	Totale	Si
53	SLE RA 2	0	530	10000	350	Variabile	Si
17.7	SLE RA 3	0	530	10000	350	Variabile	Si
17.7	SLE RA 4	0	530	10000	350	Variabile	Si
17.7	SLE RA 5	0	530	10000	350	Variabile	Si

Frecce lungo Y

Ascissa freccia	Combinazione	Freccia	Luce	L/f	L/f,min	Tipo	Verifica
265	SLE RA 1	-0.046	530	10000	250	Totale	Si
265	SLE RA 2	-0.046	530	10000	250	Totale	Si
265	SLE RA 3	-0.046	530	10000	250	Totale	Si
265	SLE RA 4	-0.046	530	10000	250	Totale	Si
265	SLE RA 5	-0.046	530	10000	250	Totale	Si
70.7	SLE RA 2	0	530	10000	350	Variabile	Si
53	SLE RA 3	0	530	10000	350	Variabile	Si
53	SLE RA 4	0	530	10000	350	Variabile	Si
53	SLE RA 5	0	530	10000	350	Variabile	Si

Superelemento in acciaio composto dall'asta 64

Caratteristiche del materiale

Acciaio: S275, fyk = 2750

**Caratteristiche geometriche**

Lunghezza: 530

Nodo iniziale: 399 Nodo finale: 57

Cerniera iniziale: Svincolo: M2, M3 Cerniera finale: Svincolo: M2, M3

Sovraresistenza: 0% Sisma Z: No

**Caratteristiche della sezione**

Sezione	Rotazione	Area	Jx	Jy	ix	iy	Wx	Wy	Wplx	Wply
ENI0219 160x160x8	0	46.44	1741.23	1741.23	6.12	6.12	217.65	217.65	260.14	260.14

**Verifiche di resistenza****Verifiche a forza assiale §4.2.4.1.2.1 - §4.2.4.1.2.2 NTC18**

X	Comb.	Sfruttamento	Classe	NEd	Nc,Rd	Nt,Rd	Riduzione da taglio	px	py	Verifica
530	SLV 11	0.396	1	-48126.2	121635.1		1	0	0	Si

**Verifiche a forza assiale SLD §4.2.4.1.2.1 - §4.2.4.1.2.2 NTC18**

X	Comb.	Sfruttamento	Classe	NEd	Nc,Rd	Nt,Rd	Riduzione da taglio	px	py	Verifica
530	SLD 11	0.173	1	-21083.6	121635.1		1	0	0	Si

**Verifica a taglio Y §4.2.4.1.2.4 NTC18**

X	Comb.	Sfruttamento	VEd	Vc,Rd	Av	Interazione taglio-torsione	Riduzione torsione	Verifica
0	SLU 11	0.002	55.7	35072.6	23.22	Considerata	1	Si

**Verifica a taglio Y SLD §4.2.4.1.2.4 NTC18**

X	Comb.	Sfruttamento	VEd	Vc,Rd	Av	Interazione taglio-torsione	Riduzione torsione	Verifica
530	SLD 4	0.001	-42.8	35028.5	23.22	Considerata	1	Si

**Verifica a torsione §4.2.4.1.2.5 NTC18**

X	Comb.	Sfruttamento torsione	TEd	TRd	Riduzione taglio resistente	Sfruttamento taglio-torsione	rEd,totale	rRd	Verifica
0	SLV 4	0.005	2555.2	553655.2	Considerata				Si

**Verifica a torsione SLD §4.2.4.1.2.5 NTC18**

X	Comb.	Sfruttamento torsione	TEd	TRd	Riduzione taglio resistente	Sfruttamento taglio-torsione	rEd,totale	rRd	Verifica
530	SLD 4	0.002	1332.8	553655.2	Considerata				Si

**Verifica a presso/tenso flessione retta X §§ 4.2.4.1.2.3 - 4.2.4.1.2.6 - 4.2.4.1.2.7 - 4.2.4.1.2.8 NTC18**

Verifiche eseguite utilizzando la formula conservativa (6.2) §6.2.1 EN 1993-1-1:2005.

X	Comb.	Sfruttamento	Classe	NEd	NRd	Rid. NRd da VEd	Mx,Ed	Mx,Rd	Rid. Mx,Rd da VEd	Rid. Mx,Rd da NEd	px	py	Verifica
282.6	SLV 12	0.403	1	-48045.4	121635.1	1	-5650	681313	1		0	0	Si

**Verifica a presso/tenso flessione retta X SLD §§ 4.2.4.1.2.3 - 4.2.4.1.2.6 - 4.2.4.1.2.7 - 4.2.4.1.2.8 NTC18**

Verifiche eseguite utilizzando la formula conservativa (6.2) §6.2.1 EN 1993-1-1:2005.

X	Comb.	Sfruttamento	Classe	NEd	NRd	Rid. NRd da VEd	Mx,Ed	Mx,Rd	Rid. Mx,Rd da VEd	Rid. Mx,Rd da NEd	px	py	Verifica
282.6	SLD 12	0.181	1	-21002.7	121635.1	1	-5650	681313	1		0	0	Si

**Verifiche ad instabilità****Caratteristiche iniziali**

Membratura principale per controllo snellezza; Calcolo di snellezze ed N critici condotti secondo gli assi principali;

Curva X: c; Curva Y: c; Svergolamento: Carico all'estradosso; Curva svergolamento: d;

**Dati per instabilità attorno a x**

Numero rit.	Presente	Ascissa	Campata	βx/m	Vincolo a entrambi estremi	λx/m	λVer
1	Si	0					
2	Si	530	1-2	0.7	Si	60.6	Si, (<200)

**Dati per instabilità attorno a y**

Numero rit.	Presente	Ascissa	Campata	βy/n	k,LT	kw,LT	Vincolo a entrambi estremi	λy/n	λVer
1	Si	0							
2	Si	530	1-2	0.7	1	1	Si	60.6	Si, (<200)

**Verifica di stabilità per pressoflessione §C.4.2.4.1.3.3.2 NTC18**

X	Comb.	Sfruttamento	Classe	NEd	NRk	Mx,Ed max	Mx,Rk	My,Ed max	My,Rk	χ <sub>x</sub>	χ <sub>y</sub>	k <sub>xx</sub>	k <sub>xy</sub>	k <sub>yy</sub>	χ <sub>x,LT</sub>	Verifica	
530	SLV 11	0.555	1	-48126.2	127716.8	5675.4	715378.2	0	715378.2	0.726	0.726	1.208	0.458	0.946	0.763	1	Si

**Verifica di stabilità per pressoflessione SLD §C.4.2.4.1.3.3.2 NTC18**

X	Comb.	Sfruttamento	Classe	NEd	NRk	Mx,Ed max	Mx,Rk	My,Ed max	My,Rk	χ <sub>x</sub>	χ <sub>y</sub>	k <sub>xx</sub>	k <sub>xy</sub>	k <sub>yy</sub>	χ <sub>x,LT</sub>	Verifica	
530	SLD 12	0.248	1	-21083.6	127716.8	5675.4	715378.2	0	715378.2	0.726	0.726	1.063	0.403	0.976	0.671	1	Si

**Verifica di stabilità a taglio anima Y §4.2.4.1.2.4 [4.2.27] NTC18**

η	hw	tw	hw/tw max	Verifica
1.2	14.4	0.8	55.46	Si

**Verifica di stabilità a taglio anima Y SLD §4.2.4.1.2.4 [4.2.27] NTC18**

η	hw	tw	hw/tw max	Verifica
1.2	14.4	0.8	55.46	Si

**Verifiche a deformabilità**

Mensola X: No; Mensola Y: No.

**Frecce lungo X**

Ascissa freccia	Combinazione	Freccia	Luce	L/f	L/f,min	Tipo	Verifica
88.3	SLE RA 1	0	530	10000	250	Totale	Si
88.3	SLE RA 2	0	530	10000	250	Totale	Si

Ascissa freccia	Combinazione	Freccia	Luce	L/f	L/f,min	Tipo	Verifica
88.3	SLE RA 3	0	530	10000	250	Totale	Si
88.3	SLE RA 4	0	530	10000	250	Totale	Si
88.3	SLE RA 5	0	530	10000	250	Totale	Si
35.3	SLE RA 2	0	530	10000	350	Variabile	Si
70.7	SLE RA 3	0	530	10000	350	Variabile	Si
70.7	SLE RA 4	0	530	10000	350	Variabile	Si
70.7	SLE RA 5	0	530	10000	350	Variabile	Si

Frecce lungo Y

Ascissa freccia	Combinazione	Freccia	Luce	L/f	L/f,min	Tipo	Verifica
265	SLE RA 1	-0.046	530	10000	250	Totale	Si
265	SLE RA 2	-0.046	530	10000	250	Totale	Si
265	SLE RA 3	-0.046	530	10000	250	Totale	Si
265	SLE RA 4	-0.046	530	10000	250	Totale	Si
265	SLE RA 5	-0.046	530	10000	250	Totale	Si
35.3	SLE RA 2	0	530	10000	350	Variabile	Si
17.7	SLE RA 3	0	530	10000	350	Variabile	Si
106	SLE RA 4	0	530	10000	350	Variabile	Si
17.7	SLE RA 5	0	530	10000	350	Variabile	Si

Superelemento in acciaio composto dall'asta 65

Caratteristiche del materiale

Acciaio: S275, fyk = 2750

Caratteristiche geometriche

Lunghezza: 530  
Nodo iniziale: 50 Nodo finale: 437  
Cerniera iniziale: Svincolo: M2, M3 Cerniera finale: Svincolo: M2, M3  
Sovreresistenza: 0% Sisma Z: No

Caratteristiche della sezione

Sezione	Rotazione	Area	Jx	Jy	ix	iy	Wx	Wy	Wplx	Wply
EN10219 160x160x8	0	46.44	1741.23	1741.23	6.12	6.12	217.65	217.65	260.14	260.14

Verifiche di resistenza

Verifiche a forza assiale §4.2.4.1.2.1 - §4.2.4.1.2.2 NTC18

X	Comb.	Sfruttamento	Classe	NEd	Nc,Rd	Nt,Rd	Riduzione da taglio	px	py	Verifica
0	SLV 10	0.314	1	-38191.3	121635.1		1	0	0	Si

Verifiche a forza assiale SLD §4.2.4.1.2.1 - §4.2.4.1.2.2 NTC18

X	Comb.	Sfruttamento	Classe	NEd	Nc,Rd	Nt,Rd	Riduzione da taglio	px	py	Verifica
0	SLD 10	0.145	1	-17664.5	121635.1		1	0	0	Si

Verifica a taglio Y §4.2.4.1.2.4 NTC18

X	Comb.	Sfruttamento	VEd	Vc,Rd	Av	Interazione taglio-torsione	Riduzione torsione	Verifica
0	SLU 12	0.002	55.7	35076.9	23.22	Considerata	1	Si

Verifica a taglio Y SLD §4.2.4.1.2.4 NTC18

X	Comb.	Sfruttamento	VEd	Vc,Rd	Av	Interazione taglio-torsione	Riduzione torsione	Verifica
0	SLD 4	0.001	42.8	35034.9	23.22	Considerata	1	Si

Verifica a torsione §4.2.4.1.2.5 NTC18

X	Comb.	Sfruttamento torsione	TEd	TRd	Riduzione taglio resistente	Sfruttamento taglio-torsione	τEd,totale	τRd	Verifica
512.3	SLV 3	0.004	-2384.6	553655.2	Considerata				Si

Verifica a torsione SLD §4.2.4.1.2.5 NTC18

X	Comb.	Sfruttamento torsione	TEd	TRd	Riduzione taglio resistente	Sfruttamento taglio-torsione	τEd,totale	τRd	Verifica
530	SLD 4	0.002	-1231	553655.2	Considerata				Si

Verifica a presso/tenso flessione retta X §§ 4.2.4.1.2.3 - 4.2.4.1.2.6 - 4.2.4.1.2.7 - 4.2.4.1.2.8 NTC18

Verifiche eseguite utilizzando la formula conservativa (6.2) §6.2.1 EN 1993-1-1:2005.

X	Comb.	Sfruttamento	Classe	NEd	NRd	Rid. NRd da VEd	Mx,Ed	Mx,Rd	Rid. Mx,Rd da VEd	Rid. Mx,Rd da NEd	px	py	Verifica
247.3	SLV 9	0.322	1	-38110.5	121635.1	1	-5650	681313	1		0	0	Si

Verifica a presso/tenso flessione retta X SLD §§ 4.2.4.1.2.3 - 4.2.4.1.2.6 - 4.2.4.1.2.7 - 4.2.4.1.2.8 NTC18

Verifiche eseguite utilizzando la formula conservativa (6.2) §6.2.1 EN 1993-1-1:2005.

X	Comb.	Sfruttamento	Classe	NEd	NRd	Rid. NRd da VEd	Mx,Ed	Mx,Rd	Rid. Mx,Rd da VEd	Rid. Mx,Rd da NEd	px	py	Verifica
247.3	SLD 10	0.153	1	-17583.7	121635.1	1	-5650	681313	1		0	0	Si

Verifiche ad instabilità

Caratteristiche iniziali

Membratura principale per controllo snellezza; Calcolo di snellezze ed N critici condotti secondo gli assi principali;  
Curva X: c; Curva Y: c; Svergolamento: Carico all'estradosso; Curva svergolamento: d;

Dati per instabilità attorno a x

Numero rit.	Presente	Ascissa	Campata	βx/m	Vincolo a entrambi estremi	λx/m	λVer
1	Si	0					
			1-2	0.7	Si	60.6	Si, (<200)
2	Si	530					

Dati per instabilità attorno a y

Numero rit.	Presente	Ascissa	Campata	βy/n	k,LT	kw,LT	Vincolo a entrambi estremi	λy/n	λVer
1	Si	0							



Numero rit.	Presente	Ascissa	Campata	$\beta y/n$	$k_{LT}$	$k_{w,LT}$	Vincolo a entrambi estremi	$\lambda y/n$	$\lambda Ver$
2	Si	530	1-2	0,7	1	1	Si	60,6	Si, (<200)

Verifica a svergolamento con trazione SLD §4.2.4.1.3.2 NTC18 - §5.5.3 ENV 1993-1-1:1994

X	Comb.	Sfruttamento	Classe	Obblig.	NEd	Mx,Ed	Mx,Eff,Ed	Mb,Rd,x	$\chi_{LT}$	$\lambda$ adim. LT	L,LT	M,critico	Verifica
265	SLD 2	0,002	1	Si	1230,8	-5675,4	-1637,9	681312,6	1	0,194	530	19100557,6	Si

Verifica di stabilità per pressoflessione §C.4.2.4.1.3.3.2 NTC18

X	Comb.	Sfruttamento	Classe	NEd	NRk	Mx,Ed max	Mx,Rk	My,Ed max	My,Rk	$\chi_x$	$\chi_y$	kxx	kxy	kyy	$\chi_{LT}$	Verifica
0	SLV 9	0,442	1	-38191,3	127716,8	5675,4	715378,2	0	715378,2	0,726	0,726	1,155	0,438	0,957	0,729	1 Si

Verifica di stabilità per pressoflessione SLD §C.4.2.4.1.3.3.2 NTC18

X	Comb.	Sfruttamento	Classe	NEd	NRk	Mx,Ed max	Mx,Rk	My,Ed max	My,Rk	$\chi_x$	$\chi_y$	kxx	kxy	kyy	$\chi_{LT}$	Verifica
0	SLD 10	0,209	1	-17664,5	127716,8	5675,4	715378,2	0	715378,2	0,726	0,726	1,045	0,396	0,98	0,66	1 Si

Verifica di stabilità a taglio anima Y §4.2.4.1.2.4 [4.2.27] NTC18

$\eta$	hw	tw	hw/tw max	Verifica
1,2	14,4	0,8	55,46	Si

Verifica di stabilità a taglio anima Y SLD §4.2.4.1.2.4 [4.2.27] NTC18

$\eta$	hw	tw	hw/tw max	Verifica
1,2	14,4	0,8	55,46	Si

Verifiche a deformabilità

Mensola X: No; Mensola Y: No.

Frecce lungo X

Ascissa freccia	Combinazione	Freccia	Luce	L/f	L/f,min	Tipo	Verifica
512,3	SLE RA 1	0	530	10000	250	Totale	Si
512,3	SLE RA 2	0	530	10000	250	Totale	Si
512,3	SLE RA 3	0	530	10000	250	Totale	Si
512,3	SLE RA 4	0	530	10000	250	Totale	Si
512,3	SLE RA 5	0	530	10000	250	Totale	Si
441,6	SLE RA 2	0	530	10000	350	Variabile	Si
441,6	SLE RA 3	0	530	10000	350	Variabile	Si
441,6	SLE RA 4	0	530	10000	350	Variabile	Si
441,6	SLE RA 5	0	530	10000	350	Variabile	Si

Frecce lungo Y

Ascissa freccia	Combinazione	Freccia	Luce	L/f	L/f,min	Tipo	Verifica
265	SLE RA 1	-0,046	530	10000	250	Totale	Si
265	SLE RA 2	-0,046	530	10000	250	Totale	Si
265	SLE RA 3	-0,046	530	10000	250	Totale	Si
265	SLE RA 4	-0,046	530	10000	250	Totale	Si
265	SLE RA 5	-0,046	530	10000	250	Totale	Si
282,6	SLE RA 2	0	530	10000	350	Variabile	Si
318	SLE RA 3	0	530	10000	350	Variabile	Si
441,6	SLE RA 4	0	530	10000	350	Variabile	Si
318	SLE RA 5	0	530	10000	350	Variabile	Si

Superelemento in acciaio composto dall'asta 66

Caratteristiche del materiale

Acciaio: S275, fyk = 2750

Caratteristiche geometriche

Lunghezza: 540,9

Nodo iniziale: 371 Nodo finale: 44

Cerniera iniziale: Svincolo: M2, M3 Cerniera finale: Svincolo: M2, M3

Sovreresistenza: 0% Sisma Z: No

Caratteristiche della sezione

Sezione	Rotazione	Area	Jx	Jy	ix	iy	Wx	Wy	Wplx	Wply
EN10219 160x160x8	0	46,44	1741,23	1741,23	6,12	6,12	217,65	217,65	260,14	260,14

Verifiche di resistenza

Verifiche a forza assiale §4.2.4.1.2.1 - §4.2.4.1.2.2 NTC18

X	Comb.	Sfruttamento	Classe	NEd	Nc,Rd	Nt,Rd	Riduzione da taglio	px	py	Verifica
540,9	SLV 14	0,312	1	-37924,5	121635,1		1	0	0	Si

Verifiche a forza assiale SLD §4.2.4.1.2.1 - §4.2.4.1.2.2 NTC18

X	Comb.	Sfruttamento	Classe	NEd	Nc,Rd	Nt,Rd	Riduzione da taglio	px	py	Verifica
540,9	SLD 14	0,133	1	-16225,2	121635,1		1	0	0	Si

Verifica a taglio Y §4.2.4.1.2.4 NTC18

X	Comb.	Sfruttamento	VEd	Vc,Rd	Av	Interazione taglio-torsione	Riduzione torsione	Verifica
0	SLU 11	0,002	61,3	35076,8	23,22	Considerata	1	Si

Verifica a taglio Y SLD §4.2.4.1.2.4 NTC18

X	Comb.	Sfruttamento	VEd	Vc,Rd	Av	Interazione taglio-torsione	Riduzione torsione	Verifica
540,9	SLD 8	0,001	-47,2	35014,5	23,22	Considerata	1	Si

Verifica a torsione §4.2.4.1.2.5 NTC18

X	Comb.	Sfruttamento torsione	TEd	TRd	Riduzione taglio resistente	Sfruttamento taglio-torsione	$\tau Ed,totale$	$\tau Rd$	Verifica
540,9	SLV 7	0,006	3194,5	553655,2	Considerata				Si

Verifica a torsione SLD §4.2.4.1.2.5 NTC18

X	Comb.	Sfruttamento torsione	TEd	TRd	Riduzione taglio resistente	Sfruttamento taglio-torsione	rEd,totale	rRd	Verifica
540.9	SLD 7	0.003	1552.6	553655.2	Considerata				Si

Verifica a presso/tenso flessione retta X §§ 4.2.4.1.2.3 - 4.2.4.1.2.6 - 4.2.4.1.2.7 - 4.2.4.1.2.8 NTC18

Verifiche eseguite utilizzando la formula conservativa (6.2) §6.2.1 EN 1993-1-1:2005.

X	Comb.	Sfruttamento	Classe	NEd	NRd	Rid. NRd da VEd	Mx,Ed	Mx,Rd	Rid. Mx,Rd da VEd	Rid. Mx,Rd da NEd	px	py	Verifica
288.5	SLV 13	0.32	1	-37843.7	121635.1	1	-6350	681313	1		0	0	Si

Verifica a presso/tenso flessione retta X SLD §§ 4.2.4.1.2.3 - 4.2.4.1.2.6 - 4.2.4.1.2.7 - 4.2.4.1.2.8 NTC18

Verifiche eseguite utilizzando la formula conservativa (6.2) §6.2.1 EN 1993-1-1:2005.

X	Comb.	Sfruttamento	Classe	NEd	NRd	Rid. NRd da VEd	Mx,Ed	Mx,Rd	Rid. Mx,Rd da VEd	Rid. Mx,Rd da NEd	px	py	Verifica
288.5	SLD 14	0.142	1	-16144.4	121635.1	1	-6350	681313	1		0	0	Si

Verifiche ad instabilità

Caratteristiche iniziali

Membratura principale per controllo snellezza; Calcolo di snellezze ed N critici condotti secondo gli assi principali;

Curva X: c; Curva Y: c; Svergolamento: Carico all'estradosso; Curva svergolamento: d;

Dati per instabilità attorno a x

Numero rit.	Presente	Ascissa	Campata	βx/m	Vincolo a entrambi estremi	λx/m	λVer
1	Si		0				
			1-2	0.7	Si	61.8	Si, (<200)
2	Si	540.9					

Dati per instabilità attorno a y

Numero rit.	Presente	Ascissa	Campata	βy/n	k <sub>y</sub> LT	k <sub>w</sub> LT	Vincolo a entrambi estremi	λy/n	λVer
1	Si		0						
			1-2	0.7	1	1	Si	61.8	Si, (<200)
2	Si	540.9							

Verifica di stabilità per pressoflessione §C.4.2.4.1.3.3.2 NTC18

X	Comb.	Sfruttamento	Classe	NEd	NRk	Mx,Ed max	Mx,Rk	My,Ed max	My,Rk	χ <sub>x</sub>	χ <sub>y</sub>	k <sub>xx</sub>	k <sub>xy</sub>	k <sub>yx</sub>	k <sub>yy</sub>	χ <sub>x</sub> LT	Verifica
540.9	SLV 14	0.446	1	-37924.5	127716.8	6378.2	715378.2	0	715378.2	0.717	0.717	1.162	0.44	0.956	0.734	1	Si

Verifica di stabilità per pressoflessione SLD §C.4.2.4.1.3.3.2 NTC18

X	Comb.	Sfruttamento	Classe	NEd	NRk	Mx,Ed max	Mx,Rk	My,Ed max	My,Rk	χ <sub>x</sub>	χ <sub>y</sub>	k <sub>xx</sub>	k <sub>xy</sub>	k <sub>yx</sub>	k <sub>yy</sub>	χ <sub>x</sub> LT	Verifica
540.9	SLD 13	0.196	1	16225.2	127716.8	6378.2	715378.2	0	715378.2	0.717	0.717	1.041	0.394	0.981	0.657	1	Si

Verifica di stabilità a taglio anima Y §4.2.4.1.2.4 [4.2.27] NTC18

η	hw	tw	hw/tw max	Verifica
1.2	14.4	0.8	55.46	Si

Verifica di stabilità a taglio anima Y SLD §4.2.4.1.2.4 [4.2.27] NTC18

η	hw	tw	hw/tw max	Verifica
1.2	14.4	0.8	55.46	Si

Verifiche a deformabilità

Mensola X: No; Mensola Y: No.

Frecce lungo X

Ascissa freccia	Combinazione	Freccia	Luce	L/f	L/f,min	Tipo	Verifica
216.4	SLE RA 1	0	540.9	10000	250	Totale	Si
54.1	SLE RA 2	0	540.9	10000	250	Totale	Si
54.1	SLE RA 3	0	540.9	10000	250	Totale	Si
54.1	SLE RA 4	0	540.9	10000	250	Totale	Si
54.1	SLE RA 5	0	540.9	10000	250	Totale	Si
54.1	SLE RA 2	0	540.9	10000	350	Variabile	Si
54.1	SLE RA 3	0	540.9	10000	350	Variabile	Si
54.1	SLE RA 4	0	540.9	10000	350	Variabile	Si
54.1	SLE RA 5	0	540.9	10000	350	Variabile	Si

Frecce lungo Y

Ascissa freccia	Combinazione	Freccia	Luce	L/f	L/f,min	Tipo	Verifica
270.5	SLE RA 1	-0.053	540.9	10000	250	Totale	Si
270.5	SLE RA 2	-0.053	540.9	10000	250	Totale	Si
270.5	SLE RA 3	-0.053	540.9	10000	250	Totale	Si
270.5	SLE RA 4	-0.053	540.9	10000	250	Totale	Si
270.5	SLE RA 5	-0.053	540.9	10000	250	Totale	Si
36.1	SLE RA 2	0	540.9	10000	350	Variabile	Si
54.1	SLE RA 3	0	540.9	10000	350	Variabile	Si
18	SLE RA 4	0	540.9	10000	350	Variabile	Si
54.1	SLE RA 5	0	540.9	10000	350	Variabile	Si

Superelemento in acciaio composto dall'asta 67

Caratteristiche del materiale

Acciaio: S275, fyk = 2750

Caratteristiche geometriche

Lunghezza: 534.9

Nodo iniziale: 195 Nodo finale: 20

Cerniera iniziale: Svincolo: M2, M3 Cerniera finale: Svincolo: M2, M3

Sovreresistenza: 0% Sisma Z: No

**Caratteristiche della sezione**

Sezione	Rotazione	Area	Jx	Jy	ix	iy	Wx	Wy	Wplx	Wply
EN10219 168,3x8	0	40.29	1297.27	1297.27	5.67	5.67	154.16	154.16	205.74	205.74

**Verifiche di resistenza****Verifiche a forza assiale §4.2.4.1.2.1 - §4.2.4.1.2.2 NTC18**

X	Comb.	Sfruttamento	Classe	NEd	Nc,Rd	Nt,Rd	Riduzione da taglio	px	py	Verifica
534.9	SLV 14	0.362	1	-38241.8	105515.6		1	0	0	Si

**Verifiche a forza assiale SLD §4.2.4.1.2.1 - §4.2.4.1.2.2 NTC18**

X	Comb.	Sfruttamento	Classe	NEd	Nc,Rd	Nt,Rd	Riduzione da taglio	px	py	Verifica
534.9	SLD 14	0.171	1	-18083	105515.6		1	0	0	Si

**Verifica a taglio Y §4.2.4.1.2.4 NTC18**

X	Comb.	Sfruttamento	VEd	Vc,Rd	Av	Interazione taglio-torsione	Riduzione torsione	Verifica
534.9	SLU 19	0.001	-50.6	38753.8	25.65	Considerata	1	Si

**Verifica a taglio Y SLD §4.2.4.1.2.4 NTC18**

X	Comb.	Sfruttamento	VEd	Vc,Rd	Av	Interazione taglio-torsione	Riduzione torsione	Verifica
534.9	SLD 14	0.001	-38.9	38749.5	25.65	Considerata	1	Si

**Verifica a torsione §4.2.4.1.2.5 NTC18**

X	Comb.	Sfruttamento torsione	TEd	TRd	Riduzione taglio resistente	Sfruttamento taglio-torsione	rEd,totale	rRd	Verifica
534.9	SLV 13	0.001	715.8	488269.6	Considerata				Si

**Verifica a torsione SLD §4.2.4.1.2.5 NTC18**

X	Comb.	Sfruttamento torsione	TEd	TRd	Riduzione taglio resistente	Sfruttamento taglio-torsione	rEd,totale	rRd	Verifica
534.9	SLD 13	0.001	416.1	488269.6	Considerata				Si

**Verifica a presso/tenso flessione retta X §§ 4.2.4.1.2.3 - 4.2.4.1.2.6 - 4.2.4.1.2.7 - 4.2.4.1.2.8 NTC18**

Verifiche eseguite utilizzando la formula conservativa (6.2) §6.2.1 EN 1993-1-1:2005.

X	Comb.	Sfruttamento	Classe	NEd	NRd	Rid. NRd da VEd	Mx,Ed	Mx,Rd	Rid. Mx,Rd da VEd	Rid. Mx,Rd da NEd	px	py	Verifica
285.3	SLV 14	0.371	1	-38171.7	105515.6	1	-5180	538841	1		0	0	Si

**Verifica a presso/tenso flessione retta X SLD §§ 4.2.4.1.2.3 - 4.2.4.1.2.6 - 4.2.4.1.2.7 - 4.2.4.1.2.8 NTC18**

Verifiche eseguite utilizzando la formula conservativa (6.2) §6.2.1 EN 1993-1-1:2005.

X	Comb.	Sfruttamento	Classe	NEd	NRd	Rid. NRd da VEd	Mx,Ed	Mx,Rd	Rid. Mx,Rd da VEd	Rid. Mx,Rd da NEd	px	py	Verifica
285.3	SLD 13	0.18	1	-18012.9	105515.6	1	-5180	538841	1		0	0	Si

**Verifiche ad instabilità****Caratteristiche iniziali**

Membratura principale per controllo snellezza; Calcolo di snellezze ed N critici condotti secondo gli assi principali;

Curva X: c; Curva Y: c;

Svergolamento: Nessuno; la verifica a instabilità flesso-torsionale (svergolamento) non verrà eseguita.

**Dati per instabilità attorno a x**

Numero rit.	Presente	Ascissa	Campata	βx/m	Vincolo a entrambi estremi	λx/m	λVer
1	Si	0					
			1-2	0.7	Si	66	Si, (<200)
2	Si	534.9					

**Dati per instabilità attorno a y**

Numero rit.	Presente	Ascissa	Campata	βy/n	k,LT	kw,LT	Vincolo a entrambi estremi
1	Si	0					
			1-2	0.7	Si	66	Si, (<200)
2	Si	534.9					

**Verifica di stabilità per pressoflessione §C.4.2.4.1.3.3.2 NTC18**

X	Comb.	Sfruttamento	Classe	NEd	NRk	Mx,Ed max	Mx,Rk	My,Ed max	My,Rk	χx	χy	kxx	kxy	kyy	χLT	Verifica
534.9	SLV 14	0.539	1	-	110791.4	5202.7	565783.3	0	565783.3	0.687	0.687	1.231	0.466	0.738	0.777	Si
				38241.8												

**Verifica di stabilità per pressoflessione SLD §C.4.2.4.1.3.3.2 NTC18**

X	Comb.	Sfruttamento	Classe	NEd	NRk	Mx,Ed max	Mx,Rk	My,Ed max	My,Rk	χx	χy	kxx	kxy	kyy	χLT	Verifica
534.9	SLD 13	0.26	1	-18083	110791.4	5202.7	565783.3	0	565783.3	0.687	0.687	1.083	0.41	0.65	0.684	Si

**Verifiche a deformabilità**

Mensola X: No; Mensola Y: No.

**Frecce lungo X**

Ascissa freccia	Combinazione	Freccia	Luce	L/f	L/f,min	Tipo	Verifica
89.2	SLE RA 1	0	534.9	10000	250	Totale	Si
142.6	SLE RA 2	0	534.9	10000	250	Totale	Si
196.1	SLE RA 3	0	534.9	10000	250	Totale	Si
89.2	SLE RA 4	0	534.9	10000	250	Totale	Si
89.2	SLE RA 5	0	534.9	10000	250	Totale	Si
196.1	SLE RA 2	0	534.9	10000	350	Variabile	Si
196.1	SLE RA 3	0	534.9	10000	350	Variabile	Si
71.3	SLE RA 4	0	534.9	10000	350	Variabile	Si
196.1	SLE RA 5	0	534.9	10000	350	Variabile	Si

**Frecce lungo Y**

Ascissa freccia	Combinazione	Freccia	Luce	L/f	L/f,min	Tipo	Verifica
267.5	SLE RA 1	-0.057	534.9	9358.4	250	Totale	Si
267.5	SLE RA 2	-0.057	534.9	9358.4	250	Totale	Si
267.5	SLE RA 3	-0.057	534.9	9358.4	250	Totale	Si
267.5	SLE RA 4	-0.057	534.9	9358.4	250	Totale	Si
267.5	SLE RA 5	-0.057	534.9	9358.4	250	Totale	Si

Ascissa freccia	Combinazione	Freccia	Luce	L/f	L/f,min	Tipo	Verifica
89.2	SLE RA 2	0	534.9	10000	350	Variabile	Si
231.8	SLE RA 3	0	534.9	10000	350	Variabile	Si
249.6	SLE RA 4	0	534.9	10000	350	Variabile	Si
231.8	SLE RA 5	0	534.9	10000	350	Variabile	Si

## Superelemento in acciaio composto dall'asta 68

### Caratteristiche del materiale

Acciaio: S275, fyk = 2750

### Caratteristiche geometriche

Lunghezza: 590

Nodo iniziale: 207 Nodo finale: 29

Cerniera iniziale: Svincolo: M2, M3 Cerniera finale: Svincolo: M2, M3

Sovreresistenza: 0% Sisma Z: No

### Caratteristiche della sezione

Sezione	Rotazione	Area	Jx	Jy	ix	iy	Wx	Wy	Wplx	Wply
EN10219 168,3x8	0	40.29	1297.27	1297.27	5.67	5.67	154.16	154.16	205.74	205.74

### Verifiche di resistenza

#### Verifiche a forza assiale §4.2.4.1.2.1 - §4.2.4.1.2.2 NTC18

X	Comb.	Sfruttamento	Classe	NEd	Nc,Rd	Nt,Rd	Riduzione da taglio	px	py	Verifica
590	SLV 12	0.484	1	-51052.4	105515.6		1	0	0	Si

#### Verifiche a forza assiale SLD §4.2.4.1.2.1 - §4.2.4.1.2.2 NTC18

X	Comb.	Sfruttamento	Classe	NEd	Nc,Rd	Nt,Rd	Riduzione da taglio	px	py	Verifica
590	SLD 12	0.209	1	-22051.5	105515.6		1	0	0	Si

#### Verifica a taglio Y §4.2.4.1.2.4 NTC18

X	Comb.	Sfruttamento	VEd	Vc,Rd	Av	Interazione taglio-torsione	Riduzione torsione	Verifica
590	SLU 20	0.002	-71.9	38782.5	25.65	Considerata	1	Si

#### Verifica a taglio Y SLD §4.2.4.1.2.4 NTC18

X	Comb.	Sfruttamento	VEd	Vc,Rd	Av	Interazione taglio-torsione	Riduzione torsione	Verifica
0	SLD 1	0.001	55.3	38782.5	25.65	Considerata	1	Si

#### Verifica a torsione §4.2.4.1.2.5 NTC18

X	Comb.	Sfruttamento torsione	TEd	TRd	Riduzione taglio resistente	Sfruttamento taglio-torsione	rEd,totale	rRd	Verifica
295	SLV 14	0.001	-508.6	488269.6	Considerata				Si

#### Verifica a presso/tenso flessione retta X §§ 4.2.4.1.2.3 - 4.2.4.1.2.6 - 4.2.4.1.2.7 - 4.2.4.1.2.8 NTC18

Verifiche eseguite utilizzando la formula conservativa (6.2) §6.2.1 EN 1993-1-1:2005.

X	Comb.	Sfruttamento	Classe	NEd	NRd	Rid. NRd da VEd	Mx,Ed	Mx,Rd	Rid. Mx,Rd da VEd	Rid. Mx,Rd da NEd	px	py	Verifica
295	SLV 11	0.498	1	-50977.3	105515.6	1	-8164	538841	1		0	0	Si

#### Verifica a presso/tenso flessione retta X SLD §§ 4.2.4.1.2.3 - 4.2.4.1.2.6 - 4.2.4.1.2.7 - 4.2.4.1.2.8 NTC18

Verifiche eseguite utilizzando la formula conservativa (6.2) §6.2.1 EN 1993-1-1:2005.

X	Comb.	Sfruttamento	Classe	NEd	NRd	Rid. NRd da VEd	Mx,Ed	Mx,Rd	Rid. Mx,Rd da VEd	Rid. Mx,Rd da NEd	px	py	Verifica
295	SLD 12	0.223	1	-21976.4	105515.6	1	-8164	538841	1		0	0	Si

### Verifiche ad instabilità

#### Caratteristiche iniziali

Membratura principale per controllo snellezza; Calcolo di snellezze ed N critici condotti secondo gli assi principali;

Curva X: c; Curva Y: c;

Svergolamento: Nessuno; la verifica a instabilità flesso-torsionale (svergolamento) non verrà eseguita.

#### Dati per instabilità attorno a x

Numero rit.	Presente	Ascissa	Campata	βx/m	Vincolo a entrambi estremi	λx/m	λVer
1	Si	0					
			1-2	0.7	Si	72.8	Si, (<200)
2	Si	590					

#### Dati per instabilità attorno a y

Numero rit.	Presente	Ascissa	Campata	βy/n	k,LT	kw,LT	Vincolo a entrambi estremi
1	Si	0					
			1-2	0.7	Si	72.8	Si, (<200)
2	Si	590					

#### Verifica di stabilità per pressoflessione §C.4.2.4.1.3.3.2 NTC18

X	Comb.	Sfruttamento	Classe	NEd	NRk	Mx,Ed max	Mx,Rk	My,Ed max	My,Rk	χ,x	χ,y	kxx	kxy	kyy	χ,LT	Verifica
590	SLV 12	0.78	1	-51052.4	110791.4	8163.7	565783.3	0	565783.3	0.638	0.638	1.41	0.534	0.846	0.89	Si

#### Verifica di stabilità per pressoflessione SLD §C.4.2.4.1.3.3.2 NTC18

X	Comb.	Sfruttamento	Classe	NEd	NRk	Mx,Ed max	Mx,Rk	My,Ed max	My,Rk	χ,x	χ,y	kxx	kxy	kyy	χ,LT	Verifica
590	SLD 12	0.345	1	-22051.5	110791.4	8163.7	565783.3	0	565783.3	0.638	0.638	1.149	0.435	0.689	0.725	Si

### Verifiche a deformabilità

Mensola X: No; Mensola Y: No.

**Frecce lungo X**

Ascissa freccia	Combinazione	Freccia	Luce	L/f	L/f,min	Tipo	Verifica
59	SLE RA 1	0	590	10000	250	Totale	Si
39.3	SLE RA 2	0	590	10000	250	Totale	Si
137.7	SLE RA 3	0	590	10000	250	Totale	Si
59	SLE RA 4	0	590	10000	250	Totale	Si
137.7	SLE RA 5	0	590	10000	250	Totale	Si
118	SLE RA 2	0	590	10000	350	Variabile	Si
118	SLE RA 3	0	590	10000	350	Variabile	Si
59	SLE RA 4	0	590	10000	350	Variabile	Si
275.3	SLE RA 5	0	590	10000	350	Variabile	Si

**Frecce lungo Y**

Ascissa freccia	Combinazione	Freccia	Luce	L/f	L/f,min	Tipo	Verifica
295	SLE RA 1	-0.109	590	5412.9	250	Totale	Si
295	SLE RA 2	-0.109	590	5412.9	250	Totale	Si
295	SLE RA 3	-0.109	590	5412.9	250	Totale	Si
295	SLE RA 4	-0.109	590	5412.9	250	Totale	Si
295	SLE RA 5	-0.109	590	5412.9	250	Totale	Si
98.3	SLE RA 2	0	590	10000	350	Variabile	Si
78.7	SLE RA 3	0	590	10000	350	Variabile	Si
78.7	SLE RA 4	0	590	10000	350	Variabile	Si
78.7	SLE RA 5	0	590	10000	350	Variabile	Si

**Superelemento in acciaio composto dall'asta 69****Caratteristiche del materiale**

Acciaio: S275, fyk = 2750

**Caratteristiche geometriche**

Lunghezza: 557.7

Nodo iniziale: 125 Nodo finale: 10

Cerniera iniziale: Svincolo: M2, M3 Cerniera finale: Svincolo: M2, M3

Sovreresistenza: 0% Sisma Z: No

**Caratteristiche della sezione**

Sezione	Rotazione	Area	Jx	Jy	ix	iy	Wx	Wy	Wplx	Wply
EN10219 160x160x8	0	46.44	1741.23	1741.23	6.12	6.12	217.65	217.65	260.14	260.14

**Verifiche di resistenza****Verifiche a forza assiale §4.2.4.1.2.1 - §4.2.4.1.2.2 NTC18**

X	Comb.	Sfruttamento	Classe	NEd	Nc,Rd	Nt,Rd	Riduzione da taglio	px	py	Verifica
557.7	SLV 13	0.437	1	-53188.7	121635.1		1	0	0	Si

**Verifiche a forza assiale SLD §4.2.4.1.2.1 - §4.2.4.1.2.2 NTC18**

X	Comb.	Sfruttamento	Classe	NEd	Nc,Rd	Nt,Rd	Riduzione da taglio	px	py	Verifica
557.7	SLD 14	0.193	1	-23488.2	121635.1		1	0	0	Si

**Verifica a taglio Y §4.2.4.1.2.4 NTC18**

X	Comb.	Sfruttamento	VEd	Vc,Rd	Av	Interazione taglio-torsione	Riduzione torsione	Verifica
0	SLU 19	0.002	69.3	35087.4	23.22	Considerata	1	Si

**Verifica a taglio Y SLD §4.2.4.1.2.4 NTC18**

X	Comb.	Sfruttamento	VEd	Vc,Rd	Av	Interazione taglio-torsione	Riduzione torsione	Verifica
557.7	SLD 16	0.002	-53.3	35077.7	23.22	Considerata	1	Si

**Verifica a torsione §4.2.4.1.2.5 NTC18**

X	Comb.	Sfruttamento torsione	TEd	TRd	Riduzione taglio resistente	Sfruttamento taglio-torsione	rEd,totale	rRd	Verifica
557.7	SLV 16	0.002	1020.2	553655.2	Considerata				Si

**Verifica a torsione SLD §4.2.4.1.2.5 NTC18**

X	Comb.	Sfruttamento torsione	TEd	TRd	Riduzione taglio resistente	Sfruttamento taglio-torsione	rEd,totale	rRd	Verifica
557.7	SLD 16	0.001	556.2	553655.2	Considerata				Si

**Verifica a presso/tenso flessione retta X §§ 4.2.4.1.2.3 - 4.2.4.1.2.6 - 4.2.4.1.2.7 - 4.2.4.1.2.8 NTC18**

Verifiche eseguite utilizzando la formula conservativa (6.2) §6.2.1 EN 1993-1-1:2005.

X	Comb.	Sfruttamento	Classe	NEd	NRd	Rid. NRd da VEd	Mx,Ed	Mx,Rd	Rid. Mx,Rd da VEd	Rid. Mx,Rd da NEd	px	py	Verifica
278.9	SLV 13	0.447	1	-53102.1	121635.1	1	-7428	681313	1		0	0	Si

**Verifica a presso/tenso flessione retta X SLD §§ 4.2.4.1.2.3 - 4.2.4.1.2.6 - 4.2.4.1.2.7 - 4.2.4.1.2.8 NTC18**

Verifiche eseguite utilizzando la formula conservativa (6.2) §6.2.1 EN 1993-1-1:2005.

X	Comb.	Sfruttamento	Classe	NEd	NRd	Rid. NRd da VEd	Mx,Ed	Mx,Rd	Rid. Mx,Rd da VEd	Rid. Mx,Rd da NEd	px	py	Verifica
278.9	SLD 13	0.203	1	-23401.6	121635.1	1	-7428	681313	1		0	0	Si

**Verifiche ad instabilità****Caratteristiche iniziali**

Membratura principale per controllo snellezza; Calcolo di snellezze ed N critici condotti secondo gli assi principali;

Curva X: c; Curva Y: c; Svergolamento: Carico all'estradosso; Curva svergolamento: d;

**Dati per instabilità attorno a x**

Numero rit.	Presente	Ascissa	Campata	βx/m	Vincolo a entrambi estremi	λx/m	λVer
1	Si	0					
			1-2	0.7	Si	63.8	Si, (<200)
2	Si	557.7					

Dati per instabilità attorno a y									
Numero rit.	Presente	Ascissa	Campata	$\beta y/n$	$k_{LT}$	$k_{w,LT}$	Vincolo a entrambi estremi	$\lambda y/n$	$\lambda Ver$
1	Si	0							
			1-2	0,7	1	1	Si	63,8	Si, (<200)
2	Si	557,7							

Verifica di stabilità per pressoflessione §C.4.2.4.1.3.3.2 NTC18

X	Comb.	Sfruttamento	Classe	NEd	NRk	Mx,Ed max	Mx,Rk	My,Ed max	My,Rk	$\chi_x$	$\chi_y$	kxx	kxy	kyy	$\chi_{LT}$	Verifica	
557.7	SLV 14	0.636	1	-53188.7	127716.8	7427.7	715378.2	0	715378.2	0.703	0.703	1.266	0.48	0.935	0.799	1	Si

Verifica di stabilità per pressoflessione SLD §C.4.2.4.1.3.3.2 NTC18

X	Comb.	Sfruttamento	Classe	NEd	NRk	Mx,Ed max	Mx,Rk	My,Ed max	My,Rk	$\chi_x$	$\chi_y$	kxx	kxy	kyy	$\chi_{LT}$	Verifica	
557.7	SLD 13	0.286	1	-23488.2	127716.8	7427.7	715378.2	0	715378.2	0.703	0.703	1.089	0.413	0.971	0.688	1	Si

Verifica di stabilità a taglio anima Y §4.2.4.1.2.4 [4.2.27] NTC18

$\eta$	hw	tw	hw/tw max	Verifica
1,2	14,4	0,8	55,46	Si

Verifica di stabilità a taglio anima Y SLD §4.2.4.1.2.4 [4.2.27] NTC18

$\eta$	hw	tw	hw/tw max	Verifica
1,2	14,4	0,8	55,46	Si

Verifiche a deformabilità

Mensola X: No; Mensola Y: No.

Frecce lungo X

Ascissa freccia	Combinazione	Freccia	Luce	L/f	L/f,min	Tipo	Verifica
278,9	SLE RA 1	0	557,7	10000	250	Totale	Si
278,9	SLE RA 2	0	557,7	10000	250	Totale	Si
278,9	SLE RA 3	0	557,7	10000	250	Totale	Si
278,9	SLE RA 4	0	557,7	10000	250	Totale	Si
278,9	SLE RA 5	0	557,7	10000	250	Totale	Si
18,6	SLE RA 2	0	557,7	10000	350	Variabile	Si
18,6	SLE RA 3	0	557,7	10000	350	Variabile	Si
74,4	SLE RA 4	0	557,7	10000	350	Variabile	Si
18,6	SLE RA 5	0	557,7	10000	350	Variabile	Si

Frecce lungo Y

Ascissa freccia	Combinazione	Freccia	Luce	L/f	L/f,min	Tipo	Verifica
278,9	SLE RA 1	-0,066	557,7	8442,9	250	Totale	Si
278,9	SLE RA 2	-0,066	557,7	8442,9	250	Totale	Si
278,9	SLE RA 3	-0,066	557,7	8442,9	250	Totale	Si
278,9	SLE RA 4	-0,066	557,7	8442,9	250	Totale	Si
278,9	SLE RA 5	-0,066	557,7	8442,9	250	Totale	Si
74,4	SLE RA 2	0	557,7	10000	350	Variabile	Si
93	SLE RA 3	0	557,7	10000	350	Variabile	Si
18,6	SLE RA 4	0	557,7	10000	350	Variabile	Si
93	SLE RA 5	0	557,7	10000	350	Variabile	Si

Superelemento in acciaio composto dall'asta 70

Caratteristiche del materiale

Acciaio: S275, fyk = 2750

Caratteristiche geometriche

Lunghezza: 520,2

Nodo iniziale: 388 Nodo finale: 45

Cerniera iniziale: Svincolo: M2, M3 Cerniera finale: Svincolo: M2, M3

Sovraresistenza: 0% Sisma Z: No

Caratteristiche della sezione

Sezione	Rotazione	Area	Jx	Jy	ix	iy	Wx	Wy	Wplx	Wply
EN10219 160x160x8	0	46,44	1741,23	1741,23	6,12	6,12	217,65	217,65	260,14	260,14

Verifiche di resistenza

Verifiche a forza assiale §4.2.4.1.2.1 - §4.2.4.1.2.2 NTC18

X	Comb.	Sfruttamento	Classe	NEd	Nc,Rd	Nt,Rd	Riduzione da taglio	px	py	Verifica
520,2	SLV 10	0,411	1	-49938,4	121635,1		1	0	0	Si

Verifiche a forza assiale SLD §4.2.4.1.2.1 - §4.2.4.1.2.2 NTC18

X	Comb.	Sfruttamento	Classe	NEd	Nc,Rd	Nt,Rd	Riduzione da taglio	px	py	Verifica
520,2	SLD 10	0,176	1	-21431	121635,1		1	0	0	Si

Verifica a taglio Y §4.2.4.1.2.4 NTC18

X	Comb.	Sfruttamento	VEd	Vc,Rd	Av	Interazione taglio-torsione	Riduzione torsione	Verifica
0	SLV 12	0,001	50,2	35078,9	23,22	Considerata	1	Si

Verifica a taglio Y SLD §4.2.4.1.2.4 NTC18

X	Comb.	Sfruttamento	VEd	Vc,Rd	Av	Interazione taglio-torsione	Riduzione torsione	Verifica
520,2	SLD 4	0,001	-38,6	35030,8	23,22	Considerata	1	Si

Verifica a torsione §4.2.4.1.2.5 NTC18

X	Comb.	Sfruttamento torsione	TEd	TRd	Riduzione taglio resistente	Sfruttamento taglio-torsione	$\tau Ed, totale$	$\tau Rd$	Verifica
502,8	SLV 3	0,005	-2574,7	553655,2	Considerata				Si

**Verifica a torsione SLD §4.2.4.1.2.5 NTC18**

X	Comb.	Sfruttamento torsione	TEd	TRd	Riduzione taglio resistente	Sfruttamento taglio-torsione	rEd,totale	rRd	Verifica
520.2	SLD 4	0.002	-1295.7	553655.2	Considerata				Si

**Verifica a presso/tenso flessione retta X §§ 4.2.4.1.2.3 - 4.2.4.1.2.6 - 4.2.4.1.2.7 - 4.2.4.1.2.8 NTC18**

Verifiche eseguite utilizzando la formula conservativa (6.2) §6.2.1 EN 1993-1-1:2005.

X	Comb.	Sfruttamento	Classe	NEd	NRd	Rid. NRd da VEd	Mx,Ed	Mx,Rd	Rid. Mx,Rd da VEd	Rid. Mx,Rd da NEd	px	py	Verifica
277.4	SLV 9	0.417	1	-49857.6	121635.1	1	-5003	681313	1		0	0	Si

**Verifica a presso/tenso flessione retta X SLD §§ 4.2.4.1.2.3 - 4.2.4.1.2.6 - 4.2.4.1.2.7 - 4.2.4.1.2.8 NTC18**

Verifiche eseguite utilizzando la formula conservativa (6.2) §6.2.1 EN 1993-1-1:2005.

X	Comb.	Sfruttamento	Classe	NEd	NRd	Rid. NRd da VEd	Mx,Ed	Mx,Rd	Rid. Mx,Rd da VEd	Rid. Mx,Rd da NEd	px	py	Verifica
277.4	SLD 10	0.183	1	-21350.2	121635.1	1	-5003	681313	1		0	0	Si

**Verifiche ad instabilità****Caratteristiche iniziali**

Membratura principale per controllo snellezza; Calcolo di snellezze ed N critici condotti secondo gli assi principali;

Curva X: c; Curva Y: c; Svergolamento: Carico all'estradosso; Curva svergolamento: d;

**Dati per instabilità attorno a x**

Numero rit.	Presente	Ascissa	Campata	$\beta x/m$	Vincolo a entrambi estremi	$\lambda x/m$	$\lambda Ver$
1	Si	0					
			1-2	0.7	Si	59.5	Si, (<200)
2	Si	520.2					

**Dati per instabilità attorno a y**

Numero rit.	Presente	Ascissa	Campata	$\beta y/n$	$k_y LT$	$k_w LT$	Vincolo a entrambi estremi	$\lambda y/n$	$\lambda Ver$
1	Si	0							
			1-2	0.7	1	1	Si	59.5	Si, (<200)
2	Si	520.2							

**Verifica di stabilità per pressoflessione §C.4.2.4.1.3.3.2 NTC18**

X	Comb.	Sfruttamento	Classe	NEd	NRk	Mx,Ed max	Mx,Rk	My,Ed max	My,Rk	$\chi_x$	$\chi_y$	kxx	kxy	kyy	$\chi_{LT}$	Verifica	
520.2	SLV 10	0.568	1	-49938.4	127716.8	5025.4	715378.2	0	715378.2	0.734	0.734	1.208	0.458	0.945	0.763	1	Si

**Verifica di stabilità per pressoflessione SLD §C.4.2.4.1.3.3.2 NTC18**

X	Comb.	Sfruttamento	Classe	NEd	NRk	Mx,Ed max	Mx,Rk	My,Ed max	My,Rk	$\chi_x$	$\chi_y$	kxx	kxy	kyy	$\chi_{LT}$	Verifica	
520.2	SLD 10	0.248	1	-21431	127716.8	5025.4	715378.2	0	715378.2	0.734	0.734	1.061	0.402	0.977	0.67	1	Si

**Verifica di stabilità a taglio anima Y §4.2.4.1.2.4 [4.2.27] NTC18**

$\eta$	hw	tw	hw/tw max	Verifica
1.2	14.4	0.8	55.46	Si

**Verifica di stabilità a taglio anima Y SLD §4.2.4.1.2.4 [4.2.27] NTC18**

$\eta$	hw	tw	hw/tw max	Verifica
1.2	14.4	0.8	55.46	Si

**Verifiche a deformabilità**

Mensola X: No; Mensola Y: No.

**Frecce lungo X**

Ascissa freccia	Combinazione	Freccia	Luce	L/f	L/f,min	Tipo	Verifica
69.4	SLE RA 1	0	520.2	10000	250	Totale	Si
69.4	SLE RA 2	0	520.2	10000	250	Totale	Si
69.4	SLE RA 3	0	520.2	10000	250	Totale	Si
69.4	SLE RA 4	0	520.2	10000	250	Totale	Si
69.4	SLE RA 5	0	520.2	10000	250	Totale	Si
121.4	SLE RA 2	0	520.2	10000	350	Variabile	Si
138.7	SLE RA 3	0	520.2	10000	350	Variabile	Si
104	SLE RA 4	0	520.2	10000	350	Variabile	Si
104	SLE RA 5	0	520.2	10000	350	Variabile	Si

**Frecce lungo Y**

Ascissa freccia	Combinazione	Freccia	Luce	L/f	L/f,min	Tipo	Verifica
260.1	SLE RA 1	-0.039	520.2	10000	250	Totale	Si
260.1	SLE RA 2	-0.039	520.2	10000	250	Totale	Si
260.1	SLE RA 3	-0.039	520.2	10000	250	Totale	Si
260.1	SLE RA 4	-0.039	520.2	10000	250	Totale	Si
260.1	SLE RA 5	-0.039	520.2	10000	250	Totale	Si
17.3	SLE RA 2	0	520.2	10000	350	Variabile	Si
17.3	SLE RA 3	0	520.2	10000	350	Variabile	Si
52	SLE RA 4	0	520.2	10000	350	Variabile	Si
17.3	SLE RA 5	0	520.2	10000	350	Variabile	Si

**Superelemento in acciaio composto dall'asta 71****Caratteristiche del materiale**

Acciaio: S275, fyk = 2750

**Caratteristiche geometriche**

Lunghezza: 557.7

Nodo iniziale: 9 Nodo finale: 126

Cerniera iniziale: Svincolo: M2, M3 Cerniera finale: Svincolo: M2, M3

Sovreresistenza: 0% Sisma Z: No

Caratteristiche della sezione										
Sezione	Rotazione	Area	Jx	Jy	ix	iy	Wx	Wy	Wplx	Wply
EN10219 160x160x8	0	46.44	1741.23	1741.23	6.12	6.12	217.65	217.65	260.14	260.14

Verifiche di resistenza

Verifiche a forza assiale §4.2.4.1.2.1 - §4.2.4.1.2.2 NTC18

X	Comb.	Sfruttamento	Classe	NEd	Nc,Rd	Nt,Rd	Riduzione da taglio	px	py	Verifica
0	SLV 4	0.439	1	-53344	121635.1		1	0	0	Si

Verifiche a forza assiale SLD §4.2.4.1.2.1 - §4.2.4.1.2.2 NTC18

X	Comb.	Sfruttamento	Classe	NEd	Nc,Rd	Nt,Rd	Riduzione da taglio	px	py	Verifica
0	SLD 3	0.195	1	-23679	121635.1		1	0	0	Si

Verifica a taglio Y §4.2.4.1.2.4 NTC18

X	Comb.	Sfruttamento	VEd	Vc,Rd	Av	Interazione taglio-torsione	Riduzione torsione	Verifica
0	SLU 19	0.002	69.3	35051.6	23.22	Considerata	1	Si

Verifica a taglio Y SLD §4.2.4.1.2.4 NTC18

X	Comb.	Sfruttamento	VEd	Vc,Rd	Av	Interazione taglio-torsione	Riduzione torsione	Verifica
557.7	SLD 4	0.002	-53.3	35054.6	23.22	Considerata	1	Si

Verifica a torsione §4.2.4.1.2.5 NTC18

X	Comb.	Sfruttamento torsione	TEd	TRd	Riduzione taglio resistente	Sfruttamento taglio-torsione	τEd,totale	τRd	Verifica
539.1	SLV 4	0.003	-1435	553655.2	Considerata				Si

Verifica a torsione SLD §4.2.4.1.2.5 NTC18

X	Comb.	Sfruttamento torsione	TEd	TRd	Riduzione taglio resistente	Sfruttamento taglio-torsione	τEd,totale	τRd	Verifica
539.1	SLD 4	0.002	-920.4	553655.2	Considerata				Si

Verifica a presso/tenso flessione retta X §§ 4.2.4.1.2.3 - 4.2.4.1.2.6 - 4.2.4.1.2.7 - 4.2.4.1.2.8 NTC18

Verifiche eseguite utilizzando la formula conservativa (6.2) §6.2.1 EN 1993-1-1:2005.

X	Comb.	Sfruttamento	Classe	NEd	NRd	Rid. NRd da VEd	Mx,Ed	Mx,Rd	Rid. Mx,Rd da VEd	Rid. Mx,Rd da NEd	px	py	Verifica
278.9	SLV 3	0.449	1	-53257.4	121635.1	1	-7428	681313	1		0	0	Si

Verifica a presso/tenso flessione retta X SLD §§ 4.2.4.1.2.3 - 4.2.4.1.2.6 - 4.2.4.1.2.7 - 4.2.4.1.2.8 NTC18

Verifiche eseguite utilizzando la formula conservativa (6.2) §6.2.1 EN 1993-1-1:2005.

X	Comb.	Sfruttamento	Classe	NEd	NRd	Rid. NRd da VEd	Mx,Ed	Mx,Rd	Rid. Mx,Rd da VEd	Rid. Mx,Rd da NEd	px	py	Verifica
278.9	SLD 3	0.205	1	-23592.4	121635.1	1	-7428	681313	1		0	0	Si

Verifiche ad instabilità

Caratteristiche iniziali

Membratura principale per controllo snellezza; Calcolo di snellezze ed N critici condotti secondo gli assi principali;

Curva X: c; Curva Y: c; Svergolamento: Carico all'estradosso; Curva svergolamento: d;

Dati per instabilità attorno a x

Numero rit.	Presente	Ascissa	Campata	βx/m	Vincolo a entrambi estremi	λx/m	λVer
1	Si		0				
			1-2	0.7	Si	63.8	Si, (<200)
2	Si	557.7					

Dati per instabilità attorno a y

Numero rit.	Presente	Ascissa	Campata	βy/n	k,LT	kw,LT	Vincolo a entrambi estremi	λy/n	λVer
1	Si	0							
			1-2	0.7	1	1	Si	63.8	Si, (<200)
2	Si	557.7							

Verifica di stabilità per pressoflessione §C.4.2.4.1.3.3.2 NTC18

X	Comb.	Sfruttamento	Classe	NEd	NRk	Mx,Ed max	Mx,Rk	My,Ed max	My,Rk	χx	χy	kxx	kxy	kyy	χ,LT	Verifica
0	SLV 3	0.637	1	-53344	127716.8	7427.7	715378.2	0	715378.2	0.703	0.703	1.267	0.48	0.935	0.8	1 Si

Verifica di stabilità per pressoflessione SLD §C.4.2.4.1.3.3.2 NTC18

X	Comb.	Sfruttamento	Classe	NEd	NRk	Mx,Ed max	Mx,Rk	My,Ed max	My,Rk	χx	χy	kxx	kxy	kyy	χ,LT	Verifica
0	SLD 4	0.289	1	-23679	127716.8	7427.7	715378.2	0	715378.2	0.703	0.703	1.091	0.413	0.971	0.689	1 Si

Verifica di stabilità a taglio anima Y §4.2.4.1.2.4 [4.2.27] NTC18

η	hw	tw	hw/tw max	Verifica
1.2	14.4	0.8	55.46	Si

Verifica di stabilità a taglio anima Y SLD §4.2.4.1.2.4 [4.2.27] NTC18

η	hw	tw	hw/tw max	Verifica
1.2	14.4	0.8	55.46	Si

Verifiche a deformabilità

Mensola X: No; Mensola Y: No.

Frecce lungo X

Ascissa freccia	Combinazione	Freccia	Luce	L/f	L/f,min	Tipo	Verifica
371.8	SLE RA 1	0	557.7	10000	250	Totale	Si
371.8	SLE RA 2	0	557.7	10000	250	Totale	Si
371.8	SLE RA 3	0	557.7	10000	250	Totale	Si
539.1	SLE RA 4	0	557.7	10000	250	Totale	Si
539.1	SLE RA 5	0	557.7	10000	250	Totale	Si
446.2	SLE RA 2	0	557.7	10000	350	Variabile	Si
539.1	SLE RA 3	0	557.7	10000	350	Variabile	Si
539.1	SLE RA 4	0	557.7	10000	350	Variabile	Si
539.1	SLE RA 5	0	557.7	10000	350	Variabile	Si



**Frecce lungo Y**

Ascissa freccia	Combinazione	Freccia	Luce	L/f	L/f,min	Tipo	Verifica
278.9	SLE RA 1	-0.066	557.7	8442.9	250	Totale	Si
278.9	SLE RA 2	-0.066	557.7	8442.9	250	Totale	Si
278.9	SLE RA 3	-0.066	557.7	8442.9	250	Totale	Si
278.9	SLE RA 4	-0.066	557.7	8442.9	250	Totale	Si
278.9	SLE RA 5	-0.066	557.7	8442.9	250	Totale	Si
539.1	SLE RA 2	0	557.7	10000	350	Variabile	Si
371.8	SLE RA 3	0	557.7	10000	350	Variabile	Si
371.8	SLE RA 4	0	557.7	10000	350	Variabile	Si
371.8	SLE RA 5	0	557.7	10000	350	Variabile	Si

**Superelemento in acciaio composto dall'asta 72****Caratteristiche del materiale**

Acciaio: S275, fyk = 2750

**Caratteristiche geometriche**

Lunghezza: 561.6

Nodo iniziale: 20 Nodo finale: 207

Cerniera iniziale: Svincolo: M2, M3 Cerniera finale: Svincolo: M2, M3

Sovreresistenza: 0% Sisma Z: No

**Caratteristiche della sezione**

Sezione	Rotazione	Area	Jx	Jy	ix	iy	Wx	Wy	Wplx	Wply
EN10219 168,3x8	0	40.29	1297.27	1297.27	5.67	5.67	154.16	154.16	205.74	205.74

**Verifiche di resistenza****Verifiche a forza assiale §4.2.4.1.2.1 - §4.2.4.1.2.2 NTC18**

X	Comb.	Sfruttamento	Classe	NEd	Nc,Rd	Nt,Rd	Riduzione da taglio	px	py	Verifica
0	SLV 1	0.43	1	-45328.4	105515.6		1	0	0	Si

**Verifiche a forza assiale SLD §4.2.4.1.2.1 - §4.2.4.1.2.2 NTC18**

X	Comb.	Sfruttamento	Classe	NEd	Nc,Rd	Nt,Rd	Riduzione da taglio	px	py	Verifica
0	SLD 1	0.189	1	-19945.5	105515.6		1	0	0	Si

**Verifica a taglio Y §4.2.4.1.2.4 NTC18**

X	Comb.	Sfruttamento	VEd	Vc,Rd	Av	Interazione taglio-torsione	Riduzione torsione	Verifica
0	SLV 19	0.002	61.6	38716.2	25.65	Considerata	1	Si

**Verifica a taglio Y SLD §4.2.4.1.2.4 NTC18**

X	Comb.	Sfruttamento	VEd	Vc,Rd	Av	Interazione taglio-torsione	Riduzione torsione	Verifica
0	SLD 4	0.001	47.4	38716.8	25.65	Considerata	1	Si

**Verifica a torsione §4.2.4.1.2.5 NTC18**

X	Comb.	Sfruttamento torsione	TEd	TRd	Riduzione taglio resistente	Sfruttamento taglio-torsione	rEd,totale	rRd	Verifica
561.6	SLV 4	0.003	-1322.6	488269.6	Considerata				Si

**Verifica a torsione SLD §4.2.4.1.2.5 NTC18**

X	Comb.	Sfruttamento torsione	TEd	TRd	Riduzione taglio resistente	Sfruttamento taglio-torsione	rEd,totale	rRd	Verifica
542.9	SLD 4	0.002	-828	488269.6	Considerata				Si

**Verifica a presso/tenso flessione retta X §§ 4.2.4.1.2.3 - 4.2.4.1.2.6 - 4.2.4.1.2.7 - 4.2.4.1.2.8 NTC18**

Verifiche eseguite utilizzando la formula conservativa (6.2) §6.2.1 EN 1993-1-1:2005.

X	Comb.	Sfruttamento	Classe	NEd	NRd	Rid. NRd da VEd	Mx,Ed	Mx,Rd	Rid. Mx,Rd da VEd	Rid. Mx,Rd da NEd	px	py	Verifica
280.8	SLV 1	0.441	1	-45253.3	105515.6	1	-6651	538841	1		0	0	Si

**Verifica a presso/tenso flessione retta X SLD §§ 4.2.4.1.2.3 - 4.2.4.1.2.6 - 4.2.4.1.2.7 - 4.2.4.1.2.8 NTC18**

Verifiche eseguite utilizzando la formula conservativa (6.2) §6.2.1 EN 1993-1-1:2005.

X	Comb.	Sfruttamento	Classe	NEd	NRd	Rid. NRd da VEd	Mx,Ed	Mx,Rd	Rid. Mx,Rd da VEd	Rid. Mx,Rd da NEd	px	py	Verifica
280.8	SLD 2	0.201	1	-19870.4	105515.6	1	-6651	538841	1		0	0	Si

**Verifiche ad instabilità****Caratteristiche iniziali**

Membratura principale per controllo snellezza; Calcolo di snellezze ed N critici condotti secondo gli assi principali;

Curva X: c; Curva Y: c;

Svergolamento: Nessuno; la verifica a instabilità flesso-torsionale (svergolamento) non verrà eseguita.

**Dati per instabilità attorno a x**

Numero rit.	Presente	Ascissa	Campata	$\beta x/m$	Vincolo a entrambi estremi	$\lambda x/m$	$\lambda Ver$
1	Si	0					
			1-2	0.7	Si	69.3	Si, (<200)
2	Si	561.6					

**Dati per instabilità attorno a y**

Numero rit.	Presente	Ascissa	Campata	$\beta y/n$	k,LT	kw,LT	Vincolo a entrambi estremi
1	Si	0					
			1-2	0.7	Si	69.3	Si, (<200)
2	Si	561.6					

Verifica di stabilità per pressoflessione §C.4.2.4.1.3.3.2 NTC18

X	Comb.	Sfruttamento	Classe	NEd	NRk	Mx,Ed max	Mx,Rk	My,Ed max	My,Rk	χ,x	χ,y	kxx	kxy	kyy	χ,LT	Verifica
0	SLV 2	0.664	1	-45328.4	110791.4	6651	565783.3	0	565783.3	0.663	0.663	1.318	0.499	0.791	0.832	Si

Verifica di stabilità per pressoflessione SLD §C.4.2.4.1.3.3.2 NTC18

X	Comb.	Sfruttamento	Classe	NEd	NRk	Mx,Ed max	Mx,Rk	My,Ed max	My,Rk	χ,x	χ,y	kxx	kxy	kyy	χ,LT	Verifica
0	SLD 1	0.299	1	-19945.5	110791.4	6651	565783.3	0	565783.3	0.663	0.663	1.112	0.421	0.667	0.702	Si

Verifiche a deformabilità

Mensola X: No; Mensola Y: No.

Frecce lungo X

Ascissa freccia	Combinazione	Freccia	Luce	L/f	L/f,min	Tipo	Verifica
524.1	SLE RA 1	0	561.6	10000	250	Totale	Si
524.1	SLE RA 2	0	561.6	10000	250	Totale	Si
524.1	SLE RA 3	0	561.6	10000	250	Totale	Si
524.1	SLE RA 4	0	561.6	10000	250	Totale	Si
524.1	SLE RA 5	0	561.6	10000	250	Totale	Si
468	SLE RA 2	0	561.6	10000	350	Variabile	Si
505.4	SLE RA 3	0	561.6	10000	350	Variabile	Si
505.4	SLE RA 4	0	561.6	10000	350	Variabile	Si
505.4	SLE RA 5	0	561.6	10000	350	Variabile	Si

Frecce lungo Y

Ascissa freccia	Combinazione	Freccia	Luce	L/f	L/f,min	Tipo	Verifica
280.8	SLE RA 1	-0.08	561.6	6976.9	250	Totale	Si
280.8	SLE RA 2	-0.08	561.6	6976.9	250	Totale	Si
280.8	SLE RA 3	-0.08	561.6	6976.9	250	Totale	Si
280.8	SLE RA 4	-0.08	561.6	6976.9	250	Totale	Si
280.8	SLE RA 5	-0.08	561.6	6976.9	250	Totale	Si
542.9	SLE RA 2	0	561.6	10000	350	Variabile	Si
505.4	SLE RA 3	0	561.6	10000	350	Variabile	Si
505.4	SLE RA 4	0	561.6	10000	350	Variabile	Si
505.4	SLE RA 5	0	561.6	10000	350	Variabile	Si

Superelemento in acciaio composto dall'asta 73

Caratteristiche del materiale

Acciaio: S275, fyk = 2750

Caratteristiche geometriche

Lunghezza: 590

Nodo iniziale: 29 Nodo finale: 300

Cerniera iniziale: Svincolo: M2, M3 Cerniera finale: Svincolo: M2, M3

Sovreresistenza: 0% Sisma Z: No

Caratteristiche della sezione

Sezione	Rotazione	Area	Jx	Jy	ix	iy	Wx	Wy	Wplx	Wply
EN10219 168, 3x8	0	40.29	1297.27	1297.27	5.67	5.67	154.16	154.16	205.74	205.74

Verifiche di resistenza

Verifiche a forza assiale §4.2.4.1.2.1 - §4.2.4.1.2.2 NTC18

X	Comb.	Sfruttamento	Classe	NEd	Nc,Rd	Nt,Rd	Riduzione da taglio	px	py	Verifica
0	SLV 10	0.412	1	-43431.9	105515.6		1	0	0	Si

Verifiche a forza assiale SLD §4.2.4.1.2.1 - §4.2.4.1.2.2 NTC18

X	Comb.	Sfruttamento	Classe	NEd	Nc,Rd	Nt,Rd	Riduzione da taglio	px	py	Verifica
0	SLD 9	0.189	1	-19940.4	105515.6		1	0	0	Si

Verifica a taglio Y §4.2.4.1.2.4 NTC18

X	Comb.	Sfruttamento	VEd	Vc,Rd	Av	Interazione taglio-torsione	Riduzione torsione	Verifica
0	SLU 12	0.002	71.9	38782.5	25.65	Considerata	1	Si

Verifica a taglio Y SLD §4.2.4.1.2.4 NTC18

X	Comb.	Sfruttamento	VEd	Vc,Rd	Av	Interazione taglio-torsione	Riduzione torsione	Verifica
590	SLD 3	0.001	-55.3	38755.9	25.65	Considerata	1	Si

Verifica a torsione §4.2.4.1.2.5 NTC18

X	Comb.	Sfruttamento torsione	TEd	TRd	Riduzione taglio resistente	Sfruttamento taglio-torsione	τEd,totale	τRd	Verifica
590	SLV 4	0.002	-781.8	488269.6	Considerata				Si

Verifica a torsione SLD §4.2.4.1.2.5 NTC18

X	Comb.	Sfruttamento torsione	TEd	TRd	Riduzione taglio resistente	Sfruttamento taglio-torsione	τEd,totale	τRd	Verifica
0	SLD 3	0.001	-334.9	488269.6	Considerata				Si

Verifica a presso/tenso flessione retta X §§ 4.2.4.1.2.3 - 4.2.4.1.2.6 - 4.2.4.1.2.7 - 4.2.4.1.2.8 NTC18

Verifiche eseguite utilizzando la formula conservativa (6.2) §6.2.1 EN 1993-1-1:2005.

X	Comb.	Sfruttamento	Classe	NEd	NRd	Rid. NRd da VEd	Mx,Ed	Mx,Rd	Rid. Mx,Rd da VEd	Rid. Mx,Rd da NEd	px	py	Verifica
295	SLV 9	0.426	1	-43356.8	105515.6	1	-8162	538841	1		0	0	Si

Verifica a presso/tenso flessione retta X SLD §§ 4.2.4.1.2.3 - 4.2.4.1.2.6 - 4.2.4.1.2.7 - 4.2.4.1.2.8 NTC18

Verifiche eseguite utilizzando la formula conservativa (6.2) §6.2.1 EN 1993-1-1:2005.

X	Comb.	Sfruttamento	Classe	NEd	NRd	Rid. NRd da VEd	Mx,Ed	Mx,Rd	Rid. Mx,Rd da VEd	Rid. Mx,Rd da NEd	px	py	Verifica
295	SLD 10	0.203	1	-19865.3	105515.6	1	-8162	538841	1		0	0	Si

Verifiche ad instabilità

Caratteristiche iniziali

Membratura principale per controllo snellezza; Calcolo di snellezze ed N critici condotti secondo gli assi principali;  
Curva X: c; Curva Y: c;  
Svergolamento: Nessuno; la verifica a instabilità flesso-torsionale (svergolamento) non verrà eseguita.

Dati per instabilità attorno a x

Numero rit.	Presente	Ascissa	Campata	βx/m	Vincolo a entrambi estremi	λx/m	λVer
1	Si	0					
			1-2	0.7	Si	72.8	Si, (<200)
2	Si	590					

Dati per instabilità attorno a y

Numero rit.	Presente	Ascissa	Campata	βy/n	k,LT	kw,LT	Vincolo a entrambi estremi
1	Si	0					
			1-2	0.7	Si	72.8	Si, (<200)
2	Si	590					

Verifica di stabilità per pressoflessione §C.4.2.4.1.3.3.2 NTC18

X	Comb.	Sfruttamento	Classe	NEd	NRk	Mx,Ed max	Mx,Rk	My,Ed max	My,Rk	χ,x	χ,y	kxx	kxy	kyy	χ,LT	Verifica
0	SLV 9	0.665	1	-43431.9	110791.4	8161.8	565783.3	0	565783.3	0.638	0.638	1.341	0.508	0.805	0.847	Si

Verifica di stabilità per pressoflessione SLD §C.4.2.4.1.3.3.2 NTC18

X	Comb.	Sfruttamento	Classe	NEd	NRk	Mx,Ed max	Mx,Rk	My,Ed max	My,Rk	χ,x	χ,y	kxx	kxy	kyy	χ,LT	Verifica
0	SLD 10	0.313	1	-19940.4	110791.4	8161.8	565783.3	0	565783.3	0.638	0.638	1.13	0.428	0.678	0.713	Si

Verifiche a deformabilità

Mensola X: No; Mensola Y: No.

Frecce lungo X

Ascissa freccia	Combinazione	Freccia	Luce	L/f	L/f,min	Tipo	Verifica
511.3	SLE RA 1	0	590	10000	250	Totale	Si
511.3	SLE RA 2	0	590	10000	250	Totale	Si
511.3	SLE RA 3	0	590	10000	250	Totale	Si
511.3	SLE RA 4	0	590	10000	250	Totale	Si
511.3	SLE RA 5	0	590	10000	250	Totale	Si
393.3	SLE RA 2	0	590	10000	350	Variabile	Si
393.3	SLE RA 3	0	590	10000	350	Variabile	Si
393.3	SLE RA 4	0	590	10000	350	Variabile	Si
393.3	SLE RA 5	0	590	10000	350	Variabile	Si

Frecce lungo Y

Ascissa freccia	Combinazione	Freccia	Luce	L/f	L/f,min	Tipo	Verifica
295	SLE RA 1	-0.109	590	5414.5	250	Totale	Si
295	SLE RA 2	-0.109	590	5414.5	250	Totale	Si
295	SLE RA 3	-0.109	590	5414.5	250	Totale	Si
295	SLE RA 4	-0.109	590	5414.5	250	Totale	Si
295	SLE RA 5	-0.109	590	5414.5	250	Totale	Si
452.3	SLE RA 2	0	590	10000	350	Variabile	Si
550.7	SLE RA 3	0	590	10000	350	Variabile	Si
550.7	SLE RA 4	0	590	10000	350	Variabile	Si
550.7	SLE RA 5	0	590	10000	350	Variabile	Si

Superelemento in acciaio composto dall'asta 74

Caratteristiche del materiale

Acciaio: S275, fyk = 2750

Caratteristiche geometriche

Lunghezza: 575.3  
Nodo iniziale: 41 Nodo finale: 392  
Cerniera iniziale: Svincolo: M2, M3 Cerniera finale: Svincolo: M2, M3  
Sovreresistenza: 0% Sisma Z: No

Caratteristiche della sezione

Sezione	Rotazione	Area	Jx	Jy	ix	iy	Wx	Wy	Wplx	Wply
EN10219 160x160x8	0	46.44	1741.23	1741.23	6.12	6.12	217.65	217.65	260.14	260.14

Verifiche di resistenza

Verifiche a forza assiale §4.2.4.1.2.1 - §4.2.4.1.2.2 NTC18

X	Comb.	Sfruttamento	Classe	NEd	Nc,Rd	Nt,Rd	Riduzione da taglio	px	py	Verifica
0	SLV 10	0.383	1	-46551.1	121635.1		1	0	0	Si

Verifiche a forza assiale SLD §4.2.4.1.2.1 - §4.2.4.1.2.2 NTC18

X	Comb.	Sfruttamento	Classe	NEd	Nc,Rd	Nt,Rd	Riduzione da taglio	px	py	Verifica
0	SLD 9	0.168	1	-20495.1	121635.1		1	0	0	Si

Verifica a taglio Y §4.2.4.1.2.4 NTC18

X	Comb.	Sfruttamento	VEd	Vc,Rd	Av	Interazione taglio-torsione	Riduzione torsione	Verifica
0	SLU 14	0.002	76.9	35113	23.22	Considerata	1	Si

Verifica a taglio Y SLD §4.2.4.1.2.4 NTC18

X	Comb.	Sfruttamento	VEd	Vc,Rd	Av	Interazione taglio-torsione	Riduzione torsione	Verifica
0	SLD 1	0.002	59.2	35086.9	23.22	Considerata	1	Si

Verifica a torsione §4.2.4.1.2.5 NTC18

X	Comb.	Sfruttamento torsione	TEd	TRd	Riduzione taglio resistente	Sfruttamento taglio-torsione	τEd,totale	τRd	Verifica
0	SLV 1	0.002	-877.1	553655.2	Considerata				Si

Verifica a torsione SLD §4.2.4.1.2.5 NTC18

X	Comb.	Sfruttamento torsione	TEd	TRd	Riduzione taglio resistente	Sfruttamento taglio-torsione	τEd,totale	τRd	Verifica
0	SLD 1	0.001	-412	553655.2	Considerata				Si

Verifica a presso/tenso flessione retta X §§ 4.2.4.1.2.3 - 4.2.4.1.2.6 - 4.2.4.1.2.7 - 4.2.4.1.2.8 NTC18

Verifiche eseguite utilizzando la formula conservativa (6.2) §6.2.1 EN 1993-1-1:2005.

X	Comb.	Sfruttamento	Classe	NEd	NRd	Rid. NRd da VEd	Mx,Ed	Mx,Rd	Rid. Mx,Rd da VEd	Rid. Mx,Rd da NEd	px	py	Verifica
287.6	SLV 10	0.394	1	-46464.5	121635.1	1	-8507	681313	1		0	0	Si

Verifica a presso/tenso flessione retta X SLD §§ 4.2.4.1.2.3 - 4.2.4.1.2.6 - 4.2.4.1.2.7 - 4.2.4.1.2.8 NTC18

Verifiche eseguite utilizzando la formula conservativa (6.2) §6.2.1 EN 1993-1-1:2005.

X	Comb.	Sfruttamento	Classe	NEd	NRd	Rid. NRd da VEd	Mx,Ed	Mx,Rd	Rid. Mx,Rd da VEd	Rid. Mx,Rd da NEd	px	py	Verifica
287.6	SLD 9	0.18	1	-20408.5	121635.1	1	-8507	681313	1		0	0	Si

Verifiche ad instabilità

Caratteristiche iniziali

Membratura principale per controllo snellezza; Calcolo di snellezze ed N critici condotti secondo gli assi principali;

Curva X: c; Curva Y: c; Svergolamento: Carico all'estradosso; Curva svergolamento: d;

Dati per instabilità attorno a x

Numero rit.	Presente	Ascissa	Campata	βx/m	Vincolo a entrambi estremi	λx/m	λVer
1	Si	0					
			1-2	0.7	Si	65.8	Si, (<200)
2	Si	575.3					

Dati per instabilità attorno a y

Numero rit.	Presente	Ascissa	Campata	βy/n	k,LT	kw,LT	Vincolo a entrambi estremi	λy/n	λVer
1	Si	0							
			1-2	0.7	1	1	Si	65.8	Si, (<200)
2	Si	575.3							

Verifica a svergolamento con trazione SLD §4.2.4.1.3.2 NTC18 - §5.5.3 ENV 1993-1-1:1994

X	Comb.	Sfruttamento	Classe	Obblig.	NEd	Mx,Ed	Mx,Ed,Ed	Mb,Rd,x	χ,LT	λ adim. LT	L,LT	M,critico	Verifica
287.6	SLD 1	0.001	1	Si	2379.8	-8507	-699.8	680549.4	0.999	0.201	575.3	17633919.3	Si

Verifica di stabilità per pressoflessione §C.4.2.4.1.3.3.2 NTC18

X	Comb.	Sfruttamento	Classe	NEd	NRk	Mx,Ed max	Mx,Rk	My,Ed max	My,Rk	χ,x	χ,y	kxx	kxy	kyy	kyy	χ,LT	Verifica
0	SLV 10	0.571	1	-46551.1	127716.8	8507	715378.2	0	715378.2	0.689	0.689	1.244	0.472	0.94	0.786	0.999	Si

Verifica di stabilità per pressoflessione SLD §C.4.2.4.1.3.3.2 NTC18

X	Comb.	Sfruttamento	Classe	NEd	NRk	Mx,Ed max	Mx,Rk	My,Ed max	My,Rk	χ,x	χ,y	kxx	kxy	kyy	kyy	χ,LT	Verifica
0	SLD 10	0.258	1	-20495.1	127716.8	8507	715378.2	0	715378.2	0.689	0.689	1.08	0.409	0.974	0.682	0.999	Si

Verifica di stabilità a taglio anima Y §4.2.4.1.2.4 [4.2.27] NTC18

η	hw	tw	hw/tw max	Verifica
1.2	14.4	0.8	55.46	Si

Verifica di stabilità a taglio anima Y SLD §4.2.4.1.2.4 [4.2.27] NTC18

η	hw	tw	hw/tw max	Verifica
1.2	14.4	0.8	55.46	Si

Verifiche a deformabilità

Mensola X: No; Mensola Y: No.

Frecce lungo X

Ascissa freccia	Combinazione	Freccia	Luce	L/f	L/f,min	Tipo	Verifica
517.7	SLE RA 1	0	575.3	10000	250	Totale	Si
517.7	SLE RA 2	0	575.3	10000	250	Totale	Si
517.7	SLE RA 3	0	575.3	10000	250	Totale	Si
517.7	SLE RA 4	0	575.3	10000	250	Totale	Si
402.7	SLE RA 5	0	575.3	10000	250	Totale	Si
421.9	SLE RA 2	0	575.3	10000	350	Variabile	Si
402.7	SLE RA 3	0	575.3	10000	350	Variabile	Si
479.4	SLE RA 4	0	575.3	10000	350	Variabile	Si
479.4	SLE RA 5	0	575.3	10000	350	Variabile	Si

Frecce lungo Y

Ascissa freccia	Combinazione	Freccia	Luce	L/f	L/f,min	Tipo	Verifica
287.6	SLE RA 1	-0.08	575.3	7149.2	250	Totale	Si
287.6	SLE RA 2	-0.08	575.3	7149.2	250	Totale	Si
287.6	SLE RA 3	-0.08	575.3	7149.2	250	Totale	Si
287.6	SLE RA 4	-0.08	575.3	7149.2	250	Totale	Si
287.6	SLE RA 5	-0.08	575.3	7149.2	250	Totale	Si
556.1	SLE RA 2	0	575.3	10000	350	Variabile	Si
536.9	SLE RA 3	0	575.3	10000	350	Variabile	Si
536.9	SLE RA 4	0	575.3	10000	350	Variabile	Si
536.9	SLE RA 5	0	575.3	10000	350	Variabile	Si

**Superelemento in acciaio composto dall'asta 75****Caratteristiche del materiale**

Acciaio: S275, fyk = 2750

**Caratteristiche geometriche**

Lunghezza: 530

Nodo iniziale: 51 Nodo finale: 444

Cerniera iniziale: Svincolo: M2, M3 Cerniera finale: Svincolo: M2, M3

Sovreresistenza: 0% Sisma Z: No

**Caratteristiche della sezione**

Sezione	Rotazione	Area	Jx	Jy	ix	iy	Wx	Wy	Wplx	Wply
ENI0219 160x160x8	0	46.44	1741.23	1741.23	6.12	6.12	217.65	217.65	260.14	260.14

**Verifiche di resistenza****Verifiche a forza assiale §4.2.4.1.2.1 - §4.2.4.1.2.2 NTC18**

X	Comb.	Sfruttamento	Classe	NEd	Nc,Rd	Nt,Rd	Riduzione da taglio	px	py	Verifica
0	SLV 10	0.294	1	-35775.7	121635.1		1	0	0	Si

**Verifiche a forza assiale SLD §4.2.4.1.2.1 - §4.2.4.1.2.2 NTC18**

X	Comb.	Sfruttamento	Classe	NEd	Nc,Rd	Nt,Rd	Riduzione da taglio	px	py	Verifica
0	SLD 10	0.137	1	-16698.7	121635.1		1	0	0	Si

**Verifica a taglio Y §4.2.4.1.2.4 NTC18**

X	Comb.	Sfruttamento	VEd	Vc,Rd	Av	Interazione taglio-torsione	Riduzione torsione	Verifica
530	SLU 20	0.002	-55.7	35081.9	23.22	Considerata	1	Si

**Verifica a taglio Y SLD §4.2.4.1.2.4 NTC18**

X	Comb.	Sfruttamento	VEd	Vc,Rd	Av	Interazione taglio-torsione	Riduzione torsione	Verifica
530	SLD 16	0.001	-42.8	35064.5	23.22	Considerata	1	Si

**Verifica a torsione §4.2.4.1.2.5 NTC18**

X	Comb.	Sfruttamento torsione	TEd	TRd	Riduzione taglio resistente	Sfruttamento taglio-torsione	rEd,totale	rRd	Verifica
530	SLV 16	0.003	1461.1	553655.2	Considerata				Si

**Verifica a torsione SLD §4.2.4.1.2.5 NTC18**

X	Comb.	Sfruttamento torsione	TEd	TRd	Riduzione taglio resistente	Sfruttamento taglio-torsione	rEd,totale	rRd	Verifica
530	SLD 16	0.001	765.3	553655.2	Considerata				Si

**Verifica a presso/tenso flessione retta X §§ 4.2.4.1.2.3 - 4.2.4.1.2.6 - 4.2.4.1.2.7 - 4.2.4.1.2.8 NTC18**

Verifiche eseguite utilizzando la formula conservativa (6.2) §6.2.1 EN 1993-1-1:2005.

X	Comb.	Sfruttamento	Classe	NEd	NRd	Rid. NRd da VEd	Mx,Ed	Mx,Rd	Rid. Mx,Rd da VEd	Rid. Mx,Rd da NEd	px	py	Verifica
247.3	SLV 9	0.302	1	-35694.9	121635.1	1	-5650	681313	1		0	0	Si

**Verifica a presso/tenso flessione retta X SLD §§ 4.2.4.1.2.3 - 4.2.4.1.2.6 - 4.2.4.1.2.7 - 4.2.4.1.2.8 NTC18**

Verifiche eseguite utilizzando la formula conservativa (6.2) §6.2.1 EN 1993-1-1:2005.

X	Comb.	Sfruttamento	Classe	NEd	NRd	Rid. NRd da VEd	Mx,Ed	Mx,Rd	Rid. Mx,Rd da VEd	Rid. Mx,Rd da NEd	px	py	Verifica
247.3	SLD 10	0.145	1	-16617.9	121635.1	1	-5650	681313	1		0	0	Si

**Verifiche ad instabilità****Caratteristiche iniziali**

Membratura principale per controllo snellezza; Calcolo di snellezze ed N critici condotti secondo gli assi principali;

Curva X: c; Curva Y: c; Svergolamento: Carico all'estradosso; Curva svergolamento: d;

**Dati per instabilità attorno a x**

Numero rit.	Presente	Ascissa	Campata	βx/m	Vincolo a entrambi estremi	λx/m	λVer
1	Si	0					
2	Si	530	1-2	0.7	Si	60.6	Si, (<200)

**Dati per instabilità attorno a y**

Numero rit.	Presente	Ascissa	Campata	βy/n	k <sub>y</sub> LT	k <sub>w</sub> LT	Vincolo a entrambi estremi	λy/n	λVer
1	Si	0							
2	Si	530	1-2	0.7	1	1	Si	60.6	Si, (<200)

**Verifica a svergolamento con trazione SLD §4.2.4.1.3.2 NTC18 - §5.5.3 ENV 1993-1-1:1994**

X	Comb.	Sfruttamento	Classe	Obblig.	NEd	Mx,Ed	Mx,Ed,Ed	Mb,Rd,x	χ <sub>y</sub> LT	λ adim. LT	L <sub>y</sub> LT	M <sub>critico</sub>	Verifica
265	SLD 2	0.006	1	Si	399.1	-5675.4	-4366.1	681312.6	1	0.194	530	19100557.6	Si

**Verifica di stabilità per pressoflessione §C.4.2.4.1.3.3.2 NTC18**

X	Comb.	Sfruttamento	Classe	NEd	NRk	Mx,Ed max	Mx,Rk	My,Ed max	My,Rk	χ <sub>x</sub>	χ <sub>y</sub>	k <sub>xx</sub>	k <sub>xy</sub>	k <sub>yx</sub>	k <sub>yy</sub>	χ <sub>y</sub> LT	Verifica
0	SLV 9	0.415	1	-35775.7	127716.8	5675.4	715378.2	0	715378.2	0.726	0.726	1.142	0.433	0.96	0.721	1	Si

**Verifica di stabilità per pressoflessione SLD §C.4.2.4.1.3.3.2 NTC18**

X	Comb.	Sfruttamento	Classe	NEd	NRk	Mx,Ed max	Mx,Rk	My,Ed max	My,Rk	χ <sub>x</sub>	χ <sub>y</sub>	k <sub>xx</sub>	k <sub>xy</sub>	k <sub>yx</sub>	k <sub>yy</sub>	χ <sub>y</sub> LT	Verifica
0	SLD 10	0.198	1	-16698.7	127716.8	5675.4	715378.2	0	715378.2	0.726	0.726	1.039	0.394	0.981	0.656	1	Si

**Verifica di stabilità a taglio anima Y §4.2.4.1.2.4 [4.2.27] NTC18**

η	hw	tw	hw/tw max	Verifica
1.2	14.4	0.8	55.46	si

Verifica di stabilità a taglio anima Y SLD §4.2.4.1.2.4 [4.2.27] NTC18

n	hw	tw	hw/tw max	Verifica
1.2	14.4	0.8	55.46	Si

Verifiche a deformabilità

Mensola X: No; Mensola Y: No.

Frecce lungo X

Ascissa freccia	Combinazione	Freccia	Luce	L/f	L/f,min	Tipo	Verifica
494.6	SLE RA 1	0	530	10000	250	Totale	Si
494.6	SLE RA 2	0	530	10000	250	Totale	Si
494.6	SLE RA 3	0	530	10000	250	Totale	Si
512.3	SLE RA 4	0	530	10000	250	Totale	Si
512.3	SLE RA 5	0	530	10000	250	Totale	Si
441.6	SLE RA 2	0	530	10000	350	Variabile	Si
477	SLE RA 3	0	530	10000	350	Variabile	Si
477	SLE RA 4	0	530	10000	350	Variabile	Si
477	SLE RA 5	0	530	10000	350	Variabile	Si

Frecce lungo Y

Ascissa freccia	Combinazione	Freccia	Luce	L/f	L/f,min	Tipo	Verifica
265	SLE RA 1	-0.046	530	10000	250	Totale	Si
265	SLE RA 2	-0.046	530	10000	250	Totale	Si
265	SLE RA 3	-0.046	530	10000	250	Totale	Si
265	SLE RA 4	-0.046	530	10000	250	Totale	Si
265	SLE RA 5	-0.046	530	10000	250	Totale	Si
477	SLE RA 2	0	530	10000	350	Variabile	Si
335.6	SLE RA 3	0	530	10000	350	Variabile	Si
441.6	SLE RA 4	0	530	10000	350	Variabile	Si
335.6	SLE RA 5	0	530	10000	350	Variabile	Si

Superelemento in acciaio composto dall'asta 76

Caratteristiche del materiale

Acciaio: S275, fyk = 2750

Caratteristiche geometriche

Lunghezza: 540.9

Nodo iniziale: 43 Nodo finale: 372

Cerniera iniziale: Svincolo: M2, M3 Cerniera finale: Svincolo: M2, M3

Sovraresistenza: 0% Sisma Z: No

Caratteristiche della sezione

Sezione	Rotazione	Area	Jx	Jy	ix	iy	Wx	Wy	Wplx	Wply
EN10219 160x160x8	0	46.44	1741.23	1741.23	6.12	6.12	217.65	217.65	260.14	260.14

Verifiche di resistenza

Verifiche a forza assiale §4.2.4.1.2.1 - §4.2.4.1.2.2 NTC18

X	Comb.	Sfruttamento	Classe	NEd	Nc,Rd	Nt,Rd	Riduzione da taglio	px	py	Verifica
0	SLV 3	0.256	1	-31181.4	121635.1		1	0	0	Si

Verifiche a forza assiale SLD §4.2.4.1.2.1 - §4.2.4.1.2.2 NTC18

X	Comb.	Sfruttamento	Classe	NEd	Nc,Rd	Nt,Rd	Riduzione da taglio	px	py	Verifica
0	SLD 4	0.118	1	-14314.5	121635.1		1	0	0	Si

Verifica a taglio Y §4.2.4.1.2.4 NTC18

X	Comb.	Sfruttamento	VEd	Vc,Rd	Av	Interazione taglio-torsione	Riduzione torsione	Verifica
0	SLU 20	0.002	61.3	35113	23.22	Considerata	1	Si

Verifica a taglio Y SLD §4.2.4.1.2.4 NTC18

X	Comb.	Sfruttamento	VEd	Vc,Rd	Av	Interazione taglio-torsione	Riduzione torsione	Verifica
540.9	SLD 3	0.001	-47.2	35070.3	23.22	Considerata	1	Si

Verifica a torsione §4.2.4.1.2.5 NTC18

X	Comb.	Sfruttamento torsione	TEd	TRd	Riduzione taglio resistente	Sfruttamento taglio-torsione	rEd,totale	rRd	Verifica
540.9	SLV 4	0.003	-1527.5	553655.2	Considerata				Si

Verifica a torsione SLD §4.2.4.1.2.5 NTC18

X	Comb.	Sfruttamento torsione	TEd	TRd	Riduzione taglio resistente	Sfruttamento taglio-torsione	rEd,totale	rRd	Verifica
522.9	SLD 3	0.001	-673.4	553655.2	Considerata				Si

Verifica a presso/tenso flessione retta X §§ 4.2.4.1.2.3 - 4.2.4.1.2.6 - 4.2.4.1.2.7 - 4.2.4.1.2.8 NTC18

Verifiche eseguite utilizzando la formula conservativa (6.2) §6.2.1 EN 1993-1-1:2005.

X	Comb.	Sfruttamento	Classe	NEd	NRd	Rid. NRd da VEd	Mx,Ed	Mx,Rd	Rid. Mx,Rd da VEd	Rid. Mx,Rd da NEd	px	py	Verifica
252.4	SLV 4	0.265	1	-31100.6	121635.1	1	-6350	681313	1		0	0	Si

Verifica a presso/tenso flessione retta X SLD §§ 4.2.4.1.2.3 - 4.2.4.1.2.6 - 4.2.4.1.2.7 - 4.2.4.1.2.8 NTC18

Verifiche eseguite utilizzando la formula conservativa (6.2) §6.2.1 EN 1993-1-1:2005.

X	Comb.	Sfruttamento	Classe	NEd	NRd	Rid. NRd da VEd	Mx,Ed	Mx,Rd	Rid. Mx,Rd da VEd	Rid. Mx,Rd da NEd	px	py	Verifica
252.4	SLD 3	0.126	1	-14233.7	121635.1	1	-6350	681313	1		0	0	Si

Verifiche ad instabilità

Caratteristiche iniziali

Membratura principale per controllo snellezza; Calcolo di snellezze ed N critici condotti secondo gli assi principali;

Curva X: c; Curva Y: c; Svergolamento: Carico all'estradosso; Curva svergolamento: d;

Dati per instabilità attorno a x

Numero rit.	Presente	Ascissa	Campata	$\beta x/m$	Vincolo a entrambi estremi	$\lambda x/m$	$\lambda Ver$
1	Si	0					
			1-2	0.7	Si	61.8	Si, (<200)
2	Si	540.9					

Dati per instabilità attorno a y

Numero rit.	Presente	Ascissa	Campata	$\beta y/n$	$k,LT$	$k w,LT$	Vincolo a entrambi estremi	$\lambda y/n$	$\lambda Ver$
1	Si	0							
			1-2	0.7	1	1	Si	61.8	Si, (<200)
2	Si	540.9							

Verifica a svergolamento con trazione SLD §4.2.4.1.3.2 NTC18 - §5.5.3 ENV 1993-1-1:1994

X	Comb.	Sfruttamento	Classe	Obblig.	NEd	Mx,Ed	Mx,Eff,Ed	Mb,Rd,x	$\chi,LT$	$\lambda$ adim. LT	L,LT	M,critico	Verifica
270.5	SLD 6	0.004	1	Si	1026.7	-6378.2	-3010.1	681312.6	1	0.195	540.9	18724174.5	Si

Verifica di stabilità per pressoflessione §C.4.2.4.1.3.3.2 NTC18

X	Comb.	Sfruttamento	Classe	NEd	NRk	Mx,Ed max	Mx,Rk	My,Ed max	My,Rk	$\chi,x$	$\chi,y$	kxx	kxy	kyy	$\chi,LT$	Verifica
0	SLV 3	0.368	1	-	127716.8	6378.2	715378.2	0	715378.2	0.717	0.717	1.124	0.426	0.964	0.71	Si
				31181.4												

Verifica di stabilità per pressoflessione SLD §C.4.2.4.1.3.3.2 NTC18

X	Comb.	Sfruttamento	Classe	NEd	NRk	Mx,Ed max	Mx,Rk	My,Ed max	My,Rk	$\chi,x$	$\chi,y$	kxx	kxy	kyy	$\chi,LT$	Verifica
0	SLD 4	0.174	1	-	127716.8	6378.2	715378.2	0	715378.2	0.717	0.717	1.03	0.39	0.983	0.65	Si
				14314.5												

Verifica di stabilità a taglio anima Y §4.2.4.1.2.4 [4.2.27] NTC18

$\eta$	hw	tw	hw/tw max	Verifica
1.2	14.4	0.8	55.46	Si

Verifica di stabilità a taglio anima Y SLD §4.2.4.1.2.4 [4.2.27] NTC18

$\eta$	hw	tw	hw/tw max	Verifica
1.2	14.4	0.8	55.46	Si

Verifiche a deformabilità

Mensola X: No; Mensola Y: No.

Frecce lungo X

Ascissa freccia	Combinazione	Freccia	Luce	L/f	L/f,min	Tipo	Verifica
504.8	SLE RA 1	0	540.9	10000	250	Totale	Si
432.7	SLE RA 2	0	540.9	10000	250	Totale	Si
450.8	SLE RA 3	0	540.9	10000	250	Totale	Si
450.8	SLE RA 4	0	540.9	10000	250	Totale	Si
450.8	SLE RA 5	0	540.9	10000	250	Totale	Si
432.7	SLE RA 2	0	540.9	10000	350	Variabile	Si
450.8	SLE RA 3	0	540.9	10000	350	Variabile	Si
504.8	SLE RA 4	0	540.9	10000	350	Variabile	Si
450.8	SLE RA 5	0	540.9	10000	350	Variabile	Si

Frecce lungo Y

Ascissa freccia	Combinazione	Freccia	Luce	L/f	L/f,min	Tipo	Verifica
270.5	SLE RA 1	-0.053	540.9	10000	250	Totale	Si
270.5	SLE RA 2	-0.053	540.9	10000	250	Totale	Si
270.5	SLE RA 3	-0.053	540.9	10000	250	Totale	Si
270.5	SLE RA 4	-0.053	540.9	10000	250	Totale	Si
270.5	SLE RA 5	-0.053	540.9	10000	250	Totale	Si
486.8	SLE RA 2	0	540.9	10000	350	Variabile	Si
486.8	SLE RA 3	0	540.9	10000	350	Variabile	Si
522.9	SLE RA 4	0	540.9	10000	350	Variabile	Si
522.9	SLE RA 5	0	540.9	10000	350	Variabile	Si

Superelemento in acciaio composto dall'asta 77

Caratteristiche del materiale

Acciaio: S275, fyk = 2750

Caratteristiche geometriche

Lunghezza: 520.2

Nodo iniziale: 46 Nodo finale: 373

Cerniera iniziale: Svincolo: M2, M3 Cerniera finale: Svincolo: M2, M3

Sovreresistenza: 0% Sisma Z: No

Caratteristiche della sezione

Sezione	Rotazione	Area	Jx	Jy	ix	iy	Wx	Wy	Wplx	Wply
EN10219 160x160x8	0	46.44	1741.23	1741.23	6.12	6.12	217.65	217.65	260.14	260.14

Verifiche di resistenza

Verifiche a forza assiale §4.2.4.1.2.1 - §4.2.4.1.2.2 NTC18

X	Comb.	Sfruttamento	Classe	NEd	Nc,Rd	Nt,Rd	Riduzione da taglio	px	py	Verifica
0	SLV 8	0.29	1	-35241.8	121635.1		1	0	0	Si

Verifiche a forza assiale SLD §4.2.4.1.2.1 - §4.2.4.1.2.2 NTC18

X	Comb.	Sfruttamento	Classe	NEd	Nc,Rd	Nt,Rd	Riduzione da taglio	px	py	Verifica
0	SLD 8	0.128	1	-15518.6	121635.1		1	0	0	Si

Verifica a taglio Y §4.2.4.1.2.4 NTC18

X	Comb.	Sfruttamento	VEd	Vc,Rd	Av	Interazione taglio-torsione	Riduzione torsione	Verifica
0	SLU 11	0.001	50.2	35084.4	23.22	Considerata	1	Si

Verifica a taglio Y SLD §4.2.4.1.2.4 NTC18

X	Comb.	Sfruttamento	VEd	Vc,Rd	Av	Interazione taglio-torsione	Riduzione torsione	Verifica
520.2	SLD 4	0.001	-38.6	35051.5	23.22	Considerata	1	Si

Verifica a torsione §4.2.4.1.2.5 NTC18

X	Comb.	Sfruttamento torsione	TEd	TRd	Riduzione taglio resistente	Sfruttamento taglio-torsione	τEd,totale	τRd	Verifica
0	SLV 4	0.003	1871.8	553655.2	Considerata				Si

Verifica a torsione SLD §4.2.4.1.2.5 NTC18

X	Comb.	Sfruttamento torsione	TEd	TRd	Riduzione taglio resistente	Sfruttamento taglio-torsione	τEd,totale	τRd	Verifica
520.2	SLD 4	0.002	969.7	553655.2	Considerata				Si

Verifica a presso/flessione retta X §§ 4.2.4.1.2.3 - 4.2.4.1.2.6 - 4.2.4.1.2.7 - 4.2.4.1.2.8 NTC18

Verifiche eseguite utilizzando la formula conservativa (6.2) §6.2.1 EN 1993-1-1:2005.

X	Comb.	Sfruttamento	Classe	NEd	NRd	Rid. NRd da VEd	Mx,Ed	Mx,Rd	Rid. Mx,Rd da VEd	Rid. Mx,Rd da NEd	px	py	Verifica
242.7	SLV 7	0.296	1	-35161	121635.1	1	-5003	681313	1		0	0	Si

Verifica a presso/tenso flessione retta X SLD §§ 4.2.4.1.2.3 - 4.2.4.1.2.6 - 4.2.4.1.2.7 - 4.2.4.1.2.8 NTC18

Verifiche eseguite utilizzando la formula conservativa (6.2) §6.2.1 EN 1993-1-1:2005.

X	Comb.	Sfruttamento	Classe	NEd	NRd	Rid. NRd da VEd	Mx,Ed	Mx,Rd	Rid. Mx,Rd da VEd	Rid. Mx,Rd da NEd	px	py	Verifica
242.7	SLD 7	0.134	1	-15437.8	121635.1	1	-5003	681313	1		0	0	Si

Verifiche ad instabilità

Caratteristiche iniziali

Membratura principale per controllo snellezza; Calcolo di snellezze ed N critici condotti secondo gli assi principali;

Curva X: c; Curva Y: c; Svergolamento: Carico all'estradosso; Curva svergolamento: d;

Dati per instabilità attorno a x

Numero rit.	Presente	Ascissa	Campata	βx/m	Vincolo a entrambi estremi	λx/m	λVer
1	Si	0					
			1-2	0.7	Si	59.5	Si, (<200)
2	Si	520.2					

Dati per instabilità attorno a y

Numero rit.	Presente	Ascissa	Campata	βy/n	k,LT	kw,LT	Vincolo a entrambi estremi	λy/n	λVer
1	Si	0							
			1-2	0.7	1	1	Si	59.5	Si, (<200)
2	Si	520.2							

Verifica di stabilità per pressoflessione §C.4.2.4.1.3.3.2 NTC18

X	Comb.	Sfruttamento	Classe	NEd	NRk	Mx,Ed max	Mx,Rk	My,Ed max	My,Rk	χ,x	χ,y	kxx	kxy	kyy	χ,LT	Verifica	
0	SLV 8	0.403	1	-	127716.8	5025.4	715378.2	0	715378.2	0.734	0.734	1.132	0.429	0.961	0.715	1	Si
				35241.8													

Verifica di stabilità per pressoflessione SLD §C.4.2.4.1.3.3.2 NTC18

X	Comb.	Sfruttamento	Classe	NEd	NRk	Mx,Ed max	Mx,Rk	My,Ed max	My,Rk	χ,x	χ,y	kxx	kxy	kyy	χ,LT	Verifica	
0	SLD 8	0.181	1	- 15518.6	127716.8	5025.4	715378.2	0	715378.2	0.734	0.734	1.03	0.39	0.983	0.651	1	Si

Verifica di stabilità a taglio anima Y §4.2.4.1.2.4 [4.2.27] NTC18

η	hw	tw	hw/tw max	Verifica
1.2	14.4	0.8	55.46	Si

Verifica di stabilità a taglio anima Y SLD §4.2.4.1.2.4 [4.2.27] NTC18

η	hw	tw	hw/tw max	Verifica
1.2	14.4	0.8	55.46	Si

Verifiche a deformabilità

Mensola X: No; Mensola Y: No.

Frecce lungo X

Ascissa freccia	Combinazione	Freccia	Luce	L/f	L/f,min	Tipo	Verifica
416.1	SLE RA 1	0	520.2	10000	250	Totale	Si
502.8	SLE RA 2	0	520.2	10000	250	Totale	Si
416.1	SLE RA 3	0	520.2	10000	250	Totale	Si
416.1	SLE RA 4	0	520.2	10000	250	Totale	Si
416.1	SLE RA 5	0	520.2	10000	250	Totale	Si
485.5	SLE RA 2	0	520.2	10000	350	Variabile	Si
433.5	SLE RA 3	0	520.2	10000	350	Variabile	Si
433.5	SLE RA 4	0	520.2	10000	350	Variabile	Si
433.5	SLE RA 5	0	520.2	10000	350	Variabile	Si

Frecce lungo Y

Ascissa freccia	Combinazione	Freccia	Luce	L/f	L/f,min	Tipo	Verifica
260.1	SLE RA 1	-0.039	520.2	10000	250	Totale	Si
260.1	SLE RA 2	-0.039	520.2	10000	250	Totale	Si
260.1	SLE RA 3	-0.039	520.2	10000	250	Totale	Si
260.1	SLE RA 4	-0.039	520.2	10000	250	Totale	Si
260.1	SLE RA 5	-0.039	520.2	10000	250	Totale	Si
433.5	SLE RA 2	0	520.2	10000	350	Variabile	Si
433.5	SLE RA 3	0	520.2	10000	350	Variabile	Si
450.8	SLE RA 4	0	520.2	10000	350	Variabile	Si
450.8	SLE RA 5	0	520.2	10000	350	Variabile	Si

Superelemento in acciaio composto dall'asta 353

Caratteristiche del materiale

Acciaio: S275, fyk = 2750



**Caratteristiche geometriche**

Lunghezza: 607  
 Nodo iniziale: 43 Nodo finale: 398  
 Cerniera iniziale: No Cerniera finale: No  
 Sovraresistenza: 0% Sisma Z: No

**Caratteristiche della sezione**

Sezione	Rotazione	Area	Jx	Jy	ix	iy	Wx	Wy	Wplx	Wply
ENI0219 160x160x8	0	46.44	1741.23	1741.23	6.12	6.12	217.65	217.65	260.14	260.14

**Verifiche di resistenza****Verifiche a forza assiale §4.2.4.1.2.1 - §4.2.4.1.2.2 NTC18**

X	Comb.	Sfruttamento	Classe	NEd	Nc,Rd	Nt,Rd	Riduzione da taglio	px	py	Verifica
0	SLV 2	0.365	1	-44401.2	121635.1		1	0	0	Si

**Verifiche a forza assiale SLD §4.2.4.1.2.1 - §4.2.4.1.2.2 NTC18**

X	Comb.	Sfruttamento	Classe	NEd	Nc,Rd	Nt,Rd	Riduzione da taglio	px	py	Verifica
0	SLD 1	0.163	1	-19854	121635.1		1	0	0	Si

**Verifica a taglio X §4.2.4.1.2.4 NTC18**

X	Comb.	Sfruttamento	VEd	Vc,Rd	Av	Interazione taglio-torsione	Riduzione torsione	Verifica
607	SLV 3	0.002	56.8	34877.6	23.22	Considerata	0.99	Si

**Verifica a taglio X SLD §4.2.4.1.2.4 NTC18**

X	Comb.	Sfruttamento	VEd	Vc,Rd	Av	Interazione taglio-torsione	Riduzione torsione	Verifica
0	SLD 3	0.001	27.6	35028.4	23.22	Considerata	1	Si

**Verifica a taglio Y §4.2.4.1.2.4 NTC18**

X	Comb.	Sfruttamento	VEd	Vc,Rd	Av	Interazione taglio-torsione	Riduzione torsione	Verifica
0	SLU 20	0.003	101.3	35089	23.22	Considerata	1	Si

**Verifica a taglio Y SLD §4.2.4.1.2.4 NTC18**

X	Comb.	Sfruttamento	VEd	Vc,Rd	Av	Interazione taglio-torsione	Riduzione torsione	Verifica
0	SLD 7	0.002	86.4	35031.8	23.22	Considerata	1	Si

**Verifica a torsione §4.2.4.1.2.5 NTC18**

X	Comb.	Sfruttamento torsione	TEd	TRd	Riduzione taglio resistente	Sfruttamento taglio-torsione	τEd,totale	τRd	Verifica
0	SLV 14	0.008	4348.4	553655.2	Considerata				Si

**Verifica a torsione SLD §4.2.4.1.2.5 NTC18**

X	Comb.	Sfruttamento torsione	TEd	TRd	Riduzione taglio resistente	Sfruttamento taglio-torsione	τEd,totale	τRd	Verifica
0	SLD 14	0.004	1971.1	553655.2	Considerata				Si

**Verifica a presso/tenso flessione retta X §§ 4.2.4.1.2.3 - 4.2.4.1.2.6 - 4.2.4.1.2.7 - 4.2.4.1.2.8 NTC18**

Verifiche eseguite utilizzando la formula conservativa (6.2) §6.2.1 EN 1993-1-1:2005.

X	Comb.	Sfruttamento	Classe	NEd	NRd	Rid. NRd da VEd	Mx,Ed	Mx,Rd	Rid. Mx,Rd da VEd	Rid. Mx,Rd da NEd	px	py	Verifica
566.5	SLV 6	0.358	1	-43288.6	121635.1	1	-1396	681313	1		0	0	Si

**Verifica a presso/tenso flessione retta X SLD §§ 4.2.4.1.2.3 - 4.2.4.1.2.6 - 4.2.4.1.2.7 - 4.2.4.1.2.8 NTC18**

Verifiche eseguite utilizzando la formula conservativa (6.2) §6.2.1 EN 1993-1-1:2005.

X	Comb.	Sfruttamento	Classe	NEd	NRd	Rid. NRd da VEd	Mx,Ed	Mx,Rd	Rid. Mx,Rd da VEd	Rid. Mx,Rd da NEd	px	py	Verifica
344	SLD 1	0.173	1	-19755.9	121635.1	1	-6939	681313	1		0	0	Si

**Verifica a presso/tenso flessione retta Y §§ 4.2.4.1.2.3 - 4.2.4.1.2.6 - 4.2.4.1.2.7 - 4.2.4.1.2.8 NTC18**

Verifiche eseguite utilizzando la formula conservativa (6.2) §6.2.1 EN 1993-1-1:2005.

X	Comb.	Sfruttamento	Classe	NEd	NRd	Rid. NRd da VEd	My,Ed	My,Rd	Rid. My,Rd da VEd	Rid. My,Rd da NEd	px	py	Verifica
40.5	SLV 16	0.334	1	38840.1	121635.1	1	10270	681313	1		0	0	Si

**Verifica a presso/tenso flessione retta Y SLD §§ 4.2.4.1.2.3 - 4.2.4.1.2.6 - 4.2.4.1.2.7 - 4.2.4.1.2.8 NTC18**

Verifiche eseguite utilizzando la formula conservativa (6.2) §6.2.1 EN 1993-1-1:2005.

X	Comb.	Sfruttamento	Classe	NEd	NRd	Rid. NRd da VEd	My,Ed	My,Rd	Rid. My,Rd da VEd	Rid. My,Rd da NEd	px	py	Verifica
80.9	SLD 5	0.163	1	-19440.9	121635.1	1	2338	681313	1		0	0	Si

**Verifica a presso/tenso flessione deviata §§ 4.2.4.1.2.3 - 4.2.4.1.2.6 - 4.2.4.1.2.7 - 4.2.4.1.2.8 NTC18**

Verifiche eseguite utilizzando la formula conservativa (6.2) §6.2.1 EN 1993-1-1:2005.

X	Comb.	Sfruttamento	Classe	NEd	NRd	Rid. NRd da VEd	Mx,Ed	Mx,Rd	My,Ed	My,Rd	Rid. Mx,Rd da VEd	Rid. Mx,Rd da NEd	Rid. My,Rd da VEd	Rid. My,Rd da NEd	α	β	px	py	Verifica
0	SLV 2	0.408	1	-44401.2	121635.1	1	15054	681313	-14355	681313	1		1				0	0	Si

**Verifica a presso/tenso flessione deviata SLD §§ 4.2.4.1.2.3 - 4.2.4.1.2.6 - 4.2.4.1.2.7 - 4.2.4.1.2.8 NTC18**

Verifiche eseguite utilizzando la formula conservativa (6.2) §6.2.1 EN 1993-1-1:2005.

X	Comb.	Sfruttamento	Classe	NEd	NRd	Rid. NRd da VEd	Mx,Ed	Mx,Rd	My,Ed	My,Rd	Rid. Mx,Rd da VEd	Rid. Mx,Rd da NEd	Rid. My,Rd da VEd	Rid. My,Rd da NEd	α	β	px	py	Verifica
0	SLD 1	0.19	1	-19854	121635.1	1	11413	681313	-6824	681313	1		1				0	0	Si

**Verifiche ad instabilità****Caratteristiche iniziali**

Membratura principale per controllo snellezza; Calcolo di snellezza ed N critici condotti secondo gli assi principali;

Curva X: c; Curva Y: c; Svergolamento: Carico all'estradosso; Curva svergolamento: d;

**Dati per instabilità attorno a x**

Numero rit.	Presente	Ascissa	Campata	βx/m	Vincolo a entrambi estremi	λx/m	λVer
1	Si	0					

Numero rit.	Presente	Ascissa	Campata	$\beta x/m$	Vincolo a entrambi estremi	$\lambda x/m$	$\lambda Ver$
			1-2	0.7	Si	69.4	Si, (<200)
2	Si	607					

Dati per instabilità attorno a y

Numero rit.	Presente	Ascissa	Campata	$\beta y/n$	$k,LT$	$k_w,LT$	Vincolo a entrambi estremi	$\lambda y/n$	$\lambda Ver$
1	Si	0							
			1-2	0.7	1	1	Si	69.4	Si, (<200)
2	Si	607							

Verifica di stabilità per pressoflessione §C.4.2.4.1.3.3.2 NTC18

X	Comb.	Sfruttamento	Classe	NEd	NRk	$M_{x,Ed\ max}$	$M_{x,Rk}$	$M_{y,Ed\ max}$	$M_{y,Rk}$	$\chi_x$	$\chi_y$	kxx	kxy	kyy	$\chi_{LT}$	Verifica	
0	SLV 2	0.582	1	-	127716.8	15054.4	715378.2	14355.2	715378.2	0.663	0.663	0.94	0.319	0.904	0.532	0.995	Si

Verifica di stabilità per pressoflessione SLD §C.4.2.4.1.3.3.2 NTC18

X	Comb.	Sfruttamento	Classe	NEd	NRk	$M_{x,Ed\ max}$	$M_{x,Rk}$	$M_{y,Ed\ max}$	$M_{y,Rk}$	$\chi_x$	$\chi_y$	kxx	kxy	kyy	$\chi_{LT}$	Verifica	
0	SLD 1	0.267	1	-19854	127716.8	11413.4	715378.2	6823.5	715378.2	0.663	0.663	0.687	0.275	0.944	0.459	0.995	Si

Verifica di stabilità a taglio anima X §4.2.4.1.2.4 [4.2.27] NTC18

$\eta$	hw	tw	hw/tw max	Verifica
1.2	14.4	0.8	55.46	Si

Verifica di stabilità a taglio anima X SLD §4.2.4.1.2.4 [4.2.27] NTC18

$\eta$	hw	tw	hw/tw max	Verifica
1.2	14.4	0.8	55.46	Si

Verifica di stabilità a taglio anima Y §4.2.4.1.2.4 [4.2.27] NTC18

$\eta$	hw	tw	hw/tw max	Verifica
1.2	14.4	0.8	55.46	Si

Verifica di stabilità a taglio anima Y SLD §4.2.4.1.2.4 [4.2.27] NTC18

$\eta$	hw	tw	hw/tw max	Verifica
1.2	14.4	0.8	55.46	Si

Verifiche a deformabilità

Mensola X: No; Mensola Y: No.

Frecce lungo X

Ascissa freccia	Combinazione	Freccia	Luce	L/f	L/f,min	Tipo	Verifica
404.7	SLE RA 1	-0.01	607	10000	250	Totale	Si
404.7	SLE RA 2	-0.01	607	10000	250	Totale	Si
404.7	SLE RA 3	-0.01	607	10000	250	Totale	Si
404.7	SLE RA 4	-0.01	607	10000	250	Totale	Si
404.7	SLE RA 5	-0.01	607	10000	250	Totale	Si
202.3	SLE RA 2	0	607	10000	350	Variabile	Si
303.5	SLE RA 3	0.001	607	10000	350	Variabile	Si
344	SLE RA 4	0.001	607	10000	350	Variabile	Si
323.7	SLE RA 5	0.001	607	10000	350	Variabile	Si

Frecce lungo Y

Ascissa freccia	Combinazione	Freccia	Luce	L/f	L/f,min	Tipo	Verifica
323.7	SLE RA 1	-0.031	607	10000	250	Totale	Si
323.7	SLE RA 2	-0.031	607	10000	250	Totale	Si
344	SLE RA 3	-0.031	607	10000	250	Totale	Si
344	SLE RA 4	-0.031	607	10000	250	Totale	Si
344	SLE RA 5	-0.031	607	10000	250	Totale	Si
263	SLE RA 2	0	607	10000	350	Variabile	Si
161.9	SLE RA 3	0	607	10000	350	Variabile	Si
465.4	SLE RA 4	0	607	10000	350	Variabile	Si
141.6	SLE RA 5	0	607	10000	350	Variabile	Si

Superelemento in acciaio composto dall'asta 354

Caratteristiche del materiale

Acciaio: S275, fyk = 2750

Caratteristiche geometriche

Lunghezza: 607

Nodo iniziale: 49

Nodo finale: 371

Cerniera iniziale: No

Cerniera finale: No

Sovraresistenza: 0%

Sisma Z: No

Caratteristiche della sezione

Sezione	Rotazione	Area	Jx	Jy	ix	iy	Wx	Wy	Wplx	Wply
EN10219 160x160x8	0	46.44	1741.23	1741.23	6.12	6.12	217.65	217.65	260.14	260.14

Verifiche di resistenza

Verifiche a forza assiale §4.2.4.1.2.1 - §4.2.4.1.2.2 NTC18

X	Comb.	Sfruttamento	Classe	NEd	$N_{c,Rd}$	$N_{t,Rd}$	Riduzione da taglio	px	py	Verifica
0	SLV 7	0.413	1	-50223.7	121635.1		1	0	0	Si

Verifiche a forza assiale SLD §4.2.4.1.2.1 - §4.2.4.1.2.2 NTC18

X	Comb.	Sfruttamento	Classe	NEd	$N_{c,Rd}$	$N_{t,Rd}$	Riduzione da taglio	px	py	Verifica
0	SLD 8	0.175	1	-21242.3	121635.1		1	0	0	Si

Verifica a taglio X §4.2.4.1.2.4 NTC18

X	Comb.	Sfruttamento	VEd	$V_{c,Rd}$	Av	Interazione taglio-torsione	Riduzione torsione	Verifica
607	SLV 3	0.001	-44	34877.1	23.22	Considerata	0.99	Si

**Verifica a taglio Y §4.2.4.1.2.4 NTC18**

X	Comb.	Sfruttamento	VEd	Vc,Rd	Av	Interazione taglio-torsione	Riduzione torsione	Verifica
0	SLV 5	0.003	119.2	34999.7	23.22	Considerata	1	Si

**Verifica a taglio Y SLD §4.2.4.1.2.4 NTC18**

X	Comb.	Sfruttamento	VEd	Vc,Rd	Av	Interazione taglio-torsione	Riduzione torsione	Verifica
0	SLD 6	0.003	98.4	35065.3	23.22	Considerata	1	Si

**Verifica a torsione §4.2.4.1.2.5 NTC18**

X	Comb.	Sfruttamento torsione	TEd	TRd	Riduzione taglio resistente	Sfruttamento taglio-torsione	rEd,totale	rRd	Verifica
0	SLV 14	0.007	-3789.7	553655.2	Considerata				Si

**Verifica a torsione SLD §4.2.4.1.2.5 NTC18**

X	Comb.	Sfruttamento torsione	TEd	TRd	Riduzione taglio resistente	Sfruttamento taglio-torsione	rEd,totale	rRd	Verifica
0	SLD 14	0.003	-1574.7	553655.2	Considerata				Si

**Verifica a presso/tenso flessione retta X §§ 4.2.4.1.2.3 - 4.2.4.1.2.6 - 4.2.4.1.2.7 - 4.2.4.1.2.8 NTC18**

Verifiche eseguite utilizzando la formula conservativa (6.2) §6.2.1 EN 1993-1-1:2005.

X	Comb.	Sfruttamento	Classe	NEd	NRd	Rid. NRd da VEd	Mx,Ed	Mx,Rd	Rid. Mx,Rd da VEd	Rid. Mx,Rd da NEd	px	py	Verifica
505.8	SLV 4	0.364	1	-43920.8	121635.1	1	-1831	681313	1		0	0	Si

**Verifica a presso/tenso flessione retta X SLD §§ 4.2.4.1.2.3 - 4.2.4.1.2.6 - 4.2.4.1.2.7 - 4.2.4.1.2.8 NTC18**

Verifiche eseguite utilizzando la formula conservativa (6.2) §6.2.1 EN 1993-1-1:2005.

X	Comb.	Sfruttamento	Classe	NEd	NRd	Rid. NRd da VEd	Mx,Ed	Mx,Rd	Rid. Mx,Rd da VEd	Rid. Mx,Rd da NEd	px	py	Verifica
485.6	SLD 9	0.164	1	19198	121635.1	1	-4188	681313	1		0	0	Si

**Verifica a presso/tenso flessione retta Y §§ 4.2.4.1.2.3 - 4.2.4.1.2.6 - 4.2.4.1.2.7 - 4.2.4.1.2.8 NTC18**

Verifiche eseguite utilizzando la formula conservativa (6.2) §6.2.1 EN 1993-1-1:2005.

X	Comb.	Sfruttamento	Classe	NEd	NRd	Rid. NRd da VEd	My,Ed	My,Rd	Rid. My,Rd da VEd	Rid. My,Rd da NEd	px	py	Verifica
0	SLV 8	0.443	1	-50223.7	121635.1	1	20750	681313	1		0	0	Si

**Verifica a presso/tenso flessione retta Y SLD §§ 4.2.4.1.2.3 - 4.2.4.1.2.6 - 4.2.4.1.2.7 - 4.2.4.1.2.8 NTC18**

Verifiche eseguite utilizzando la formula conservativa (6.2) §6.2.1 EN 1993-1-1:2005.

X	Comb.	Sfruttamento	Classe	NEd	NRd	Rid. NRd da VEd	My,Ed	My,Rd	Rid. My,Rd da VEd	Rid. My,Rd da NEd	px	py	Verifica
202.3	SLD 9	0.164	1	19117.2	121635.1	1	-4768	681313	1		0	0	Si

**Verifica a presso/tenso flessione deviata §§ 4.2.4.1.2.3 - 4.2.4.1.2.6 - 4.2.4.1.2.7 - 4.2.4.1.2.8 NTC18**

Verifiche eseguite utilizzando la formula conservativa (6.2) §6.2.1 EN 1993-1-1:2005.

X	Comb.	Sfruttamento	Classe	NEd	NRd	Rid. NRd da VEd	Mx,Ed	Mx,Rd	My,Ed	My,Rd	Rid. Mx,Rd da VEd	Rid. Mx,Rd da NEd	Rid. My,Rd da VEd	Rid. My,Rd da NEd	$\alpha$	$\beta$	px	py	Verifica
0	SLV 9	0.454	1	48040.9	121635.1	1	20257	681313	-19808	681313	1		1				0	0	Si

**Verifica a presso/tenso flessione deviata SLD §§ 4.2.4.1.2.3 - 4.2.4.1.2.6 - 4.2.4.1.2.7 - 4.2.4.1.2.8 NTC18**

Verifiche eseguite utilizzando la formula conservativa (6.2) §6.2.1 EN 1993-1-1:2005.

X	Comb.	Sfruttamento	Classe	NEd	NRd	Rid. NRd da VEd	Mx,Ed	Mx,Rd	My,Ed	My,Rd	Rid. Mx,Rd da VEd	Rid. Mx,Rd da NEd	Rid. My,Rd da VEd	Rid. My,Rd da NEd	$\alpha$	$\beta$	px	py	Verifica
0	SLD 8	0.196	1	-21242.3	121635.1	1	6053	681313	8788	681313	1		1				0	0	Si

**Verifiche ad instabilità****Caratteristiche iniziali**

Membratura principale per controllo snellezza; Calcolo di snellezze ed N critici condotti secondo gli assi principali;

Curva X: c; Curva Y: c; Svergolamento: Carico all'estradosso; Curva svergolamento: d;

**Dati per instabilità attorno a x**

Numero rit.	Presente	Ascissa	Campata	$\beta x/m$	Vincolo a entrambi estremi	$\lambda x/m$	$\lambda Ver$
1	Si	0					
			1-2	0.7	Si	69.4	Si, (<200)
2	Si	607					

**Dati per instabilità attorno a y**

Numero rit.	Presente	Ascissa	Campata	$\beta y/n$	$k_{LT}$	$k_{w,LT}$	Vincolo a entrambi estremi	$\lambda y/n$	$\lambda Ver$
1	Si	0							
			1-2	0.7	1	1	Si	69.4	Si, (<200)
2	Si	607							

**Verifica di stabilità per pressoflessione §C.4.2.4.1.3.3.2 NTC18**

X	Comb.	Sfruttamento	Classe	NEd	NRk	Mx,Ed max	Mx,Rk	My,Ed max	My,Rk	$\chi_x$	$\chi_y$	kxx	kxy	kyy	$\chi_{LT}$	Verifica	
0	SLV 8	0.656	1	-50223.7	127716.8	8491.2	715378.2	20749.7	715378.2	0.663	0.663	1.259	0.411	0.925	0.685	0.995	Si

**Verifica di stabilità per pressoflessione SLD §C.4.2.4.1.3.3.2 NTC18**

X	Comb.	Sfruttamento	Classe	NEd	NRk	Mx,Ed max	Mx,Rk	My,Ed max	My,Rk	$\chi_x$	$\chi_y$	kxx	kxy	kyy	$\chi_{LT}$	Verifica	
0	SLD 8	0.28	1	-21242.3	127716.8	6377.3	715378.2	8788	715378.2	0.663	0.663	1.044	0.339	0.968	0.564	0.995	Si

**Verifica di stabilità a taglio anima X §4.2.4.1.2.4 [4.2.27] NTC18**

$\eta$	hw	tw	hw/tw max	Verifica
1.2	14.4	0.8	55.46	Si

**Verifica di stabilità a taglio anima Y §4.2.4.1.2.4 [4.2.27] NTC18**

$\eta$	hw	tw	hw/tw max	Verifica
1.2	14.4	0.8	55.46	Si

**Verifica di stabilità a taglio anima Y SLD §4.2.4.1.2.4 [4.2.27] NTC18**

$\eta$	hw	tw	hw/tw max	Verifica
1.2	14.4	0.8	55.46	Si

Verifiche a deformabilità

Mensola X: No; Mensola Y: No.

Frecce lungo X

Ascissa freccia	Combinazione	Freccia	Luce	L/f	L/f,min	Tipo	Verifica
445.1	SLE RA 1	0.001	607	10000	250	Totale	Si
465.4	SLE RA 2	0.001	607	10000	250	Totale	Si
465.4	SLE RA 3	0.001	607	10000	250	Totale	Si
465.4	SLE RA 4	0.001	607	10000	250	Totale	Si
465.4	SLE RA 5	0.001	607	10000	250	Totale	Si
202.3	SLE RA 2	0	607	10000	350	Variabile	Si
202.3	SLE RA 3	0	607	10000	350	Variabile	Si
202.3	SLE RA 4	0	607	10000	350	Variabile	Si
202.3	SLE RA 5	0	607	10000	350	Variabile	Si

Frecce lungo Y

Ascissa freccia	Combinazione	Freccia	Luce	L/f	L/f,min	Tipo	Verifica
344	SLE RA 1	-0.041	607	10000	250	Totale	Si
344	SLE RA 2	-0.041	607	10000	250	Totale	Si
344	SLE RA 3	-0.04	607	10000	250	Totale	Si
344	SLE RA 4	-0.04	607	10000	250	Totale	Si
344	SLE RA 5	-0.04	607	10000	250	Totale	Si
445.1	SLE RA 2	0	607	10000	350	Variabile	Si
344	SLE RA 3	0.001	607	10000	350	Variabile	Si
303.5	SLE RA 4	0.001	607	10000	350	Variabile	Si
323.7	SLE RA 5	0.001	607	10000	350	Variabile	Si

Superelemento in acciaio composto dall'asta 355

Caratteristiche del materiale

Acciaio: S275, fyk = 2750

Caratteristiche geometriche

Lunghezza: 608.3

Nodo iniziale: 50 Nodo finale: 398

Cerniera iniziale: No Cerniera finale: No

Sovraresistenza: 0% Sisma Z: No

Caratteristiche della sezione

Sezione	Rotazione	Area	Jx	Jy	ix	iy	Wx	Wy	Wplx	Wply
EN10219 160x160x8	0	46.44	1741.23	1741.23	6.12	6.12	217.65	217.65	260.14	260.14

Verifiche di resistenza

Verifiche a forza assiale §4.2.4.1.2.1 - §4.2.4.1.2.2 NTC18

X	Comb.	Sfruttamento	Classe	NEd	Nc,Rd	Nt,Rd	Riduzione da taglio	px	py	Verifica
0	SLV 16	0.352	1	-42778.2	121635.1		1	0	0	Si

Verifiche a forza assiale SLD §4.2.4.1.2.1 - §4.2.4.1.2.2 NTC18

X	Comb.	Sfruttamento	Classe	NEd	Nc,Rd	Nt,Rd	Riduzione da taglio	px	py	Verifica
0	SLD 15	0.154	1	-18727.2	121635.1		1	0	0	Si

Verifica a taglio X §4.2.4.1.2.4 NTC18

X	Comb.	Sfruttamento	VEd	Vc,Rd	Av	Interazione taglio-torsione	Riduzione torsione	Verifica
608.3	SLV 8	0.002	-57.8	34876.4	23.22	Considerata	0.99	Si

Verifica a taglio X SLD §4.2.4.1.2.4 NTC18

X	Comb.	Sfruttamento	VEd	Vc,Rd	Av	Interazione taglio-torsione	Riduzione torsione	Verifica
608.3	SLD 8	0.001	-27.7	35029.4	23.22	Considerata	1	Si

Verifica a taglio Y §4.2.4.1.2.4 NTC18

X	Comb.	Sfruttamento	VEd	Vc,Rd	Av	Interazione taglio-torsione	Riduzione torsione	Verifica
0	SLU 19	0.003	101.7	35084.1	23.22	Considerata	1	Si

Verifica a taglio Y SLD §4.2.4.1.2.4 NTC18

X	Comb.	Sfruttamento	VEd	Vc,Rd	Av	Interazione taglio-torsione	Riduzione torsione	Verifica
0	SLD 4	0.002	85.4	35051.4	23.22	Considerata	1	Si

Verifica a torsione §4.2.4.1.2.5 NTC18

X	Comb.	Sfruttamento torsione	TEd	TRd	Riduzione taglio resistente	Sfruttamento taglio-torsione	τEd,totale	τRd	Verifica
0	SLV 10	0.008	-4449.6	553655.2	Considerata				Si

Verifica a torsione SLD §4.2.4.1.2.5 NTC18

X	Comb.	Sfruttamento torsione	TEd	TRd	Riduzione taglio resistente	Sfruttamento taglio-torsione	τEd,totale	τRd	Verifica
608.3	SLD 9	0.004	-2036.7	553655.2	Considerata				Si

Verifica a presso/tenso flessione retta X §§ 4.2.4.1.2.3 - 4.2.4.1.2.6 - 4.2.4.1.2.7 - 4.2.4.1.2.8 NTC18

Verifiche eseguite utilizzando la formula conservativa (6.2) §6.2.1 EN 1993-1-1:2005.

X	Comb.	Sfruttamento	Classe	NEd	NRd	Rid. NRd da VEd	Mx,Ed	Mx,Rd	Rid. Mx,Rd da VEd	Rid. Mx,Rd da NEd	px	py	Verifica
446.1	SLV 2	0.32	1	38896.1	121635.1	1	288	681313	1		0	0	Si

Verifica a presso/tenso flessione retta X SLD §§ 4.2.4.1.2.3 - 4.2.4.1.2.6 - 4.2.4.1.2.7 - 4.2.4.1.2.8 NTC18

Verifiche eseguite utilizzando la formula conservativa (6.2) §6.2.1 EN 1993-1-1:2005.

X	Comb.	Sfruttamento	Classe	NEd	NRd	Rid. NRd da VEd	Mx,Ed	Mx,Rd	Rid. Mx,Rd da VEd	Rid. Mx,Rd da NEd	px	py	Verifica
608.3	SLD 1	0.13	1	14891.3	121635.1	1	4884	681313	1		0	0	Si

**Verifica a presso/tenso flessione retta Y §§ 4.2.4.1.2.3 - 4.2.4.1.2.6 - 4.2.4.1.2.7 - 4.2.4.1.2.8 NTC18**

Verifiche eseguite utilizzando la formula conservativa (6.2) §6.2.1 EN 1993-1-1:2005.

X	Comb.	Sfruttamento	Classe	NEd	NRd	Rid. NRd da VEd	My,Ed	My,Rd	Rid. My,Rd da VEd	Rid. My,Rd da NEd	px	py	Verifica
567.7	SLV 16	0.361	1	-42616.5	121635.1	1	-7303	681313	1		0	0	Si

**Verifica a presso/tenso flessione retta Y SLD §§ 4.2.4.1.2.3 - 4.2.4.1.2.6 - 4.2.4.1.2.7 - 4.2.4.1.2.8 NTC18**

Verifiche eseguite utilizzando la formula conservativa (6.2) §6.2.1 EN 1993-1-1:2005.

X	Comb.	Sfruttamento	Classe	NEd	NRd	Rid. NRd da VEd	My,Ed	My,Rd	Rid. My,Rd da VEd	Rid. My,Rd da NEd	px	py	Verifica
547.5	SLD 15	0.159	1	-18571.3	121635.1	1	-4045	681313	1		0	0	Si

**Verifica a presso/tenso flessione deviata §§ 4.2.4.1.2.3 - 4.2.4.1.2.6 - 4.2.4.1.2.7 - 4.2.4.1.2.8 NTC18**

Verifiche eseguite utilizzando la formula conservativa (6.2) §6.2.1 EN 1993-1-1:2005.

X	Comb.	Sfruttamento	Classe	NEd	NRd	Rid. NRd da VEd	Mx,Ed	Mx,Rd	My,Ed	My,Rd	Rid. Mx,Rd da VEd	Rid. Mx,Rd da NEd	Rid. My,Rd da VEd	Rid. My,Rd da NEd	α	β	px	py	Verifica
243.3	SLV 16	0.371	1	-42708.9	121635.1	1	-8626	681313	-4585	681313	1		1				0	0	Si

**Verifica a presso/tenso flessione deviata SLD §§ 4.2.4.1.2.3 - 4.2.4.1.2.6 - 4.2.4.1.2.7 - 4.2.4.1.2.8 NTC18**

Verifiche eseguite utilizzando la formula conservativa (6.2) §6.2.1 EN 1993-1-1:2005.

X	Comb.	Sfruttamento	Classe	NEd	NRd	Rid. NRd da VEd	Mx,Ed	Mx,Rd	My,Ed	My,Rd	Rid. Mx,Rd da VEd	Rid. Mx,Rd da NEd	Rid. My,Rd da VEd	Rid. My,Rd da NEd	α	β	px	py	Verifica
324.4	SLD 15	0.165	1	-18634.8	121635.1	1	-6039	681313	-2107	681313	1		1				0	0	Si

**Verifiche ad instabilità****Caratteristiche iniziali**

Membratura principale per controllo snellezza; Calcolo di snellezze ed N critici condotti secondo gli assi principali;

Curva X: c; Curva Y: c; Svergolamento: Carico all'estradosso; Curva svergolamento: d;

**Dati per instabilità attorno a x**

Numero rit.	Presente	Ascissa	Campata	βx/m	Vincolo a entrambi estremi	λx/m	λVer
1	Si	0					
			1-2	0.7	Si	69.5	Si, (<200)
2	Si	608.3					

**Dati per instabilità attorno a y**

Numero rit.	Presente	Ascissa	Campata	βy/n	k,LT	kw,LT	Vincolo a entrambi estremi	λy/n	λVer
1	Si	0							
			1-2	0.7	1	1	Si	69.5	Si, (<200)
2	Si	608.3							

**Verifica di stabilità per tenso-flessione deviata SLD §5.5.3 - §5.5.4 ENV 1993-1-1:1994**

X	Comb.	Sfruttamento	Classe	NEd	Mx,Ed	Mx,Ed,Ed	My,Ed	χ,LT	kLT	ky	M,critico	Wx	Wy	Verifica
0	SLD 9	0.017	1	471	4428.7	2883.6	-8379.2	0.994	1	1	16698959	260.1	260.1	Si

**Verifica di stabilità per pressoflessione §C.4.2.4.1.3.3.2 NTC18**

X	Comb.	Sfruttamento	Classe	NEd	NRk	Mx,Ed max	Mx,Rk	My,Ed max	My,Rk	χ,x	χ,y	kxx	kxy	kyy	χ,LT	Verifica	
0	SLV 16	0.554	1	-42778.2	127716.8	8875.2	715378.2	9040.6	715378.2	0.662	0.662	1.241	0.445	0.938	0.742	0.994	Si

**Verifica di stabilità per pressoflessione SLD §C.4.2.4.1.3.3.2 NTC18**

X	Comb.	Sfruttamento	Classe	NEd	NRk	Mx,Ed max	Mx,Rk	My,Ed max	My,Rk	χ,x	χ,y	kxx	kxy	kyy	χ,LT	Verifica	
0	SLD 15	0.246	1	-18727.2	127716.8	6039.3	715378.2	5331.3	715378.2	0.662	0.662	1.029	0.351	0.971	0.585	0.994	Si

**Verifica di stabilità a taglio anima X §4.2.4.1.2.4 [4.2.27] NTC18**

η	hw	tw	hw/tw max	Verifica
1.2	14.4	0.8	55.46	Si

**Verifica di stabilità a taglio anima X SLD §4.2.4.1.2.4 [4.2.27] NTC18**

η	hw	tw	hw/tw max	Verifica
1.2	14.4	0.8	55.46	Si

**Verifica di stabilità a taglio anima Y §4.2.4.1.2.4 [4.2.27] NTC18**

η	hw	tw	hw/tw max	Verifica
1.2	14.4	0.8	55.46	Si

**Verifica di stabilità a taglio anima Y SLD §4.2.4.1.2.4 [4.2.27] NTC18**

η	hw	tw	hw/tw max	Verifica
1.2	14.4	0.8	55.46	Si

**Verifiche a deformabilità**

Mensola X: No; Mensola Y: No.

**Frecce lungo X**

Ascissa freccia	Combinazione	Freccia	Luce	L/f	L/f,min	Tipo	Verifica
405.5	SLE RA 1	0.01	608.3	10000	250	Totale	Si
405.5	SLE RA 2	0.01	608.3	10000	250	Totale	Si
405.5	SLE RA 3	0.01	608.3	10000	250	Totale	Si
405.5	SLE RA 4	0.01	608.3	10000	250	Totale	Si
405.5	SLE RA 5	0.01	608.3	10000	250	Totale	Si
283.9	SLE RA 2	0	608.3	10000	350	Variabile	Si
385.3	SLE RA 3	0	608.3	10000	350	Variabile	Si
446.1	SLE RA 4	0	608.3	10000	350	Variabile	Si
425.8	SLE RA 5	0	608.3	10000	350	Variabile	Si

**Frecce lungo Y**

Ascissa freccia	Combinazione	Freccia	Luce	L/f	L/f,min	Tipo	Verifica
324.4	SLE RA 1	-0.03	608.3	10000	250	Totale	Si
324.4	SLE RA 2	-0.03	608.3	10000	250	Totale	Si
344.7	SLE RA 3	-0.029	608.3	10000	250	Totale	Si
344.7	SLE RA 4	-0.029	608.3	10000	250	Totale	Si
344.7	SLE RA 5	-0.029	608.3	10000	250	Totale	Si
324.4	SLE RA 2	0	608.3	10000	350	Variabile	Si

Ascissa freccia	Combinazione	Freccia	Luce	L/f	L/f,min	Tipo	Verifica
202.8	SLE RA 3	0.001	608.3	10000	350	Variabile	Si
182.5	SLE RA 4	0.001	608.3	10000	350	Variabile	Si
202.8	SLE RA 5	0.001	608.3	10000	350	Variabile	Si

Superelemento in acciaio composto dall'asta 356

Caratteristiche del materiale

Acciaio: S275, fyk = 2750

Caratteristiche geometriche

Lunghezza: 608.3  
Nodo iniziale: 49  
Nodo finale: 399  
Cerniera iniziale: No  
Cerniera finale: No  
Sovraresistenza: 0%  
Sisma Z: No

Caratteristiche della sezione

Sezione	Rotazione	Area	Jx	Jy	ix	iy	Wx	Wy	Wplx	Wply
EN10219 160x160x8	0	46.44	1741.23	1741.23	6.12	6.12	217.65	217.65	260.14	260.14

Verifiche di resistenza

Verifiche a forza assiale §4.2.4.1.2.1 - §4.2.4.1.2.2 NTC18

X	Comb.	Sfruttamento	Classe	NEd	Nc,Rd	Nt,Rd	Riduzione da taglio	px	py	Verifica
0	SLV 4	0.373	1	-45319.9	121635.1		1	0	0	Si

Verifiche a forza assiale SLD §4.2.4.1.2.1 - §4.2.4.1.2.2 NTC18

X	Comb.	Sfruttamento	Classe	NEd	Nc,Rd	Nt,Rd	Riduzione da taglio	px	py	Verifica
0	SLD 4	0.164	1	-19909.1	121635.1		1	0	0	Si

Verifica a taglio X §4.2.4.1.2.4 NTC18

X	Comb.	Sfruttamento	VEd	Vc,Rd	Av	Interazione taglio-torsione	Riduzione torsione	Verifica
608.3	SLV 9	0.001	-50.5	34838.7	23.22	Considerata	0.99	Si

Verifica a taglio Y §4.2.4.1.2.4 NTC18

X	Comb.	Sfruttamento	VEd	Vc,Rd	Av	Interazione taglio-torsione	Riduzione torsione	Verifica
0	SLV 13	0.003	113.6	34866.8	23.22	Considerata	0.99	Si

Verifica a taglio Y SLD §4.2.4.1.2.4 NTC18

X	Comb.	Sfruttamento	VEd	Vc,Rd	Av	Interazione taglio-torsione	Riduzione torsione	Verifica
0	SLD 14	0.003	96.8	35013.6	23.22	Considerata	1	Si

Verifica a torsione §4.2.4.1.2.5 NTC18

X	Comb.	Sfruttamento torsione	TEd	TRd	Riduzione taglio resistente	Sfruttamento taglio-torsione	τEd,totale	τRd	Verifica
608.3	SLV 8	0.008	-4411.4	553655.2	Considerata				Si

Verifica a torsione SLD §4.2.4.1.2.5 NTC18

X	Comb.	Sfruttamento torsione	TEd	TRd	Riduzione taglio resistente	Sfruttamento taglio-torsione	τEd,totale	τRd	Verifica
608.3	SLD 8	0.003	-1834.6	553655.2	Considerata				Si

Verifica a presso/tenso flessione retta X §§ 4.2.4.1.2.3 - 4.2.4.1.2.6 - 4.2.4.1.2.7 - 4.2.4.1.2.8 NTC18

Verifiche eseguite utilizzando la formula conservativa (6.2) §6.2.1 EN 1993-1-1:2005.

X	Comb.	Sfruttamento	Classe	NEd	NRd	Rid. NRd da VEd	Mx,Ed	Mx,Rd	Rid. Mx,Rd da VEd	Rid. Mx,Rd da NEd	px	py	Verifica
466.4	SLV 10	0.252	1	30058.1	121635.1	1	-3539	681313	1		0	0	Si

Verifica a presso/tenso flessione retta X SLD §§ 4.2.4.1.2.3 - 4.2.4.1.2.6 - 4.2.4.1.2.7 - 4.2.4.1.2.8 NTC18

Verifiche eseguite utilizzando la formula conservativa (6.2) §6.2.1 EN 1993-1-1:2005.

X	Comb.	Sfruttamento	Classe	NEd	NRd	Rid. NRd da VEd	Mx,Ed	Mx,Rd	Rid. Mx,Rd da VEd	Rid. Mx,Rd da NEd	px	py	Verifica
466.4	SLD 3	0.17	1	-19776.4	121635.1	1	-5134	681313	1		0	0	Si

Verifica a presso/tenso flessione retta Y §§ 4.2.4.1.2.3 - 4.2.4.1.2.6 - 4.2.4.1.2.7 - 4.2.4.1.2.8 NTC18

Verifiche eseguite utilizzando la formula conservativa (6.2) §6.2.1 EN 1993-1-1:2005.

X	Comb.	Sfruttamento	Classe	NEd	NRd	Rid. NRd da VEd	My,Ed	My,Rd	Rid. My,Rd da VEd	Rid. My,Rd da NEd	px	py	Verifica
324.4	SLV 13	0.345	1	40930.3	121635.1	1	5578	681313	1		0	0	Si

Verifica a presso/tenso flessione retta Y SLD §§ 4.2.4.1.2.3 - 4.2.4.1.2.6 - 4.2.4.1.2.7 - 4.2.4.1.2.8 NTC18

Verifiche eseguite utilizzando la formula conservativa (6.2) §6.2.1 EN 1993-1-1:2005.

X	Comb.	Sfruttamento	Classe	NEd	NRd	Rid. NRd da VEd	My,Ed	My,Rd	Rid. My,Rd da VEd	Rid. My,Rd da NEd	px	py	Verifica
81.1	SLD 7	0.138	1	-15410.4	121635.1	1	-7812	681313	1		0	0	Si

Verifica a presso/tenso flessione deviata §§ 4.2.4.1.2.3 - 4.2.4.1.2.6 - 4.2.4.1.2.7 - 4.2.4.1.2.8 NTC18

Verifiche eseguite utilizzando la formula conservativa (6.2) §6.2.1 EN 1993-1-1:2005.

X	Comb.	Sfruttamento	Classe	NEd	NRd	Rid. NRd da VEd	Mx,Ed	Mx,Rd	My,Ed	My,Rd	Rid. Mx,Rd da VEd	Rid. Mx,Rd da NEd	Rid. My,Rd da VEd	Rid. My,Rd da NEd	α	β	px	py	Verifica
60.8	SLV 3	0.407	1	-45302.6	121635.1	1	-7375	681313	-16409	681313	1		1				0	0	Si

Verifica a presso/tenso flessione deviata SLD §§ 4.2.4.1.2.3 - 4.2.4.1.2.6 - 4.2.4.1.2.7 - 4.2.4.1.2.8 NTC18

Verifiche eseguite utilizzando la formula conservativa (6.2) §6.2.1 EN 1993-1-1:2005.

X	Comb.	Sfruttamento	Classe	NEd	NRd	Rid. NRd da VEd	Mx,Ed	Mx,Rd	My,Ed	My,Rd	Rid. Mx,Rd da VEd	Rid. Mx,Rd da NEd	Rid. My,Rd da VEd	Rid. My,Rd da NEd	α	β	px	py	Verifica
0	SLD 4	0.181	1	-19909.1	121635.1	1	4286	681313	-7676	681313	1		1				0	0	Si

**Verifiche ad instabilità****Caratteristiche iniziali**

Membratura principale per controllo snellezza; Calcolo di snellezze ed N critici condotti secondo gli assi principali;

Curva X: c; Curva Y: c; Svergolamento: Carico all'estradosso; Curva svergolamento: d;

**Dati per instabilità attorno a x**

Numero rit.	Presente	Ascissa	Campata	$\beta x/m$	Vincolo a entrambi estremi	$\lambda x/m$	$\lambda Ver$
1	Si	0					
			1-2	0.7	Si	69.5	Si, (<200)
2	Si	608.3					

**Dati per instabilità attorno a y**

Numero rit.	Presente	Ascissa	Campata	$\beta y/n$	$k,LT$	$k_w,LT$	Vincolo a entrambi estremi	$\lambda y/n$	$\lambda Ver$
1	Si	0							
			1-2	0.7	1	1	Si	69.5	Si, (<200)
2	Si	608.3							

**Verifica di stabilità per tenso-flessione deviata SLD §5.5.3 - §5.5.4 ENV 1993-1-1:1994**

X	Comb.	Sfruttamento	Classe	NEd	Mx,Ed	Mx,Ed,Ed	My,Ed	$\chi,LT$	kLT	ky	M,critico	Wx	Wy	Verifica
0	SLD 5	0.018	1	1911.7	12038.6	5767.2	6409.7	1	1	1	27727239.9	260.1	260.1	Si

**Verifica di stabilità per pressoflessione §C.4.2.4.1.3.3.2 NTC18**

X	Comb.	Sfruttamento	Classe	NEd	NRk	Mx,Ed max	Mx,Rk	My,Ed max	My,Rk	$\chi_x$	$\chi_y$	kxx	kxy	kyy	$\chi_{LT}$	Verifica	
0	SLV 3	0.597	1	-45319.9	127716.8	11353.3	715378.2	18882.9	715378.2	0.662	0.662	1.298	0.383	0.937	0.638	0.994	Si

**Verifica di stabilità per pressoflessione SLD §C.4.2.4.1.3.3.2 NTC18**

X	Comb.	Sfruttamento	Classe	NEd	NRk	Mx,Ed max	Mx,Rk	My,Ed max	My,Rk	χ,x	χ,y	kxx	kxy	kyy	χ,LT	Verifica	
0	SLD 4	0.264	1	-19909.1	127716.8	7510.3	715378.2	7675.9	715378.2	0.662	0.662	1.058	0.333	0.97	0.555	0.994	Si

**Verifica di stabilità a taglio anima X §4.2.4.1.2.4 [4.2.27] NTC18**

$\eta$	hw	tw	hw/tw max	Verifica
1.2	14.4	0.8	55.46	Si

**Verifica di stabilità a taglio anima Y §4.2.4.1.2.4 [4.2.27] NTC18**

$\eta$	hw	tw	hw/tw max	Verifica
1.2	14.4	0.8	55.46	Si

**Verifica di stabilità a taglio anima Y SLD §4.2.4.1.2.4 [4.2.27] NTC18**

$\eta$	hw	tw	hw/tw max	Verifica
1.2	14.4	0.8	55.46	Si

**Verifiche a deformabilità**

Mensola X: No; Mensola Y: No.

**Frecce lungo X**

Ascissa freccia	Combinazione	Freccia	Luce	L/f	L/f,min	Tipo	Verifica
385.3	SLE RA 1	0	608.3	10000	250	Totale	Si
344.7	SLE RA 2	0.001	608.3	10000	250	Totale	Si
385.3	SLE RA 3	0.001	608.3	10000	250	Totale	Si
405.5	SLE RA 4	0.001	608.3	10000	250	Totale	Si
405.5	SLE RA 5	0.001	608.3	10000	250	Totale	Si
243.3	SLE RA 2	0	608.3	10000	350	Variabile	Si
385.3	SLE RA 3	0.001	608.3	10000	350	Variabile	Si
425.8	SLE RA 4	0.001	608.3	10000	350	Variabile	Si
405.5	SLE RA 5	0.001	608.3	10000	350	Variabile	Si

**Frecce lungo Y**

Ascissa freccia	Combinazione	Freccia	Luce	L/f	L/f,min	Tipo	Verifica
344.7	SLE RA 1	-0.043	608.3	10000	250	Totale	Si
344.7	SLE RA 2	-0.043	608.3	10000	250	Totale	Si
344.7	SLE RA 3	-0.043	608.3	10000	250	Totale	Si
344.7	SLE RA 4	-0.043	608.3	10000	250	Totale	Si
344.7	SLE RA 5	-0.043	608.3	10000	250	Totale	Si
243.3	SLE RA 2	0	608.3	10000	350	Variabile	Si
243.3	SLE RA 3	0	608.3	10000	350	Variabile	Si
243.3	SLE RA 4	0	608.3	10000	350	Variabile	Si
243.3	SLE RA 5	0	608.3	10000	350	Variabile	Si

**Superelemento in acciaio composto dall'asta 357****Caratteristiche del materiale**

Acciaio: S275, fyk = 2750

**Caratteristiche geometriche**

Lunghezza: 590.1

Nodo iniziale: 37 Nodo finale: 295

Cerniera iniziale: No Cerniera finale: No

Sovraresistenza: 0% Sisma Z: No

**Caratteristiche della sezione**

Sezione	Rotazione	Area	Jx	Jy	ix	iy	Wx	Wy	Wplx	Wply
EN10219 168, 3x8	0	40.29	1297.27	1297.27	5.67	5.67	154.16	154.16	205.74	205.74

**Verifiche di resistenza****Verifiche a forza assiale §4.2.4.1.2.1 - §4.2.4.1.2.2 NTC18**

X	Comb.	Sfruttamento	Classe	NEd	Nc,Rd	Nt,Rd	Riduzione da taglio	$\rho x$	$\rho y$	Verifica
0	SLV 8	0.419	1	-44233.9	105515.6		1	0	0	Si

Verifiche a forza assiale SLD §4.2.4.1.2.1 - §4.2.4.1.2.2 NTC18

X	Comb.	Sfruttamento	Classe	NEd	Nc,Rd	Nt,Rd	Riduzione da taglio	px	py	Verifica
0	SLD 7	0.195	1	-20532.2	105515.6		1	0	0	Si

Verifica a taglio X §4.2.4.1.2.4 NTC18

X	Comb.	Sfruttamento	VEd	Vc,Rd	Av	Interazione taglio-torsione	Riduzione torsione	Verifica
590.1	SLV 4	0.001	-36.7	38539.9	25.65	Considerata	0.99	Si

Verifica a taglio Y §4.2.4.1.2.4 NTC18

X	Comb.	Sfruttamento	VEd	Vc,Rd	Av	Interazione taglio-torsione	Riduzione torsione	Verifica
0	SLV 10	0.004	160	38596	25.65	Considerata	1	Si

Verifica a taglio Y SLD §4.2.4.1.2.4 NTC18

X	Comb.	Sfruttamento	VEd	Vc,Rd	Av	Interazione taglio-torsione	Riduzione torsione	Verifica
0	SLD 9	0.003	101.3	38707.4	25.65	Considerata	1	Si

Verifica a torsione §4.2.4.1.2.5 NTC18

X	Comb.	Sfruttamento torsione	TEd	TRd	Riduzione taglio resistente	Sfruttamento taglio-torsione	τEd,totale	τRd	Verifica
590.1	SLV 4	0.006	3055	488269.6	Considerata				Si

Verifica a torsione SLD §4.2.4.1.2.5 NTC18

X	Comb.	Sfruttamento torsione	TEd	TRd	Riduzione taglio resistente	Sfruttamento taglio-torsione	τEd,totale	τRd	Verifica
590.1	SLD 4	0.003	1270.4	488269.6	Considerata				Si

Verifica a presso/tenso flessione retta X §§ 4.2.4.1.2.3 - 4.2.4.1.2.6 - 4.2.4.1.2.7 - 4.2.4.1.2.8 NTC18

Verifiche eseguite utilizzando la formula conservativa (6.2) §6.2.1 EN 1993-1-1:2005.

X	Comb.	Sfruttamento	Classe	NEd	NRd	Rid. NRd da VEd	Mx,Ed	Mx,Rd	Rid. Mx,Rd da VEd	Rid. Mx,Rd da NEd	px	py	Verifica
491.7	SLV 6	0.222	1	21109	105515.6	1	-11911	538841	1		0	0	Si

Verifica a presso/tenso flessione retta X SLD §§ 4.2.4.1.2.3 - 4.2.4.1.2.6 - 4.2.4.1.2.7 - 4.2.4.1.2.8 NTC18

Verifiche eseguite utilizzando la formula conservativa (6.2) §6.2.1 EN 1993-1-1:2005.

X	Comb.	Sfruttamento	Classe	NEd	NRd	Rid. NRd da VEd	Mx,Ed	Mx,Rd	Rid. Mx,Rd da VEd	Rid. Mx,Rd da NEd	px	py	Verifica
472.1	SLD 12	0.141	1	-14200.4	105515.6	1	3405	538841	1		0	0	Si

Verifica a presso/tenso flessione retta Y §§ 4.2.4.1.2.3 - 4.2.4.1.2.6 - 4.2.4.1.2.7 - 4.2.4.1.2.8 NTC18

Verifiche eseguite utilizzando la formula conservativa (6.2) §6.2.1 EN 1993-1-1:2005.

X	Comb.	Sfruttamento	Classe	NEd	NRd	Rid. NRd da VEd	My,Ed	My,Rd	Rid. My,Rd da VEd	Rid. My,Rd da NEd	px	py	Verifica
334.4	SLV 7	0.426	1	-44148.8	105515.6	1	4055	538841	1		0	0	Si

Verifica a presso/tenso flessione retta Y SLD §§ 4.2.4.1.2.3 - 4.2.4.1.2.6 - 4.2.4.1.2.7 - 4.2.4.1.2.8 NTC18

Verifiche eseguite utilizzando la formula conservativa (6.2) §6.2.1 EN 1993-1-1:2005.

X	Comb.	Sfruttamento	Classe	NEd	NRd	Rid. NRd da VEd	My,Ed	My,Rd	Rid. My,Rd da VEd	Rid. My,Rd da NEd	px	py	Verifica
373.7	SLD 7	0.196	1	-20437.1	105515.6	1	1160	538841	1		0	0	Si

Verifica a presso/tenso flessione deviata §§ 4.2.4.1.2.3 - 4.2.4.1.2.6 - 4.2.4.1.2.7 - 4.2.4.1.2.8 NTC18

Verifiche eseguite utilizzando la formula conservativa (6.2) §6.2.1 EN 1993-1-1:2005.

X	Comb.	Sfruttamento	Classe	NEd	NRd	Rid. NRd da VEd	Mx,Ed	Mx,Rd	My,Ed	My,Rd	Rid. Mx,Rd da VEd	Rid. Mx,Rd da NEd	Rid. My,Rd da VEd	Rid. My,Rd da NEd	α	β	px	py	Verifica
0	SLV 8	0.489	1	-44233.9	105515.6	1	-23370	538841	14185	538841	1		1				0	0	Si

Verifica a presso/tenso flessione deviata SLD §§ 4.2.4.1.2.3 - 4.2.4.1.2.6 - 4.2.4.1.2.7 - 4.2.4.1.2.8 NTC18

Verifiche eseguite utilizzando la formula conservativa (6.2) §6.2.1 EN 1993-1-1:2005.

X	Comb.	Sfruttamento	Classe	NEd	NRd	Rid. NRd da VEd	Mx,Ed	Mx,Rd	My,Ed	My,Rd	Rid. Mx,Rd da VEd	Rid. Mx,Rd da NEd	Rid. My,Rd da VEd	Rid. My,Rd da NEd	α	β	px	py	Verifica
590.1	SLD 8	0.225	1	-20382	105515.6	1	15417	538841	-1646	538841	1		1				0	0	Si

Verifiche ad instabilità

Caratteristiche iniziali

Membratura principale per controllo snellezza; Calcolo di snellezze ed N critici condotti secondo gli assi principali;

Curva X: c; Curva Y: c;

Svergolamento: Nessuno; la verifica a instabilità flesso-torsionale (svergolamento) non verrà eseguita.

Dati per instabilità attorno a x

Numero rit.	Presente	Ascissa	Campata	βx/m	Vincolo a entrambi estremi	λx/m	λVer
1	Si		0				
2	Si	590.1	1-2	0.7	Si	72.8	Si, (<200)

Dati per instabilità attorno a y

Numero rit.	Presente	Ascissa	Campata	βy/n	k,LT	kw,LT	Vincolo a entrambi estremi
1	Si		0				
2	Si	590.1	1-2	0.7	Si	72.8	Si, (<200)

Verifica di stabilità per pressoflessione §C.4.2.4.1.3.3.2 NTC18

X	Comb.	Sfruttamento	Classe	NEd	NRk	Mx,Ed max	Mx,Rk	My,Ed max	My,Rk	χx	χy	kxx	kxy	kyy	χ,LT	Verifica
0	SLV 7	0.702	1	-44233.9	110791.4	32204.5	565783.3	14185	565783.3	0.638	0.638	0.568	0.422	0.341	0.704	Si

Verifica di stabilità per pressoflessione SLD §C.4.2.4.1.3.3.2 NTC18

X	Comb.	Sfruttamento	Classe	NEd	NRk	Mx,Ed max	Mx,Rk	My,Ed max	My,Rk	χx	χy	kxx	kxy	kyy	χ,LT	Verifica
0	SLD 8	0.323	1	-20532.2	110791.4	15417.2	565783.3	5974	565783.3	0.638	0.638	0.478	0.352	0.287	0.586	Si



**Verifiche a deformabilità**

Mensola X: No; Mensola Y: No.

**Frecce lungo X**

Ascissa freccia	Combinazione	Freccia	Luce	L/f	L/f,min	Tipo	Verifica
157.3	SLE RA 1	-0.001	590.1	10000	250	Totale	Si
157.3	SLE RA 2	-0.001	590.1	10000	250	Totale	Si
177	SLE RA 3	-0.001	590.1	10000	250	Totale	Si
157.3	SLE RA 4	-0.001	590.1	10000	250	Totale	Si
177	SLE RA 5	-0.001	590.1	10000	250	Totale	Si
196.7	SLE RA 2	0	590.1	10000	350	Variabile	Si
196.7	SLE RA 3	0	590.1	10000	350	Variabile	Si
196.7	SLE RA 4	0	590.1	10000	350	Variabile	Si
196.7	SLE RA 5	0	590.1	10000	350	Variabile	Si

**Frecce lungo Y**

Ascissa freccia	Combinazione	Freccia	Luce	L/f	L/f,min	Tipo	Verifica
314.7	SLE RA 1	-0.025	590.1	10000	250	Totale	Si
314.7	SLE RA 2	-0.026	590.1	10000	250	Totale	Si
314.7	SLE RA 3	-0.026	590.1	10000	250	Totale	Si
314.7	SLE RA 4	-0.025	590.1	10000	250	Totale	Si
314.7	SLE RA 5	-0.025	590.1	10000	250	Totale	Si
354	SLE RA 2	-0.001	590.1	10000	350	Variabile	Si
452.4	SLE RA 3	-0.001	590.1	10000	350	Variabile	Si
137.7	SLE RA 4	0.001	590.1	10000	350	Variabile	Si
118	SLE RA 5	0.001	590.1	10000	350	Variabile	Si

**Superelemento in acciaio composto dall'asta 358****Caratteristiche del materiale**

Acciaio: S275, fyk = 2750

**Caratteristiche geometriche**

Lunghezza: 540.9

Nodo iniziale: 22 Nodo finale: 203

Cerniera iniziale: No Cerniera finale: No

Sovraresistenza: 0% Sisma Z: No

**Caratteristiche della sezione**

Sezione	Rotazione	Area	Jx	Jy	ix	iy	Wx	Wy	Wplx	Wply
EN10219 168,3x8	0	40.29	1297.27	1297.27	5.67	5.67	154.16	154.16	205.74	205.74

**Verifiche di resistenza****Verifiche a forza assiale §4.2.4.1.2.1 - §4.2.4.1.2.2 NTC18**

X	Comb.	Sfruttamento	Classe	NEd	Nc,Rd	Nt,Rd	Riduzione da taglio	px	py	Verifica
0	SLV 13	0.338	1	-35647.7	105515.6		1	0	0	Si

**Verifiche a forza assiale SLD §4.2.4.1.2.1 - §4.2.4.1.2.2 NTC18**

X	Comb.	Sfruttamento	Classe	NEd	Nc,Rd	Nt,Rd	Riduzione da taglio	px	py	Verifica
0	SLD 13	0.153	1	-16153.3	105515.6		1	0	0	Si

**Verifica a taglio X §4.2.4.1.2.4 NTC18**

X	Comb.	Sfruttamento	VEd	Vc,Rd	Av	Interazione taglio-torsione	Riduzione torsione	Verifica
540.9	SLV 8	0.004	-143.7	38756.6	25.65	Considerata	1	Si

**Verifica a taglio X SLD §4.2.4.1.2.4 NTC18**

X	Comb.	Sfruttamento	VEd	Vc,Rd	Av	Interazione taglio-torsione	Riduzione torsione	Verifica
540.9	SLD 8	0.002	-60.7	38782.5	25.65	Considerata	1	Si

**Verifica a taglio Y §4.2.4.1.2.4 NTC18**

X	Comb.	Sfruttamento	VEd	Vc,Rd	Av	Interazione taglio-torsione	Riduzione torsione	Verifica
0	SLV 4	0.003	99.8	38734.2	25.65	Considerata	1	Si

**Verifica a taglio Y SLD §4.2.4.1.2.4 NTC18**

X	Comb.	Sfruttamento	VEd	Vc,Rd	Av	Interazione taglio-torsione	Riduzione torsione	Verifica
0	SLD 4	0.002	71.3	38782.5	25.65	Considerata	1	Si

**Verifica a torsione §4.2.4.1.2.5 NTC18**

X	Comb.	Sfruttamento torsione	TEd	TRd	Riduzione taglio resistente	Sfruttamento taglio-torsione	rEd,totale	rRd	Verifica
0	SLV 1	0.002	-997.8	488269.6	Considerata				Si

**Verifica a torsione SLD §4.2.4.1.2.5 NTC18**

X	Comb.	Sfruttamento torsione	TEd	TRd	Riduzione taglio resistente	Sfruttamento taglio-torsione	rEd,totale	rRd	Verifica
0	SLD 1	0.001	-478.1	488269.6	Considerata				Si

**Verifica a presso/tenso flessione retta X §§ 4.2.4.1.2.3 - 4.2.4.1.2.6 - 4.2.4.1.2.7 - 4.2.4.1.2.8 NTC18**

Verifiche eseguite utilizzando la formula conservativa (6.2) §6.2.1 EN 1993-1-1:2005.

X	Comb.	Sfruttamento	Classe	NEd	NRd	Rid. NRd da VEd	Mx,Ed	Mx,Rd	Rid. Mx,Rd da VEd	Rid. Mx,Rd da NEd	px	py	Verifica
288.5	SLV 16	0.237	1	-23455.3	105515.6	1	-7883	538841	1		0	0	Si

**Verifica a presso/tenso flessione retta X SLD §§ 4.2.4.1.2.3 - 4.2.4.1.2.6 - 4.2.4.1.2.7 - 4.2.4.1.2.8 NTC18**

Verifiche eseguite utilizzando la formula conservativa (6.2) §6.2.1 EN 1993-1-1:2005.

X	Comb.	Sfruttamento	Classe	NEd	NRd	Rid. NRd da VEd	Mx,Ed	Mx,Rd	Rid. Mx,Rd da VEd	Rid. Mx,Rd da NEd	px	py	Verifica
288.5	SLD 13	0.164	1	-16073.2	105515.6	1	-6046	538841	1		0	0	Si



Sovreresistenza: 0% Sisma Z: No

**Caratteristiche della sezione**

Sezione	Rotazione	Area	Jx	Jy	ix	iy	Wx	Wy	Wplx	Wply
EN10219 168, 3x8	0	40.29	1297.27	1297.27	5.67	5.67	154.16	154.16	205.74	205.74

**Verifiche di resistenza****Verifiche a forza assiale §4.2.4.1.2.1 - §4.2.4.1.2.2 NTC18**

X	Comb.	Sfruttamento	Classe	NEd	Nc,Rd	Nt,Rd	Riduzione da taglio	px	py	Verifica
0	SLU 20	0.167	1	-17583.8	105515.6		1	0	0	Si

**Verifiche a forza assiale SLD §4.2.4.1.2.1 - §4.2.4.1.2.2 NTC18**

X	Comb.	Sfruttamento	Classe	NEd	Nc,Rd	Nt,Rd	Riduzione da taglio	px	py	Verifica
0	SLD 7	0.121	1	-12751.9	105515.6		1	0	0	Si

**Verifica a torsione §4.2.4.1.2.5 NTC18**

X	Comb.	Sfruttamento torsione	TEd	TRd	Riduzione taglio resistente	Sfruttamento taglio-torsione	τEd,totale	τRd	Verifica
0	SLV 14	0.002	1220.5	488269.6	Considerata				Si

**Verifica a torsione SLD §4.2.4.1.2.5 NTC18**

X	Comb.	Sfruttamento torsione	TEd	TRd	Riduzione taglio resistente	Sfruttamento taglio-torsione	τEd,totale	τRd	Verifica
237.5	SLD 14	0.001	506.9	488269.6	Considerata				Si

**Verifiche ad instabilità****Caratteristiche iniziali**

Membratura principale per controllo snellezza; Calcolo di snellezze ed N critici condotti secondo gli assi principali;

Curva X: c; Curva Y: c;

Svergolamento: Nessuno; la verifica a instabilità flessio-torsionale (svergolamento) non verrà eseguita.

**Dati per instabilità attorno a x**

Numero rit.	Presente	Ascissa	Campata	βx/m	Vincolo a entrambi estremi	λx/m	λVer
1	Si	0					
			1-2	1	Si	83.7	Si, (<200)
2	Si	475					

**Dati per instabilità attorno a y**

Numero rit.	Presente	Ascissa	Campata	βy/n	k,LT	kw,LT	Vincolo a entrambi estremi
1	Si	0					
			1-2	1	Si	83.7	Si, (<200)
2	Si	475					

**Verifica di stabilità membrane compresse §4.2.4.1.3.1 NTC18**

X	Comb.	Sfruttamento	Classe	Obblig.	NEd	Nb,Rd	χ,min	I0 x/m	I0 y/n	λ adim. x/m	λ adim. y/n	N,crit x/m	N,crit y/n	Verifica
0	SLU 20	0.297	1	Si	-17583.8	59190.9	0.561	475	475	0.964	0.964	119168.8	119168.8	Si

**Verifica di stabilità membrane compresse SLD §4.2.4.1.3.1 NTC18**

X	Comb.	Sfruttamento	Classe	Obblig.	NEd	Nb,Rd	χ,min	I0 x/m	I0 y/n	λ adim. x/m	λ adim. y/n	N,crit x/m	N,crit y/n	Verifica
0	SLD 7	0.215	1	Si	-12751.9	59190.9	0.561	475	475	0.964	0.964	119168.8	119168.8	Si

**Verifiche a deformabilità**

Mensola X: No; Mensola Y: No.

Verifiche non eseguite in quanto il superelemento è verticale.